



# مجله کنترل

ISSN 2008-8345



قطب علمی کنترل صنعتی

دانشگاه صنعتی خواجه نصیرالدین طوسی

نشریه علمی - پژوهشی

انجمن مهندسان کنترل و ابزار دقیق ایران - قطب کنترل صنعتی دانشگاه صنعتی خواجه نصیرالدین طوسی

جلد ۷، شماره ۲، تابستان ۱۳۹۲

## فهرست مقالات

- ۱ کنترل غیر مبتنی بر مدل برای یک ربات چرخ‌دار به همراه یک دنبال‌رو  
علی کیماسی خلجی، سید علی اکبر موسویان
- ۱۱ پایداری سیستم‌های همگن سوئیچ شونده با استفاده از تابع لیاپانوف مشترک  
خاطره سخنور ماهانی، علی کریم پور، ناصر پریر
- ۲۱ شناسایی خطای اندازه‌گیری سنسور در سیستم یاتاقان مغناطیسی فعال با استفاده از مشاهده‌گر تناسبی انتگرالی  
سید مهدی دربندی، مهدی بهزاد، حمید مهدیقلی، حسن سالاریه
- ۳۳ مدل سازی کوره قوس الکتریکی بر مبنای نظریه آشوب به منظور کنترل پارامترهای کیفیت توان  
محمد عطایی، هاجر قطب، غضنفر شاهقلیان، آرش کیومرثی
- ۴۳ طراحی بهینه‌ی چندهدفه‌ی ربات کابلی ۶-درجه آزادی با استفاده از معیارهای سینماتیکی  
سیداحمد خلیل پور سیدی، حمیدرضا تقی‌راد، مهدی طالع ماسوله، مهدی علیاری شوره‌دلی
- ۵۷ سنکرون سازی دو شمول دیفرانسیلی لور با وجود پارامترهای نامعلوم و غیرخطی ساز شعاعی در مسیر ورودی‌های  
کنترلی  
علی ابوبی، محمد حائری



مجله کنترل  
(ISSN 2008-8345)



قطب علمی کنترل صنعتی  
دانشگاه صنعتی خواجه نصیرالدین طوسی

نشریه علمی - پژوهشی، انجمن مهندسان کنترل و ابزار دقیق ایران - قطب کنترل صنعتی دانشگاه صنعتی  
خواجه نصیرالدین طوسی، جلد ۷، شماره ۲، تابستان ۱۳۹۲

پست الکترونیکی: control@isice.ir

صاحب امتیاز: انجمن مهندسان کنترل و ابزار دقیق ایران

مدیر مسئول: پروفسور ایرج گودرزیا

سردبیر: پروفسور علی خاکی صدیق - تلفن: ۸۴۰۶۲۳۱۷ - پست الکترونیکی: sedigh@kntu.ac.ir

آدرس محل کار: خیابان دکتر شریعی، پل سیدخندان، دانشکده برق دانشگاه صنعتی خواجه نصیرالدین طوسی

سمت: استاد دانشگاه

شورای سردبیری: پروفسور علی خاکی صدیق، پروفسور حمید خالوزاده، دکتر مهدی علیاری شوره دلی

دبیر اجرایی: دکتر مهدی علیاری شوره دلی - تلفن ۸۴۰۶۲۴۰۳ - پست الکترونیکی aliyari@kntu.ac.ir

#### هیأت تحریریه:

پروفسور علی خاکی صدیق (استاد) - پروفسور ایرج گودرزیا (استاد) - پروفسور حمید خالوزاده (استاد) - پروفسور پرویز جبه دار مارالانی (استاد) - پروفسور علی غفاری (استاد) - دکتر حمیدرضا مومنی (دانشیار) - پروفسور سید کمال الدین نیکروش (استاد) - پروفسور مسعود شفیعی (استاد) - پروفسور بهزاد مشیری (استاد)

#### هیأت مشاوران:

دکتر حمیدرضا مومنی، پروفسور بهزاد مشیری، پروفسور مسعود شفیعی، پروفسور علی خاکی صدیق، پروفسور پرویز جبه دار مارالانی، پروفسور علی غفاری، پروفسور حمید خالوزاده، پروفسور حمیدرضا تقی راد، دکتر کیوان مسروری، دکتر محمدتقی بطحایی، دکتر محمدتقی بهشتی، دکتر فرزاد جعفرکاظمی، دکتر رویا امجدی فرد، پروفسور سید علی اکبر موسویان، پروفسور محمد تشنه لب، پروفسور محمد حایری، پروفسور سید علی اکبر صفوی، دکتر علیرضا فاتحی، پروفسور محمدرضا اکبرزاده توتونچی، پروفسور مسعود علی اکبر گلکار، پروفسور ناصر پریرز، دکتر مهرداد جوادی، دکتر جعفر حیرانی نوبری، پروفسور فرامرز حسین بابایی، دکتر بیژن معاونی، دکتر مهدی علیاری شوره دلی، دکتر محمد عاروان، پروفسور محمد توکلی بینا، دکتر مجتبی احمدیه خانه سر، دکتر فائزه فریور، دکتر موسی آیتی.

#### هیأت مدیره انجمن مهندسان کنترل و ابزار دقیق:

پروفسور مسعود شفیعی، دکتر محمدرضا جاهد مطلق، پروفسور ایرج گودرزیا، پروفسور بهزاد مشیری، پروفسور علی اکبر صفوی، دکترایمان محمدزمان، دکتر علی اشرف مدرس، مهندس علی کیانی.

ایران - تهران، صندوق پستی ۳۵۹۵-۱۵۸۱۵

تلفن: ۸۱۰۳۲۲۳۱

فاکس: ۸۱۰۳۲۲۰۰

www.joc-isice.ir

- ۱ کنترل غیر مبتنی بر مدل برای یک ربات چرخ‌دار به همراه یک دنبال‌رو  
علی کیماسی خلجی، سید علی اکبر موسویان
- ۱۱ پایدارسازی سیستم‌های همگن سوئیچ شونده با استفاده از تابع لیاپانوف مشترک  
خاطره سخنور ماهانی، علی کریم پور، ناصر پریر
- ۲۱ شناسایی خطای اندازه‌گیری سنسور در سیستم یاتاقان مغناطیسی فعال با استفاده از مشاهده‌گر  
تناسبی انتگرالی  
سید مهدی دربندی، مهدی بهزاد، حمید مهدیقلی، حسن سالاریه
- ۳۳ مدل سازی کوره قوس الکتریکی بر مبنای نظریه آشوب به منظور کنترل پارامترهای کیفیت توان  
محمد عطایی، هاجر قطب، غضنفر شاهقلیان، آرش کیومرثی
- ۴۳ طراحی بهینه‌ی چندهدفه‌ی ربات کابلی ۶-درجه آزادی با استفاده از معیارهای سینماتیکی  
سیداحمد خلیل پور سیدی، حمیدرضا تقی‌راد، مهدی طالع ماسوله، مهدی علیاری شوره‌دلی
- ۵۷ سنکرون سازی دو شمول دیفرانسیلی لور با وجود پارامترهای نامعلوم و غیرخطی ساز شعاعی در مسیر  
ورودی‌های کنترلی  
علی ابویی، محمد حائری

**مجله کنترل**، مجله ای علمی - پژوهشی است که در برگیرنده تازه ترین نتایج تحقیقات نظری و کاربردی در علوم مختلف مرتبط با مهندسی کنترل و ابزار دقیق می باشد. مقالات ارسالی به مجله کنترل می بایست به زبان فارسی و دارای چکیده انگلیسی باشند. از میان مباحث مورد نظر این مجله میتوان به موارد زیر اشاره نمود:

- ۱) مدل سازی، شناسایی، شبیه سازی، پیش بینی، بهینه سازی و پایش عملکرد سیستم ها.
- ۲) تحلیل و طراحی سیستم های کنترل پیشرفته از قبیل سیستم های کنترل خطی و غیرخطی، سیستم های کنترل تطبیقی، کنترل مقاوم و کنترل بهینه، سیستم های کنترل هوشمند، سیستم های کنترل تصادفی، سیستم های کنترل گسسته پیشامد و ترکیبی، سیستم های ابعاد وسیع، سیستم های کنترل چندمتغیره.
- ۳) مکاترونیک و رباتیک.
- ۴) ابزار دقیق و سیستم های ترکیب داده و اطلاعات سنسوری.
- ۵) اتوماسیون صنعتی از قبیل سیستم های کنترل گسترده، رابط انسان - ماشین، سیستم های ایمنی و تشخیص خطا، تحلیل و طراحی سیستم های کنترل کسری، شناسایی و تشخیص عیب در سیستم ها، سیستم های کنترل پیچیده، سیستم های زمان حقیقی و سیستم های کنترل نظارتی.

کاربردهای مورد علاقه این مجله، وسیع بوده و می تواند در برگیرنده موارد زیر باشد:

- ۱) سیستم های هدایت و ناوبری.
- ۲) فرآیندهای صنعتی شامل فرآیندهای شیمیایی و بیوتکنولوژی.
- ۳) تولید و توزیع نیروی برق.
- ۴) مهندسی محیط زیست و هواشناسی.
- ۵) سیستم های اقتصادی و مالی.
- ۶) سیستم های اطلاعاتی، مخابراتی و شبکه های صنعتی.
- ۷) مهندسی پزشکی.

از کلیه پژوهشگران و کارشناسان فعال در زمینه های مرتبط با مهندسی کنترل و ابزار دقیق دعوت بعمل می آید تا مقالات و نتایج آخرین دستاوردهای علمی و پژوهشی خود را به این مجله ارسال نمایند. خواهشمند است مقالات خود را به صورت الکترونیکی به آدرس [www.joc-isice.ir](http://www.joc-isice.ir) ارسال فرمایید. برای کسب اطلاعات بیشتر و دریافت نحوه تهیه و ارسال مقالات می توانید به سایت مجله با آدرس [www.joc-isice.ir](http://www.joc-isice.ir) مراجعه نمایید.

## شیوه تدوین

متن مقالات شامل چکیده، بدنه مقاله، مراجع و زیرنویس ها باید با فونت ۱۲ B Zar و با فاصله double میان خطوط، در صفحات A4 یک ستونی و تحت نرم افزار Word تهیه گردد.

## آدرس نویسندگان

آدرس پستی کامل همه نویسندگان همراه با شماره تلفن و دورنگار (فکس) و نشانی پست الکترونیک (email) نویسنده عهده دار مکاتبات در برگه مستقلى چاپ و به همراه مقاله ارسال گردد.

## چکیده

هر مقاله باید شامل، عنوان (فارسی و انگلیسی)، چکیده (فارسی و انگلیسی) مقاله در حداکثر ۲۰۰ واژه، کلیدواژه (فارسی و انگلیسی) در حداکثر ۵ واژه باشد.

## تصاویر و عکسها

در هنگام ارسال مقاله جهت داوری نیازی به ارسال اصل تصاویر و عکس ها نمی باشد، ولی رونوشت ارسالی باید واضح باشد. پس از تایید مقاله، ارسال اصل تصاویر و عکس ها جهت چاپ مقاله ضروری می باشد.

## مراجع

به کلیه مراجع باید در متن ارجاع داده شده باشد. مراجع باید با شماره مشخص گردند و جزئیات آنها به شرح زیر در پایان مقاله به ترتیب حروف الفبای نویسندگان ظاهر گردد:

**مقالات:** [شماره مرجع] نام خانوادگی و علامت اختصاری اول نام، سال انتشار یا تاریخ برگزاری، "عنوان مقاله"، نام کامل نشریه یا کنفرانس، شماره مجله یا شماره جلد، شماره صفحات.

**کتابها:** [شماره مرجع] نام خانوادگی و نام کامل همه نویسندگان، عنوان کتاب، نام مترجم (در صورت وجود)، نام کامل ناشر، سال انتشار.

**واحدها:** کلیه مقالات باید از واحد استاندارد SI (متریک) در تمام بخشهای مقاله استفاده نمایند. در کنار واحد SI می توان از واحد انگلیسی در داخل پرانتز نیز استفاده نمود.

## طول مقالات

حداکثر حجم مقالات در هنگام چاپ ۱۵ صفحه می باشد که معادل حدود ۷۵۰۰ واژه می باشد. برای چاپ صفحات بیشتر و یا رنگی لازم است هزینه ای معادل ۵۰۰,۰۰۰ ریال برای هر صفحه به حساب مجله واریز گردد.

## فرایند ارسال مقاله

مقالات قابل چاپ در مجله شامل مقالات کامل پژوهشی، مقالات کوتاه و یادداشتهای پژوهشی می باشد. مقالات ارسالی نباید در هیچ مجله داخلی و یا خارجی چاپ شده باشد و یا در حال داوری باشد.

- برای ارسال مقاله خود به سایت مجله به آدرس [www.joc-isice.ir](http://www.joc-isice.ir) مراجعه نموده و طبق دستورالعمل مندرج در سایت عمل نمایید.
- مقالات جهت داوری به داوران متخصص ارسال می گردد. در پایان تایید یا رد هر مقاله توسط هیئت تحریریه مجله انجام خواهد پذیرفت. سردبیر مجله نتیجه داوری را برای نویسنده عهده دار مکاتبات ارسال خواهد نمود.
- در صورتی که نیاز به تصحیح مقاله باشد، تصحیحات باید تنها محدود به موارد ذکر شده باشد. در سایر موارد نویسنده لازم است سردبیر را در جریان هر گونه تغییر و یا تصحیح دیگری قرار دهد. در هر صورت مسئولیت صحت و سقم مطالب بر عهده نویسنده خواهد بود.

**حق کپی:** در صورت تایید مقاله، نویسندگان لازم است فرم انتقال حق انتشار آن به "انجمن مهندسان کنترل و ابزار دقیق ایران" را تکمیل و به همراه اصل مقاله ارسال نمایند. نویسندگان لازم است موافقت کتبی دارندگان حق کپی بخش هایی از مقاله که از مراجع و منابع دیگر نسخه برداری شده است را دریافت و به دفتر مجله ارسال نمایند.

بدینوسیله از کلیه اساتید، پژوهشگران و کارشناسان مهندسی کنترل و ابزار دقیق جهت ارائه مقالات خود در این نشریه دعوت به عمل می آورد. خواهشمند است مقالات خود را به صورت الکترونیکی از طریق سایت مجله به آدرس: [www.joc-isice.ir](http://www.joc-isice.ir) ارسال نمایید.

## کنترل غیر مبتنی بر مدل برای یک ربات چرخ‌دار به همراه یک دنبال‌رو

علی کیماسی خلجی<sup>۱</sup>، سید علی اکبر موسویان<sup>۲</sup>

<sup>۱</sup> فارغ‌التحصیل دکترای مهندسی مکانیک، گروه طراحی کاربردی، دانشگاه صنعتی خواجه نصیرالدین طوسی، keymasi@gmail.com

<sup>۲</sup> استاد مهندسی مکانیک، گروه طراحی کاربردی، دانشگاه صنعتی خواجه نصیرالدین طوسی، moosavian@kntu.ac.ir

(تاریخ دریافت مقاله ۱۳۹۲/۲/۱۰، تاریخ پذیرش مقاله ۱۳۹۲/۴/۱۶)

**چکیده:** ربات متحرک چرخ‌دار به همراه یک دنبال‌رو یک سیستم رباتیکی چند بخشی است که از یک کشنده به همراه یک دنبال‌رو تشکیل می‌شود. تعقیب مسیرهای حرکت زمانی یکی از مسائل مطرح در زمینه‌ی ربات‌های متحرک چرخ‌دار است که در این مقاله به آن می‌پردازیم. در ابتدا معادلات سینماتیکی ربات متحرک استخراج می‌گردد. سپس، مسیرهای حرکت زمانی مرجع تولید می‌گردد. در ادامه یک کنترل غیر مبتنی بر مدل بر اساس روش ترانهاده‌ی ژاکوبی بهبود یافته برای ربات طراحی می‌گردد. قانون کنترلی پیشنهاد شده، ربات متحرک چرخ‌دار را به صورت مجانبی حول مسیرهای حرکت زمانی مرجع پایدار می‌سازد. در پایان نتایج تجربی پیاده‌سازی روش طراحی شده بر روی یک مدل آزمایشگاهی و مقایسه نتایج با کنترل مدل-مبنای ارائه می‌گردد. نتایج بدست آمده کارایی روش پیشنهاد شده را نشان می‌دهد.

**کلمات کلیدی:** ربات متحرک چرخ‌دار، سیستم‌های غیر هولونومیک، تعقیب مسیرهای حرکت زمانی، روش ترانهاده‌ی ژاکوبی بهبود یافته.

## Non-Model-Based Control Law for a Wheeled Robot Towing a Trailer

Ali Keymasi, Seyed Ali Akbar Moosavian

**Abstract:** Tractor-trailer wheeled robot (TTWR) is a modular robotic system that consists of a tractor module towing a trailer. Trajectory tracking is one of the challenging problems focused in the context of wheeled mobile robots (WMRs) that has been discussed in this paper. First, kinematic equations of TTWR are obtained. Then, reference trajectories for tracking problem are produced. Subsequently, a non-model-based control based on Modified Transpose Jacobian (MTJ) method is designed for the TTWR. The proposed controller steer the TTWR asymptotically follow reference trajectories. Finally, experimental results for implementation of the designed controller on an experimental setup in comparison with model-based algorithm are presented. Obtained results show the effectiveness of the proposed controller.

**Keywords:** Wheeled mobile robot, Nonholonomic systems, Trajectory Tracking, Modified Transpose Jacobian.

## ۱- مقدمه

امروزه کاربرد ربات‌های متحرک در سیستم‌های مهندسی در حال گسترش است. صنعت، کشاورزی و جنگلداری، معدنکاری، پزشکی و جراحی توسط کامپیوتر، توان‌بخشی و مراقبت سلامت، تجسس و نجات، کاربردهای خانگی (جاروبرقی‌ها، ماشین‌های چمن‌زنی و غیره)، استفاده در مکان‌های خطرناک یا دور از دسترس (فضا، ارتش، دفع پسماندهای هسته‌ای) و همچنین سرگرمی (فوتبال ربات‌ها، جنگ ربات‌ها) نمونه‌هایی از این کاربردها می‌باشند. بنابراین، مدل‌سازی و کنترل این سیستم‌ها مورد توجه بسیاری از محققین قرار گرفته است، [۱-۳]. ربات‌های متحرک چرخ‌دار یک نمونه از این سیستم‌ها هستند که به خاطر تماس میان چرخ‌ها با سطح زمین، مقید به قیود غیر هولونومیک می‌باشند. این قیود در اثر غلتش خالص چرخ‌ها در حرکت رو به جلو و عدم لغزش در جهت جانبی به وجود می‌آیند. در مرجع [۴] مدل‌سازی و ویژگی‌های انواع مختلف ربات‌های چرخ‌دار ارائه شده و مورد بحث قرار گرفته است. به منظور عملکرد خودکار ربات‌های متحرک چرخ‌دار، مسائل کنترلی مختلفی در زمینه کنترل حرکت این سیستم‌ها در تحقیقات مورد توجه قرار گرفته است. تعقیب مسیر در فضای دکارتی [۵، ۶]، پایدارسازی حول وضعیت‌های مطلوب [۵، ۷] و تعقیب مسیرهای حرکت زمانی [۸، ۹] نمونه‌هایی از مسائل مطرح در این زمینه است.

ربات متحرک دارای دنبال‌رو یک سیستم رباتیکی چند بخشی و مقید به قیود غیر هولونومیک می‌باشد، که در این مقاله مسئله تعقیب مسیرهای حرکت زمانی مرجع آن مورد بررسی قرار گرفته است. کنترل این سیستم در محیط آزمایشگاهی به خاطر دینامیک غیرخطی، عدم قطعیت‌های ساختاری و پارامتری، اغتشاشات خارجی، نویز و پدیده‌های مختلف موجود در سیستم‌های مهندسی واقعی مسئله‌ای پیچیده به شمار می‌آید. بنابراین، الگوریتم‌های کنترلی مختلفی برای حل این مسئله پیشنهاد شده است. برخی از الگوریتم‌های ارائه شده عبارتند از: کنترل تطبیقی [۸، ۱۰]، کنترل مود لغزشی [۹، ۱۱]، کنترل بهینه [۱۲]، کنترل پیش‌بین [۱۳]، شبکه‌های عصبی [۱۴، ۱۵] و کنترل فازی [۱۰، ۱۶]. در میان تمامی این قوانین کنترلی، کنترل‌کننده‌هایی که وابستگی کمتری به مدل‌های ریاضی سیستم‌های رباتیکی داشته باشند به خاطر حجم محاسباتی کمتر، سادگی و مقاومت بیشتر کنترل‌کننده در برابر عدم قطعیت‌ها مناسب‌تر به حساب می‌آیند.

الگوریتم ترانهادهی ژاکوبی<sup>۲</sup> یکی از ساده‌ترین قوانین کنترلی موجود برای حرکت بازوان رباتیکی است. ماتریس‌های بهره‌ی این کنترل‌کننده نقش مهمی را در پایداری سیستم کلی ایفا می‌کنند. این

الگوریتم را حتی می‌توان برای بازوان رباتیکی دارای افزونگی<sup>۴</sup> نیز همانگونه که در مرجع [۱۷] نشان داده شده است اعمال کرد.

در مرجع [۱۸] نیز عملکرد الگوریتم ترانهادهی ژاکوبی با الگوریتم‌های مدل-منا مقایسه شده است. نتایج بدست آمده نشان داده است که بهبود عملکرد این کنترل‌کننده در مورد سیستم‌های رباتیکی پیچیده و غیرخطی نیازمند تحقیق بیشتری است. هرچند عملکرد نامطلوب این کنترل‌کننده با سرعت تعقیب مسیر بیشتری همراه است. استفاده از بهره‌های کنترلی بالا در حضور نویز اندازه‌گیری عملکرد این الگوریتم را بدتر نیز می‌نماید. مشکل دیگر نبود یک رویکرد مناسب در انتخاب بهره‌های کنترلی است.

بنابراین، روش ترانهادهی ژاکوبی بهبود یافته<sup>۵</sup> در مرجع [۱۸] ارائه گردید. این الگوریتم عملکرد روش ترانهادهی ژاکوبی را با استفاده از ورودی کنترلی در یک گام زمانی پیشین بهبود بخشید. بر اساس این روش، الگوریتم‌های مشابهی نیز برای سیستم‌های کم عملگر ارائه شد، [۱۹، ۲۰]. الگوریتم ترانهادهی ژاکوبی بهبود یافته، تقریبی از روش خطی‌سازی فیدبک است، که نیازی به دانش قبلی از دینامیک سیستم ندارد. عملکرد این الگوریتم با وجود اینکه حجم محاسباتی آن کم بوده و نیازی به دینامیک سیستم ندارد با الگوریتم‌های کنترلی مدل-منا قابل مقایسه است. برخلاف کنترل ترانهادهی ژاکوبی، این کنترل‌کننده در تعقیب مسیرهای حرکت دارای سرعت عملکرد بسیار مناسبی است. همچنین، بهره‌های این کنترل‌کننده می‌توانند به صورت سیستماتیک تعیین شوند و بدین ترتیب حساسیت به نویز کنترل ترانهادهی ژاکوبی از بین می‌رود.

در این مقاله یک الگوریتم غیر مبتنی بر مدل بر اساس روش ترانهادهی ژاکوبی بهبود یافته برای تعقیب مسیرهای حرکت زمانی ربات متحرک چرخ‌دار دارای دنبال‌رو ارائه شده است. روش ترانهادهی ژاکوبی بهبود یافته اساساً برای کنترل دینامیکی بازوان رباتیکی در مرجع [۱۸] پیشنهاد شده است. در این مقاله روش مزبور برای کنترل دینامیکی ربات متحرک چرخ‌دار دارای دنبال‌رو به عنوان یک سیستم غیرهولونومیک تغییر یافته و نتایج تجربی پیاده‌سازی کنترل‌کننده طراحی شده ارائه گردیده است.

در ادامه‌ی این مقاله ابتدا مدل سینماتیکی ربات متحرک چرخ‌دار دارای دنبال‌رو استخراج شده است. سپس، مسیرهای حرکت مرجع برای تعقیب ربات تولید شده است. در ادامه، یک قانون کنترلی برای تعقیب مجانبی مسیرهای مرجع بر اساس روش ترانهادهی ژاکوبی بهبود یافته طراحی شده است. در نهایت نتایج تجربی پیاده‌سازی روش پیشنهاد شده بر روی ربات متحرک چرخ‌دار دارای یک دنبال‌رو و مقایسه آن با

1. Point stabilization
2. Trajectory tracking
3. Transposed Jacobian (TJ)

4. Redundant manipulators
5. Modified Transpose Jacobian (MTJ)



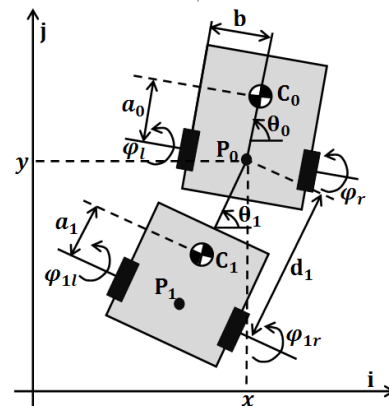
الگوریتم کنترلی مدل- مبنا ارائه شده است. نتایج بدست آمده نشان دهنده کارایی قانون کنترلی طراحی شده است.

## ۲- توصیف سیستم و مدل سازی

سیستم مورد نظر یک ربات چرخ‌دار دیفرانسیلی به همراه یک دنبال‌رو است همانگونه که در شکل ۱ نمایش داده شده است. چرخ‌های کشنده با عملگرهای مجزا مجهز شده‌اند و یک چرخ کروی نیز برای حفظ پایداری آن استفاده شده است. اتصال میان کشنده و دنبال‌رو از طریق پین غیر فعال  $P_0$  برقرار می‌باشد، همانگونه که در شکل ۲ نمایش داده شده است. نقاط  $C_0$  و  $C_1$  به ترتیب نشان دهنده مرکز جرم کشنده و دنبال‌رو می‌باشند. همچنین،  $\varphi_l$  و  $\varphi_r$  به ترتیب نمایش دهنده جابجایی زاویه‌ای چرخ‌های سمت راست و چپ کشنده هستند، و  $\varphi_{1l}$  و  $\varphi_{1r}$  به ترتیب جابجایی چرخ‌های سمت راست و چپ دنبال‌رو را نشان می‌دهند.  $d$  فاصله‌ی میان نقاط  $P_0$  و  $P_1$  را نمایش می‌دهد و  $a_0$  و  $a_1$  به ترتیب فاصله‌ی میان نقاط  $P_0$  و  $C_0$  و  $P_1$  و  $C_1$  می‌باشند. این ابعاد در شکل ۲ نمایش داده شده‌اند. وضعیت ربات متحرک دارای دنبال‌رو با بردار مختصات تعمیم یافته  $q = (x, y, \theta_0, \theta_1)^T$  نشان داده می‌شود، که در آن  $(x, y)$  مختصات نقطه‌ی  $P_0$  می‌باشد و  $\theta_0$  و  $\theta_1$  به ترتیب جهت‌گیری کشنده و دنبال‌رو نسبت به دستگاه مرجع را نشان می‌دهند.



شکل ۱: سیستم تجربی



شکل ۲: ربات متحرک چرخ‌دار به همراه یک دنبال‌رو و پارامترهای سیستم فرضیات زیر برای حرکت ربات متحرک دارای دنبال‌رو در نظر گرفته شده است:

- حرکت ربات صفحه‌ای می‌باشد.

- چرخ‌های ربات در جهت جانبی لغزش نمی‌کنند.
  - چرخ‌های ربات در حرکت رو به جلو غلتش خالص می‌نمایند.
- مهمترین ویژگی در سینماتیک ربات‌های متحرک چرخ‌دار، وجود قیدهای غیر هولونومیک می‌باشد. این قیود رابطه‌ای میان مختصات تعمیم یافته‌ی سیستم و سرعت‌های تعمیم یافته‌ی سیستم می‌باشند. این رابطه نسبت به مختصات تعمیم یافته‌ی سیستم خطی است و می‌توان آن را به صورت زیر بیان نمود:

$$j = 1, \dots, m \quad a_j^T(q) \dot{q} = 0 \quad (1)$$

قیود سیستم به شکل ماتریسی نیز به صورت زیر می‌باشند:

$$A(q) \dot{q} = 0 \quad (2)$$

که در آن  $A(q)$  ماتریس قیدی  $n \times m$  می‌باشد.  $n$  تعداد قیدهای سیستم و  $m$  تعداد مختصات تعمیم یافته‌ی سیستم است.

برای ربات متحرک چرخ‌دار دارای یک دنبال‌رو، ماتریس قیدی به صورت زیر بدست می‌آید:

$$A(\xi) = \begin{bmatrix} \sin \theta_0 & -\cos \theta_0 & 0 & -d \cos(\theta_0 - \theta_1) \\ \sin \theta_1 & -\cos \theta_1 & 0 & 0 \end{bmatrix} \quad (3)$$

در اینصورت ماتریس  $S(q)$  با رتبه  $m$  وجود دارد که شامل بردارهای مستقل خطی می‌باشد که فضای تهی ماتریس قیدی را افزایش می‌کنند، به طوریکه:

$$S^T(q) A^T(q) = 0 \quad (4)$$

ماتریس  $S(q)$  برای ربات متحرک چرخ‌دار دارای یک دنبال‌رو به صورت زیر بدست می‌آید:

$$S(q) = \begin{pmatrix} \cos \theta_0 & 0 \\ \sin \theta_0 & 0 \\ 0 & 1 \\ -\frac{1}{d} \sin(\theta_1 - \theta_0) & 0 \end{pmatrix} \quad (5)$$

بنابراین مدل سینماتیکی ربات متحرک چرخ‌دار دارای دنبال‌رو را می‌توان به صورت زیر بیان نمود:

$$\dot{q}(t) = S(q)u \quad (6)$$

که در آن  $v = (u_1, u_2)^T$  بردار ورودی‌های مستقل سینماتیکی سیستم است.  $u_1$  سرعت خطی نقطه‌ی  $P_0$  و  $u_2$  سرعت زاویه‌ای کشنده می‌باشد.

مدل بدست آمده مدل سینماتیکی وضعیت<sup>۱</sup> سیستم نامیده می‌شود. این ورودی‌های سینماتیکی با سرعت زاویه‌ای چرخ‌های دارای عملگر ربات به صورت زیر مرتبط می‌باشند:

<sup>۱</sup> Posture Kinematic Model

$$u = Jv \quad (7)$$

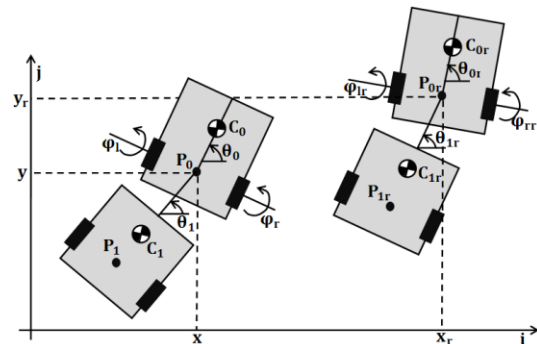
که در آن  $v$  بردار سرعت‌های زاویه‌ای چرخ‌های دارای عملگر ربات و  $J$  ماتریس ژاکوبی بین  $u$  و  $v$  است. این متغیرها به صورت زیر توصیف می‌شوند.

$$J = \begin{pmatrix} \frac{r}{2} & \frac{r}{2} \\ \frac{r}{2b} & -\frac{r}{2b} \end{pmatrix}, v = \begin{pmatrix} \dot{\phi}_r \\ \dot{\phi}_l \end{pmatrix} \quad (8)$$

که در آن  $r$  شعاع چرخ‌های دارای عملگر ربات است.  $b$  نصف فاصله‌ی میان چرخ‌های کشنده است.  $\dot{\phi}_l$  و  $\dot{\phi}_r$  به ترتیب سرعت‌های زاویه‌ای چرخ‌های سمت راست و چپ دارای عملگر ربات می‌باشند.

### ۳- تعقیب مسیرهای حرکت زمانی

تعقیب مسیرهای حرکت زمانی یکی از مسائل مربوط به کنترل حرکت ربات‌های متحرک خودکار به حساب می‌رود. در این مسئله مطلوب این است که ربات متحرک با شروع از یک شرایط اولیه مشخص به یک مسیر دلخواه در فضای دکارتی برسد و آن را تعقیب نماید. از نظر ریاضی حالت‌های سیستم یا تابعی از آنها یک سری حالت‌ها یا توابع مطلوب را تعقیب می‌نمایند. همانگونه که در شکل ۳ نمایش داده شده است این مسئله را می‌توان به صورت تعقیب یک ربات مرجع نیز در نظر گرفت که دارای همان سینماتیک ربات متحرک دارای یک دنبال‌رو است. به عبارت دیگر متغیرهای حالت ربات مرجع را می‌توان به عنوان مسیرهای حرکت مطلوب برای ربات متحرک دارای دنبال‌رو در نظر گرفت که باید تعقیب شوند. بنابراین ورودی‌های کنترلی سیستم باید به گونه‌ای طراحی شوند که خطای تعقیب  $(x - x_r, y - y_r)$  با گذشت زمان به مبدأ میل نماید، که مختصات نقطه‌ی  $P_0$  در دستگاه لخت است. بنابراین هدف این بخش طراحی ورودی کنترلی  $u$  برای نزدیک کردن نقاط  $P_0$  به  $P_{0r} = (x_r, y_r)$  است. فرض بر این است که حرکت ربات متحرک دارای دنبال‌رو رو به جلو می‌باشد یا به بیان دیگر سرعت طولی ربات مثبت می‌باشد. این فرض برای اجتناب از اثر جک-نایف سیستم کشنده دنبال‌رو در نظر گرفته می‌شود.



شکل ۳: ربات متحرک چرخ‌دار دارای یک دنبال‌رو و ربات مرجع

### ۴- تولید مسیرهای حرکت مرجع

فرض می‌کنیم مسیر مرجع در فضای دکارتی که باید توسط ربات تعقیب شود به صورت زیر بیان گردد:

$$x_r = x_r(t), y_r = y_r(t) \quad (9)$$

که زیرنویس  $r$  برای نشان دادن متغیرهای سیستم روی مسیر مرجع استفاده شده است. ما می‌خواهیم این مسیر را به فضای متغیرهای ربات نگاشت دهیم. در این صورت مسیرهای زمانی تولید شده برای ربات قابل پیمایش خواهند بود.

با استفاده از معادله‌ی (۵) و (۶) می‌توان نوشت:

$$u_{1r}(t) = \sqrt{\dot{x}_r^2(t) + \dot{y}_r^2(t)} \quad (10)$$

همچنین  $\theta_{0r}(t)$  را می‌توان به صورت زیر محاسبه نمود:

$$\theta_{0r}(t) = \text{ATAN2}(\dot{y}_r(t), \dot{x}_r(t)) \quad (11)$$

که  $\text{ATAN2}$  معکوس تابع تانژانت در یک دور کامل می‌باشد.

حال  $\dot{\theta}_{0r}(t)$  به صورت زیر بدست می‌آید:

$$\dot{\theta}_{0r}(t) = \frac{\ddot{y}_r(t)\dot{x}_r(t) - \ddot{x}_r(t)\dot{y}_r(t)}{u_{1r}^2(t)} \quad (12)$$

زاویه‌ی جهت‌گیری کشنده نیز به صورت زیر قابل محاسبه است:

$$\theta_{1r}(t) = \theta_{0r}(t) + a \sin\left(\frac{d\dot{\theta}_{0r}(t)}{u_{1r}(t)}\right) \quad (13)$$

در نهایت ورودی دوم سیستم نیز به صورت زیر خواهد بود:

$$u_{2r} = \dot{\theta}_{0r} + du_{1r} \frac{(\ddot{y}_r\dot{x}_r - \ddot{x}_r\dot{y}_r)u_{1r}^2 - 3(\ddot{y}_r\dot{x}_r - \ddot{x}_r\dot{y}_r)(\dot{x}_r\dot{x}_r - \dot{y}_r\dot{y}_r)}{u_{1r}^6 + d^2(\ddot{y}_r\dot{x}_r - \ddot{x}_r\dot{y}_r)^2} \quad (14)$$

### ۵- قانون کنترل سینماتیکی فیدبک خروجی

در این بخش یک کنترل‌کننده سینماتیکی برای سیستم طراحی می‌گردد. فرض می‌کنیم ربات چرخ‌دار دارای سرعت روبه جلوی مثبت است. می‌خواهیم کنترل‌کننده‌ای طراحی کنیم که نقطه‌ی  $P$  روی ربات را حول نقطه‌ی  $P_{0r}$  روی ربات مرجع پایدار مجانبی نماید. بنابراین بردار خطای تعقیب نسبت به دستگاه متصل به ربات مرجع به صورت زیر تعریف می‌شود:

$$\varepsilon = R(-\theta_r) \begin{pmatrix} x_{C_0} - x_{C_{0r}} \\ y_{C_0} - y_{C_{0r}} \end{pmatrix} \quad (15)$$

که در آن  $R$  ماتریس دوران دو بُعدی می‌باشد. همانگونه که از رابطه فوق می‌توان دید خطای تعقیب برای نقطه‌ی  $C_0$  نوشته شده است در حالی که هدف، تعقیب نقطه‌ی  $P_{0r}$  توسط نقطه‌ی  $P$  است. این موضوع در ادامه بیشتر بررسی خواهد شد. بنابراین هدف ما طراحی

که در آن

$$m = m_0 + m_1$$

$$F = m_1(a_1 - d)$$

$$I_{\theta_1} = m_1(d - a_1)^2 + I_1$$

$$I_{\theta_0} = m_0 a_0^2 + I_0 \quad (21)$$

که در آن  $m_0$  و  $m_1$  به ترتیب معرف جرم کشنده و دنبال‌رو،  $I_0$  و  $I_1$  به ترتیب معرف لختی‌های دورانی جرمی کشنده و دنبال‌رو حول محور عمود بر صفحه‌ی حرکت،  $a_0$  و  $a_1$  به ترتیب معرف فاصله‌ی میان مراکز جرم و نقطه‌ی میانی چرخ‌های کشنده و دنبال‌رو و  $\Gamma$  معرف شعاع چرخ‌های ربات است.

برای حذف مضارب لاگرانژ روش مکمل متعامد طبیعی<sup>۱</sup> می‌تواند استفاده شود، [۲۱]. بنابراین با جایگزینی از (۶) در (۱۹) و استفاده از (۴) خواهیم داشت:

$$\bar{M}(q)\dot{u}(t) + \bar{C}(q, u)u(t) = \bar{B}(q)\tau \quad (22)$$

که در آن

$$\bar{M}(q) = S^T(q)M(q)S(q); \quad \bar{B}(q) = S^T(q)B(q);$$

$$\bar{C}(q, u) = S^T(q)(M(q)\dot{S}(q) + C^*(q, u)) \quad (23)$$

که در آن

$$C(q, S(q)u(t)) = C^*(q, u)u(t) \quad (24)$$

### ۷- قانون کنترل ترانهاده‌ی ژاکوبی بهبود یافته

در کاربردهای مهندسی، بدست آوردن مدل ریاضی سیستم به خاطر اغتشاشات خارجی، ساده‌سازی‌های مدل‌سازی، دینامیک‌های مدل نشده و عوامل ناشناخته و غیر قابل پیش‌بینی دیگر معمولاً پیچیده و غیر ممکن است. بنابراین طراحی قوانین کنترلی غیر مبتنی بر مدل دینامیکی مورد توجه می‌باشد. در این قسمت مروری به روش ترانهاده‌ی ژاکوبی بهبود یافته که در مرجع [۱۸] برای بازوان رباتیکی ارائه شده می‌پردازیم. هدف، کنترل بردار خروجی  $\hat{q}$  برای تعقیب بردار خروجی مطلوب  $\hat{q}_{des}$  است. در کاربردهای تجربی سیستم‌های مهندسی، بدست آوردن مدل ریاضی دقیق معمولاً مشکل یا غیر ممکن می‌باشد. این به خاطر ساده‌سازی‌ها در مدل‌سازی، دینامیک‌های مدل نشده، اغتشاشات خارجی و پدیده‌های ناشناخته و غیر قابل پیش‌بینی دیگر است. بنابراین در طراحی قوانین کنترلی برای این سیستم‌ها، کنترل‌کننده‌هایی که به دینامیک سیستم وابسته نیستند بسیار مورد توجه‌اند. روش ترانهاده‌ی ژاکوبی یک روش کنترلی ساده است. خطای تعقیب و نرخ آن در بهره‌های بالایی ضرب شده و حاصل در ترانهاده ماتریس ژاکوبی ضرب می‌گردد و ورودی‌های

کنترل‌کننده‌ای می‌باشد که خطای تعقیب (۱۵) را حول مبدأ پایدار مجانبی نماید. برای این منظور دینامیک خطای تعقیب را به صورت زیر محاسبه می‌نماییم:

$$\dot{\varepsilon} = \frac{\partial \varepsilon}{\partial q} S(q)u + \frac{\partial \varepsilon}{\partial t} \quad (16)$$

برای پایدارسازی دینامیک خطای تعقیب، ورودی کنترلی  $u$  را به صورت زیر در نظر می‌گیریم:

$$u = -\left(\frac{\partial \varepsilon}{\partial q} S(q)\right)^{-1} \left(K\varepsilon + \frac{\partial \varepsilon}{\partial t}\right) \quad (17)$$

که در آن  $K$  ماتریس بهره کنترل‌کننده، یک ماتریس قطری مثبت معین است. با این انتخاب دینامیک خطای سیستم به صورت زیر خواهد بود:

$$\dot{\varepsilon} = -K\varepsilon \quad (18)$$

که یک دینامیک خطای پایدار است و خطای تعقیب سیستم حول مبدأ پایدار می‌گردد. شرط قابل اعمال بودن قانون کنترلی بدست آمده این است که ماتریس  $\frac{\partial \varepsilon}{\partial q} S(q)$  تکین نباشد که به همین علت خطای تعقیب حول نقطه‌ی  $C_0$  نوشته شد.

### ۶- مدل دینامیکی ربات چرخ‌دار به همراه یک دنبال‌رو

معادلات دینامیکی ربات چرخ‌دار به همراه یک دنبال‌رو از طریق روش لاگرانژ به صورت زیر بدست می‌آید:

$$M(q)\ddot{q} + C(q, \dot{q}) = B(q)\tau + A^T(q)\lambda \quad (19)$$

که در آن  $M(q)$  ماتریس جرمی سیستم،  $C(q, \dot{q})$  شامل نیروهای جانب مرکز و کوریولیس،  $B(q)$  ماتریس تبدیل ورودی،  $A(q)$  ماتریس قیدی سیستم و  $\lambda$  بردار مضارب لاگرانژ سیستم است و به صورت زیر بدست می‌آیند:

$$M(q) = \begin{bmatrix} m & 0 & -a_0 m_0 \sin \theta_0 & -F \sin \theta_1 \\ 0 & m & a_0 m_0 \cos \theta_0 & F \cos \theta_1 \\ -a_0 m_0 \sin \theta_0 & a_0 m_0 \cos \theta_0 & I_{\theta_0} & 0 \\ -F \sin \theta_1 & F \cos \theta_1 & 0 & I_{\theta_1} \end{bmatrix}$$

$$C(q, \dot{q}) = \begin{bmatrix} -a_0 m_0 \cos \theta_0 \dot{\theta}_0^2 - F \cos \theta_1 \dot{\theta}_1^2 \\ -a_0 m_0 \sin \theta_0 \dot{\theta}_0^2 - F \sin \theta_1 \dot{\theta}_1^2 \\ 0 \\ 0 \end{bmatrix}$$

$$B(q) = \frac{1}{r} \begin{bmatrix} \cos \theta_0 & \cos \theta_0 \\ \sin \theta_0 & \sin \theta_0 \\ b & -b \\ 0 & 0 \end{bmatrix}$$

$$\tau = \begin{pmatrix} \tau_r \\ \tau_l \end{pmatrix} \quad (20)$$

<sup>۱</sup> Natural Orthogonal Complement Method

که در آن  $u_c(t)$  بردار ورودی‌های سینماتیکی می‌باشد که در طراحی کنترل‌کننده سینماتیکی برای سیستم بدست آمد. هدف طراحی گشتاورهای عملگری برای پایدارسازی خطای تعقیب حول مبدأ می‌باشد. قانون کنترل ترانهاده‌ی ژاکوبی بهبود یافته به صورت زیر را برای سیستم در نظر می‌گیریم:

$$\tau(t) = J^T(q) \{K_p e + h(t)\} \quad (31)$$

که در آن  $\tau(t)$  بردار گشتاورهای عملگری سیستم و  $h(t)$  عاملی به منظور در نظر گرفتن اثر ورودی در گام زمانی پیشین است و به صورت زیر در نظر گرفته می‌شود:

$$h(t) = K J^{-T} \tau(t - \Delta t) \quad (32)$$

که در آن  $K$  یک ماتریس قطری با عناصر قطری زیر است:

$$K^{ii} = \begin{cases} 0 & \|e\| \geq \delta \text{ or } \|\dot{e}\| \geq \dot{\delta} \\ 1 & \|e\| < \delta \text{ or } \|\dot{e}\| < \dot{\delta} \end{cases} \quad (33)$$

که  $\delta$  و  $\dot{\delta}$  اعداد حقیقی و مثبت می‌باشند.

به جای سوئیچینگ ناپیوسته‌ی رابطه (۳۳)، می‌توان عبارت پیوسته زیر را استفاده نمود:

$$K^{ii} = \exp(-k^{ii} \|e\|) \quad (34)$$

که در آن  $k^{ii}$  بهره‌های مثبت و حقیقی می‌باشند.

**قضیه ۱.** قانون کنترلی غیر مبتنی بر مدل (۳۱) برای سیستم دینامیکی (۲۲)، خطای تعقیب (۳۰) را به صورت مجانبی حول مبدأ پایدار می‌سازد.

**اثبات.** تابع مثبت معین زیر را در نظر بگیرید:

$$V = \frac{1}{2} e^T(t) \bar{M}(q) e(t) \quad (35)$$

با مشتق‌گیری خواهیم داشت:

$$\begin{aligned} \dot{V} &= e^T(t) \bar{M}(q) \dot{e}(t) + \frac{1}{2} e^T(t) \dot{\bar{M}}(q) e(t) \\ &= e^T(t) \bar{M}(q) (\dot{u}_c - \dot{u}) + \frac{1}{2} e^T(t) \dot{\bar{M}}(q) e(t) \end{aligned} \quad (36)$$

با جایگزینی از رابطه‌ی (۲۲) داریم:

$$\dot{V} = e^T(t) (\bar{M}(q) \dot{u}_c + \bar{C}u(t) - \bar{B}(q)\tau) + \frac{1}{2} e^T(t) \dot{\bar{M}}(q) e(t) \quad (37)$$

با جایگزینی از رابطه‌ی (۳۰) و ساده‌سازی داریم:

$$\begin{aligned} \dot{V} &= e^T(t) (\bar{M}(q) \dot{u}_c + \bar{C}(u_c(t) - e(t)) - \bar{B}(q)\tau) \\ &+ \frac{1}{2} e^T(t) \dot{\bar{M}}(q) e(t) = e^T(t) (\bar{M}(q) \dot{u}_c + \bar{C}u_c(t) - \bar{B}(q)\tau) \\ &+ e^T(t) (\frac{1}{2} \dot{\bar{M}}(q) - \bar{C}) e(t) \end{aligned} \quad (38)$$

کنترلی تولید می‌گردند. این ورودی‌ها مجری نهایی را به سمتی که خطای تعقیب کاهش می‌یابد هدایت می‌کنند. الگوریتم ترانهاده‌ی ژاکوبی ورودی‌های کنترلی زیر را تولید می‌نماید:

$$\tau(t) = J^T(q) \{K_p e + K_d \dot{e}\} \quad (25)$$

که در آن  $K_p$  و  $K_d$  ماتریس‌های بهره مثبت معین بوده و  $e$  بردار خطای تعقیب است که به صورت  $e = \hat{q}_{des} - \hat{q}$  تعریف می‌شود. ماتریس ژاکوبی  $J$  نیز ماتریسی است که سرعت‌های مفصلی را به روی سرعت‌های خروجی نگاشت می‌دهد یعنی  $\dot{\hat{q}} = J\dot{q}$ . از آنجایی که کنترل ترانهاده‌ی ژاکوبی اطلاعاتی از دینامیک سیستم ندارد در تعقیب مسیرهای حرکتی که سرعت قابل ملاحظه دارند عملکرد ضعیفی مشاهده می‌شود. همچنین بهره‌های کنترلی بالا عملکرد ضعیفی را مخصوصاً در حضور نویز تولید می‌کنند. برای داشتن همزمان سادگی و دقت، هنگامی که خطای کنترلی کوچک است الگوریتم کنترلی ترانهاده‌ی ژاکوبی با اضافه کردن عبارتی در بر گیرنده‌ی دینامیک سیستم، تغییر داده شده است. کنترل بدست آمده ترانهاده‌ی ژاکوبی بهبود یافته نام گرفته است. این الگوریتم کنترلی تقریبی از روش خطی‌سازی فیدبک با استفاده از ورودی کنترلی در یک گام زمانی پیشین است. این قانون کنترلی در مرجع [۱۸] به صورت زیر پیشنهاد شده است:

$$\tau(t) = J^T(q) \{k_p e + k_d \dot{e} + h(t)\} \quad (26)$$

که در آن  $\tau$  بردار گشتاورهای عملگری است.  $h(t)$  ناشی از ورودی کنترلی در گام زمانی پیشین است و داریم:

$$h(t) = K \tau(t - \Delta t) \quad (27)$$

که  $K$  ماتریس بهره‌ی سوئیچینگ قطری با عناصر قطری زیر است:

$$K^{ii} = \exp\left(-\left(\frac{|e_i|}{e_{max_i}} + \frac{|\dot{e}_i|}{\dot{e}_{max_i}}\right)\right) \quad (28)$$

که  $e_{max_i}$  و  $\dot{e}_{max_i}$  محدوده‌های حساسیت کنترل‌کننده را مشخص می‌کنند. با انتخاب مناسب این ضرایب، قانون کنترلی عملکرد مناسبی ارائه می‌نماید. با انتخاب گام‌های زمانی کوچک، معادله‌ی خطای زیر را خواهیم داشت:

$$k_d \dot{e} + k_p e \cong 0 \quad (29)$$

که نشان می‌دهد با انتخاب مناسب ضرایب کنترلی، سیستم پایدار است.

## ۸- قانون کنترل دینامیکی غیر مبتنی بر مدل

در این قسمت یک قانون کنترلی غیر مبتنی بر مدل بر اساس روش ترانهاده‌ی ژاکوبی بهبود یافته برای کنترل دینامیکی تعقیب مسیرهای حرکت زمانی مرجع ارائه می‌گردد. برای این منظور خطای تعقیب را به صورت زیر تعریف می‌کنیم:

$$e(t) = u_c(t) - u(t) \quad (30)$$

$$= -e_{n+1}^T K_p e_{n+1} + e_{n+1}^T \bar{B}(q) \tau_{n+1}^c - e_{n+1}^T \sum_{i=2}^{n+1} \left\{ \prod_{j=i}^{n+1} K_j K_p e_{i-1} \right\} \quad (۴۷)$$

از سویی دیگر بر اساس روش تفاضل محدود<sup>۲</sup> برای متغیر دلخواه  $\alpha$  می‌توان نوشت:

$$\alpha_n = \alpha_{n-1} + \Delta t_n \dot{\alpha}_{n-1} + O(\Delta t_n^2) \quad (۴۸)$$

با استفاده از (۴۸) رابطه‌ی را می‌توان به صورت زیر نوشت:

$$\begin{aligned} \dot{V}_{n+1} = & -(e_n + \Delta t_{n+1} \dot{e}_n)^T K_p (e_n + \Delta t_{n+1} \dot{e}_n) \\ & - (e_n + \Delta t_{n+1} \dot{e}_n)^T \left( K_{n+1} K_p e_n + \sum_{i=2}^n \left\{ \prod_{j=i}^{n+1} K_j K_p e_{i-1} \right\} \right) \\ & + (e_n + \Delta t_{n+1} \dot{e}_n)^T \bar{B}(q) (\tau_n^c + \Delta t_{n+1} \dot{\tau}_n^c) + O(\Delta t_n^2) \end{aligned} \quad (۴۹)$$

با ساده‌سازی و استفاده از رابطه‌ی (۴۵) داریم:

$$\begin{aligned} \dot{V}_{n+1} = & \dot{V}_n - \Delta t_{n+1} \dot{e}_n^T K_p e_n - \Delta t_{n+1} e_n^T K_p \dot{e}_n \\ & + \Delta t_{n+1} (e_n^T \bar{B} \dot{\tau}_n^c + \dot{e}_n^T \bar{B} \tau_n^c) - e_n^T K_{n+1} K_p e_n \\ & - \Delta t_{n+1} \dot{e}_n^T K_{n+1} K_p e_n + O(\Delta t_n^2) \end{aligned} \quad (۵۰)$$

با ساده‌سازی و صرف‌نظر از جملات رسته بالا به این نتیجه می‌رسیم

که  $\dot{V}_{n+1}$  یک تابع منفی نیمه معین است اگر:

$$\begin{aligned} \Delta t_{n+1} (e_n^T \bar{B} \dot{\tau}_n^c + \dot{e}_n^T \bar{B} \tau_n^c) - \Delta t_{n+1} e_n^T K_p e_n \\ - \Delta t_{n+1} e_n^T K_p \dot{e}_n - \Delta t_{n+1} \dot{e}_n^T K_{n+1} K_p e_n < e_n^T K_{n+1} K_p e_n \end{aligned} \quad (۵۱)$$

از آنجایی که  $\Delta t$  یک عدد مثبت و  $K_p$  ماتریس بهره مثبت معین است، با انتخاب مقادیر بزرگ  $K_{n+1}^{ii} K_p^{ii} / \Delta t$ ، تابع  $\dot{V}$  حول مبدأ به صفر میل می‌کند و در بقیه نقاط منفی خواهد بود و پایداری سیستم مجانبی خواهد بود. بنابراین معادله‌ی (۵۱) معیاری برای انتخاب بهره‌های کنترلی و زمان نمونه‌برداری می‌باشد. در صورتیکه برای  $K_{n+1}^{ii} K_p^{ii} / \Delta t$  مقادیر بزرگی انتخاب شود، در رابطه‌ی (۵۱)، سمت راست رابطه به اندازه قابل توجهی از سمت چپ بزرگتر خواهد بود، با توجه به اینکه بازه زمانی نمونه‌برداری همواره مقدار کوچکی است چنین شرایطی معمولاً برقرار می‌گردد. بنابراین جملات مراتب بالا در رابطه‌ی (۵۰) در صورت برقراری چنین شرطی کوچکتر از سایر جملات خواهند بود.

### ۹- نتایج بدست آمده

در این قسمت نتایج تجربی حاصل از پیاده‌سازی قانون کنترلی روی یک ربات چرخ‌دار ارائه می‌گردد.

#### ۹-۱- سیستم آزمایشگاهی

سیستم آزمایشگاهی از یک ربات چرخ‌دار به همراه یک دنبال‌رو تشکیل می‌شود. کشنده از طریق دو چرخ دارای عملگر حرکت می‌کند و

با استفاده از این اصل که ماتریس  $\frac{1}{2} \dot{\bar{M}}(q) - \bar{C}$  یک ماتریس پاد متقارن<sup>۱</sup> است، خواهیم داشت:

$$\dot{V} = e^T(t) (\bar{M}(q) \dot{u}_c + \bar{C} u_c(t) - \bar{B}(q) \tau) \quad (۳۹)$$

حال تعریف می‌کنیم:

$$\bar{B}(q) \tau^c = \bar{M}(q) \dot{u}_c + \bar{C} u_c(t) \quad (۴۰)$$

با جایگزینی در معادله (۳۹) خواهیم داشت:

$$\dot{V} = e^T(t) \bar{B}(q) (\tau^c - \tau) \quad (۴۱)$$

بنابراین برای  $n$ -امین زمان نمونه‌برداری می‌توان نوشت:

$$\dot{V}_n = e_n^T(t) \bar{B}(q) (\tau_n^c - \tau_n) \quad (۴۲)$$

ورودی کنترلی برای  $n$ -امین زمان نمونه‌برداری نیز به صورت زیر خواهد بود:

$$\tau_n(t) = J^T(q) \{ K_p e_n + K_n J^{-T} \tau_{n-1} \} \quad (۴۳)$$

که  $K_n$  ماتریس بهره رابطه‌ی (۳۲) برای  $n$ -امین زمان نمونه‌برداری می‌باشد.

رابطه‌ی (۴۳) یک رابطه‌ی بازگشتی می‌باشد که می‌توان آن را به صورت غیر بازگشتی زیر نوشت:

$$\tau_n(t) = J^T(q) \left\{ K_p e_n + \sum_{i=2}^n \left\{ \prod_{j=i}^n K_j K_p e_{i-1} \right\} \right\} \quad (۴۴)$$

با جایگزینی از معادله (۴۴) در (۴۲) و استفاده از اینکه ماتریس  $\bar{B} J^T$  یک ماتریس واحد است داریم:

$$\dot{V}_n = e_n^T(t) \left( \bar{B}(q) \tau_n^c - \left\{ K_p e_n + \sum_{i=2}^n \left\{ \prod_{j=i}^n K_j K_p e_{i-1} \right\} \right\} \right) \quad (۴۵)$$

برای اثبات پایداری سیستم باید نشان دهیم که  $\dot{V}_n$  یک تابع مثبت نیمه معین است. برای این منظور از روش استقرای ریاضی استفاده می‌کنیم. برای اولین نمونه زمانی داریم:

$$\dot{V}_1 = e_1^T \bar{B}(q) \tau_1^c - e_1^T K_p e_1 \quad (۴۶)$$

بنابراین با انتخاب ماتریس بهره‌ی به اندازه کافی بزرگ  $K_p$ ،  $\dot{V}_1$  منفی خواهد بود.

حال با فرض اینکه  $\dot{V}_n$  منفی نیمه معین باشد باید نشان دهیم  $\dot{V}_{n+1}$  نیز یک تابع منفی نیمه معین است. رابطه‌ی (۴۵) برای نمونه‌ی زمانی  $n+1$  به صورت زیر می‌باشد:

$$\dot{V}_{n+1} = e_{n+1}^T \left( \bar{B}(q) \tau_{n+1}^c - \left\{ K_p e_{n+1} + \sum_{i=2}^{n+1} \left\{ \prod_{j=i}^{n+1} K_j K_p e_{i-1} \right\} \right\} \right)$$

<sup>۲</sup> Finite Difference

<sup>۱</sup> Skew-symmetric

شرایط اولیه سیستم به صورت زیر فرض شده‌اند:

$$x(0) = 0.35, y(0) = -0.58, \theta_0(0) = 0.4\pi, \dot{\theta}_0(0) = 0.4\pi \quad (53)$$

به منظور تحلیل اثر مقاومت کنترل‌کننده در ثانیه ۳۵-ام پارامترهای

جرمی سیستم به صورت زیر تغییر داده شده است:

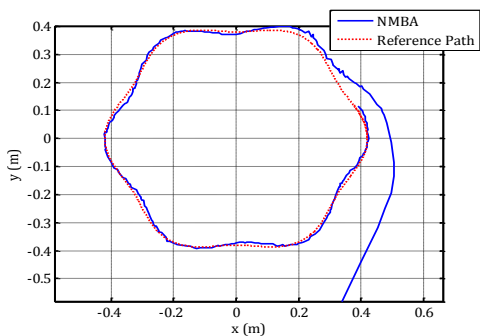
$$g \rightarrow (1 + 0.5u(t - 35))g \quad (54)$$

که در آن  $u(t)$  تابع پله واحد می‌باشد و  $g \in \{m_0, m_1\}$  پارامترهای جرمی ربات را در بر می‌گیرد.

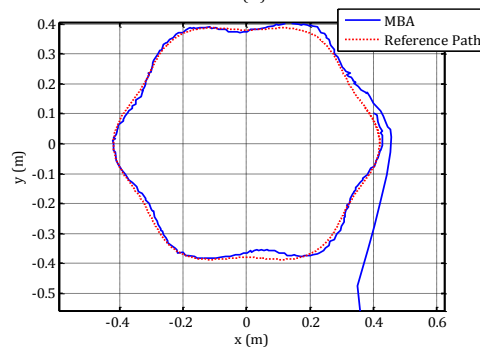
جدول ۲: مقادیر پارامترهای کنترل‌کننده

مقدار	توصیف	پارامتر
diag(0.6,0.6)	بهره کنترل‌کننده سینماتیکی	K
diag(2.5,0.6)	بهره تناسبی کنترل‌کننده دینامیکی	K <sub>p</sub>
0.1	بهره کنترل‌کننده دینامیکی	k <sup>ii</sup>

در شکل ۴ مسیر حرکت ربات در صفحه برای الگوریتم‌های غیر مبتنی بر مدل و مدل-مبنا نشان داده شده‌اند. در شکل ۵ نیز خطای تعقیب متغیرهای سیستم برای الگوریتم‌های کنترلی مذکور ترسیم شده است. در شکل ۶ خطای تعقیب مسیر مرجع (فاصله از وضعیت مطلوب) برای قوانین کنترلی غیر مبتنی بر مدل و مدل-مبنا مقایسه شده است. در شکل ۷ ورودی‌های کنترلی سینماتیکی و دینامیکی ارائه شده‌اند.



(الف)



(ب)

شکل ۴: مسیر حرکت ربات در صفحه‌ی حرکت (الف) کنترل غیر مبتنی بر مدل

(ب) کنترل مدل-مبنا

از یک چرخ‌کروی به منظور حفظ پایداری آن استفاده شده است. مشخصات هندسی و مقادیر پارامترهای سیستم در جدول ۱ ارائه شده است. حرکت چرخ‌های دارای عملگر از طریق موتورهای DC دارای ولتاژ عملکردی ۱۲ ولت و گشتاور نگهدارنده ۱/۶۲ نیوتن-متر شکل می‌گیرد. برای اندازه‌گیری وضعیت ربات از یک دوربین نصب شده بالای صفحه حرکت و پردازش تصویر به هنگام، استفاده شده است. دوربین استفاده شده دارای تفکیک‌پذیری 640×480 پیکسل و نرخ تصویر برداری ۳۰ تصویر در ثانیه است. اطلاعات از طریق یک اتصال USB با کامپیوتر برقرار می‌گردد. یک کامپیوتر با اتصال USB به دوربین با ویژگی‌های (2 GB RAM، Intel Core 2، CPU 2.00 GHz، 32 bit) استفاده شده است. کنترل سیستم از طریق نرم‌افزار MATLAB/Simulink پیاده‌سازی گردیده است.

جدول ۱: مقادیر پارامترهای سیستم

مقدار	توصیف	پارامتر
0.9, 0.33 kg	جرم دنبال‌رو و کشنده	m <sub>0</sub> , m <sub>1</sub>
0.0035, 0.00078 kg.m <sup>2</sup>	لختی‌های دورانی	I <sub>0</sub> , I <sub>1</sub>
0.17 m	طول P <sub>0</sub> P <sub>1</sub>	d
0.026 m	شعاع چرخ‌ها	r
0.1190 m	فاصله بین چرخ‌های کشنده	2b
0.029, 0 m	طول P <sub>0</sub> C <sub>0</sub> و P <sub>0</sub> C <sub>1</sub>	a <sub>0</sub> , a <sub>1</sub>

### ۹-۲- نتایج تجربی

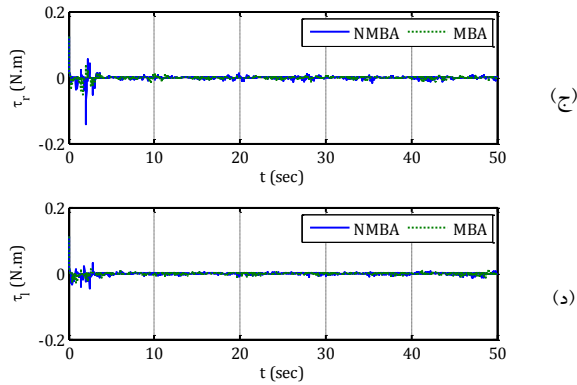
در این بخش به منظور بررسی کارایی کنترل‌کننده نتایج تجربی حاصل از پیاده‌سازی قانون کنترلی بر روی مدل آزمایشگاهی ارائه شده است. همچنین نتایج پیاده‌سازی الگوریتم غیر مبتنی بر مدل با نتایج حاصل از الگوریتم مدل-مبنا به روش گشتاور محاسبه شده<sup>۱</sup> مقایسه شده است. این کنترل‌کننده تحت عنوان کنترل خطی‌سازی فیدبک دینامیکی<sup>۲</sup> در مقاله [۲۲] نویسنده‌گان تشریح شده است.

پارامترهای کنترل‌کننده در جدول ۲ ارائه شده و مسیرهای حرکت مرجع به صورت زیر در نظر گرفته شده‌اند.

$$\begin{cases} x_r(t) = 0.02 \left( R + \cos\left(\frac{36t}{T}\right) \right) \cos\left(\frac{6t}{T}\right) \\ y_r(t) = 0.02 \left( R + \cos\left(\frac{36t}{T}\right) \right) \sin\left(\frac{6t}{T}\right) \end{cases} \quad (52)$$

<sup>۱</sup> Computed Torque Method

<sup>۲</sup> Feedback-Linearizing Dynamic Controller (FLDC)



شکل ۷: ورودی‌های کنترلی برای قوانین کنترلی غیر مبتنی بر مدل و مدل-مبنا (الف) ورودی سینماتیکی  $u_1$  (ب) ورودی سینماتیکی  $u_2$  (ج) ورودی دینامیکی  $\tau_1$  (د) ورودی دینامیکی  $\tau_2$

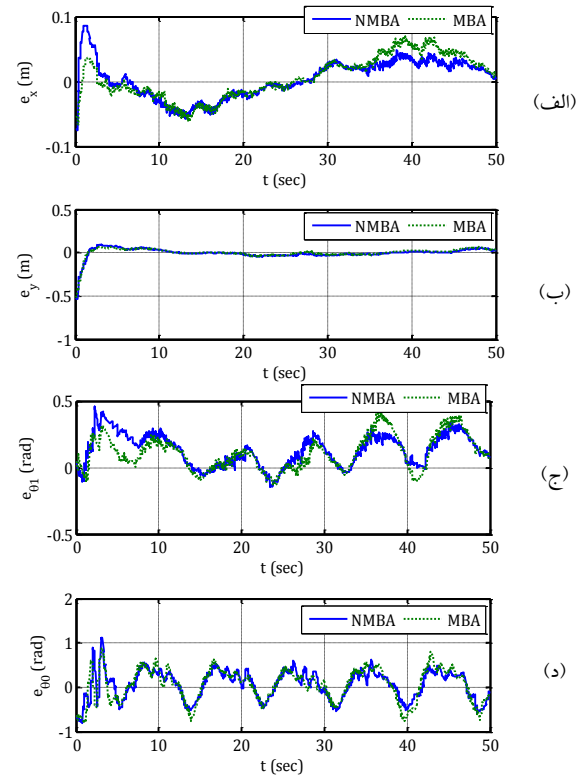
نتایج بدست آمده نشان می‌دهد عملکرد الگوریتم غیر مبتنی بر مدل مشابه الگوریتم مدل-مبنا می‌باشد، حتی در حضور عدم قطعیت‌ها عملکرد بهتری از خود نشان می‌دهد و حجم محاسباتی کمتری دارد. همانگونه که مشاهده می‌شود با شروع از شرایط اولیه پس از تقریباً ۳ ثانیه ربات متحرک خود را به مسیر مرجع رسانده و در حاشیه مناسبی از آن قرار گرفته است. ورودیهای کنترلی تولید شده نیز دارای مقادیر مناسبی می‌باشند و خارج از محدوده گشتاورهای عملگرهای ربات قرار نمی‌گیرند.

### ۱۰- نتیجه‌گیری

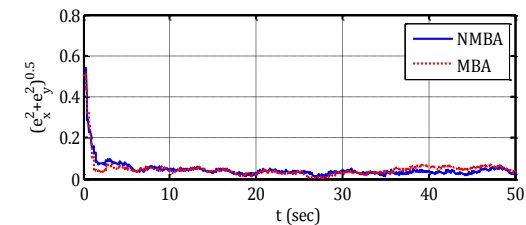
در این مقاله یک روش جدید برای کنترل دینامیکی تعقیب مسیرهای حرکت یک ربات چرخ‌دار دارای یک دنبال‌رو به عنوان یک سیستم غیرخطی، کم عملگر و غیرهولونومیک ارائه شده است. ابتدا معادلات دینامیکی سیستم استخراج گردید. سپس مسیرهای حرکت مرجع مناسب برای ربات تولید گردید و یک کنترل‌کننده سینماتیکی بر اساس فیدبک خروجی سیستم طراحی گردید. سپس یک قانون کنترل دینامیکی غیر مبتنی بر مدل بر اساس روش ترانهاده ژاکوبی بهبودیافته برای ربات طراحی گردید. همچنین پایداری قانون کنترلی از طریق روش لیپانوف بررسی گردید. سرانجام به منظور بررسی کارایی روش، نتایج تجربی پیاده‌سازی قانون کنترلی پیشنهاد شده بر روی یک مدل آزمایشگاهی ربات چرخ‌دار دارای دنبال‌رو ارائه و با نتایج یک کنترل‌کننده مدل-مبنا مقایسه گردید. نتایج بدست آمده کارآمد بودن روش ارائه شده را تایید می‌نمایند.

### ۱۱- مراجع

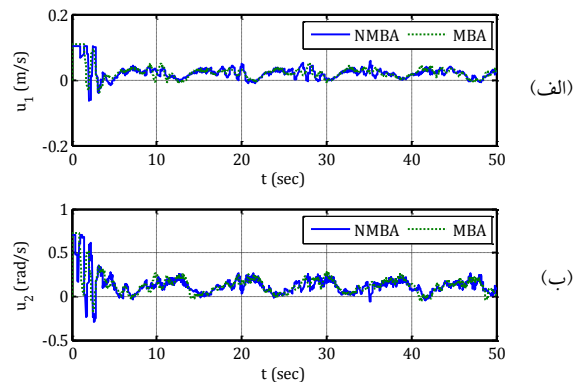
[1] S. A. A. Moosavian, A. Kalantari, H. Semsarilar, E. Aboosaeedan, and E. Mihankhah, "ResQuake: A Tele-Operative Rescue Robot," *Journal of mechanical design*, vol. 131, 2009.



شکل ۸: خطای تعقیب متغیرهای سیستم برای قوانین کنترلی غیر مبتنی بر مدل و مدل-مبنا (الف) خطای متغیر X (ب) خطای متغیر Y (ج) خطای متغیر  $\theta_1$  (د) خطای متغیر  $\theta_2$



شکل ۹: خطای تعقیب مسیر مرجع (فاصله از وضعیت مطلوب) برای قوانین کنترلی غیر مبتنی بر مدل و مدل-مبنا



- [13] G. Klančar and I. Škrjanc, "Tracking-error model-based predictive control for mobile robots in real time," *Robotics and Autonomous Systems*, vol. 55, pp. 460-469, 2007.
- [14] J. Ye, "Adaptive control of nonlinear PID-based analog neural networks for a nonholonomic mobile robot," *Neurocomputing*, vol. 71, pp. 1561-1565, 2008.
- [15] J. Ye, "Tracking control for nonholonomic mobile robots: Integrating the analog neural network into the backstepping technique," *Neurocomputing*, vol. 71, pp. 3373-3378, 2008.
- [16] C. Chian-Song and L. Kuang-Yow, "Hybrid Fuzzy Model-Based Control of Nonholonomic Systems: A Unified Viewpoint," *IEEE Transactions on Fuzzy Systems*, vol. 16, pp. 85-96, 2008.
- [17] Y. Asari, H. Sato, T. Yoshimi, K. Tatsuno, and K. Asano, "Development of model-based remote maintenance robot system. IV. A practical stiffness control method for redundant robot arm," in *Intelligent Robots and Systems '93, IROS '93. Proceedings of the 1993 IEEE/RSJ International Conference on*, 1993, pp. 1245-1251 vol.2.
- [18] S. A. A. Moosavian and E. Papadopoulos, "Modified transpose Jacobian control of robotic systems," *Automatica*, vol. 43, pp. 1226-1233, 2007.
- [19] M. Karimi and S. Moosavian, "Control of underactuated manipulators using Modified Transpose Effective Jacobian," in *IEEE/RSJ International Conference on Intelligent Robots and Systems, 2008. IROS 2008.*, 2008, pp. 3744-3749.
- [20] M. Karimi and S. A. A. Moosavian, "Modified Transpose Effective Jacobian control of underactuated manipulators," in *Advanced Intelligent Mechatronics, 2008. AIM 2008. International Conference on IEEE/ASME*, 2008, pp. 1337-1342.
- [21] S. K. Saha and J. Angeles, "Dynamics of Nonholonomic Mechanical Systems Using a Natural Orthogonal Complement," *Journal of Applied Mechanics*, vol. 58, pp. 238-243, 1991.
- [22] A. Keymasi Khalaji and S. A. A. Moosavian, "Robust Adaptive Controller for a Tractor-Trailer Mobile Robot," *IEEE/ASME Transactions on Mechatronics*, vol. 19, pp. 943 - 953, 2014.
- [2] M. Eslamy and S. A. A. Moosavian, "Dynamics and Cooperative Object Manipulation Control of Suspended Mobile Manipulators," *Journal of Intelligent and Robotics Systems*, vol. 60, pp. 181-199, 2010.
- [3] K. Alipour and S. A. A. Moosavian, "How to ensure stable motion of suspended wheeled mobile robots," *International Journal of Industrial robot* vol. 38, pp. 139-152, 2011.
- [4] G. Campion, G. Bastin, and B. Dandrea Novel, "Structural properties and classification of kinematic and dynamic models of wheeled mobile robots," *IEEE Transactions on Robotics and Automation*, vol. 12, pp. 47-62, 1996.
- [5] C. Samson, "Control of chained systems application to path following and time-varying point-stabilization of mobile robots," *IEEE Transactions on Automatic Control*, vol. 40, pp. 64-77, 1995.
- [6] L. Chang Boon and W. Danwei, "GPS-Based Path Following Control for a Car-Like Wheeled Mobile Robot With Skidding and Slipping," *IEEE Transactions on Control Systems Technology*, vol. 16, pp. 340-347, 2008.
- [7] P. Morin and C. Samson, "Control of nonlinear chained systems: from the Routh-Hurwitz stability criterion to time-varying exponential stabilizers," *IEEE Transactions on Automatic Control*, vol. 45, pp. 141-146, 2000.
- [8] F. N. Martins, W. C. Celeste, R. Carelli, M. Sarcinelli-Filho, and T. F. Bastos-Filho, "An adaptive dynamic controller for autonomous mobile robot trajectory tracking," *Control Engineering Practice*, vol. 16, pp. 1354-1363, 2008.
- [9] C.-Y. Chen, T.-H. S. Li, Y.-C. Yeh, and C.-C. Chang, "Design and implementation of an adaptive sliding-mode dynamic controller for wheeled mobile robots," *Mechatronics*, vol. 19, pp. 156-166, 2009.
- [10] C.-Y. Chen, T.-H. S. Li, and Y.-C. Yeh, "EP-based kinematic control and adaptive fuzzy sliding-mode dynamic control for wheeled mobile robots," *Information Sciences*, vol. 179, pp. 180-195, 2009.
- [11] J. Yang, R. Ma, Y. Zhang, and C. Zhao, "Sliding Mode Control for Trajectory Tracking of Intelligent Vehicle," *Physics Procedia*, vol. 33, pp. 1160-1167, 2012.
- [12] H. Chih-Lyang Hwang Chih-Lyang and C. Li-Jui Chang Li-Jui, "Trajectory Tracking and Obstacle Avoidance of Car-Like Mobile Robots in an Intelligent Space Using Mixed  $H_2/H_\infty$ ; Decentralized Control," *IEEE ASME Trans Mechatron*, vol. 12, pp. 345-352, 2007.





## پایدارسازی سیستم‌های همگن سوئیچ شونده با استفاده از تابع لیاپانوف مشترک

خاطره سخنور ماهانی<sup>۱</sup>، علی کریم پور<sup>۲</sup>، ناصر پریرز<sup>۳</sup>

<sup>۱</sup> دانشجوی دکتری مهندسی برق، گروه مهندسی برق، دانشگاه فردوسی مشهد، kh.sokhanvar@stu-mail.um.ac.ir

<sup>۲</sup> دانشیار، دانشکده مهندسی، گروه مهندسی برق، دانشگاه فردوسی مشهد، karimpor@um.ac.ir

<sup>۳</sup> استاد، دانشکده مهندسی، گروه مهندسی برق، دانشگاه فردوسی مشهد، n-pariz@um.ac.ir

(تاریخ دریافت مقاله ۱۳۹۲/۲/۲۳، تاریخ پذیرش مقاله ۱۳۹۲/۴/۱۹)

**چکیده:** در این مقاله روشی جدید برای پایدارسازی و طراحی قانون کلیدزنی پایدارساز برای سیستم‌های همگن سوئیچ شونده به عنوان دسته‌ای از سیستم‌های غیرخطی سوئیچ شونده معرفی شده است. سیستم سوئیچ شونده مورد نظر دارای تعداد مشخصی زیرسیستم است که همگی همگن از درجه دلخواه با ضرایب گسترش یکسان هستند. در این روش هیچ محدودیتی در رابطه با بعد سیستم، درجه همگنی و ضرایب گسترش وجود ندارد. روش ارائه شده مبتنی بر وجود تابع لیاپانوف مشترک همگن برای زیرسیستم‌ها است و براساس آن قانون کلیدزنی پایدارساز همگن مشخص می‌گردد. در این روش یک سیستم ترکیبی از زیرسیستم‌ها ساخته می‌شود و در قضیه‌ای نشان داده شده که پایداری سیستم ترکیبی، پایداری سیستم سوئیچ شونده به همراه قانون کلیدزنی معرفی شده را نتیجه می‌دهد. همچنین تابع لیاپانوف سیستم ترکیبی، به عنوان تابع لیاپانوف مشترک برای سیستم سوئیچ شونده معرفی شده است.

**کلمات کلیدی:** پایداری، تابع لیاپانوف مشترک، سیستم غیرخطی سوئیچ شونده، سیستم همگن، قانون کلیدزنی پایدارساز.

## Stabilization of Switched Homogeneous Systems using Common Lyapunov Function

Khatereh Sokhanvar Mahani, Ali Karimpour, Naser Pariz

**Abstract:** In this paper, a new method is introduced to study the stabilization and design of stabilizing switching law for switched homogeneous systems as a class of switched nonlinear systems. The considered switched system has a number of homogeneous subsystems with desired degree and similar dilation coefficients. In this method, there is not any limitation about system dimension, homogeneous degree and dilation coefficients. The proposed method is based on existence of homogeneous common Lyapunov function for subsystems and using that, the stabilizing switching law is specified. In this method, a combined system of subsystems is introduced and in a theorem it is shown that the stability of combined system results in the stability of switched system with defined switching law. Thus the Lyapunov function of combined system is introduced as common Lyapunov function for switched system.

**Keywords:** stability, common Lyapunov function, switched nonlinear system, homogeneous system, stabilizing switching law.

مورد توجه محققان و پژوهشگران قرار گرفته اند. سیستم سوئیچ شونده دارای دو نوع دینامیک است. یکی دینامیک وابسته به زمان مربوط به زیرسیستم‌ها که با معادلات دیفرانسیل یا تفاضلی مشخص می‌شود و

### ۱ - مقدمه

مطالعه وضعیت پایداری یکی از مسائل اصلی مطرح در رابطه با هر سیستم است. سیستم‌های هایبرید و سوئیچ شونده در سالهای اخیر بسیار

چند در مسئله پایداری سیستم‌های غیرخطی سوئیچ شونده نیز مبنای کار همان توابع لیاپانوف مشترک یا چندگانه است، ولی روش کلی برای ارائه آن وجود ندارد و از این رو معمولاً سیستم سوئیچ شونده با دسته خاصی از زیرسیستم‌های غیرخطی که دارای ویژگی‌هایی باشند مورد مطالعه و بحث قرار می‌گیرد. در این مقاله آنالیز پایداری برای سیستم‌های همگن سوئیچ شونده مطرح شده است. سیستم‌های همگن دسته‌ای از سیستم‌های غیرخطی هستند که شامل سیستم‌های خطی و چندجمله‌ای می‌باشند. اهمیت سیستم‌های همگن در این است که می‌توان سیستم‌های غیرخطی را توسط آن تقریب محلی زد. از این رو مسائل مختلف کنترلی در رابطه با این سیستم‌ها مورد توجه محققان بوده است. به سیستم سوئیچ شونده که زیرسیستم‌های آن همگی همگن با ضرایب گسترش<sup>۲</sup> یکسان باشند، سیستم همگن سوئیچ شونده گفته می‌شود. چنین سیستم‌هایی با توجه به ماهیت غیرخطی زیرسیستم‌ها از یک طرف و خواص جالب آنها از طرف دیگر در سالهای اخیر مورد توجه ویژه قرار گرفته‌اند. موضوع پایداری سیستم‌های همگن سوئیچ شونده در مراجع مختلف با اعمال محدودیت‌هایی در مورد زیرسیستم‌ها مطالعه شده است. در مرجع [۲۰] پایداری سیستم همگن سوئیچ شونده دوبعدی بررسی شده است. در این مقاله دو زیرسیستم پایدار چند جمله‌ای دوبعدی در نظر گرفته شده و مسئله پایداری بر مبنای انتگرال اول تعمیم یافته مطالعه شده است. در این مقاله زیرسیستم‌ها دارای ضرایب گسترش استاندارد هستند. دسته دیگری از سیستم‌های همگن سوئیچ شونده مورد توجه، دارای زیرسیستم‌هایی از نوع چندجمله‌ای درجه فرد می‌باشند. در مرجع [۲۱] همه زیرسیستم‌ها چندجمله‌ای (گسترش استاندارد) از یک درجه فرد می‌باشند. در این مقاله نویسنده با استفاده از ضرب کرونگر و ضرب شبه تنسور به معادله شبه لیاپانوف ماتریسی دست یافته و شرایط کافی برای پایداری سیستم همگن سوئیچ شونده را بیان کرده است. نتایج این مقاله برای سیستم همگن سوئیچ شونده با شرایط مورد نظر به صورت LMI<sup>۳</sup> در آمده است. هر چند مقاله مذکور دارای نتایج جالب توجهی است اما مرجع [۲۲] مثال نقضی برای یکی از لم‌های اصلی مورد استفاده در این مقاله ارائه داده است. در مراجع [۲۳] و [۲۴] نیز پایداری سیستم سوئیچ شونده با زیرسیستم‌های همگن گسسته زمان درجه اول با گسترش استاندارد و تحت سوئیچ دلخواه با مطالعه نرخ رشد بررسی شده است. در مرجع [۲۵] نیز ابتدا مسئله پایداری سیستم همگن سوئیچ شونده تحت قانون کلیدزنی دلخواه بررسی شده و شرایط کافی برای آن ارائه شده است. در مرجع [۲۵] ابتدا فرض شده که برای هر زیرسیستم یک تابع لیاپانوف مناسب ساخته شود و سپس شرایط کافی برای وجود تابع لیاپانوف مشترک ارائه شده است. تابع لیاپانوف مشترک به صورت ترکیبی از توابع لیاپانوف زیرسیستم‌ها معرفی شده و پایداری مجانبی همه‌جایی مبدا به ازای قانون کلیدزنی دلخواه را نتیجه می‌دهد. سپس موضوع پایداری سیستم همگن

دیگری دینامیک منطقی مربوط به متغیرهای گسسته که از قوانین شرطی و منطقی تشکیل می‌شود. این دو نوع دینامیک در تقابل با یکدیگر خصوصیات پیچیده‌ای را ایجاد می‌کنند، مثل کلیدزنی هنگامی که متغیر مورد نظر شرایط خاصی را احراز می‌کند و یا پرش حالت در زمان تغییر متغیر کلیدزنی.

برخی زمینه‌های مورد مطالعه و تحقیق در رابطه با سیستم‌های سوئیچ شونده عبارتند از: بررسی پایداری، مدلسازی، روش‌های سیستماتیک در بررسی عملکرد، کنترل پذیری، کنترل بهینه و ردیابی و ... که در مقالات و پژوهش‌های مختلف مورد بررسی قرار گرفته‌اند [۱]، [۲]، [۳]، [۴] و [۵] و [۶].

موضوع پایداری یکی از مهم‌ترین مسائل مطرح در تئوری کنترل است. این مسئله در رابطه با سیستم‌های سوئیچ شونده با توجه به تاثیر دینامیک زیرسیستم‌ها و قانون کلیدزنی از پیچیدگی زیادی برخوردار است. به طور مثال، هنگامی که همه زیرسیستم‌ها پایدار نامی هستند ممکن است یک قانون کلیدزنی وجود داشته باشد که باعث ناپایداری سیستم سوئیچ شونده شود. از طرف دیگر با کلیدزنی مناسب بین زیرسیستم‌های ناپایدار ممکن است بتوان سیستم سوئیچ شونده را پایدار ساخت. مسئله پایداری سیستم‌های سوئیچ شونده به سه شکل مختلف مطرح شده است:

الف) بررسی وضعیت پایداری تحت قانون کلیدزنی مشخص

ب) بررسی وضعیت پایداری تحت قانون کلیدزنی دلخواه

ج) طراحی قانون کلیدزنی پایدارساز که در این نوع مسائل، هدف پایدار کردن پاسخ سیستم با کلیدزنی بین زیرسیستم‌ها است [۷]، [۸]، [۹]، [۱۰]، [۱۱] و [۱۲].

یکی از روشهای بررسی پایداری سیستم‌های سوئیچ شونده استفاده از تابع لیاپانوف مشترک<sup>۱</sup> است. در این حالت یک تابع لیاپانوف که برای هر یک از زیرسیستم‌ها در همه جا یا در بخشهایی از فضای حالت که آن زیرسیستم امکان فعال شدن دارد، صادق باشد معرفی شده و بر این اساس پایداری سیستم ثابت می‌گردد [۱۳] و [۱۴]. روش دیگر معرفی تابع لیاپانوف چندگانه<sup>۲</sup> است. در این روش در هر ناحیه از فضا با توجه به زیرسیستم فعال یک تابع لیاپانوف معرفی می‌شود که البته این توابع لیاپانوف باید روی مرزهای کلیدزنی شرایط خاصی داشته باشند که در منبع [۱۵] ذکر شده است.

مسئله پایداری سیستم‌های سوئیچ شونده همانند تمام مسائل کنترلی ابتدا به طور گسترده در مورد سیستم‌های خطی سوئیچ شونده مورد مطالعه قرار گرفته است و با توجه به پیچیدگیهای موجود همچنان ادامه دارد [۷]، [۱۰] و [۱۱]، [۱۶]، [۱۷] و [۱۸].

بررسی پایداری سیستم‌های غیرخطی سوئیچ شونده نیز در مرحله بعدی مطرح و بسیار مورد توجه است [۹] و [۱۰]، [۱۴] و [۱۵] و [۱۹]. هر

<sup>۲</sup> Dilation coefficient

<sup>۳</sup> Linear Matrix Inequality

<sup>۱</sup> Common Lyapunov Function

<sup>۲</sup> Multiple Lyapunov Function

به ازای تمام مقادیر  $\lambda > 0$  و  $r = (r_1, \dots, r_n) \in R^n$  که در آن  $r_i > 0$  است، برقرار باشد. همچنین  $r_i$  ها ضرایب وزنی گسترش و  $\Delta_\lambda^r(x) = (\lambda^{r_1} x_1, \dots, \lambda^{r_n} x_n)$  گسترش نامیده می‌شود.

تعریف ۲: [۲۶] میدان برداری  $n$  بعدی  $f$  همگن از درجه  $d$  با توجه به  $\Delta_\lambda^r$  است، اگر برای همه مقادیر  $1 \leq i \leq n$ ،  $f_i$  همگن از درجه  $r_i + d$  باشد. یعنی

$$f_i(\Delta_\lambda^r(x)) = \lambda^{r_i+d} f_i(x) \quad (2)$$

تعریف ۳: [۲۶] به مجموعه نقاطی که توسط یکی عناصر آن مانند  $x_0$  و گسترش  $\Delta_\lambda^r$  بصورت زیر تعریف می‌شود شعاع همگن گفته می‌شود؛

$$R_{x_0} = \{x \mid x = \Delta_\lambda^r(x_0); \forall \lambda > 0\}. \quad (3)$$

سیستم همگن سوئیچ شونده به صورت زیر را در نظر بگیرید:

$$\dot{x} = f_\sigma(x) \quad (4)$$

که در آن  $x$  بردار حالت و  $\sigma = \sigma(t)$  تابع قطعه‌ای ثابت است که سیگنال کلیدزنی را مشخص می‌کند:

$$\sigma(t): [0, +\infty) \rightarrow Q = \{1, \dots, m\} \quad (5)$$

تابع  $\sigma(t)$  مشخص می‌کند که در هر لحظه یکی از زیرسیستم‌ها فعال است و دینامیک (۴) توسط آن توصیف می‌شود.

لازم به ذکر است که ترتیب فعالیت زیرسیستم‌ها را قانون کلیدزنی مشخص می‌کند که در حالت کلی می‌تواند به یک یا چند مورد از متغیرهای زمان، شرایط اولیه، حالت، خروجی سیستم و سیگنال کلیدزنی لحظه قبل و ... وابسته باشد. با اعمال قانون کلیدزنی به سیستم سوئیچ شونده سیگنال کلیدزنی برحسب زمان  $\sigma(t)$  مشخص می‌شود.

در این مقاله فرض می‌کنیم که توابع  $f_1(x), \dots, f_m(x)$  توابع پیوسته‌ای در  $x \in R^n$  هستند و زیرسیستم‌ها، همگن از درجات  $r = (r_1, \dots, r_n)$  با توجه به ضرایب گسترش  $d_i, i = 1, \dots, m$  می‌باشند. چنانچه ملاحظه می‌شود در اینجا هیچ محدودیتی از قبیل بعد سیستم [۲۰]، هم درجه بودن زیرسیستم‌ها [۲۰]، [۲۱] و [۲۲] و یا فرد بودن درجه همگنی [۲۱] در نظر گرفته نشده است.

تعریف ۴: قانون کلیدزنی وابسته به حالت  $\sigma(t) = \sigma(x(t))$  را قانون کلیدزنی همگن می‌نامیم اگر در همه نقاط روی یک شعاع همگن یک زیرسیستم خاص فعال شود. یعنی

$$\sigma(x_0) = q \Rightarrow \sigma(x) = q, \forall x \in R_{x_0} \quad (6)$$

سوئیچ شونده تحت قانون کلیدزنی مشخص مورد مطالعه قرار گرفته است. در این بخش ابتدا لحظات کلیدزنی مشخص فرض شده و سپس مسئله برای حالتی که علاوه بر لحظات کلیدزنی، ترتیب زیرسیستم‌ها نیز معلوم باشد حل شده است. در تمام بخشهای این مقاله فرض شده است که زیرسیستم‌های همگن دارای درجه یکسان هستند.

در مقاله حاضر، هدف بررسی پایداری سیستم همگن سوئیچ شونده است که در آن زیرسیستم‌ها همگن با گسترش یکسان هستند. برای این منظور از ایده وجود ترکیب محدب پایدار برای سیستم خطی سوئیچ شونده استفاده شده و به سیستم مورد بحث تعمیم داده می‌شود. براین اساس شرایط کافی برای وجود قانون کلیدزنی پایدارساز برای سیستم همگن سوئیچ شونده بیان می‌گردد.

برخلاف مقالات مورد مطالعه قبلی، در این تحقیق هیچ محدودیت اضافی به سیستم تحمیل نشده است. در واقع مهم‌ترین مزیت روش ارائه شده در مقاله حاضر پوشش دادن کامل‌تر مسئله پایدارسازی سیستم همگن سوئیچ شونده نسبت به کارهای قبلی است. در روش ارائه شده زیرسیستم‌ها همگن با ضرایب گسترش یکسان هستند ولی محدودیت دیگری مانند محدودیت بعد [۲۰]، فرد بودن ضرایب گسترش و یا استاندارد (برابر یک) بودن ضرایب گسترش [۲۰]، [۲۱]، [۲۴] و [۲۵] وجود ندارد. همچنین محدودیتی روی درجه همگنی زیرسیستم‌ها [۲۱] و یا برابری آن [۲۰]، [۲۱] و [۲۲] وجود ندارد. یعنی زیرسیستم‌ها می‌توانند دارای درجات همگنی مختلف باشند، درحالی‌که در اکثر کارهای انجام شده قبلی درجه همگنی برای همه زیرسیستم‌ها یکسان فرض شده است. بنابراین نتایج بدست آمده برای سیستم همگن سوئیچ شونده با هر بعد و ضرایب گسترش دلخواه و درجات مختلف همگنی برقرار است.

مبنای روش ارائه شده، معرفی تابع لیپانوف مشترک برای سیستم همگن سوئیچ شونده است که براساس آن هر یک از زیرسیستم‌ها در بخشی از فضای حالت امکان فعال شدن دارند. معرفی تابع لیپانوف مشترک از دشواری‌های این روش است. همچنین ممکن است نتوان تابع لیپانوف مشترک را یافت ولی قانون کلیدزنی پایدارساز وجود داشته باشد.

در ادامه مقاله، ابتدا در بخش ۲ تعاریف و ریاضیات مورد نیاز بیان شده است. در بخش ۳ نتایج اصلی به همراه مثال و شبیه سازی ارائه شده و در نهایت بخش ۴ شامل نتیجه گیری است.

## ۲- تعاریف و ریاضیات مورد نیاز

در این بخش ابتدا به بیان تعریف تابع و سیستم همگن می‌پردازیم.

تعریف ۱: [۲۶] تابع  $f: R^n \rightarrow R^n$  همگن از درجه  $d$  با توجه به  $\Delta_\lambda^r$  است، هرگاه

$$f(\Delta_\lambda^r(x)) = \lambda^d f(x) \quad (1)$$

$$\nabla V \cdot h(x) < 0, \forall x \in D \quad (10)$$

رابطه (۱۰) را به صورت زیر بازنویسی می‌کنیم

$$\nabla V \cdot \sum_{i=1}^m g_i(x) f_i(x) < 0 \quad (11)$$

که معادل است با

$$\sum_{i=1}^m g_i(x) (\nabla V \cdot f_i(x)) < 0 \quad (12)$$

با توجه به اینکه  $g_i(x) \geq 0$  است، پس به ازای هر یک از عناصر فضای حالت حداقل یکی از جملات  $\nabla V \cdot f_i(x)$  کوچکتر از صفر خواهد بود.

مجموعه  $I(x) = \{i \in Q \mid Q = \{1, \dots, m\}, \nabla V \cdot f_i(x) < 0\}$  را تشکیل می‌دهیم. قبلاً نشان دادیم که تعداد عناصر  $I(x)$  به ازای هر  $x$ ، حداقل یک است. قانون کلیدزنی را به صورت زیر معرفی می‌کنیم:

$$\sigma(x) = i, \quad i \in I(x) \quad (13)$$

اکنون نشان می‌دهیم سیستم سوئیچ شونده غیرخطی به همراه قانون کلیدزنی (۱۳) پایدار است. تابع لیپانوف  $V(x)$  مطرح شده در بالا، تابع لیپانوف مشترک سیستم سوئیچ شونده غیرخطی نیز هست. زیرا  $V(0) = 0$  و برای هر  $x \in D, V(x) > 0$  است. همچنین با توجه به قانون کلیدزنی انتخابی (۱۳) در هر نقطه از همسایگی  $D$ ،  $\nabla V \cdot f_{\sigma(x)}(x) < 0$  است. لازم به ذکر است چون تابع لیپانوف تغییر نمی‌کند و پیوسته است نیازی به بررسی شرایط مرزی نیست و سیستم غیرخطی سوئیچ شونده با قانون کلیدزنی (۱۳) پایدار مجانبی محلی است.

**نکته ۱:** چنانچه تابع لیپانوف ارائه شده در لم ۱، شعاعی نامحدود نیز باشد سیستم غیرخطی سوئیچ شونده با قانون کلیدزنی (۱۳) پایدار مجانبی همه جایی است.

**نکته ۲:** تعیین قانون کلیدزنی با استفاده از لم فوق ممکن است منجر به تعداد کلیدزنی بیشمار در بازه زمانی محدود شود. برای جلوگیری از وقوع این مسئله می‌توان در نواحی که بیش از یک زیرسیستم امکان فعالیت دارد، قانون کلیدزنی را طوری تعریف کرد که با هر زیرسیستم که مسیر حالت وارد ناحیه مذکور شد تا خروج از آن ناحیه همان زیرسیستم فعال بماند و کلیدزنی جدید اتفاق نیفتد. این قانون کلیدزنی بصورت زیر تعریف می‌شود:

$$\sigma(x(t_0)) = \arg \min_i \nabla V \cdot f_i(x(t_0)), \quad i \in Q$$

$$\sigma(x(t)) = \begin{cases} \sigma(x(t^-)), & \text{if } \sigma(x(t^-)) \in I(x(t)) \\ \min_j j \quad j \in I(x(t)), & \text{oth.} \end{cases} \quad (14)$$

می‌توان نشان داد که نواحی ممکن برای فعالیت زیرسیستم‌ها در نزدیکی مرزهایشان با هم تداخل دارند. بنابراین قانون کلیدزنی (۱۴) از هرگونه

با توجه به تعاریف مربوط به سیستم همگن و قانون کلیدزنی همگن، در مسئله بررسی پایداری سیستم همگن سوئیچ شونده تحت قانون کلیدزنی همگن و یا طراحی قانون کلیدزنی همگن برای سیستم سوئیچ شونده  $n$  بعدی، مطالعه فضای  $n-1$  بعدی کافی است و نتایج بدست آمده قابل تعمیم به کل فضای حالت است. چنانچه قانون کلیدزنی را برای همه نقاط مجموعه  $n-1$  بعدی  $S_{n-1} = \{x \mid \|x\| = 1\}$  مشخص کنیم، با توجه به همگن بودن قانون کلیدزنی نتایج قابل تعمیم به کل فضای  $S_n$  است و

$$\sigma(\Delta_x^r(x_0)) = \sigma(x_0), x_0 \in S_{n-1} \quad (7)$$

### ۳- پایداری سیستم سوئیچ شونده

در بخش اصلی این مقاله راه حلی برای مسئله بررسی پایداری سیستم همگن سوئیچ شونده ارائه و شرایط کافی برای وجود قانون کلیدزنی همگن پایدار ساز مطرح می‌شود. روش مقاله حاضر برای حل مسئله مورد بحث بر توسعه فرض وجود ترکیب محدب پایدار برای سیستم‌های خطی به سیستم‌های غیرخطی و همگن استوار است. شرایط کافی برای وجود قانون کلیدزنی پایدار ساز برای سیستم‌های غیرخطی سوئیچ شونده در حالت کلی در لم ۱ بیان می‌شود. احراز شرایط لم ۱ برای سیستم غیرخطی سوئیچ شونده بدون هیچ محدودیتی بسیار دشوار است. در قضیه ۲ شرایط کافی برای وجود قانون کلیدزنی همگن پایدار ساز برای سیستم‌های همگن سوئیچ شونده به عنوان کلاسی از سیستم‌های غیرخطی سوئیچ شونده بیان می‌گردد. همچنین از قضایای مربوط به پایداری سیستم همگن [۲۷] برای اثبات پایداری سیستم همگن سوئیچ شونده استفاده می‌شود.

**لم ۱-** سیستم غیرخطی سوئیچ شونده  $n$  بعدی  $\dot{x} = f_i(x), i = 1, \dots, m$  را در نظر بگیرید که در آن  $f_i(0) = 0$  است. فرض کنید توابع اسکالر پیوسته  $g_i(x), i = 1, \dots, m$  که  $g_i(x) \geq 0$  است وجود دارد بطوریکه سیستم  $\dot{x} = \sum_{i=1}^m g_i(x) f_i(x)$  در  $x = 0$  پایدار مجانبی محلی باشد، آنگاه قانون کلیدزنی پایدار سازی وجود دارد که سیستم غیرخطی سوئیچ شونده به همراه آن در  $x = 0$  پایدار مجانبی محلی خواهد بود.

**اثبات-** سیستم  $\dot{x} = \sum_{i=1}^m g_i(x) f_i(x) = h(x)$  پایدار مجانبی محلی است، بنابراین در یک همسایگی نقطه تعادل  $x = 0$  مثل  $D$  تابع لیپانوف  $V(x)$  وجود دارد بطوریکه

$$V(0) = 0 \quad (8)$$

$$V(x) > 0, \forall x \in D \quad (9)$$

سیس سیستم ترکیبی  $\dot{x} = \sum_{i=1}^3 g_i(x) f_i(x) = h(x)$  را تشکیل می‌دهیم

$$\begin{bmatrix} \dot{x}_1 \\ \dot{x}_2 \end{bmatrix} = \begin{bmatrix} -x_1^3 - x_2^3 - x_1 x_2^2 + 2x_1 x_2^4 + \frac{1}{2} x_1^3 x_2^2 \\ x_1^2 x_2 + x_1 x_2^2 - 3x_1^2 x_2^3 - \frac{1}{2} x_1^4 x_2 \end{bmatrix} \quad (21)$$

تابع لیپانوف زیر را برای سیستم فوق معرفی می‌کنیم

$$V = \frac{1}{2}(x_1^2 + x_2^2) \quad (22)$$

بنابراین برای سیستم ترکیبی فوق داریم

$$\dot{V} = -x_1^4 - x_1^2 x_2^4 < 0 \quad (23)$$

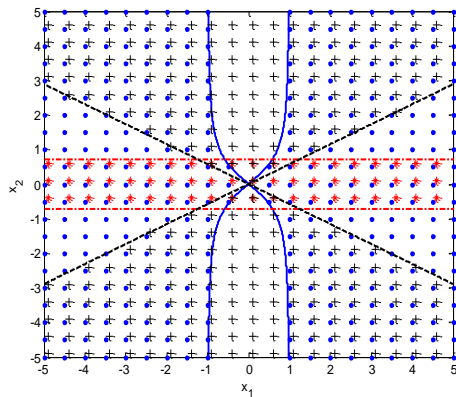
پس سیستم ترکیبی پایدار مجانبی همه جایی است. با توجه به لم ۱ نواحی ممکن برای هر یک از زیرسیستم‌ها را مشخص می‌کنیم. مشتق  $\dot{V}_i, i=1,2,3$  مشتق تابع لیپانوف معرفی شده در رابطه (۲۲) روی مسیرهای حالت زیرسیستم  $i$  ام است.

$$\dot{V}_1 = -x_1^2(1+x_2^2) + x_2^2 \quad (24)$$

$$\dot{V}_2 = -x_1^2 + 2x_1^2 x_2^2 \quad (25)$$

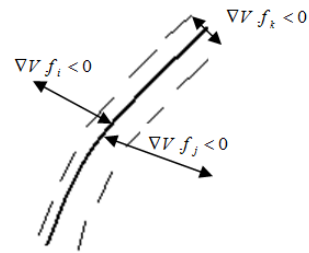
$$\dot{V}_3 = x_1^2 - 3x_2^2 \quad (26)$$

ناحیه ممکن برای فعال بودن هر یک از زیرسیستم‌ها، ناحیه‌ایست که در آن  $\dot{V}_i < 0$  است. این نواحی و مرزهای آنها در شکل (۲) مشخص شده‌اند. مشاهده می‌شود که زیرسیستم‌ها همه فضای حالت را تحت پوشش قرار داده‌اند و در برخی نواحی بیش از یک زیرسیستم امکان فعال شدن دارد. قانون کلیدزنی را براساس رابطه (۱۴) معرفی می‌کنیم. مسیر حالت و پاسخ سیستم برای شرط اولیه  $[4, 4]^T$  و همچنین سیگنال کلیدزنی به ترتیب در شکل‌های (۳) تا (۵) نشان داده شده است.



شکل ۲: نواحی ممکن برای فعالیت زیرسیستم‌ها: (۰) ناحیه مربوط به زیرسیستم (۱۵) با مرز آبی، (\*) ناحیه مربوط به زیرسیستم (۱۶) با مرز قرمز و (+) ناحیه مربوط به زیرسیستم (۱۷) با مرز سیاه.

امکان وقوع کلیدزنی پیشمار در بازه زمانی محدود جلوگیری می‌کند. با توجه به شرایط لم ۱ در هر نقطه از فضا حداقل یک زیرسیستم وجود دارد که  $\nabla V f_i < 0$  است. همچنین در مرز نواحی ممکن برای زیرسیستم‌ها  $\nabla V f_i = 0$  و خود این مرز جزو ناحیه ممکن نیست. بنابراین چنانچه دو ناحیه ممکن برای فعالیت زیرسیستم‌های  $i, j$  ام تنها در مرز مشترک باشند، با توجه به شرایط لم ۱ حتماً زیرسیستم دیگری مثل  $k$  وجود دارد که روی مرز مذکور  $\nabla V f_k < 0$  برقرار است. چون  $V$  و  $f_k$  توابع پیوسته‌ای هستند، در یک همسایگی این مرز نیز  $\nabla V f_k < 0$  است. این وضعیت در شکل (۱) نمایش داده شده است. باتوجه به قانون کلیدزنی اصلاح شده (۱۴) وقتی پاسخ سیستم توسط هر یک از زیرسیستم‌های  $i, j$  ام به مرز مذکور برسد زیرسیستم  $k$  ام فعال می‌شود و تا زمانی که  $\nabla V f_k < 0$  است فعال باقی می‌ماند.



شکل ۱: وضعیت تداخل نواحی ممکن برای فعالیت زیرسیستم‌ها.

**مثال ۱:** سیستم غیرخطی سوئیچ شونده با سه زیرسیستم بصورت زیر را در نظر بگیرید.

$$s_1: \begin{bmatrix} \dot{x}_1 \\ \dot{x}_2 \end{bmatrix} = \begin{bmatrix} -x_1 - \frac{1}{2} x_1 x_2^2 \\ x_2 - \frac{1}{2} x_1^2 x_2 \end{bmatrix} \quad (15)$$

$$s_2: \begin{bmatrix} \dot{x}_1 \\ \dot{x}_2 \end{bmatrix} = \begin{bmatrix} -x_1 + 2x_1 x_2^2 - x_2 \\ x_1 \end{bmatrix} \quad (16)$$

$$s_3: \begin{bmatrix} \dot{x}_1 \\ \dot{x}_2 \end{bmatrix} = \begin{bmatrix} x_1 \\ -3x_2 \end{bmatrix} \quad (17)$$

مبدأ تنها نقطه تعادل همه زیرسیستم‌های فوق است و زیرسیستم‌های اول (۱۵) و سوم (۱۷) ناپایدارند و همچنین سیستم دوم (۱۶) پایدار مجانبی محلی است. توابع  $g_i(x), i=1,2,3$  را بصورت زیر انتخاب می‌کنیم

$$g_1(x) = x_1^2 \quad (18)$$

$$g_2(x) = x_2^2 \quad (19)$$

$$g_3(x) = x_1^2 x_2^2 \quad (20)$$

$$(1) \quad \bar{V} \in C^P \text{ که در آن } C^P \text{ کلاس توابعی با } p \text{ مشتق}$$

پیوسته است.

$$(2) \quad \bar{V}(0) = 0, \bar{V}(x) > 0 \quad \forall x \neq 0 \text{ و } \lim_{\|x\| \rightarrow \infty} \bar{V} = \infty$$

(3)  $\bar{V}$  همگن از درجه  $k$  است، یعنی

$$\bar{V}(\lambda^i x_1, \dots, \lambda^n x_n) = \lambda^k \bar{V}(x_1, \dots, x_n) \quad (4)$$

$$\nabla \bar{V} \cdot f(x) < 0$$

همچنین در [۲۲] نشان داده شده است که برای سیستم‌های همگن، پایداری مجانبی محلی معادل پایداری مجانبی همه جایی است.

با استفاده از لم ۱ و قضیه ۱ به بیان نتیجه اصلی این مقاله در قضیه ۲ می‌پردازیم.

**قضیه ۲-** سیستم همگن سوئیچ شونده  $n$  بعدی  $\dot{x} = f_i(x), i = 1, \dots, m$  را در نظر بگیرید که در آن  $f_i(0) = 0$  و  $f_i$  همگن از درجه  $d_i$  بوده و ضرایب گسترش همه زیرسیستم‌ها  $(r_1, \dots, r_n)$  است. چنانچه

$$(1) \quad \text{عدد حقیقی مثبت } l \text{ وجود داشته باشد بطوریکه}$$

$$l \geq \max_i d_i$$

(2) توابع اسکالر مثبت  $g_i(x), i = 1, \dots, m$  وجود داشته باشد که  $g_i(x)$  همگن از درجه  $l - d_i$  با ضرایب گسترش  $(r_1, \dots, r_n)$  بوده و سیستم ترکیبی

$$\dot{x} = \sum_{i=1}^m g_i(x) f_i(x) \text{ پایدار مجانبی باشد،}$$

آنگاه قانون کلیدزنی همگن پایدارسازی وجود دارد که سیستم همگن سوئیچ شونده به همراه آن پایدار مجانبی همه جایی است.

**اثبات-** با توجه به اینکه  $f_i$  همگن از درجه  $d_i$  و  $g_i$  همگن از درجه  $l - d_i$  است و ضرایب گسترش همه توابع  $(r_1, \dots, r_n)$  می-

باشد، پس  $g_i f_i$  و همچنین  $\sum_{i=1}^m g_i(x) f_i(x) = h(x)$  همگن

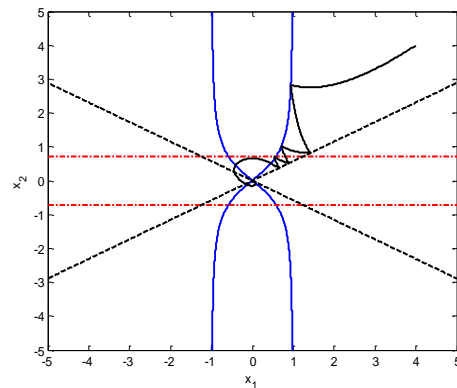
از درجه  $l$  با ضرایب گسترش  $(r_1, \dots, r_n)$  است. بنا به قضیه ۱ برای سیستم همگن و پایدار  $h(x)$  تابع لیپانوف  $V$  همگن از درجه  $k$  با ضرایب گسترش  $(r_1, \dots, r_n)$  وجود دارد. با توجه به لم ۱ قانون کلیدزنی پایدارساز برای این سیستم سوئیچ شونده وجود دارد. قانون کلیدزنی پایدارساز را مطابق لم ۱ فقط برای عناصر روی گوی واحد تعیین می‌کنیم. مجموعه  $I(x_0)$  را بصورت زیر تشکیل می‌دهیم

$$I(x_0) = \{i \in Q | Q = \{1, \dots, m\}, \nabla V f_i(x_0) < 0, \|x_0\| = 1\} \quad (27)$$

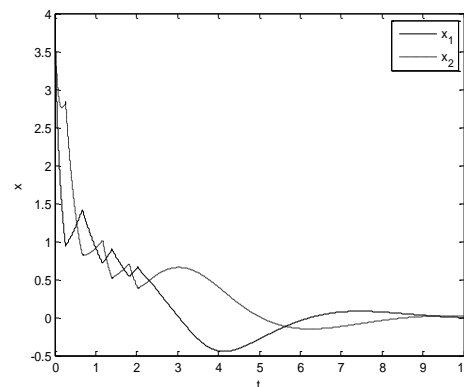
و قانون کلیدزنی را روی گوی واحد بصورت زیر معرفی می‌کنیم

$$\sigma(x_0) = i, \quad i \in I(x_0), \|x_0\| = 1 \quad (28)$$

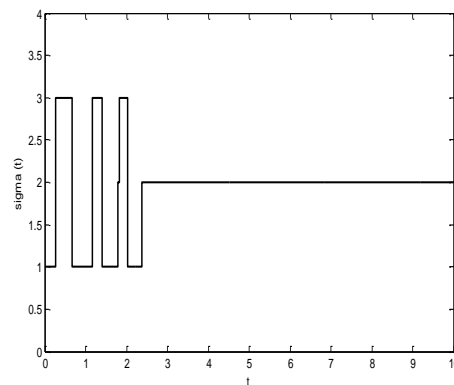
قانون کلیدزنی کلی را نیز بصورت همگن مشخص می‌کنیم



شکل ۳: مسیر حالت سیستم سوئیچ شونده (۱۷)-(۱۵) به ازای شرط اولیه [۴، ۴].



شکل ۴: حالت‌های سیستم سوئیچ شونده (۱۷)-(۱۵) نسبت به زمان



شکل ۵: سیگنال کلیدزنی  $\sigma(t)$  برای سیستم غیرخطی سوئیچ شونده

(۱۷)-(۱۵) با شرایط اولیه [۴، ۴].

در ادامه برای بررسی پایداری سیستم همگن سوئیچ شونده که هدف اصلی این مقاله است به بیان یک قضیه از مرجع [۲۲] می‌پردازیم. این قضیه به وجود تابع لیپانوف همگن برای سیستم همگن پایدار مجانبی اشاره می‌کند.

**قضیه ۱-** [۲۲] فرض کنید  $\dot{x} = f(x)$  پیوسته و همگن از درجه  $d$  با ضرایب گسترش  $(r_1, \dots, r_n)$  بوده و  $x = 0$  نقطه تعادل سیستم و پایدار مجانبی محلی باشد. همچنین فرض کنید  $p$  یک عدد طبیعی مثبت و  $k$  یک عدد حقیقی بزرگتر از  $\max_{1 \leq i \leq n} r_i$  باشد، آنگاه

تابع  $\bar{V} : R^n \rightarrow R$  وجود دارد بطوریکه:

**مثال ۲:** سیستم همگن سوئیچ شونده با دو زیرسیستم بصورت زیر

را در نظر بگیرید

$$s_1: \begin{bmatrix} \dot{x}_1 \\ \dot{x}_2 \end{bmatrix} = \begin{bmatrix} -2x_1 \\ -x_1^3 + x_2 \end{bmatrix} \quad (33)$$

$$s_2: \begin{bmatrix} \dot{x}_1 \\ \dot{x}_2 \end{bmatrix} = \begin{bmatrix} 0.5x_2 \\ -x_1^2x_2 + 0.5x_1^5 - x_2^{5/3} \end{bmatrix} \quad (34)$$

هر دو زیرسیستم فوق همگن با ضرایب گسترش (۱, ۳) و ناپایدار هستند. زیرسیستم اول (۳۳) همگن از درجه صفر و زیرسیستم دوم (۳۴) همگن از درجه دو است. توابع  $g_i(x), i=1,2$  را بصورت زیر انتخاب می-کنیم

$$g_1(x) = x_1^2 \quad (35)$$

$$g_2(x) = 1 \quad (36)$$

سیستم ترکیبی  $\dot{x} = \sum_{i=1}^2 g_i(x) f_i(x) = h(x)$  را تشکیل می-دهیم

$$\begin{bmatrix} \dot{x}_1 \\ \dot{x}_2 \end{bmatrix} = \begin{bmatrix} -2x_1^3 + 0.5x_2 \\ -0.5x_1^5 - x_2^{5/3} \end{bmatrix} \quad (37)$$

سیستم ترکیبی فوق همگن با ضرایب گسترش (۱, ۳) و از درجه ۲ است. تابع لیاپانوف همگن با ضرایب گسترش (۱, ۳) از درجه ۲ را بصورت زیر برای سیستم ترکیبی معرفی می-کنیم:

$$V = \frac{1}{6}x_1^6 + \frac{1}{2}x_2^2 \quad (38)$$

برای سیستم ترکیبی فوق داریم

$$\dot{V} = -2x_1^8 - x_2^{8/3} < 0 \quad (39)$$

پس سیستم ترکیبی پایدار مجانبی است و چون تابع لیاپانوف شعاعی نامحدود است، پس سیستم ترکیبی پایدار مجانبی همه جایی است. با توجه به قضیه ۲ نواحی ممکن برای هر یک از زیرسیستم‌ها را مشخص می-کنیم.  $\dot{V}_i, i=1,2$  مشتق تابع لیاپانوف معرفی شده روی مسیره‌های حالت زیرسیستم  $i$  ام است.

$$\dot{V}_1 = -2x_1^6 - x_2x_1^3 + x_2^2 \quad (40)$$

$$\dot{V}_2 = -x_1^2x_2^2 - x_2^{8/3} + x_1^5x_2 \quad (41)$$

ناحیه ممکن برای فعال بودن هر یک از زیرسیستم‌ها، ناحیه‌ایست که در آن  $\dot{V}_i < 0$  است. این نواحی بصورت زیر مشخص می-شود

$$\dot{V}_1 < 0 \Rightarrow \begin{cases} -x_1^3 < x_2 < 2x_1^3, x_1 > 0 \\ 2x_1^3 < x_2 < -x_1^3, x_1 < 0 \end{cases} \quad (42)$$

$$\sigma(x) = i; x \in R_{x_0}, \|x_0\| = 1, \sigma(x_0) = i \quad (29)$$

چنانچه ذکر شد بنا به قضیه ۱ تابع لیاپانوف  $V$  همگن است و بنا به لم ۱ قانون کلیدزنی روی گوی واحد طوری انتخاب شده که شرط منفی بودن مشتق تابع لیاپانوف برای سیستم در حال کار برقرار باشد، یعنی

$$\nabla V f_i(x_0) < 0 \quad (30)$$

قانون کلیدزنی کلی نیز طوری انتخاب شده که در همه نقاط روی شعاع همگن همان زیرسیستمی فعال باشد که در اشتراک آن شعاع با گوی واحد فعال بوده است. می-دانیم که هر یک از عناصر روی یک شعاع همگن را می-توان بصورت  $x = \Delta_\lambda^r(x_0)$  نوشت که در آن  $\lambda$  عدد حقیقی مثبت است. بنابراین داریم

$$\begin{aligned} \nabla V f_i(x) &= \nabla V f_i(\Delta_\lambda^r(x_0)) \\ &= \nabla V \cdot \lambda^{d_i} f_i(x_0) = \lambda^{d_i} (\nabla V f_i(x_0)) < 0 \end{aligned} \quad (31)$$

پس نتیجه می-گیریم که سیستم همگن سوئیچ شونده به همراه قانون کلیدزنی تعریف شده در (۲۸) و (۲۹) پایدار مجانبی می-باشد. همچنین با توجه به اینکه قانون کلیدزنی در همه فضای حالت صادق است و تابع لیاپانوف  $V$  نیز بنابه قضیه ۱ شعاعی نامحدود است، پس پایداری سیستم فوق همه جایی است. قانون کلیدزنی همگن که توسط روابط (۲۸) و (۲۹) بیان شده را می-توان برای جلوگیری از وقوع کلیدزنی بیشمار در زمان محدود بصورت (۱۴) اصلاح نمود.

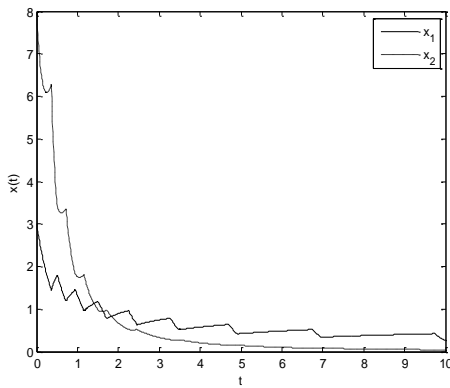
واضح است که روش کلی به منظور انتخاب تابع لیاپانوف و توابع وزنی  $g_i(x)$  وجود ندارد و انتخاب آنها از طریق جستجو انجام می-شود. اما با توجه به اینکه تابع لیاپانوف، همگن با ضرایب گسترش مشابه زیرسیستم‌ها است می-توان حدسه‌های مناسبی برای تابع لیاپانوف زد یکی از ساده ترین انتخاب‌ها برای یک تابع لیاپانوف از درجه  $k$  با ضرایب گسترش  $(r_1, \dots, r_n)$  بصورت زیر است:

$$\sum_{i=1}^n a_i (x_i^2)^{\frac{k}{2r_i}}, a_i \geq 0, i=1, \dots, n \quad (32)$$

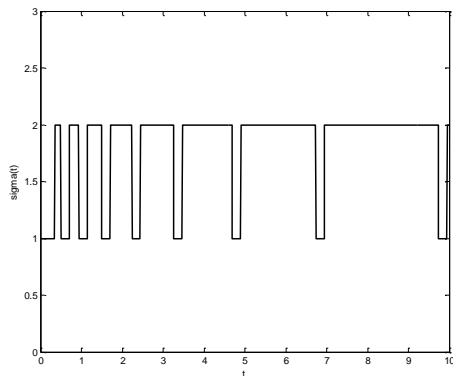
همچنین درجه  $\max d_i \leq l$  برای سیستم ترکیبی در نظر گرفته می-شود. براین اساس درجه همگنی هر یک از  $g_i(x)$  ها مشخص می-گردد. سپس برای هر یک از  $g_i(x)$  ها یک تابع همگن با ضرایب گسترش مشابه زیرسیستم‌ها و از درجه  $l - d_i$  با ضرایب متغیر پیشنهاد داده می-شود. سپس ضرایب مجهول در  $V$  و  $g_i(x)$  ها طوری انتخاب می-شوند که  $\dot{V}$  برای سیستم ترکیبی در همه فضا منفی شود. چنانچه با  $V$  و  $g_i(x)$  های در نظر گرفته شده به نتیجه نرسیدیم آنها را تغییر می-دهیم.

برای نشان دادن چگونگی عملکرد قضیه فوق به ذکر یک مثال می-پردازیم.





شکل ۸: حالت‌های سیستم سوئیچ شونده (۳۳) و (۳۴) نسبت به زمان.



شکل ۹: سیگنال کلیدزنی  $\sigma(t)$  برای سیستم غیرخطی سوئیچ شونده (۳۳) و (۳۴) با شرایط اولیه [۳، ۸].

#### ۴- نتیجه گیری

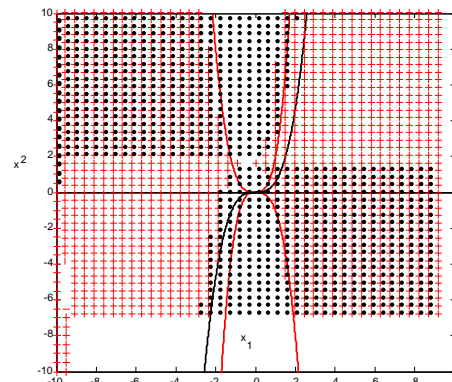
در این مقاله روش جدیدی برای بررسی پایداری دسته خاصی از سیستم‌های غیرخطی سوئیچ شونده معرفی شده است. سیستم سوئیچ شونده مورد بحث دارای زیرسیستم‌های همگن با ضرایب گسترش یکسان است. روش ارائه شده مبتنی بر وجود تابع لیپانوف مشترک همگن است و براساس آن قانون کلیدزنی پایدارساز همگن مشخص می‌گردد. در این روش هیچ محدودیتی در رابطه با بعد سیستم، درجه همگنی و ضرایب گسترش وجود ندارد. بنابراین جامعیت روش ارائه شده مهمترین مزیت آن نسبت به مطالعات قبلی است. همچنین ارائه قانون کلیدزنی همگن برای سیستم همگن سوئیچ شونده از دیگر مزایای این روش است که منجر به کاهش بعد فضای مورد مطالعه به  $n-1$  می‌شود. از طرف دیگر معرفی توابع وزنی مناسب و تابع لیپانوف از دشواریهای این روش محسوب می‌شود.

#### مراجع

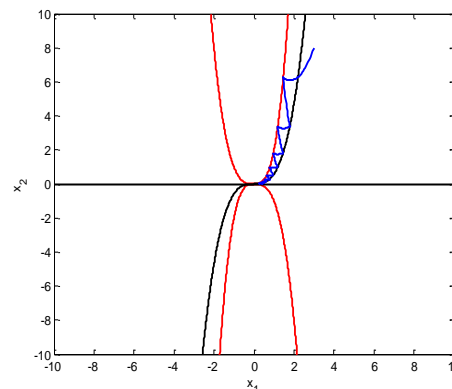
- [1] A. Bemporad, G. Ferrari-Trecate, M. Morari, "Observability and Controllability of Piecewise Affine and Hybrid Systems", Proc. of the 38th Conference on Decision & Control, pp. 3966-3971, 1999.

$$V_2 < 0 \Rightarrow \begin{cases} x_1 x_2 < 0 \\ x_2 > 0.5877 x_1^3, x_1 > 0 \\ x_2 < 0.5877 x_1^3, x_1 < 0 \end{cases} \quad (43)$$

این نواحی و مرزهای آنها در شکل (۶) مشخص شده اند. مشاهده می‌شود که زیرسیستم‌ها همه فضای حالت را تحت پوشش قرار داده اند و در برخی نواحی بیش از یک زیرسیستم امکان فعال شدن دارد. قانون کلیدزنی را بصورت رابطه (۱۴) معرفی می‌کنیم. واضح است که قانون کلیدزنی ارائه شده همگن می‌باشد. مسیر حالت و پاسخ سیستم برای شرط اولیه [۳، ۸] و همچنین سیگنال کلیدزنی به ترتیب در شکل‌های (۷) تا (۹) نشان داده شده است.



شکل ۶: نواحی ممکن برای فعالیت زیرسیستم‌ها: (+) ناحیه مربوط به زیرسیستم (۳۳) با مرز قرمز، (۰) ناحیه مربوط به زیرسیستم (۳۴) با مرز سیاه.



شکل ۷: مسیر حالت سیستم سوئیچ شونده (۳۳) و (۳۴) به ازای شرط اولیه [۳، ۸]

- Systems & Control Letters 54, pp. 1163-1182, 2005.
- [16] H. Lin, P. J. Antsaklis, "Switching Stabilizability for Continuous-Time Uncertain Switched Linear Systems", IEEE Trans. on Automatic Control, vol. 52, NO. 4, pp. 633-646, 2007.
- [17] H. Lin, P. J. Antsaklis, "Stability and Stabilizability of Switched Linear Systems: A Survey of Recent Results", IEEE Trans. on Automatic Control, vol. 54, NO. 2, pp. 308-322, 2009.
- [۱۸] ح. ملاحمدیان، ع. کریم پور و ن. پریز، ۱۳۹۰، "پایدارسازی و کنترل سیستم‌های خطی سوئیچ شونده با قانون کلیدزنی مقید به حالت-ورودی منطقی: دیدگاه مبتنی بر نامساوی‌های ماتریسی خطی"، مجله کنترل ISSN 2008-8345، جلد ۵، شماره ۲، ص ۱۲-۲۱.
- [19] J. Wu, "Feedback Stabilization for Multiinput Switched Nonlinear Systems: Two Subsystems Case", IEEE Trans. on Automatic Control, vol. 53, NO. 4, pp. 1037-1042, 2008.
- [20] D. Holcman, M. Margaliot, "Stability Analysis of Second-Order Switched Homogeneous Systems", SIAM Journal of Control Optimization, vol. 41, NO. 5, pp. 1609-1625, 2003.
- [21] L. Zhang, S. Liu, H. Lan, "On Stability of Switched Homogeneous Nonlinear Systems", Mathematical Analysis and Applications, 334, pp. 414-430, 2007.
- [22] A. Ignatyev, "Comments on 'On stability of switched homogeneous nonlinear systems' by Lijun Zhang, Sheng Liu, and Hai Lan[J. Math. Anal. Appl. 334 (1) (2007) 414-430]", Math. Anal. Appl., 373:343-344.
- [23] S. Emre Tuna, "Optimal regulation of homogeneous systems", Automatica 41, pp. 1879-1890, 2005.
- [24] S. Emre Tuna, "Growth rate of switched homogeneous systems", Automatica 44, pp. 2857-2862, 2008.
- [25] S. Emre Tuna, "Growth rate of switched homogeneous systems", Automatica 44, pp. 2857-2862, 2008. A. Yu. Aleksandrov, A. A. Kosov, A. V. Platonov, "On the asymptotic stability of switched homogeneous systems", Systems and Control Letters 61: 127-133, 2012.
- [26] V. I. Zubov, "Mathematical Methods for the Study of Automatic Control Systems", Pergamon Press, Jerusalem Acad. Press, Oxford Jerusalem, 1962.
- [27] L. Rosier, "Homogeneous Lyapunov function for homogeneous continuous vector field", Systems and Control Letters 19, pp. 467-473, 1992.
- [2] S. Galeani, L. Menini, A. Potini, "Trajectory tracking in linear hybrid systems: an internal principle approach", Proc. of 2008 American Control Conference, pp. 4627-4632, 2008.
- [3] S. Hedlund, A. Rantzer, "Optimal Control of Hybrid Systems", Proc. of the 38th Conference on Decision & Control, pp. 3972-3977, 1999.
- [4] J. P. Hespanha, A. Stephen Morse, "Switching between stabilizing controllers", Automatica 38, pp. 1905-1917, 2002.
- [5] S. Jiang, P. G. Voulgaris, "Performance Optimization of Switched Systems: A Model Matching Approach", IEEE Trans. on Automatic Control, vol. 54, NO. 9, pp. 2058-2071, 2009.
- [6] M. Rinehart, M. Dahleh, I. Kolmanovsky, "Optimal Control of Switched Homogeneous Systems", Proc. of the 2007 American Control Conference, pp. 1377-1382, 2007.
- [7] A.A. Zevin, M. A. Pinsky, "General Solution of Stability Problem for Plane Linear Switched Systems and Differential Inclusions", IEEE Trans. on Automatic Control, vol. 53, NO. 9, 2008.
- [8] S. Nishiyama, T. Hayakawa, "Optimal Stable State-Space Partitioning for Piecewise Linear Planar System", Proc. 2008 American control Conference, pp. 3959-3964, 2008.
- [9] J. L. Mancilla, "A Condition for the Stability of Switched Nonlinear Systems", IEEE Trans. on Automatic Control, vol. 45, NO. 11, pp. 2077-2079, 2000.
- [10] Z. H. Huang, C. Xiang, H. Lin, T. H. Lee, "Necessary and sufficient conditions for regional stabilisability of generic switched linear systems with a pair of planar subsystems", Int. Journal of Control, vol. 83, Issue 4, pp. 694-715, 2010.
- [11] B. Hu, G. Zhai, A. N. Michel, "Hybrid static output feedback stabilization of second-order linear time-invariant systems", Linear Algebra and its Application 351-352, pp. 475-785, 2002.
- [12] S. Cong, L. Yin, Y. Zou, "Exponential Stabilization of Second-Order Switched Systems: Necessary and Sufficient Conditions", Proc. of the 48th IEEE Conference on Decision and Control and 28th Chinese Control Conference, pp. 3859-3863, 2009.
- [13] L. Vu, D. Liberzon, "Common Lyapunov functions for families of commuting nonlinear systems", Systems and Control Letters 54, pp. 405-416, 2005.
- [14] E. Moulay, R. Bourdais, W. Perruquetti, "Stabilization of nonlinear switched systems using control Lyapunov functions", Nonlinear Analysis: Hybrid Systems 1, pp. 482-490, 2007.
- [15] N. H. El-Farra, P. Mhaskar, P. D. Christofides, "Output feedback control of switched nonlinear systems using multiple Lyapunov functions",

## شناسایی خطای اندازه‌گیری سنسور در سیستم یاتاقان مغناطیسی فعال با استفاده از مشاهده گر تناسبی انتگرالی

سید مهدی دربندی<sup>۱</sup>، مهدی بهزاد<sup>۲</sup>، حمید مهدیقلی<sup>۳</sup>، حسن سالاریه<sup>۴</sup>

<sup>۱</sup> دانشجوی دکتری، دانشکده مهندسی مکانیک، دانشگاه صنعتی شریف، s\_m\_darbandi@mech.sharif.edu

<sup>۲</sup> استاد، دانشکده مهندسی مکانیک، دانشگاه صنعتی شریف، m\_behzad@sharif.edu

<sup>۳</sup> استادیار، دانشکده مهندسی مکانیک، دانشگاه صنعتی شریف، mehdi@sharif.edu

<sup>۴</sup> دانشیار، دانشکده مهندسی مکانیک، دانشگاه صنعتی شریف، salarieh@sharif.edu

(تاریخ دریافت مقاله ۱۳۹۲/۲/۲۹، تاریخ پذیرش مقاله ۱۳۹۲/۵/۱۷)

**چکیده:** در این تحقیق شناسایی خطای اندازه‌گیری سنسورهای جابجایی سنج غیرتماسی در یک مدل آزمایشگاهی یاتاقان مغناطیسی فعال انجام گرفته است. در ابتدا معادلات دینامیکی یک یاتاقان مغناطیسی به همراه تقویت کننده‌های قدرت استخراج شده و پارامترهای مدل آزمایشگاهی شناسایی شده‌اند. سپس به منظور پایدار سازی سیستم از کنترلگر LQR به همراه مشاهده گر تناسبی استفاده شده است. نتایج تجربی نشان می‌دهد که استفاده از مشاهده گر تناسبی رایج سبب تقویت خطای اندازه‌گیری و انحراف سیستم از مرکز یاتاقان خواهد شد. بنابراین برای شناسایی خطای اندازه‌گیری از یک مشاهده گر تناسبی انتگرالی استفاده شده و روش ارائه شده روی مدل آزمایشگاهی یاتاقان مغناطیسی پیاده سازی شده است. نتایج تجربی نشان می‌دهد که مشاهده گر تناسبی انتگرالی به خوبی قادر به شناسایی خطای اندازه‌گیری سنسور و حذف اثر آن بر پاسخ سیستم است.

**کلمات کلیدی:** خطای اندازه‌گیری سنسور، مشاهده گر تناسبی انتگرالی، یاتاقان مغناطیسی.

## Identification of Sensor Runout in Active Magnetic Bearing System

Seyed Mahdi Darbandi, Mehdi Behzad, Hamid Mehdigholi, Hassan Salarieh

**Abstract:** The identification of sensor runout in non-contact proximity sensors of an active magnetic bearing test rig is presented in this paper. First, the dynamic equations of the magnetic bearing together with the power amplifiers are derived and parameters of the experimental test rig are identified. Then, to stabilize the system, the LQR controller and a proportional observer are utilized. Experimental results show that the conventional proportional observer amplifies the sensor runout and deviates the system from origin. Therefore, a proportional integral observer is used to identify the sensor runout and implemented on the laboratory model of the active magnetic bearing. The experimental results show that the proportional integral observer can effectively identify the sensor runout and eliminate its effect on the system response.

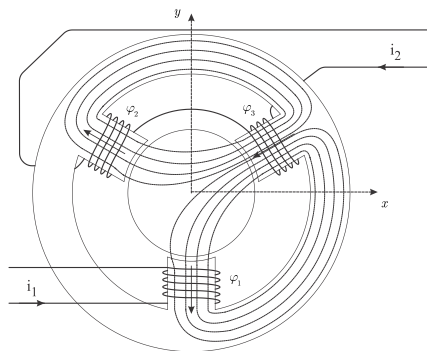
**Keywords:** Sensor runout, Proportional integral observer, Magnetic Bearing.

مورد استفاده قرار گرفته‌اند. با حذف تماس فیزیکی بین یاتاقان و اجزای دوار امکان دسترسی به سرعت‌های دورانی بسیار بالا فراهم شده که این امر در گذشته با استفاده از یاتاقان‌های رایج صنعتی با دشواری‌های فراوانی

### ۱- مقدمه

در چند دهه اخیر یاتاقان‌های مغناطیسی به منظور دستیابی به کارایی بهینه، دقت بالا و همچنین کنترل ارتعاشات ماشین‌های دوار در صنعت

می‌شود [۱]. این سنسورها نسبت به ناهمواری‌های سطح و همچنین تغییر ضریب نفوذپذیری مغناطیسی بسیار حساس بوده و کوچکترین ناهمواری در سطح موردنظر یا تغییر خواص آن سبب ایجاد اغتشاش در خروجی سنسور خواهد شد. از آنجایی که به خاطر دقت ساخت، سطح مقطع محور در سیستم یاتاقان مغناطیسی به طور کامل دایره‌ای نیست همواره مقداری خطا در خروجی سنسور جابجایی وجود خواهد داشت که تحت عنوان Sensor Runout شناخته می‌شود. این خطای سنسور به صورت یک اغتشاش خارجی در سیستم کنترلی ظاهر شده و سبب می‌شود تا محور در نقطه‌ای غیر از مرکز یاتاقان قرار گیرد.



شکل ۱: ساختار یاتاقان مغناطیسی سه قطبی با دو جریان در سیم‌پیچ‌ها

هدف از این تحقیق شناسایی خطای اندازه‌گیری سنسور جابجایی در یک یاتاقان مغناطیسی است. این موضوع توسط برخی محققان مورد بررسی قرار گرفته است. Kim [۱۱] روشی را پیشنهاد داده که در آن خطای اندازه‌گیری با استفاده از سعی و خطا تخمین زده شده و سپس در حالت مدار باز این مقدار خطا از خروجی سیستم حذف می‌شود. Na [۱۲] و Kanemitsu [۱۳] در تحقیق‌های مجزا از روش تطبیقی رو به جلو استفاده نموده‌اند که به کمک الگوریتم مینیمم سازی مربعات، خطای اندازه‌گیری را شناسایی می‌نماید. یکی از مشکلات روش‌های رو به جلو غیرخطی کردن کنترلگر و عدم تضمین پایداری سیستم مدار بسته است. در نتیجه Setiawan [۱۴] در تحقیق دیگری یک روش تطبیقی را برای شناسایی خطای سنسور پیشنهاد نموده که پایداری سیستم در آن با استفاده از قانون لیاپانوف تضمین شده است. در تحقیق حاضر از یک مشاهده گر تناسبی انتگرالی به منظور شناسایی و حذف خطای سنسور استفاده شده است. مشاهده گر تناسبی انتگرالی به عنوان یک مدل گسترش یافته از مشاهده گر لونبرگر برای اولین بار توسط Wojciechowsky [۱۵] برای سیستم تک ورودی-تک خروجی ارائه شد. یکی از مشکلات استفاده از مشاهده گر آن است که هرگونه اغتشاش در خروجی سیستم توسط ماتریس ضرایب مشاهده گر تقویت شده و به صورت یک اغتشاش خارجی به سیستم وارد می‌شود. برای رفع این مشکل Saif برای اولین بار یک مشاهده گر تناسبی انتگرالی را معرفی نمود که قادر به شناسایی یک خطای اندازه‌گیری ثابت در خروجی سیستم است [۱۶]. همچنین Busawon در تحقیق دیگری مشاهده گری را ارائه کرد که در مقابل نویز اندازه‌گیری مقاوم باشد [۱۷]. محققان دیگر نیز به منظور حذف خطا

همراه بوده است. یاتاقان‌های مغناطیسی از نظر ساختار و تعداد قطب دارای انواع متفاوتی هستند [۱]. به طور معمول در صنعت از یاتاقان‌های هشت قطبی که دارای دینامیک خطی هستند استفاده می‌شود. با وجود این، مواردی نظیر هزینه بالا، اتلاف توان زیاد، گرم شدن یاتاقان و کم بودن فضا در استاتور سبب شده تا محققان طرح‌های دیگری مانند یاتاقان مغناطیسی سه قطبی را مورد تحقیق قرار دهند. یاتاقان مغناطیسی سه قطبی به منبع تغذیه‌های کمتری نیاز داشته و در نتیجه هزینه تمام شده و اتلاف توان آن نسبت به یاتاقان هشت قطبی کمتر خواهد بود.

علیرغم این مزیت‌ها، به علت وابستگی شار مغناطیسی بین قطب‌های یاتاقان سه قطبی، این نوع یاتاقان مغناطیسی دارای دینامیک غیرخطی است و این امر سبب شده تا استفاده از روش‌های کنترل خطی در آن با دشواری‌هایی همراه باشد. Chen برای اولین بار مساله طراحی بهینه را در یاتاقان مغناطیسی سه قطبی مورد بررسی قرار داد [۲]. وی طرحی را برای یاتاقان سه قطبی پیشنهاد داد که در آن اتلاف توان به کمترین حد ممکن می‌رسد و تنها به دو منبع تغذیه نیاز دارد (شکل ۱). پس از وی Hsu از روش خطی سازی فیدبک به همراه مود لغزشی انتگرالی برای پایدار نمودن این مدل یاتاقان سه قطبی استفاده نمود [۳] و [۴]. به منظور اثبات کارایی، Chen این روش کنترلی را بر روی یک مدل آزمایشگاهی یاتاقان مغناطیسی سه قطبی با کنترل جریان و ولتاژ سیم‌پیچ‌ها پیاده سازی نمود [۵-۸]. همانطور که Chen بیان کرده است با وجود کارایی روش مود لغزشی، مشکلاتی نظیر ناپیوستگی سیگنال کنترلی و زمان محاسبات زیاد در پیاده سازی این کنترلگر به صورت تجربی وجود دارد [۹]. در نتیجه وی در تازه‌ترین تحقیق خود از یک روش کنترل غیرخطی لیاپانوفی برای غلبه بر این مشکلات استفاده کرده است.

به طور کلی با توجه به دینامیک غیرخطی یاتاقان سه قطبی، بیشتر کارهای انجام شده روی این مدل یاتاقان مغناطیسی بر روش‌های کنترل غیرخطی متمرکز شده است. یکی از مشکلات اصلی روش‌های کنترل غیرخطی وابستگی زیاد آنها به مدل دینامیکی سیستم است. دربندی و همکاران [۱۰] در تحقیقی بر روی یک مدل آزمایشگاهی یاتاقان سه قطبی نشان داده‌اند که با شناسایی دقیق دینامیک سیستم و استفاده از جریان بایاس می‌توان از کنترلگر LQG برای پایدار کردن یاتاقان سه قطبی استفاده نمود. وی در مقایسه‌ای بین روش کنترلی مود لغزشی و روش LQG، نشان داده است که کارایی کنترلگر خطی بهتر از روش مود لغزشی بوده و وابستگی آن به عدم قطعیت‌ها در مدل دینامیکی و پارامترهای سیستم بسیار کمتر از کنترلگر غیرخطی است.

به طور معمول در یاتاقان‌های مغناطیسی برای اندازه‌گیری موقعیت محور از سنسورهای جابجایی سنج غیرتماسی استفاده می‌شود. سنسورهای جابجایی سنج القایی از یک هسته مغناطیسی سیم‌پیچی شده تشکیل شده‌اند که توسط ولتاژ با فرکانس ۵-۱۰۰ kHz تحریک شده و از طریق اندازه‌گیری آمپدانس، فاصله هوایی تا سطح مورد اندازه‌گیری تعیین

که در آن  $\mu_0 = 4\pi \times 10^{-7} \text{ H.m}^{-1}$  نشان دهنده ضریب مغناطیسی پذیری خلاء و  $s_j$  طول فاصله هوایی در قطب  $j$ ام است. با فرض جابجایی‌های کوچک محور، فاصله‌های هوایی در سه قطب به صورت زیر بدست می‌آیند.

$$\begin{cases} s_1 = s_0 + y \\ s_2 = s_0 + \sqrt{3}x/2 - y/2 \\ s_3 = s_0 - \sqrt{3}x/2 - y/2 \end{cases} \quad (3)$$

که در آن  $s_0$  فاصله هوایی اولیه و  $x$  و  $y$  جابجایی محور نسبت به مرکز یاتاقان هستند. با جایگذاری رابطه (۳) در رابطه (۲) و حل دستگاه معادله رابطه (۱)، می‌توان شار مغناطیسی در هر قطب را به صورت تابعی از جریان سیم پیچ‌ها و میزان جابجایی محور به صورت زیر بدست آورد.

$$\varphi_1 = 2\gamma \left[ \sqrt{3}x i_2 + (2s_0 - y) i_1 \right] \quad (4)$$

$$\varphi_2 = \gamma \left[ (6s_0 - \sqrt{3}x + 3y) i_2 + (-2s_0 + \sqrt{3}x + y) i_1 \right] \quad (5)$$

$$\varphi_3 = \gamma \left[ (6s_0 + \sqrt{3}x + 3y) i_2 + (2s_0 + \sqrt{3}x - y) i_1 \right] \quad (6)$$

$$\gamma = 2\mu_0 AN / 3(4s_0^2 - x^2 - y^2) \quad (7)$$

با محاسبه میزان انرژی ذخیره شده در فاصله هوایی قطب‌ها و به کاربرد اصل کار مجازی، نیروی مغناطیسی وارد شده به محور از جانب هر قطب از رابطه زیر بدست می‌آید [۱].

$$f_j = \frac{\varphi_j^2}{2\mu_0 A}, \quad j=1..3 \quad (8)$$

در نتیجه برآیند نیروی مغناطیسی وارد شده از طرف قطب‌ها به محور در راستای  $x$  و  $y$  عبارت است از

$$f_x = (f_3 - f_2) \sin \frac{\pi}{3} = \frac{\sqrt{3}}{4\mu_0 A} (\varphi_3^2 - \varphi_2^2) \quad (9)$$

$$f_y = (f_3 + f_2) \cos \frac{\pi}{3} - f_1 = \frac{1}{4\mu_0 A} (\varphi_3^2 + \varphi_2^2 - 2\varphi_1^2) \quad (10)$$

با جایگذاری مقدار شار مغناطیسی هر قطب از رابطه‌های (۴)–(۷) در رابطه‌های (۹) و (۱۰) می‌توان نوشت

$$f_x = \frac{3\gamma^2}{2\mu_0 A} [2x(2s_0 - y)i_1^2 + 2\sqrt{3}(x^2 - y^2 + 4s_0^2)i_1 i_2 + 6x(2s_0 + y)i_2^2] \quad (11)$$

$$f_y = \frac{3\gamma^2}{2\mu_0 A} \{ [x^2 - (2s_0 - y)^2] i_1^2 + 4\sqrt{3}xy i_1 i_2 + [3(2s_0 + y)^2 - 3x^2] i_2^2 \} \quad (12)$$

با توجه به رابطه‌های فوق مشخص است که نیروی یاتاقان مغناطیسی سه قطبی تابعی غیرخطی از جریان سیم پیچ‌ها و همچنین جابجایی محور است که سبب وابسته شدن دینامیک محور در راستای  $x$  و  $y$  نیز

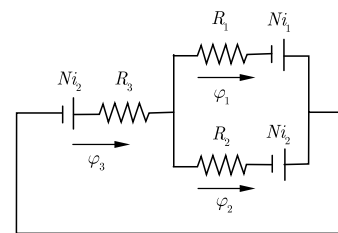
و نویز در اندازه‌گیری خروجی سیستم بررسی‌هایی را بر روی مشاهده گر تناسبی انتگرالی انجام داده‌اند [۱۸–۲۰].

Khedher [۲۰] در تحقیق خود روشی را برای طراحی یک مشاهده گر تناسبی انتگرالی پیشنهاد کرده که در آن مشاهده گر قادر به شناسایی خطای اندازه‌گیری متغیر با زمان است. با وجود کارایی این روش، اشتباهی در طراحی مشاهده گر وجود دارد که استفاده از آن را به صورت عملی روی مدل آزمایشگاهی با مشکل مواجه می‌سازد. در تحقیق حاضر از مدل اصلاح شده این مشاهده گر تناسبی انتگرالی برای تخمین خطای اندازه‌گیری سنسور در یک سیستم یاتاقان مغناطیسی سه قطبی استفاده شده است. همچنین کارایی روش ارائه شده با استفاده از نتایج تجربی روی مدل آزمایشگاهی نشان داده شده است.

## ۲- دینامیک سیستم

### ۲-۱- یاتاقان مغناطیسی سه قطبی

در شکل ۱ نمایی از ساختار یک یاتاقان مغناطیسی سه قطبی ارائه شده توسط Chen [۲] نشان داده شده است. در این یاتاقان قطب‌ها با زاویه ۱۲۰ درجه از یکدیگر قرار گرفته‌اند. هر قطب دارای سطح مقطع  $A$  و تعداد  $N$  دور سیم است.  $\varphi_j$  نشان دهنده شار مغناطیسی قطب  $j$ ام است. از سیم پیچ‌های مربوط به قطب‌های ۲ و ۳ جریان یکسانی عبور می‌کند اما جهت جریان به گونه‌ای است که شار مغناطیسی ایجاد شده در این قطب‌ها در جهت مخالف یکدیگر باشد. با فرض آنکه از نشتی شار، اشباع در هسته و مقاومت مغناطیسی هسته آهنی صرف‌نظر شود می‌توان مدار مغناطیسی یاتاقان سه قطبی را مطابق شکل ۲ نشان داد.



شکل ۲: مدار مغناطیسی یاتاقان سه قطبی

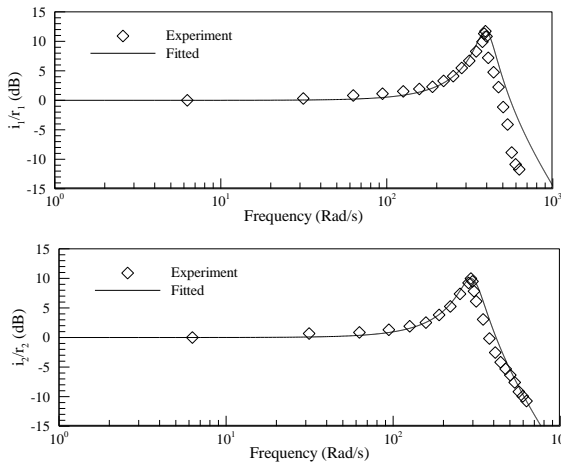
با توجه به شکل ۲ می‌توان معادلاتی را مشابه قوانین ولتاژ-جریان کیرشهف برای مدار مغناطیسی در نظر گرفته شده به صورت زیر ارائه داد.

$$\begin{cases} \varphi_1 + \varphi_2 = \varphi_3 \\ N i_2 - R_3 \varphi_3 + N i_2 - R_2 \varphi_2 = 0 \\ N i_2 - R_3 \varphi_3 + N i_1 - R_1 \varphi_1 = 0 \end{cases} \quad (1)$$

$i_1$  و  $i_2$  جریان در سیم پیچ‌ها و  $R_j$  بیانگر مقاومت مغناطیسی در فاصله هوایی مربوط به قطب  $j$ ام است که توسط رابطه زیر محاسبه می‌شود.

$$R_j = \frac{s_j}{\mu_0 A}, \quad j = 1..3 \quad (2)$$

القای فارادی) اثر ناچیزی بر جریان سیم پیچ‌های بالا و بالعکس خواهد داشت. در نتیجه جریان سیم پیچ‌ها به صورت مستقل از یکدیگر در نظر گرفته شده‌اند. به منظور شناسایی دینامیک تقویت کننده قدرت به همراه سیم پیچ متصل به آن، یک فرمان آنالوگ هارمونیک با فرکانس 1-100 Hz به تقویت کننده داده شده و جریان سیم پیچ‌ها با استفاده از سنسورهای اثر هال اندازه‌گیری شده‌اند. در شکل ۳ نمودار پاسخ فرکانسی بدست آمده برای دو تقویت کننده قدرت نشان داده شده است.



شکل ۳: نمودار پاسخ فرکانسی جریان سیم پیچ‌ها

با توجه به شکل ۳ می‌توان نتیجه گرفت که دینامیک تقویت کننده قدرت و سیم پیچ‌ها را می‌توان به صورت یک سیستم مرتبه دو در نظر گرفت. بنابراین معادلات دینامیکی جریان در سیم پیچ‌ها به صورت زیر خواهد بود

$$\begin{cases} \ddot{i}_1 + 2\zeta_1\omega_1\dot{i}_1 + \omega_1^2 i_1 = \omega_1^2 r_1 \\ \ddot{i}_2 + 2\zeta_2\omega_2\dot{i}_2 + \omega_2^2 i_2 = \omega_2^2 r_2 \end{cases} \quad (18)$$

که در آن  $r_1$  و  $r_2$  فرمان ولتاژ آنالوگ تقویت کننده‌ها و  $\omega_1$ ،  $\zeta_1$ ،  $\omega_2$  و  $\zeta_2$  پارامترهای ثابتی هستند که با استفاده از انطباق نمودار پاسخ فرکانسی یک سیستم رسته دو بر مقادیر تجربی مشخص شده‌اند.

$$\zeta_1 = 0.13, \omega_1 = 399.6, \zeta_2 = 0.16, \omega_2 = 300.04 \quad (19)$$

### ۳- طراحی کنترلگر

با استفاده از رابطه‌های (۱۶) و (۱۸) معادلات کلی خطی شده سیستم در فضای حالت عبارتند از

$$\begin{cases} \dot{x}_1 = x_2 \\ \dot{x}_2 = k_x/mx_1 + k_{i_1}/mx_3 \\ \dot{x}_3 = x_4 \\ \dot{x}_4 = -\omega_1^2 x_3 - 2\zeta_1\omega_1 x_4 + \omega_1^2 u_1 \\ \dot{x}_5 = x_6 \\ \dot{x}_6 = k_y/mx_5 + k_{i_2}/mx_7 \\ \dot{x}_7 = x_8 \\ \dot{x}_8 = -\omega_2^2 x_7 - 2\zeta_2\omega_2 x_8 + \omega_2^2 u_2 \end{cases} \quad (20)$$

خواهد شد. برای برطرف نمودن این مشکل متغیرهای  $\bar{i}_1$  و  $\bar{i}_2$  به صورت زیر تعریف می‌شوند.

$$\begin{cases} \dot{\bar{i}}_1 = \bar{i}_1 \\ \dot{\bar{i}}_2 = \bar{i}_b + \bar{i}_2 \end{cases} \quad (13)$$

در رابطه فوق  $\bar{i}_b$  نشان دهنده جریان بایاس در سیم پیچ‌های بالایی است. با جایگذاری رابطه (۱۳) در رابطه‌های (۱۱) و (۱۲) و نوشتن بسط تیلور این معادلات حول نقطه صفر تا مرتبه اول نیروهای خطی شده به صورت زیر بدست می‌آیند.

$$f_x = \frac{\mu_0 AN^2 i_b^2}{2s_0^3} x + \frac{\mu_0 AN^2 i_b}{\sqrt{3}s_0^2} \bar{i}_1 + O(2) \quad (14)$$

$$f_y = \frac{\mu_0 AN^2 i_b^2}{2s_0^2} y + \frac{\mu_0 AN^2 i_b}{s_0^2} \bar{i}_2 + O(2) \quad (15)$$

همانطور که از رابطه‌های فوق مشخص است خطی سازی نیروها سبب غیروابسته شدن دینامیک سیستم در راستای  $x$  و  $y$  خواهد شد. البته رابطه‌های (۱۴) و (۱۵) زمانی معتبر هستند که جریان در سیم پیچ‌ها ( $\bar{i}_1$  و  $\bar{i}_2$ ) و همچنین میزان جابجایی محور در محدوده نسبتاً کوچکی قرار داشته باشند. با در نظر گرفتن محور به صورت یک دیسک صلب دو درجه آزادی بدون دوران معادلات حرکت محور عبارتند از

$$\begin{cases} m\ddot{x} = f_x \approx k_x x + k_{i_1} \bar{i}_1 \\ m\ddot{y} = f_y - mg \approx k_y y + k_{i_2} \bar{i}_2 \end{cases} \quad (16)$$

در رابطه فوق  $m$  جرم موثر محور در محل یاتاقان مغناطیسی و  $g$  شتاب گرانش هستند. همچنین پارامترهای  $i_b$ ،  $k_x$ ،  $k_y$ ،  $k_{i_1}$  و  $k_{i_2}$  به صورت زیر تعریف می‌شوند

$$\begin{cases} i_b = \frac{s_0}{N} \sqrt{\frac{2mg}{\mu_0 N}}, k_x = k_y = \frac{\mu_0 AN^2 i_b^2}{2s_0^3} \\ k_{i_1} = \frac{\mu_0 AN^2 i_b}{\sqrt{3}s_0^2}, k_{i_2} = \frac{\mu_0 AN^2 i_b}{s_0^2} \end{cases} \quad (17)$$

### ۲-۲- دینامیک تقویت کننده قدرت و سیم پیچ‌ها

به منظور کنترل جریان سیم پیچ‌ها در یاتاقان مغناطیسی سه قطبی از دو تقویت کننده قدرت PWM با پهنای باند 2.5 kHz در مدل آزمایشگاهی استفاده شده است. این تقویت کننده‌ها فرمان ورودی آنالوگ  $\pm 10$  V را دریافت کرده و جریان مورد نیاز در سیم پیچ‌ها را با روش PWM تنظیم می‌کنند.

به طور معمول در یاتاقان‌های مغناطیسی از روش کنترل جریان استفاده می‌شود. اما در تحقیق حاضر به علت بالا بودن ضریب القاء مدار مغناطیسی مدل آزمایشگاهی که سبب تاخیر زیادی در ایجاد جریان مورد نیاز سیم پیچ‌ها می‌شود، از روش کنترل ولتاژ استفاده شده است. در ابتدا این فرض در نظر گرفته شده که تغییر شار در قطب پایین (در اثر قانون

با توجه به معادلات سیستم از رابطه (۲۰) می‌توان این معادلات را به

صورت ماتریسی زیر نشان داد

$$\begin{cases} \dot{\mathbf{x}} = \mathbf{Ax} + \mathbf{Bu} \\ \mathbf{y} = \mathbf{Cx} + \mathbf{d} \end{cases} \quad (26)$$

که در آن  $\mathbf{A}$ ،  $\mathbf{B}$  و  $\mathbf{C}$  ماتریس‌های سیستم خطی شده،  $\mathbf{y}$  بردار خروجی سنسورها و  $\mathbf{d}$  نشان دهنده بردار خطای اندازه‌گیری سنسور است که مقدار آن ثابت در نظر گرفته شده است. به طور معمول برای تخمین متغیرهای حالت در سیستم فوق از مشاهده گر لوبرگر استفاده می‌شود که یک مشاهده گر تناسبی است و ساختار آن به صورت زیر است

$$\begin{cases} \dot{\hat{\mathbf{x}}} = \mathbf{A}\hat{\mathbf{x}} + \mathbf{Bu} + \mathbf{L}(\mathbf{y} - \hat{\mathbf{y}}) \\ \hat{\mathbf{y}} = \mathbf{C}\hat{\mathbf{x}} \end{cases} \quad (27)$$

در رابطه (۲۷)،  $\mathbf{L}$  ماتریس ضرائب مشاهده گر است که با توجه به آن می‌توان دینامیک مشاهده گر را تعیین نمود. در صورتی که خطای تخمین متغیرها را برابر  $\tilde{\mathbf{x}} = \mathbf{x} - \hat{\mathbf{x}}$  در نظر بگیریم، دینامیک این خطا عبارت است از

$$\begin{aligned} \dot{\tilde{\mathbf{x}}} &= \dot{\mathbf{x}} - \dot{\hat{\mathbf{x}}} \\ &= (\mathbf{A} - \mathbf{LC})\tilde{\mathbf{x}} - \mathbf{Ld} \end{aligned} \quad (28)$$

با توجه به رابطه فوق می‌توان مشاهده گر کرد که خطای اندازه‌گیری  $\mathbf{d}$  در ماتریس ضرائب مشاهده گر ضرب می‌شود. به طور معمول برای آنکه دینامیک مشاهده گر از دینامیک سیستم اصلی سریعتر باشد، ضرائب ماتریس  $\mathbf{L}$  دارای مقادیر بزرگی هستند. در نتیجه ضرب شدن ماتریس  $\mathbf{L}$  در خطای اندازه‌گیری سبب تقویت مقدار خطا خواهد شد. علاوه بر آن همواره بین متغیرهای حالت سیستم و متغیرهای تخمین زده شده یک خطای ثابت وجود خواهد داشت که مقدار این خطا با بزرگتر شدن ضرائب ماتریس  $\mathbf{L}$  افزایش می‌یابد. با توجه به آنکه در قانون کنترلی رابطه‌های (۲۲) و (۲۳) از مقدار تخمین زده شده متغیرهای حالت استفاده می‌شود، خطای اندازه‌گیری به صورت یک اغتشاش خارجی به سیستم وارد شده و سبب انحراف آن از نقطه صفر خواهد شد.

#### ۴-۲- مشاهده گر تناسبی انتگرالی

به منظور رفع مشکل تقویت خطای اندازه‌گیری، متغیر  $\mathbf{z}$  که یک مقدار فیلتر شده از خروجی سیستم است به صورت زیر تعریف می‌شود.

$$\dot{\mathbf{z}} = \Gamma(-\mathbf{z} + \mathbf{Cx} + \mathbf{d}) \quad (29)$$

که در آن  $-\Gamma$  ماتریسی است که مقادیر ویژه آن دارای قسمت حقیقی منفی است. با استفاده از رابطه‌های (۲۶) و (۲۹) می‌توان معادلات سیستم را به صورت زیر بازنویسی نمود

$$\begin{bmatrix} \dot{\mathbf{x}} \\ \dot{\mathbf{z}} \end{bmatrix} = \begin{bmatrix} \mathbf{A} & \mathbf{0} \\ \Gamma\mathbf{C} & -\Gamma \end{bmatrix} \begin{bmatrix} \mathbf{x} \\ \mathbf{z} \end{bmatrix} + \begin{bmatrix} \mathbf{B} \\ \mathbf{0} \end{bmatrix} \mathbf{u} + \begin{bmatrix} \mathbf{0} \\ \Gamma \end{bmatrix} \mathbf{d} \quad (30)$$

که در آن متغیرهای حالت به صورت زیر تعریف می‌شوند

$$\begin{aligned} x_1 &= x, x_2 = \dot{x}, x_3 = \ddot{x}, x_4 = \overset{\cdot\cdot\cdot}{x} \\ x_5 &= y, x_6 = \dot{y}, x_7 = \ddot{y}, x_8 = \overset{\cdot\cdot\cdot}{y} \end{aligned} \quad (21)$$

از آنجایی که دینامیک سیستم خطی شده در دو جهت  $x$  و  $y$  از یکدیگر مستقل است برای کنترل سیستم که در حالت ناپایدار قرار دارد از کنترلر PID به صورت نامتمرکز استفاده شده است. در نتیجه ورودی‌های کنترلی  $u_1$  و  $u_2$  به صورت زیر در نظر گرفته شده‌اند

$$u_1 = -k_1 k_2 k_3 k_4 \hat{x}_1 \hat{x}_2 \hat{x}_3 \hat{x}_4 - k_{I1} \int_0^t \hat{x}_1 d\tau \quad (22)$$

$$u_2 = -k_5 k_6 k_7 k_8 \hat{x}_5 \hat{x}_6 \hat{x}_7 \hat{x}_8 - k_{I2} \int_0^t \hat{x}_5 d\tau \quad (23)$$

در رابطه‌های فوق  $\hat{x}_1$  تا  $\hat{x}_8$  متغیرهای حالت تخمین زده شده هستند. جملات انتگرالی به منظور حذف خطای دائم در سیستم در نظر گرفته شده‌اند. برای پایدار نمودن سیستم ضرائب کنترلی باید به نحوی تعیین شوند که تابع هزینه نشان داده شده در رابطه زیر کمترین مقدار را داشته باشد.

$$J = E \left[ \int_0^{\infty} (\mathbf{x}^T \mathbf{Q} \mathbf{x} + \mathbf{u}^T \mathbf{R} \mathbf{u}) dt \right] \quad (24)$$

که در آن  $E$  نشان دهنده مقدار متوسط،  $\mathbf{x}$  بردار متغیرهای حالت و  $\mathbf{u}$  بردار ورودی‌های کنترلی است. همچنین  $\mathbf{R}$  و  $\mathbf{Q}$  نیز ماتریس‌های وزنی مثبت نیمه معین هستند. قانون کنترلی بهینه برای به حداقل رساندن تابع هزینه نشان داده شده در رابطه (۲۴) عبارت است از

$$\mathbf{u} = -\mathbf{Kx} = -\mathbf{R}^{-1} \mathbf{B}^T \mathbf{Px} \quad (25)$$

که در آن  $\mathbf{P}$  ماتریس یکنای مثبت معینی است که از حل معادله دیفرانسیل ماتریسی ریکاتی بدست می‌آید. با توجه به آنکه ماتریس‌های سیستم و همچنین ماتریس‌های وزنی ثابت بوده و تابعی از زمان نیستند، می‌توان از حل دائمی استفاده نمود که با حل معادله جبری ریکاتی بدست خواهد آمد.

#### ۴- طراحی مشاهده گر

از میان متغیرهای حالت نشان داده شده در رابطه (۲۱)، تنها جابجایی محور و جریان سیم پیچ‌ها قابل اندازه‌گیری هستند. با این وجود، سیگنال جریان بدست آمده از سنسورهای اثر هال دارای سطح نویز بسیار بالایی است و نمی‌توان از آن در قانون کنترلی رابطه‌های (۲۲) و (۲۳) استفاده نمود. همچنین استفاده از فیلتر برای کاهش نویز نیز سبب ایجاد اختلاف فاز در سیگنال خواهد شد که خود سبب ناپایداری می‌شود. در نتیجه جریان سیم پیچ‌ها و مشتق آنها و سرعت محور متغیرهای حالت نامشخص سیستم هستند که باید توسط یک مشاهده گر تخمین زده شوند.

#### ۴-۱- مشاهده گر تناسبی

$$\begin{aligned} \dot{\tilde{\mathbf{d}}} &= \dot{\mathbf{d}} - \dot{\hat{\mathbf{d}}} \\ &= -\mathbf{L}_2 \bar{\mathbf{C}} \tilde{\mathbf{X}} - \mathbf{L}_2 \bar{\mathbf{D}} \dot{\tilde{\mathbf{d}}} \end{aligned} \quad (38)$$

رابطه‌های (۳۷) و (۳۸) را می‌توان به صورت ماتریسی زیر بازنویسی نمود

$$\begin{aligned} \begin{bmatrix} \dot{\tilde{\mathbf{X}}} \\ \dot{\tilde{\mathbf{d}}} \end{bmatrix} &= \begin{bmatrix} \bar{\mathbf{A}} - \mathbf{L}_1 \bar{\mathbf{C}} & \bar{\mathbf{E}} - \mathbf{L}_1 \bar{\mathbf{D}} \\ -\mathbf{L}_2 \bar{\mathbf{C}} & -\mathbf{L}_2 \bar{\mathbf{D}} \end{bmatrix} \begin{bmatrix} \tilde{\mathbf{X}} \\ \tilde{\mathbf{d}} \end{bmatrix} \\ &= \begin{bmatrix} \bar{\mathbf{A}} & \bar{\mathbf{E}} \\ \mathbf{0} & \mathbf{0} \end{bmatrix} - \begin{bmatrix} \mathbf{L}_1 \\ \mathbf{L}_2 \end{bmatrix} \begin{bmatrix} \bar{\mathbf{C}} & \bar{\mathbf{D}} \end{bmatrix} \begin{bmatrix} \tilde{\mathbf{X}} \\ \tilde{\mathbf{d}} \end{bmatrix} \end{aligned} \quad (39)$$

در صورتی که متغیر جدید  $\tilde{\Phi} = [\tilde{\mathbf{X}}^T \quad \tilde{\mathbf{d}}^T]^T$  را تعریف نماییم، معادله ماتریسی دینامیک خطای تخمین در رابطه فوق را می‌توان به صورت ساده شده زیر بیان کرد.

$$\dot{\tilde{\Phi}} = (\mathbf{A}_t - \mathbf{L}_t \mathbf{C}_t) \tilde{\Phi} \quad (40)$$

با مقایسه رابطه‌های (۲۸) و (۴۰) مشخص است که برخلاف مشاهده‌گر تناسبی، خطای اندازه‌گیری سنسور در دینامیک خطای مشاهده‌گر تناسبی انتگرالی وارد نمی‌شود. در نتیجه علاوه بر تخمین صحیح متغیرهای حالت سیستم، می‌توان خطای اندازه‌گیری سنسور را نیز شناسایی و حذف نمود. با استفاده از رابطه (۴۰) می‌توان ماتریس ضرائب مشاهده‌گر  $\mathbf{L}_t = [\mathbf{L}_1 \quad \mathbf{L}_2]^T$  را به نحوی طراحی کرد که مشاهده‌گر علاوه بر پایدار بودن و همگرایی، دارای سرعت مناسبی نیز در تخمین متغیرهای حالت سیستم باشد. تنها نکته‌ای که باید مورد توجه قرار گیرد آن است که رابطه (۳۱) نشان دهنده یک سیستم چند خروجی است. بنابراین برای طراحی ماتریس ضرائب  $\mathbf{L}_t$  باید از روش‌های جانمایی قطب‌ها در سیستم‌های چند ورودی-چند خروجی استفاده نمود.

## ۵- مدل آزمایشگاهی

مدل آزمایشگاهی یاتاقان مغناطیسی مورد استفاده در تحقیق حاضر در شکل ۴ نشان داده شده است. این مدل شامل یک محور آلومینیومی با یک دیسک صلب در وسط آن است که یک انتهای آن توسط یاتاقان مغناطیسی و انتهای دیگر آن توسط یک یاتاقان ساچمه‌ای خود تنظیم نگه داشته شده است. یاتاقان خود تنظیم به محور اجازه می‌دهد تا آزادانه در راستای افقی و عمودی حرکت داشته باشد. به منظور جلوگیری از برخورد محور و هسته یاتاقان مغناطیسی، یک یاتاقان پشتیبان در کنار یاتاقان مغناطیسی قرار داده شده که در شکل ۵ نشان داده شده است. به منظور جلوگیری از نشستی شار از طریق محور، جنس محور آلومینیم در نظر گرفته شده است.

$$\begin{bmatrix} \mathbf{y} \\ \mathbf{z} \end{bmatrix} = \begin{bmatrix} \mathbf{C} & \mathbf{0} \\ \mathbf{0} & \mathbf{I} \end{bmatrix} \begin{bmatrix} \mathbf{x} \\ \mathbf{z} \end{bmatrix} + \begin{bmatrix} \mathbf{I} \\ \mathbf{0} \end{bmatrix} \mathbf{d} \quad (31)$$

در صورتی که بردار متغیر حالت جدید  $\mathbf{X} = [\mathbf{x}^T \quad \mathbf{z}^T]^T$  و خروجی جدید سیستم را به صورت  $\mathbf{Y} = [\mathbf{y}^T \quad \mathbf{z}^T]^T$  تعریف کنیم، معادلات رابطه‌های (۳۰) و (۳۱) را می‌توان به صورت ماتریسی زیر بیان نمود.

$$\dot{\mathbf{X}} = \bar{\mathbf{A}}\mathbf{X} + \bar{\mathbf{B}}\mathbf{u} + \bar{\mathbf{E}}\mathbf{d} \quad (32)$$

$$\mathbf{Y} = \bar{\mathbf{C}}\mathbf{X} + \bar{\mathbf{D}}\mathbf{d} \quad (33)$$

در سیستم معادلات جدید مقدار فیلتر شده خروجی‌های سیستم قبلی نیز جزو متغیرهای حالت سیستم هستند. تفاوت اصلی بین مشاهده‌گر تناسبی انتگرالی به کار گرفته شده در این تحقیق و مشاهده‌گر مرجع [۲۰] در انتخاب خروجی  $\mathbf{Y}$  است. در مرجع [۲۰] خروجی سیستم جدید به صورت  $\mathbf{Y} = [(\mathbf{C}\mathbf{x})^T \quad \mathbf{z}^T]^T$  در نظر گرفته شده است. این در حالی است که خروجی اندازه‌گیری شده و در دسترس سیستم شامل خطای اندازه‌گیری بوده و به صورت  $\mathbf{y} = \mathbf{C}\mathbf{x} + \mathbf{d}$  است. در نتیجه نمی‌توان خروجی سیستم جدید را به صورت  $\mathbf{Y} = [(\mathbf{C}\mathbf{x})^T \quad \mathbf{z}^T]^T$  تعریف نمود.

به منظور تخمین متغیرهای حالت در سیستم جدید و همچنین تخمین خطای اندازه‌گیری، مشاهده‌گری با ساختار زیر مورد استفاده قرار می‌گیرد

$$\dot{\hat{\mathbf{X}}} = \bar{\mathbf{A}}\hat{\mathbf{X}} + \bar{\mathbf{B}}\mathbf{u} + \bar{\mathbf{E}}\hat{\mathbf{d}} + \mathbf{L}_1(\mathbf{Y} - \hat{\mathbf{Y}}) \quad (34)$$

$$\dot{\hat{\mathbf{d}}} = \mathbf{L}_2(\mathbf{Y} - \hat{\mathbf{Y}}) \quad (35)$$

$$\hat{\mathbf{Y}} = \bar{\mathbf{C}}\hat{\mathbf{X}} + \bar{\mathbf{D}}\hat{\mathbf{d}} \quad (36)$$

در رابطه فوق  $\hat{\mathbf{X}}$ ،  $\hat{\mathbf{d}}$ ،  $\mathbf{L}_1$  و  $\mathbf{L}_2$  به ترتیب نشان دهنده تخمین متغیرهای حالت، تخمین خطای اندازه‌گیری و ماتریس ضرائب مشاهده‌گر هستند. با توجه به آنکه در رابطه (۳۴) ماتریس ضرائب در خروجی  $\mathbf{Y}$  ضرب شده است، مشخص است که در معادلات مشاهده‌گر هم خروجی اندازه‌گیری شده  $\mathbf{y}$  و هم مقدار فیلتر شده آن یعنی  $\mathbf{z}$  حضور دارند. بنابراین رابطه (۳۴) نشان‌دهنده یک مشاهده‌گر تناسبی انتگرالی است. با تعریف خطای تخمین متغیرهای حالت سیستم جدید به صورت  $\tilde{\mathbf{X}} = \mathbf{X} - \hat{\mathbf{X}}$ ، دینامیک این خطا به صورت زیر محاسبه می‌شود.

$$\begin{aligned} \dot{\tilde{\mathbf{X}}} &= \dot{\mathbf{X}} - \dot{\hat{\mathbf{X}}} \\ &= (\bar{\mathbf{A}} - \mathbf{L}_1 \bar{\mathbf{C}}) \tilde{\mathbf{X}} + (\bar{\mathbf{E}} - \mathbf{L}_1 \bar{\mathbf{D}}) \tilde{\mathbf{d}} \end{aligned} \quad (37)$$

همچنین با توجه به ثابت بودن خطای اندازه‌گیری ( $\dot{\mathbf{d}} = 0$ )، دینامیک خطای تخمین  $\mathbf{d}$  عبارت است از



زمان سنج با دقت نانو ثانیه است. الگوریتم کنترلی تحت زبان برنامه نویسی C نوشته شده و سپس به یک ماژول قابل اجرا در کرنل سیستم عامل کامپایل می‌شود. با توجه به نوع کارت‌های داده برداری استفاده شده این کنترلگر قابلیت اجرا با فرکانس 10 kHz را دارا است.

جریان سیم پیچ‌ها توسط دو تقویت کننده قدرت PWM با فرکانس سوئیچینگ 22 kHz تامین می‌شود. این تقویت کننده‌ها دارای سنسور جریان داخلی بوده و قادر به تامین جریان پیوسته تا حد 10 A هستند. منبع تغذیه DC مورد استفاده نیز 24 V برای تغذیه سنسورها و 40 V برای تقویت کننده‌ها تامین می‌نماید.

## ۶- نتایج تجربی

به منظور بررسی کارایی روش ارائه شده در تخمین و حذف خطای سنسورها، هر دو مشاهده گر تناسبی و تناسبی-انتگرالی به همراه کنترلگرهای PD و PID روی مدل آزمایشگاهی یاتاقان سه قطبی پیاده‌سازی شده‌اند. در ابتدا برای طراحی کنترلگر باید پارامترهای سیستم مشخص گردند. با توجه به مشخصات فیزیکی و هندسی یاتاقان مغناطیسی آزمایشگاهی، پارامترهای سیستم خطی شده با استفاده از رابطه (۱۷) عبارتند از

$$\begin{aligned} \dot{i}_b &= 0.6297 \text{ A}, k_x = k_y = 13734 \text{ N/m} \\ k_{i_1} &= 25.18 \text{ N/A}, k_{i_2} = 43.62 \text{ N/A} \end{aligned} \quad (41)$$

کارایی کنترلگر خطی به کار رفته به میزان زیادی به ماتریس‌های وزنی  $\mathbf{Q}$  و  $\mathbf{R}$  وابسته است. ماتریس وزنی  $\mathbf{Q}$  تعیین کننده کارایی کنترلگر و ماتریس وزنی  $\mathbf{R}$  تعیین کننده میزان انرژی استفاده شده توسط کنترلگر است. با توجه به شرط مثبت نیمه معین بودن، ماتریس‌های  $\mathbf{Q}$  و  $\mathbf{R}$  به صورت قطری با المان‌های مثبت به صورت زیر در نظر گرفته شده‌اند.

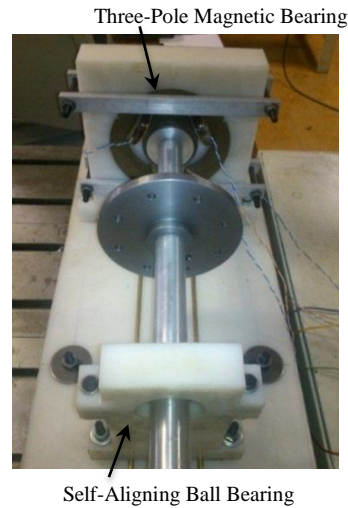
$$\mathbf{Q} = \begin{bmatrix} Q_1 & 0 \\ 0 & Q_2 \end{bmatrix}, \mathbf{R} = \begin{bmatrix} 1 & 0 \\ 0 & 1 \end{bmatrix} \quad (42)$$

که در آن  $Q_1$  و  $Q_2$  عبارتند از

$$Q_1 = Q_2 = \text{diag}[1, 1, 10^{-4}, 10^{-4}] \text{ for PD} \quad (43)$$

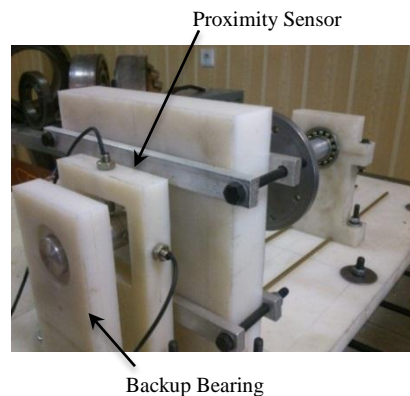
$$Q_1 = Q_2 = \text{diag}[1, 1, 10^{-5}, 10^{-5}, 2 \times 10^8] \text{ for PID} \quad (44)$$

با انتخاب ماتریس‌های  $\mathbf{Q}$  و  $\mathbf{R}$  و با استفاده از رابطه (۲۵) ضرائب کنترلی بدست می‌آیند. مقادیر فوق برای مولفه‌های ماتریس‌های  $\mathbf{Q}$  و  $\mathbf{R}$  به گونه‌ای انتخاب شده‌اند که ضرائب کنترلی بدست آمده اعداد منطقی باشند و ورودی کنترلی به اندازه‌ای بزرگ نشود که باعث بوجود آمدن جریان بیش از حد اشباع در سیم پیچ‌ها شود. در کنترلگر PD در نظر گرفته شده جملات انتگرالی موجود در رابطه‌های (۲۲) و (۲۳) حذف شده‌اند. طراحی مشاهده گر‌ها نیز به گونه‌ای صورت گرفته است



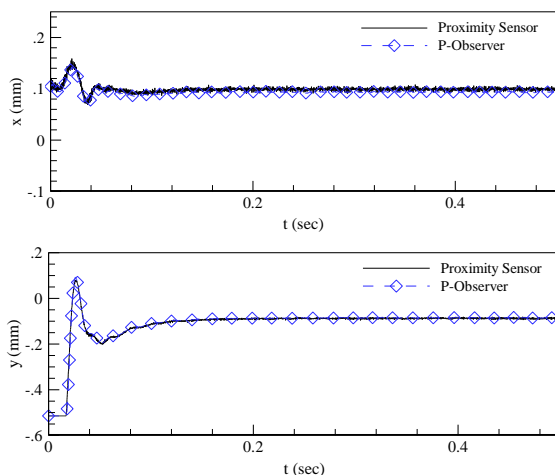
شکل ۴: مدل آزمایشگاهی یاتاقان سه قطبی

به منظور ساده‌تر شدن فرآیند ساخت و همچنین کاهش نشتی شار در هسته آهنی، پایه یاتاقان‌ها و صفحه زیرین نگهدارنده از جنس پلی اتیلن فشرده ساخته شده‌اند. به منظور کاهش اتلاف ناشی از جریان گردابی، روتور و استاتور یاتاقان مغناطیسی از ورقه‌هایی از جنس فولاد آلایزی سیلیکون دار ساخته شده‌اند. ضخامت هر ورق برابر 0.5 mm است. همچنین فاصله هوایی میان روتور و استاتور یاتاقان مغناطیسی 1 mm در نظر گرفته شده است. با توجه به آنکه محور به صورت یک جسم دو درجه آزادی مدل شده است، جرم موثر محور در محل یاتاقان مغناطیسی به طور مستقیم با استفاده از یک نیرو سنج اندازه‌گیری شده است. برای اندازه‌گیری جابجایی محور دو سنسور جابجایی سنج غیرتماسی در محل یاتاقان مغناطیسی نصب شده که در شکل ۵ نشان داده شده است.



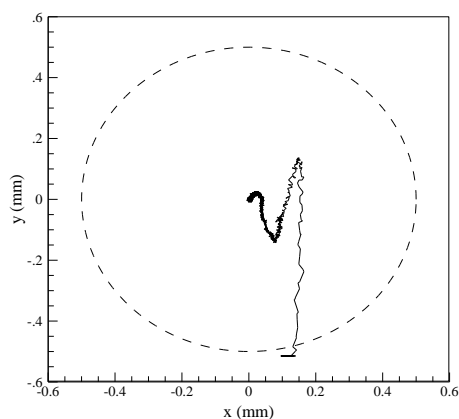
شکل ۵: محل نصب سنسور جابجایی سنج

سیستم کنترلی یاتاقان مغناطیسی از چهار جزء اصلی تشکیل شده است: سنسورهای جابجایی، کنترلگر دیجیتال، تقویت کننده قدرت، منبع تغذیه. کنترلگر دیجیتال شامل مبدل‌های A/D و D/A ۱۲ بیتی و همچنین یک کامپیوتر با پردازنده پنتیوم IV و فرکانس 2.8 GHz است. کامپیوتر مورد استفاده تحت سیستم عامل RTAI اجرا می‌شود. RTAI یک نسخه بلادرنگ از سیستم عامل لینوکس است که دارای قابلیت اجرای برنامه‌های کنترلی تحت فرکانس زمانی بسیار دقیق بوده و همچنین دارای



شکل ۷: نمودار تغییر مکان افقی و عمودی محور بر حسب زمان (کنترلگر PD و فیدبک متغیرها از مشاهده‌گر تناسبی)

مشاهده‌گر تناسبی تنها قادر است تا خروجی سنسورها را تعقیب کرده و با استفاده از آن متغیرهای حالت را تخمین بزند. با توجه به شکل ۷ مشخص است که سیگنال بدست آمده از مشاهده‌گر تناسبی کاملاً بر خروجی سنسورها تطابق دارد. این در حالی است که خروجی سنسورها خود شامل یک خطای اندازه‌گیری ناشی از ناهمواری سطح مقطع محور یا کالیبراسیون غیر دقیق سنسور است. در نتیجه این خطا در قانون کنترلی فیدبک وارد شده و سبب انحراف سیستم از مرکز یاتاقان می‌شود.



شکل ۸: نمودار تغییر مکان محور در صفحه  $xy$  با خروجی سنسورها (کنترلگر PID و فیدبک متغیرها از مشاهده‌گر تناسبی)

یکی از گزینه‌های موجود برای حذف خطای دائم در سیستم‌ها استفاده از انتگرال‌گیر در کنترلگر است. به منظور بررسی تاثیر انتگرال‌گیر در حذف خطای اندازه‌گیری، در مرحله بعد از کنترلگر PID استفاده می‌شود. نمودار تغییر مکان محور در صفحه  $xy$  با پیاده‌سازی کنترلگر PID در شکل ۸ نشان داده شده است. لازم به ذکر است که در این مرحله نیز در ورودی کنترلی از فیدبک متغیرهای حالت مشاهده‌گر تناسبی استفاده شده است.

همانطور که در شکل ۸ نشان داده شده با اضافه شدن انتگرال‌گیر به کنترلگر، محور در مرکز یاتاقان قرار گرفته است. اما نکته‌ای که باید مورد توجه قرار گیرد آن است که با توجه به وجود خطا در خروجی

که دینامیک آن سریعتر از دینامیک سیستم بوده و قطب‌های آن دورتر از قطب‌های سیستم مدار بسته قرار داشته باشند. با توجه به ماتریس‌های وزنی انتخاب شده ضرائب کنترلی به صورت زیر بدست می‌آیند.

$$\mathbf{K}_x = [2241.6, 22.6, 2.1, 0.01] \text{ for PD} \quad (45)$$

$$\mathbf{K}_y = [1328.1, 13.4, 2.2, 0.01] \text{ for PD} \quad (46)$$

$$\mathbf{K}_x = [1866.3, 17.4, 0.86, 0.004, 14142.1] \text{ for PID} \quad (47)$$

$$\mathbf{K}_y = [1267.8, 11.4, 1.09, 0.004, 14142.1] \text{ for PID} \quad (48)$$

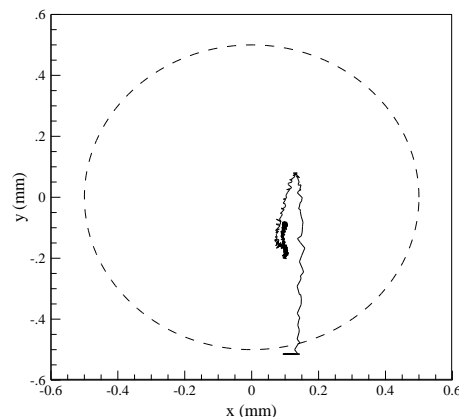
ضرایب مشاهده‌گر نیز در دو جهت  $x$  و  $y$  یکسان و به صورت زیر در نظر گرفته شده‌اند.

$$\mathbf{L} = [1200, 369810, 0, 0]^T \text{ for P-Observer} \quad (49)$$

$$\mathbf{L}_i = \begin{bmatrix} 0, & 0, & 0, & 0, & 0, & 0 \\ 4584387.4, & 334041200.8, & 0, & 0, & 1710, & -3466177.4 \end{bmatrix}^T \quad (50)$$

for PI-Observer

در ابتدا به منظور بررسی رفتار سیستم، کنترلگر PD به همراه فیدبک متغیرهای حالت مشاهده‌گر تناسبی روی مدل یاتاقان مغناطیسی آزمایشگاهی پیاده‌سازی شده است. در شکل ۶ نمودار تغییر مکان محور در صفحه  $xy$  با استفاده از خروجی سنسورها نشان داده شده است.

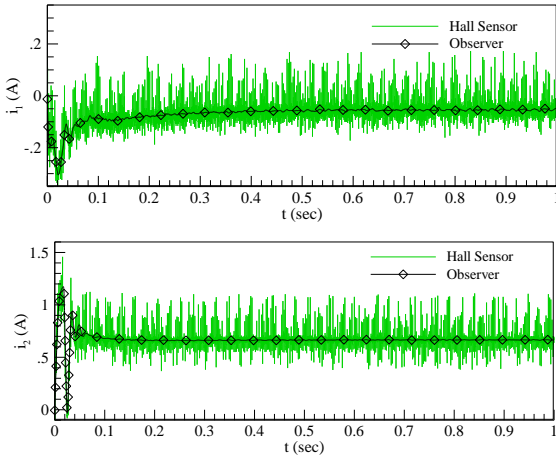


شکل ۶: نمودار تغییر مکان محور در صفحه  $xy$  با خروجی سنسورها (کنترلگر PD و فیدبک متغیرها از مشاهده‌گر تناسبی)

همانطور که در شکل نیز مشخص است کنترلگر و مشاهده‌گر مورد استفاده قادر به پایدار کردن سیستم هستند. اما محور کاملاً در مرکز یاتاقان قرار نگرفته و خطای دائمی در هر دو جهت افقی و عمودی وجود دارد.

برای بهتر مشخص شدن پاسخ سیستم، جابجایی‌های افقی و عمودی محور بر حسب زمان در شکل ۷ نشان داده شده است. مشاهده‌گر تناسبی به خوبی قادر است تا با استفاده از خروجی سنسورها، متغیرهای حالت را تخمین زده و سیستم را پایدار نماید. اما مساله مهم وجود خطا در خروجی سنسورها است. مشاهده‌گر تناسبی نه تنها قادر به شناسایی این خطا نیست بلکه با تقویت آن سبب انحراف محور از مرکز یاتاقان نیز می‌شود.

برای تایید این موضوع سیگنال جریان سنسورها با استفاده از سنسورهای اثر هال اندازه‌گیری شده و با استفاده از یک مشاهده‌گر نیز تخمین زده شده‌اند. برای آنکه اثر خطای موجود در سنسورهای جابجایی وارد سیگنال جریان نشود، تنها از خروجی سنسورهای جریان در مشاهده‌گر جریان سیم پیچ‌ها استفاده شده است. جریان سیم پیچ‌ها به همراه تخمین آنها در شکل ۱۱ نشان داده شده است.

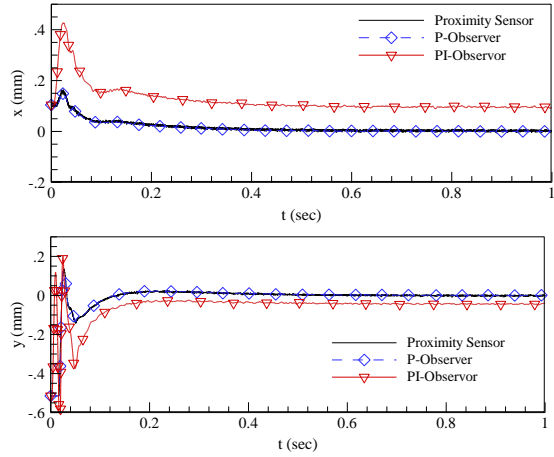


شکل ۱۱: نمودار جریان سیم پیچ‌ها (کنترلر PID و فیدبک متغیرها از مشاهده‌گر تناسبی)

از آنجایی که برای تنظیم جریان در سیم پیچ‌ها از تقویت کننده قدرت PWM استفاده شده، سیگنال جریان اندازه‌گیری شده حاوی نویز بالایی است. با توجه به شکل ۱۱ مقدار سیگنال‌های جریان در حالت دائم برابر  $i_1 = -0.07 A$  و  $i_2 = 0.67 A$  هستند. این در حالی است که مطابق رابطه (۱۳)، جریان‌ها در نقطه مرکز یاتاقان باید برابر  $i_1 = 0$  و  $i_2 = i_b$  باشند. بنابراین می‌توان نتیجه گرفت در این حالت محور دقیقاً در مرکز یاتاقان قرار نگرفته است.

در مرحله بعد در قانون کنترلی از فیدبک متغیرهای حالت مشاهده‌گر تناسبی انتگرالی استفاده می‌شود. برای مقایسه بهتر در ۱ ثانیه اول از فیدبک متغیرهای حالت مشاهده‌گر تناسبی استفاده شده و پس از آن در قانون کنترلی از متغیرهای مشاهده‌گر تناسبی انتگرالی استفاده می‌شود. نمودار تغییر مکان محور در صفحه  $xy$  با پیاده‌سازی کنترلر PID و استفاده از مشاهده‌گر تناسبی انتگرالی در شکل ۱۲ نشان داده شده است. خروجی سنسورها نشان می‌دهد که در ابتدا محور در مرکز یاتاقان قرار گرفته و سپس منحرف شده و در نقطه‌ای خارج از مرکز قرار می‌گیرد. شکل ۱۳ نمودار تغییر مکان افقی و عمودی محور را بر حسب زمان نشان می‌دهد. در ۱ ثانیه اول مشاهده‌گر تناسبی و خروجی سنسورها، محور را در مرکز یاتاقان نشان می‌دهند اما مشاهده‌گر تناسبی انتگرالی محور را خارج از مرکز نشان می‌دهد. بعد از ثانیه اول که از فیدبک متغیرهای مشاهده‌گر تناسبی انتگرالی در ورودی کنترلی استفاده شده، این مساله معکوس شده و مشاهده‌گر تناسبی انتگرالی محور را در مرکز یاتاقان نشان می‌دهد.

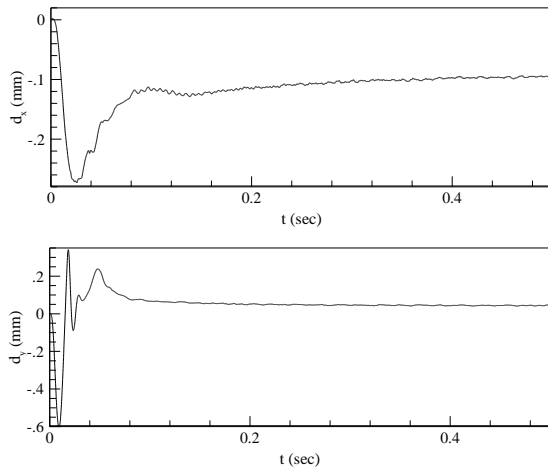
سنسورها، نمی‌توان نسبت به قرار گرفتن محور در مرکز یاتاقان مطمئن بود. برای بررسی بهتر، جابجایی‌های افقی و عمودی محور بر حسب زمان در شکل ۹ نشان داده شده است. در شکل ۹ سیگنال‌های بدست آمده از هر دو مشاهده‌گر تناسبی و تناسبی انتگرالی با یکدیگر مقایسه شده‌اند.



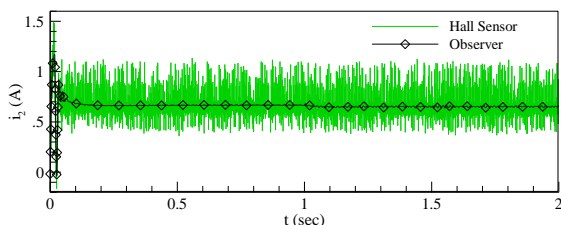
شکل ۹: نمودار تغییر مکان افقی و عمودی محور بر حسب زمان (کنترلر PID و فیدبک متغیرها از مشاهده‌گر تناسبی)

با توجه به شکل ۹ مشخص است که سیگنال بدست آمده از سنسورها و همچنین مشاهده‌گر تناسبی نشان می‌دهد که محور در نقطه صفر قرار گرفته است. اما سیگنال بدست آمده از مشاهده‌گر تناسبی انتگرالی وجود خطای دائمی را در جابجایی محور نشان می‌دهد. تخمین این خطا با استفاده از مشاهده‌گر تناسبی انتگرالی بدست آمده و در شکل ۱۰ نشان داده شده است.

با توجه به نمودارهای شکل ۹ و شکل ۱۰ می‌توان نتیجه گرفته که اضافه کردن انتگرال‌گیر به کنترلر قادر به حذف خطای دائم ناشی از وجود خطا در خروجی سنسورها نیست. علت این امر آن است که انتگرال‌گیر خطای دائم موجود در متغیرهای حالت بدست آمده از مشاهده‌گر تناسبی را به صفر می‌رساند. اما خطای دائم همچنان در متغیرهای حالت سیستم واقعی وجود دارند.



شکل ۱۰: نمودار تخمین خطای اندازه‌گیری سنسورها در جهت افقی و عمودی با مشاهده‌گر تناسبی انتگرالی

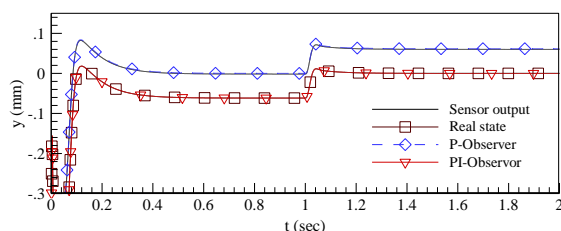
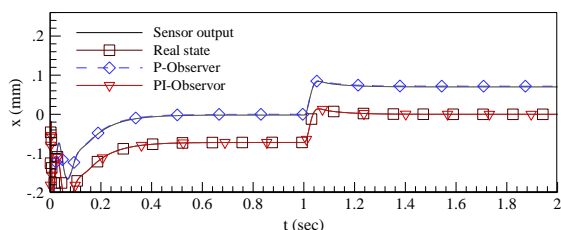


شکل ۱۴: نمودار جریان سیم پیچ‌ها (کنترلر PID و فیدبک متغیرها از مشاهده گر تناسبی انتگرالی بعد از ثانیه اول)

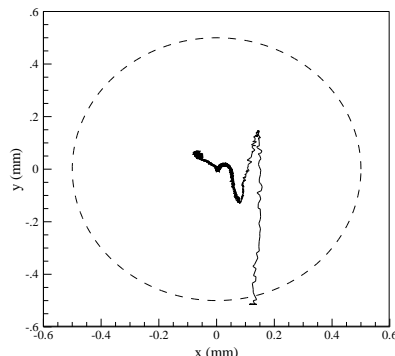
به منظور اعتبارسنجی و مقایسه با نتایج تجربی، شبیه‌سازی عددی با استفاده از نرم‌افزار MATLAB انجام شده و نتایج آن در شکل ۱۵ نشان داده شده است. برای انجام شبیه‌سازی عددی پارامترهای سیستم مطابق رابطه (۴۱) در نظر گرفته شده و ضرائب کنترلر و مشاهده گر نیز مطابق رابطه‌های (۴۵)–(۵۰) هستند. برای ایجاد خطای اندازه‌گیری خروجی سنسورها به صورت زیر در نظر گرفته شده‌اند

$$\begin{aligned} x_{\text{sensor}} &= x + 0.07 \times 10^{-3} \\ y_{\text{sensor}} &= y + 0.06 \times 10^{-3} \end{aligned} \quad (51)$$

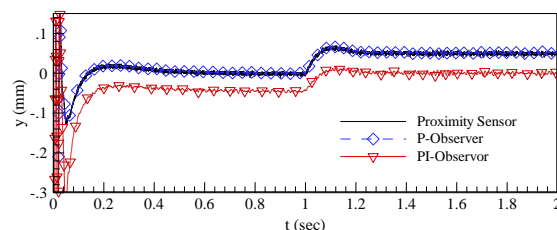
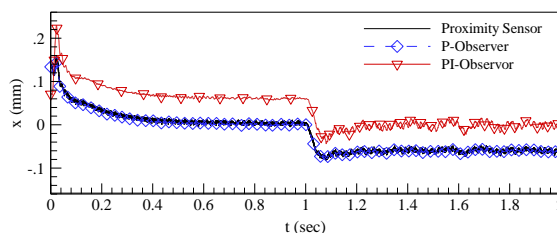
این خروجی‌ها به عنوان ورودی به مشاهده گر تناسبی و مشاهده گر تناسبی انتگرالی وارد شده و پاسخ سیستم در شکل ۱۵ نشان داده شده است. تا قبل از ثانیه اول از فیدبک متغیرهای مشاهده گر تناسبی برای کنترل استفاده شده که در نتیجه آن، محور در نقطه‌ای خارج از مرکز قرار می‌گیرد. همانطور که در شکل ۱۵ نشان داده شده مشاهده گر تناسبی انتگرالی به خوبی موقعیت واقعی محور را نشان داده و قادر است خطای اندازه‌گیری را حذف نماید. پس از ثانیه اول که از فیدبک متغیرهای مشاهده گر تناسبی انتگرالی استفاده شده محور کاملاً در مرکز یاتاقان قرار گرفته است. مقایسه شکل‌های ۱۳ و ۱۵ نشان می‌دهد که رفتار سیستم در شبیه‌سازی عددی و مدل آزمایشگاهی تطابق خوبی با یکدیگر دارند که بیانگر کارایی روش ارائه شده در تخمین متغیرهای حالت و خطای سنسور به طور همزمان است.



شکل ۱۵: نمودار تغییر مکان افقی و عمودی محور بر حسب زمان بدست آمده از شبیه‌سازی عددی (کنترلر PID و فیدبک متغیرها از مشاهده گر تناسبی انتگرالی بعد از ثانیه اول)

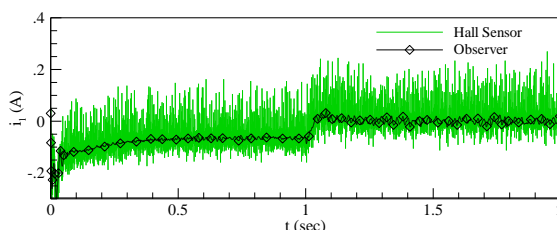


شکل ۱۲: نمودار تغییر مکان محور در صفحه  $xy$  با خروجی سنسورها (کنترلر PID و فیدبک متغیرها از مشاهده گر تناسبی انتگرالی بعد از ثانیه اول)



شکل ۱۳: نمودار تغییر مکان افقی و عمودی محور بر حسب زمان (کنترلر PID و فیدبک متغیرها از مشاهده گر تناسبی انتگرالی بعد از ثانیه اول)

به منظور بررسی بیشتر، سیگنال جریان سیم پیچ‌ها در شکل ۱۴ نشان داده شده است. همانطور که مشخص است پس از ثانیه اول مقدار جریان‌ها در حالت دائم برابر  $i_1 = 0$  و  $i_2 = 0.65$  A هستند. با توجه صفر بودن جریان  $i_1$  می‌توان نتیجه گرفت که محور در جهت افق دقیقاً در مرکز قرار گرفته است. اما با توجه به رابطه (۴۱)، جریان  $i_2$  با جریان روتور و وزن در نظر گرفته شده متفاوت است. علت این امر تفاوت وزن واقعی به انتگرالی بودن کنترلر، جریان بایاس به طور خودکار به مقدار مورد نظر افزایش داده شده تا روتور کاملاً در مرکز قرار بگیرد.



bearing system, IEEE/ASME Transactions on Mechatronics, vol. 15, no. 3, pp. 381-388, 2010.

- [9] S. L. Chen, Nonlinear smooth feedback control of a three-pole active magnetic bearing system, IEEE Transactions on Control Systems Technology, vol. 19, no. 3, pp. 615 – 621, 2010.
- [10] S. M. Darbandi, M. Behzad, H. Salarieh, and H. Mehdigholi, Linear output feedback control of a three-pole magnetic bearing, IEEE/ASME Transactions on Mechatronics, In Press, 2013.
- [11] C. S. Kim and C.W. Lee, In situ runout identification in active magnetic bearing system by extended influence coefficient method, IEEE/ASME Transactions on Mechatronics, vol. 2, no. 1, pp. 51-57, 1997.
- [12] H. S. Na and Y. Park, An adaptive feedforward controller for rejection of periodic disturbances, Journal of Sound and Vibration, vol. 201, no. 4, pp. 316-324, 1997.
- [13] Y. Kanemitsu, S. Kijimoto, K. Matsuda, and P. T. Jin, Identification of mass unbalance and sensor runout on a rotor equipped with magnetic bearings, 7th International Symp. on Magnetic Bearings, pp. 543-548, 2000.
- [14] J. D. Setiawan, R. Mukherjee, and E. H. Maslen, Adaptive compensation of sensor runout for magnetic bearings with uncertain parameters: theory and experiments, Journal of Dynamic Systems, Measurement, and Control, vol. 123, pp. 211-218, 2001.
- [15] B. Wojciechowski, Analysis and synthesis of proportional-integral observers for single-input-single-output time-invariant continuous systems, PhD Thesis, Gliwice, Poland, 1978.
- [16] M. Saif, Reduced order proportional integral observer with application, Journal of Guidance, Control, and Dynamics, vol. 16, no. 5, pp. 985-988, 1993.
- [17] K. K. Busawon and P. Kabore, Disturbance attenuation using proportional integral observers, International Journal of Control, vol. 74, no. 6, pp. 618-627, 2001.
- [18] D. Koenig and S. Mammar, Design of proportional-integral observer for unknown input descriptor systems, IEEE Transactions on Automatic Control, vol. 47, no. 12, pp. 2057-2062, 2002.
- [19] Z. Gao and D. W. C. Ho, Proportional multiple-integral observer design for descriptor systems with measurement output disturbances, IEE Proceedings - Control Theory and Applications, vol. 151, no. 3, pp. 279-288, 2004.
- [20] A. Khedher, K. Benothman, D. Maquin, and M. Benrejeb, State and sensor faults estimation via a proportional integral observer, 6th International Multi-Conference on Systems, Signals and Devices, pp. 1-6, 2009.

## ۷- نتیجه‌گیری

با توجه به جابجایی‌های بسیار کوچک محور در سیستم یاتاقان‌های مغناطیسی، این نوع یاتاقان‌ها دارای دقت کاری بسیار بالایی بوده و کوچکترین خطای اندازه‌گیری در سنسورها تاثیر قابل توجهی بر عملکرد آنها خواهد داشت. در این تحقیق مشاهده‌گر تناسبی انتگرالی به منظور شناسایی و حذف خطای اندازه‌گیری سنسورها در سیستم یاتاقان مغناطیسی مورد استفاده قرار گرفت. نتایج تجربی نشان می‌دهد که اضافه کردن انتگرال‌گیر به کنترل‌گر نیز توانایی حذف خطای دائم ناشی از خطای اندازه‌گیری سنسور را ندارد. برخلاف مشاهده‌گر تناسبی که سبب تقویت خطای اندازه‌گیری و انحراف سیستم از مرکز یاتاقان می‌شود، مشاهده‌گر تناسبی انتگرالی قادر به تخمین خطای اندازه‌گیری سنسورها و حذف آن از پاسخ سیستم است. در نتیجه، استفاده از مشاهده‌گر تناسبی انتگرالی تا حد زیادی سبب بهبود عملکرد سیستم یاتاقان مغناطیسی شده و حساسیت آن را نسبت به وجود خطا در سیگنال اندازه‌گیری شده توسط سنسورها کاهش می‌دهد.

## مراجع

- [1] G. Schweitzer and E. H. Maslen, Magnetic bearings theory, design, and application to rotating machinery, Springer, 2009.
- [2] S. L. Chen and C. T. Hsu, Optimal design of a three-pole active magnetic bearing, IEEE Transactions on Magnetics, vol. 38, no.5, pp. 3458-3466, 2002.
- [3] C. T. Hsu and S. L. Chen, Exact linearization of a voltage-controlled 3-pole active magnetic bearing system, IEEE Transactions on Control Systems Technology, vol. 10, no. 4, pp. 618 – 625, 2002.
- [4] C. T. Hsu and S. L. Chen, Nonlinear control of a 3-pole active magnetic bearing system, Automatica, vol. 39, pp. 291 – 298, 2003.
- [5] S. L. Chen, S. H. Chen, and S. T. Yan, Stabilization of a current-controlled three-pole magnetic rotor-bearing system by integral sliding mode control, Proceedings of the IEEE International Conference on Networking, Sensing & Control, pp. 949-954, 2004.
- [6] S. L. Chen, S. H. Chen, and S. T. Yan, Experimental validation of a current-controlled three-pole magnetic rotor-bearing system, IEEE Transactions on Magnetics, vol. 41, no. 1, pp. 99-112, 2005.
- [7] S. L. Chen and C. C. Weng, Robust stabilization and experimentation of a voltage-controlled three-pole active magnetic bearing system, IEEE International Conference on Systems, Man and Cybernetics, vol. 4, pp. 3753 – 3758, 2005.
- [8] S. L. Chen and C. C. Weng, Robust control of a voltage-controlled three-pole active magnetic



## مدل سازی کوره قوس الکتریکی بر مبنای نظریه آشوب به منظور کنترل پارامترهای کیفیت توان

محمد عطایی<sup>۱</sup>، هاجر قطب<sup>۲</sup>، غزنفر شاهقلیان<sup>۳</sup>، آرش کیومرثی<sup>۴</sup>

<sup>۱</sup>دانشیار گروه فنی ومهندسی- دانشگاه اصفهان Ataei@eng.ui.ac.ir

<sup>۲</sup>فارغ التحصیل کارشناسی ارشد مهندسی برق، دانشگاه آزاد واحد نجف آباد hajarghotb@yahoo.com

<sup>۳</sup>استادیار گروه مهندسی برق- قدرت، دانشگاه آزاد اسلامی واحد نجف آباد shahgholian@iaun.ac.ir

<sup>۴</sup>دانشیار گروه مهندسی برق، دانشکده فنی ومهندسی- دانشگاه اصفهان Ataei@eng.ui.ac.ir

(تاریخ دریافت مقاله ۱۳۹۲/۳/۹، تاریخ پذیرش مقاله ۱۳۹۲/۵/۲)

**چکیده:** کوره های قوس الکتریکی یکی از بزرگترین بارهای متمرکز در شبکه قدرت و از مهمترین منابع تولید هارمونیک، فلیکر ولتاژ و نامتعادلی به شمار می روند. در این مقاله، براساس نظریه آشوب، در ابتدا یک مدل توصیف کننده رفتار کوره قوس الکتریکی AC از لحاظ پارامترهای کیفیت توان ارائه می گردد. در این راستا حالت استاتیک قوس الکتریکی با استفاده از یک تابع هذلولی- نمایی مدل گردیده و نوسانات موجود در آن بوسیله یک مدل آشوبی توصیف می گردد. در این خصوص انتخاب مناسب پارامترهای مدل آشوبی به منظور تطبیق سیگنال آشوبی حاصل با نوسانات ولتاژ قوس الکتریکی از منظر پارامترهای کیفیت توان موضوع مهمی به شمار می رود. بدین منظور، الگوریتم بهینه سازی رقابت استعماری<sup>۱</sup> و الگوریتم ژنتیک<sup>۲</sup> با تابع هزینه مشتمل بر انحراف هارمونیک های ولتاژ و جریان استفاده گردیده، تا مناسب ترین برازش از حیث هارمونیک حاصل گردد. داده های مورد استفاده در این مقاله داده های واقعی جمع آوری شده از یک کوره قوس الکتریکی مجتمع فولاد مبارکه اصفهان می باشد. اعتبار مدل آشوبی ارائه شده با اندازه گیری میزان فلیکر ولتاژ از روی داده های واقعی و مدل پیشنهادی ارزیابی می گردد. در مرحله دوم، ایده استفاده از کنترل کننده های آشوبی برای کنترل پارامترهای کیفیت توان دنبال می گردد. در این راستا سیستم کنترل الکترودهای کوره قوس الکتریکی در نظر گرفته شده و با استفاده از داده های واقعی رابطه ای بین جریان و طول قوس الکتریکی برآزش می گردد. سپس با ارائه دو کنترل کننده آشوبی به روش تطبیقی و تاخیر دار به کنترل الکترودهای کوره قوس الکتریکی و در نهایت کنترل جریان شبکه توان پرداخته می شود. در ادامه به منظور بررسی عملکرد روش پیشنهاد شده، ضمن ارائه نتایج شبیه سازی، اثرات این دو کنترل کننده را در کاهش هارمونیک ها و فلیکر ولتاژهای کوره قوس الکتریکی، قبل و بعد از اعمال کنترل کننده آشوبی محاسبه و با یکدیگر مقایسه می نماییم.

**کلمات کلیدی:** کوره قوس الکتریکی، نظریه آشوب، هارمونیک ها، فلیکر ولتاژ، کنترل کننده های آشوب

## Modeling of the Electric Arc Furnaces using Chaos Theory and Control of Power Quality Parameters

Mohammad Ataei, Hajar Ghotb, Ghazanfar Shahgholian, Arash Kiyoumars

**Abstract:** Chaos-Based modeling of Electric Arc Furnaces (EAF) in order to control the power quality parameters is the purpose of this paper. Electric arc furnaces represent one of the major sources of perturbations for the feeding system. For modeling the electric arc furnace, at first, the arc is modeling using current-voltage characteristic of time-domain, then the random characteristic has been taken into account by modulating the arc voltage by a chaotic attractor. This paper deals with the problem of the arc modeling using three well-known chaotic attractors (Rössler, Chua, and Lorenz) attractors. A new tuning procedure is carried out to determine the most adequate parameters of the attractors to model the arc furnace by imperialist competitive algorithm (ICA). Finally two methods (time delay feedback controller (TDFC), adaptive controller) for controlling electrode in electric arc furnaces are proposed. Then, the power quality indices before and after applying controller are compared to show the effectiveness of the proposed idea.

**Keywords:** Electric Arc Furnaces, Chaos Theory, Voltage Flicker, Harmonics, Control of Chaos

<sup>۱</sup> Imperialist Competitive Algorithm (ICA)

## ۱- مقدمه

کوره های قوس الکتریکی یکی از بزرگترین بارهای متمرکز در شبکه قدرت می باشند که اغلب به منظور ذوب و تصفیه فلزات مورد استفاده قرار می گیرد. با گسترش جریان استفاده از کوره های قوس الکتریکی در صنعت، مشکلات کیفیت توان ناشی از آنها نیز افزایش یافته است. امروزه یکی از مهمترین منابع تولید هارمونیک<sup>۱</sup>، فلیکر<sup>۲</sup> و ولتاژ و نامتعادلی در شبکه های قدرت، کوره های قوس الکتریکی می باشند. به دلیل حرکت ظاهرا اتفاقی قوس الکتریکی همانگونه که طول قوس هنگام ذوب تغییر می کند نوسانات شدید ولتاژی در مدار تغذیه مشاهده می شود. هنگامی که این تغییرات در محدوده ۱ تا ۲۵ هرتز به وقوع بپیوندد، می تواند باعث مساله فلیکر گردد. علاوه بر این بر اثر تغییرات ناگهانی قوس و مشخصه به شدت غیرخطی ولتاژ - جریان، هارمونیک های فرکانس اصلی شکل می گیرند [۱-۳] به منظور یافتن روشهایی برای کم کردن این تبعات مخرب، باید اثرات این بارهای غیرخطی و تغییر پذیر با زمان را به روی شاخصه های کیفیت توان در سرتاسر سیستم قدرت مورد بررسی قرار دهیم. لذا در دست داشتن مدل توصیف کننده رفتار یک کوره قوس الکتریکی، که مبین طبیعت غیرقابل پیش بینی، غیرپریودیک و غیرخطی قوس الکتریکی بوده، به شدت احساس می شود. در راستای آنالیز شاخصه های کیفیت توان و مدلسازی قوس الکتریکی مدل های متعددی پیشنهاد شده است [۴-۱۴]. برخی از این مدلها براساس خطی سازی معادله مشخصه می باشند، که دارای تقریب زیادی می باشند [۴-۵]. برخی دیگر از این مدلها بر پایه مدل های تقریبی و با استفاده از معادلات دیفرانسیل در حوزه زمان بیان شده و نیاز به شرایط اولیه خاص دارند [۶] و تطابق مطلوبی بین مدل های آنها و حالت واقعی وجود ندارد و دارای تقریب زیادی می باشد [۷، ۸، ۹]. یکی از جدیدترین روشهایی که برای مدلسازی قوس الکتریکی، در این مقاله مد نظر می باشد، ارائه روشی برای مدل سازی کوره های قوس الکتریکی بر مبنای تئوری آشوب بوده، که تا حد زیادی دربرگیرنده طبیعت تصادفی قوس الکتریکی بوده و همچنین قابلیت کنترل را نیز دارا باشد [۱۳]. به این منظور، از سه نوع از سیستم های آشوبی در مدل سازی کوره قوس الکتریکی استفاده می نماییم. یکی از نکات مهم در استفاده از مدل های آشوب، حساسیت شدید این مدلها به پارامترهای اولیه بوده، که با اعمال اندک تغییراتی در پارامترهای آنها، رفتارهای متفاوتی را از این مدلها شاهد خواهیم بود. بنابراین تنظیم دقیق پارامترها امری ضروری می باشد [۱۵-۱۷]. بدین منظور، برای طراحی دقیق پارامترهای مدل های آشوب، دو نوع از الگوریتم های بهینه سازی (الگوریتم رقابت استعماری و الگوریتم ژنتیک) با تابع هزینه مشتمل بر انحراف هارمونیکهای ولتاژ و جریان انتخاب، و نتایج با یکدیگر مقایسه می گردد. این دو نوع الگوریتم، به هر نوع مساله بهینه سازی بدون هیچ محدودیتی قابل اعمال بوده و از آنها در

حل بسیاری از مسائل در حوزه های مهندسی استفاده گردیده است [۱۸-۲۲]. پس از ارائه مدل پیشنهادی، به منظور کنترل شاخصه های کیفیت توان در شبکه قدرت، ایده طراحی کنترل کننده آشوبی برای کنترل حرکت الکترودهای کوره قوس الکتریکی مطرح می گردد. در زمینه کنترل کوره قوس الکتریکی و آنالیز تاثیر بر پارامترهای کیفیت توان تاکنون مطالعات محدودی بر مبنای نظریه کلاسیک کنترل انجام شده است [۲۳-۲۷]. در این مقاله، با توجه به ارائه مدل توصیف کننده کوره قوس الکتریکی بر مبنای نظریه آشوب، با ارائه دو کنترل کننده آشوبی (کنترل تطبیقی سیستم آشوبی همسان Lorenz<sup>۳</sup> و کنترل فیدبک تاخیر زمان<sup>۴</sup>) به کنترل الکترودهای کوره قوس الکتریکی پرداخته و بنابراین طول قوس الکتریکی کنترل می گردد و به دلیل رابطه غیر خطی بین طول قوس الکتریکی و جریان الکتریکی، کنترل جریان شبکه توان نیز محقق می شود [۲۸-۳۱]. پس از ارائه مقدمه، ساختار ادامه مقاله به این صورت است که، طراحی مدل قوس الکتریکی در حالت استاتیک در بخش دوم شرح داده می شود. در بخش سوم به مدلسازی قوس الکتریکی بر مبنای نظریه آشوب پرداخته می شود، همچنین طراحی پارامترهای مدل های آشوب، بر اساس الگوریتم های بهینه سازی در این بخش مورد توجه قرار گرفته است. در بخش چهارم بر روی طراحی کنترل کننده برای کنترل حرکت الکترودها و بررسی اثرات این کنترل کننده به روی پارامترهای کیفیت توان بحث و بررسی انجام می گردد. و در نهایت در بخش پنجم نتیجه گیری از بحث ارائه می گردد.

۲-۱ مدل سازی قوس الکتریکی بر اساس مدل هذلولی -  
نمایی

از مهمترین مزیت های مدل قوس، سادگی بکارگیری جهت شبیه سازی و عدم تقریب زیاد می باشد. رابطه (۱) به بیان مدلی برای کوره قوس الکتریکی می پردازد.

$$v = \text{sign}(i) \left[ v_{at} + \frac{C}{D + |i|} \right] \quad (1)$$

$$v_{at} = A + Bi$$

در این مدل، که آن را مدل هذلولی گون گویند،  $v$  ولتاژ قوس الکتریکی،  $i$  جریان قوس الکتریکی و  $V_{at}$  ولتاژ آستانه ذوب می باشد، که به طول قوس بستگی دارد.  $C, D$  اعداد ثابتی هستند که در هنگامی که جریانها افزایشی باشد به صورت  $C_i, D_i$  و هنگامی که جریانها کاهشی باشد به صورت  $C_d, D_d$  نشان داده می شود.  $A$  افت ولتاژ مجموع کاتد و آند،  $B$  افت ولتاژ در هر واحد قوس و  $L$  طول قوس می باشد که این مقادیر نیز، با توجه به خصوصیات هر کوره مقادیر متفاوتی را به خود می گیرند [۱۱]. رابطه (۲) مدل دیگری از مشخصه ولتاژ-

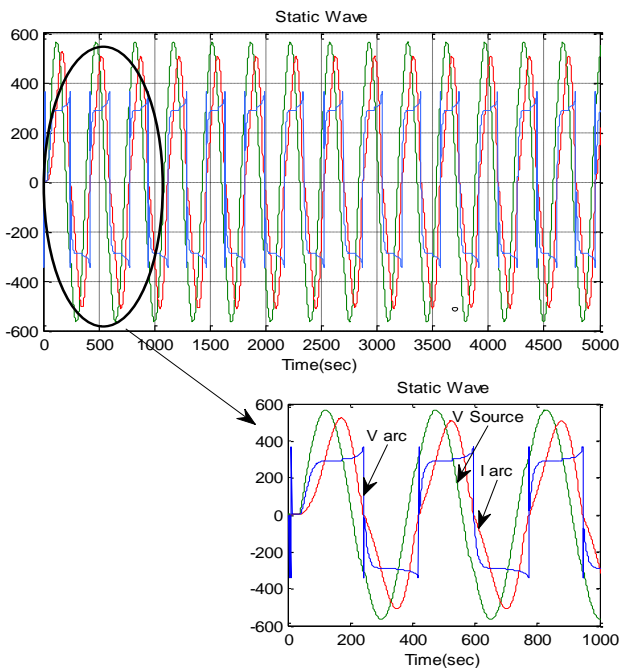
<sup>۳</sup> Adaptive Controller<sup>۴</sup> Time-Delay Feedback Control (TDFC)<sup>۱</sup> Harmonics<sup>۲</sup> Flicker



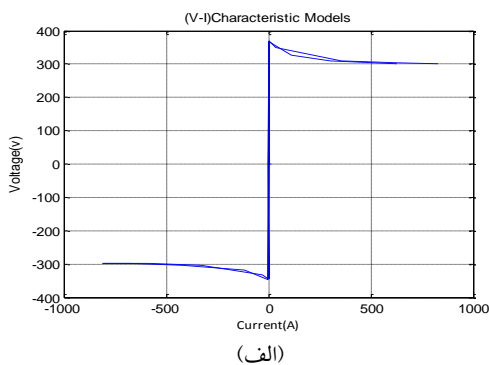
جدول(۱): مقادیر پارامترهای مدل‌های قوس الکتریکی

پارامترهای قوس الکتریکی	پارامترهای شبکه قدرت
$Z=0.3366+j3.2 \text{ m}\Omega$	$Z=0.0528+j0.46 \text{ m}\Omega$
$I_0=10000(\text{A})$	$V=566(\text{v})$
$C_i=190000 \text{ C}_d = 39000$	$V_{at}=289.75(\text{v})$
$D_i = 5000 \text{ و } D_d = 5000$	$F=60 \text{ HZ}$

با استفاده از دیاگرام سیستم قدرت، مدل استاتیک قوس الکتریکی را پیاده سازی می نماییم. که نتایج این شبیه سازی در شکل (۲) و (۳) نشان داده شده است. شکل (۲) مشخصه ولتاژ قوس و جریان قوس و ولتاژ منبع بر حسب زمان را نشان می دهد و شکل (۳) مشخصه ولتاژ بر حسب جریان مدل نمای، مدل هذلولی و مدل هذلولی- نمایی را نشان می دهد.



شکل(۲): مشخصه ولتاژ و جریان قوس و ولتاژ منبع بر حسب زمان



(الف)

جریان کوره قوس الکتریکی را بیان می نماید. از آنجا که در این مدل مشخصه ولتاژ- جریان قوس با استفاده از یک تابع نمایی تقریب زده شده است، به این مدل، مدل نمایی کامل می گویند.

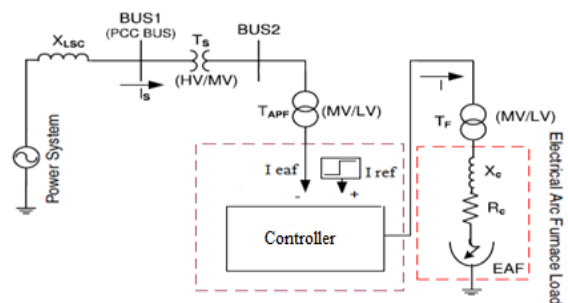
$$v = \text{sign}(i)[v_{at} (1 - \exp(-|i|/I_0))] \quad (۲)$$

$$v_{at} = A + B I$$

در این رابطه  $I_0$  یک ثابت جریانی برای جریانهای مثبت و منفی می باشد که این پارامتر، با توجه به خصوصیات هر کوره مقادیر متفاوتی را به خود می گیرد [۱۱]. رابطه (۳) مدل دیگری از مشخصه ولتاژ- جریان قوس الکتریکی را نشان می دهد که از دو مدل هذلولی گون و مدل نمایی کامل تشکیل شده است. همانطور که در این رابطه قابل مشاهده است، برای جریانهای مثبت و با توجه به خاصیت هیستریزس قوس، دو حالت در نظر گرفته شده است. در حالت جریانهای افزایشی از مدل هذلولی گون و در حالت جریانهای کاهش از مدل نمایی کامل استفاده می شود. به همین دلیل به این مدل، مدل هذلولی- نمایی نیز گفته می شود. مدل هذلولی- نمایی به مدل واقعی قوس الکتریکی بسیار نزدیک می باشد. همچنین می تواند حالات مختلف بار کوره را در سیستم قدرت ایجاد نماید. به همین دلیل از این مدل به عنوان مدل استاتیک قوس الکتریکی استفاده می گردد..

$$v = \begin{cases} v_{at}(1 - \exp(-|i|/I_0)) & \frac{di}{dt} \geq 0, i > 0 \\ v_{at} + \frac{C}{D+|i|} & \frac{di}{dt} < 0, i < 0 \end{cases} \quad (۳)$$

برای پیاده سازی مدل قوس پیشنهادی از یک شبکه قدرت استفاده می نماییم. شکل (۱) نشان دهنده این شبکه قدرت می باشد. مقادیر امیدانسه‌های شبکه قدرت، به همراه مقادیر پارامترهای آن، در جدول (۱) بیان شده است [۱۲].



شکل(۱): دیاگرام مدار کوره قوس الکتریکی و بلوک کنترل کننده آن در یک سیستم توان

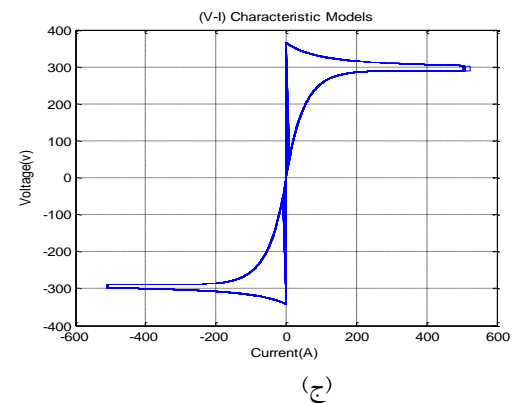
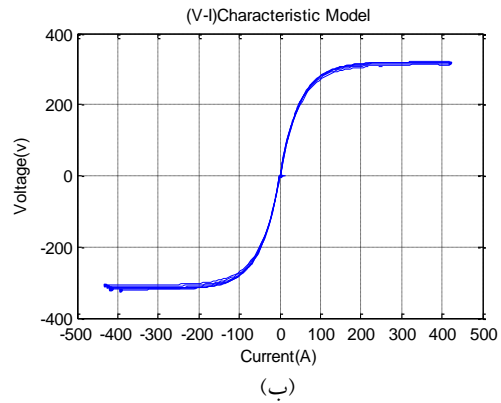
استفاده می نماییم. معادلات حاکم بر این سه سیستم در پیوست مقاله ارائه می گردد. پس از ارائه مدل حالت استاتیک قوس الکتریکی، به منظور مدل کردن خاصیت به ظاهر تصادفی قوس، ولتاژ خروجی کوره قوس الکتریکی در حالت استاتیک را با خروجی سیستمهای آشوب مدوله می نماییم. به این ترتیب مدل واقعی کوره قوس الکتریکی با استفاده از رابطه (۴) بیان می گردد.

$$v_a \cong v_{a(estic)}(1 + \Delta v) \quad (4)$$

که در این رابطه  $V_a$  ولتاژ کل خروجی قوس الکتریکی،  $V_{a(estic)}$  ولتاژ کوره قوس الکتریکی حاصل از مدل هذلولی - نمایی در حالت استاتیک و  $\Delta v$  خروجی هر کدام از سیستمهای آشوب می باشد. برای اینکه بتوان سیگنال  $\Delta v$  را با استفاده از سیستمهای آشوب به قوس الکتریکی اعمال نماییم، لازم است که از هر مدل آشوب یک خروجی را به عنوان  $\Delta v$  انتخاب کرده و با ولتاژ کوره مدوله نماییم. همچنین برای اینکه بتوان سیگنالهای سیستمهای آشوب را در یک بازه خاص آشوبناک برای اعمال به ولتاژ قوس الکتریکی قرار داد از یک پارامتر  $q$  استفاده می نماییم. به این گونه که سمت راست معادلات حالت را در پارامتر  $q$  ضرب می نماییم [۱۳].

### ۳-۲- طراحی بهینه پارامترهای مدل آشوب با استفاده از الگوریتم رقابت استعماری

در راستای مدلسازی قوس الکتریکی، در ابتدا لازم است که یک سیستم آشوبی را به مدل فوق برازش نماییم. در این راستا اهداف گوناگونی را می توان مد نظر قرار داد. ایده ما در این مقاله به این گونه است که، در ابتدا به طراحی پارامترهای مدلهای آشوب براساس حداقل ساختن خطای بین هارمونیکهای ولتاژ و جریان مدل طراحی شده و مدل واقعی (که با استفاده از داده های واقعی کوره قوس الکتریکی فولاد مبارکه اصفهان، بدست آمده) پرداخته و در مرحله بعد، پس از معرفی طرح پیشنهادی، به منظور بررسی عملکرد مطلوب مدل طراحی شده، به اندازه گیری فلیکر ولتاژ در مدل طراحی شده و مدل واقعی می پردازیم. بدین منظور روشهای بهینه سازی متفاوتی مطرح شده است که از دو روش بهینه سازی الگوریتم رقابت استعماری و الگوریتم ژنتیک استفاده می گردد. الگوریتم بهینه سازی رقابت استعماری بر اساس رویه استعمار کشورها بنا نهاده شده است. این الگوریتم، از چندین کشور در حالت اولیه شروع می شود، کشورها در حقیقت جوابهای ممکن مساله می باشند. کشورها، به دو دسته تقسیم می شوند: امپریالیست و مستعمره. کشورهای استعمارگر با اعمال سیاست جذب، در راستای محورهای مختلف بهینه سازی، کشورهای مستعمره را به سمت خود می شکنند. رقابت امپریالیستی، هسته ی اصلی این الگوریتم را تشکیل می دهد و باعث می شود که کشورها به سمت مینیمم مطلق تابع حرکت کنند [۲۱-۲۲].



شکل (۳): مشخصه ولتاژ برحسب جریان (الف) مدل نمایی، (ب) مدل هذلولی، (ج) مدل هذلولی - نمایی

### ۳- مدل سازی قوس الکتریکی بر اساس نظریه آشوب

به موازات مدل سازی رفتار حالت استاتیک قوس الکتریکی، ایده استفاده از مدلی به ظاهر تصادفی که در باطن طبیعتی قطعی داشته و قابل کنترل نیز می باشد، بیان می گردد. در پژوهشهای انجام گرفته تاکنون از مدل نویز سفید همراه با باند محدود به منظور مدلسازی حالت استاتیک قوس الکتریکی استفاده می گردید. در این بخش سعی می شود با استفاده از تئوری آشوب<sup>۱</sup> خصوصیت ظاهرا تصادفی قوس الکتریکی لحاظ گردد. بدین منظور به انتخاب مدلهای آشوب پرداخته می شود، و پس از آن، طراحی پارامترهای مدل آشوب با استفاده از الگوریتمهای بهینه سازی (الگوریتم رقابت استعماری و الگوریتم ژنتیک) ارائه می گردد.

#### ۱-۳- طراحی سیستمهای آشوبی

آشوب در واقع یک خاصیت دینامیکی است که در سیستم های غیر خطی (در صورت وجود شرایطی خاص) امکان بروز پیدا می کند. مدلهای گوناگونی از سیستمهای مختلف آشوب بیان شده است، که ما در این مقاله از سه سیستم متداول آشوب Lorenz, Rossler, Chua

<sup>۱</sup> Chaos Systems

۱-۲-۳ تابع هدف:

یک حد بیشینه و کمینه باشد. براین اساس لازم است که در ابتدا در هر سیستم، پارامترهایی را به عنوان پارامترهای ثابت با مقادیر ثابت در نظر گرفته، که خود تضمینی برای رفتار آشوبناک آن معادلات بوده و در ادامه به طراحی دیگر پارامترها پردازیم. یکی از دیاگرامهایی که برای شناسایی محدوده پارامترهای معادلات آشوب به کار می‌رود، دیاگرام دو شاخگی می‌باشد. برطبق این دیاگرام با ثابت انتخاب کردن دو پارامتر از سه پارامتر سیستمهای آشوب، اگر پارامتر سوم در بازه معینی قرار گیرد این معادلات از خود رفتار آشوبناک نشان می‌دهند [۱۵،۱۶،۱۷]. به این گونه که با ثابت در نظر گرفتن پارامترهای زیر در هر سه سیستم آشوب، و طراحی پارامترهای  $c, \beta, r, q$  می‌توان به سیستم مورد نظر دست یافت [۹]. محدوده این پارامترها به صورت رابطه (۶) بیان می‌گردد.

$$a_1 = b_1 = 0.1 \quad \sigma = 10 \quad b_3 = \frac{8}{3}$$

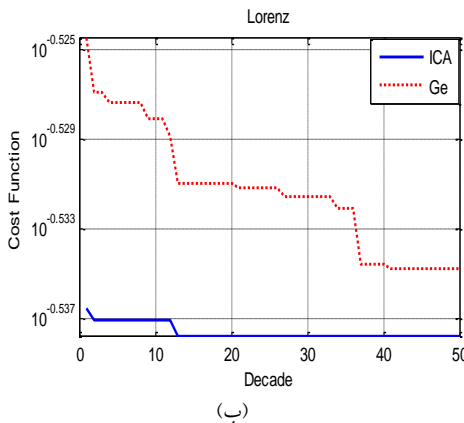
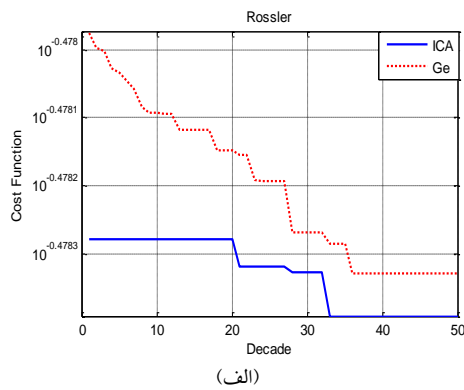
$$b_2 = \frac{2}{7} \quad a_2 = \frac{-1}{7} \quad \alpha = 10$$

$$c \in [9.4, 10.1] \cup [15.6, 20.5] \cup [30.4, 38.9]$$

$$\cup [39.6, 41.5] \cup [42, 43.4] \cup [43.8, 44.5] \quad (6)$$

$$\beta \in [13.9, 17.9]$$

$r \in [25, 91] \cup [94, 99] \cup [101, 122] \cup [167, 180] \cup [182, 198] \cup [200, 204]$   
با استفاده از فلوجارت نشان داده شده در مرجع [۲۱] که روند اجرای این الگوریتم را نشان می‌دهد، می‌توان به طراحی پارامترهای آشوب پرداخت. که نتایج این طراحی در جدول (۲) و شکل (۴) بیان گردیده است.



در راستای مدل سازی قوس الکتریکی، در ابتدا لازم است که یک سیستم آشوبی را به مدل فوق برآزش نماییم. در این راستا اهداف گوناگونی را می‌توان مد نظر قرار داد. ایده ما در این مقاله به این گونه است که، در ابتدا به طراحی پارامترهای مدلهای آشوب براساس حداقل ساختن خطای بین هارمونیک‌های ولتاژ و جریان مدل طراحی شده و مدل واقعی (که با استفاده از داده های واقعی کوره قوس الکتریکی فولاد مبارکه اصفهان، بدست آمده) پرداخته و در مرحله بعد، پس از معرفی طرح پیشنهادی، به منظور بررسی عملکرد مطلوب مدل طراحی شده، به اندازگیری فلیکر ولتاژ در مدل طراحی شده و مدل واقعی می پردازیم. بدین منظور روشهای بهینه سازی متفاوتی مطرح شده است که از دو روش بهینه سازی الگوریتم رقابت استعماری و الگوریتم ژنتیک استفاده می‌گردد. الگوریتم بهینه سازی رقابت استعماری بر اساس رویه استعمار کشورها بنا نهاده شده است. این الگوریتم، از چندین کشور در حالت اولیه شروع می‌شود، کشورها در حقیقت جوابهای ممکن مساله می‌باشند. کشورها، به دو دسته تقسیم می‌شوند: امپریالیست و مستعمره. کشورهای استعمارگر با اعمال سیاست جذب، در راستای محورهای مختلف بهینه سازی، کشورهای مستعمره را به سمت خود می‌شکنند. رقابت امپریالیستی، هسته ی اصلی این الگوریتم را تشکیل می‌دهد و باعث می‌شود که کشورها به سمت مینیمم مطلق تابع حرکت کنند [۲۱-۲۲]. همانگونه که بیان گردید در طراحی پارامترهای مدلهای آشوب با استفاده از الگوریتمهای بهینه سازی، تابع هدف را حداقل خطای بین هارمونیکهای ولتاژ و هارمونیکهای جریان مدل طراحی شده و مدل واقعی که با استفاده از داده های واقعی کوره قوس الکتریکی فولاد مبارکه اصفهان، بدست آمده تعریف می‌نماییم. بر این اساس تابع هدف بصورت رابطه (۵) بیان می‌گردد.

$$cost = \sum_{v=1}^{100} K_v F_v + \sum_{i=1}^{100} K_i F_i \quad (5)$$

$$= K_v \int |THD_v(EAF) - THD_v|^2 + K_i \int |THD_i(EAF) - THD_i|^2$$

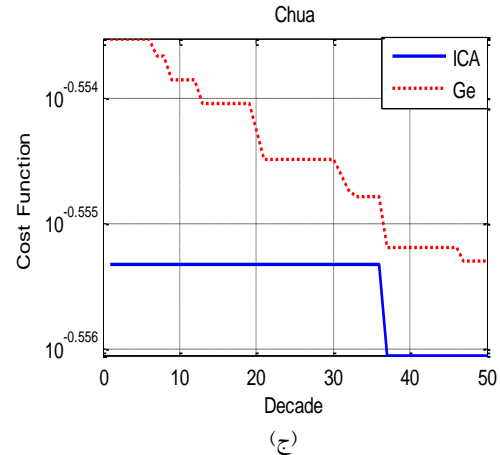
که در این رابطه،  $cost$  تابع هدف و یا تابع هزینه،  $F_v$  تابع هزینه تلفات هارمونیکهای ولتاژ،  $K_v$  پارامتر متغیر ولتاژ و  $F_i$  تابع هزینه تلفات هارمونیکهای جریان،  $K_i$  پارامتر متغیر جریان می‌باشد.  $THD_v$  ضریب اعوجاج هارمونیک کل ولتاژ،  $THD_v(EAF)$  ضریب اعوجاج هارمونیک کل ولتاژ مدل واقعی کوره قوس الکتریکی فولاد مبارکه اصفهان،  $THD_i$  ضریب اعوجاج هارمونیک کل جریان واقعی  $THD_i(EAF)$  ضریب اعوجاج هارمونیک کل جریان مدل واقعی کوره قوس الکتریکی می‌باشد.

۲-۲-۳ محدودیت ها:

علاوه بر کمینه کردن انحراف هارمونیک های ولتاژ و جریان به عنوان یک هدف، میزان انحراف تک تک پارامترهای سیستم های آشوب نیز نباید از حد مجاز تجاوز کند و حدود پارامترها باید در بین

جدول (۳): مقادیر Pst مربوط به مدل کوره قوس الکتریکی و مدل‌های

Pst	طراحی شده						
	۱	۲	۳	۴	۵	۶	۷
Pst (EAF)	0.9816	1.4571	1.7496	2.0959	2.1764	2.2181	2.2139
Rossler	.5985	2.190	2.4167	2.6377	2.6244	2.630	2.7651
Lorenz	1.0090	1.2082	1.3960	2.1946	2.2156	2.6281	6539
Chua	1.1399	1.099	1.3087	2.331	2.562	2.9186	3160



شکل (۴): نمودار بهترین تابع هزینه در سه مدل (الف) Rossler و (ب) Lorenz و (ج) Chua با استفاده از دو الگوریتم رقابت استعماری و الگوریتم ژنتیک

با استفاده از مقادیر جدول (۳) می توان به این نتیجه رسید که اولاً انتخاب این سه سیستم آشوب برای مدلسازی قوس الکتریکی صحیح بوده است، زیرا حداکثر میزان اختلاف مربوط به مدل Rossler بوده، که ماکزیموم آن در ثانیه دوم می باشد که برابر ۰.۷۳۳ است. که مقدار اندکی می باشد. همچنین بهترین مدل، مدل Lorenz می باشد. همچنین می توان این چنین بیان کرد که برازش مدل طراحی شده با تابع هدف حداقل خطای بین هارمونیک‌های ولتاژ و جریان با مدل واقعی، از دیدگاه فلیکر ولتاژ نیز دارای عملکرد مطلوبی می باشد.

جدول (۲): مقادیر و نتایج پارامترها و بهترین تابع هزینه، در سه مدل آشوبی

الگوریتم	Chua	Lorenz	Rossler
رقابت	$\beta=17.1963$	$r=78.485$	$c=34.7444$
	$q=15.9263$	$q=49.269$	$q=38.3045$
استعماری	$C.F=0.2779$	$C.F=0.290$	$C.F=0.332$
ژنتیک	$\beta=17.025$	$r=42.4913$	$c=42.4913$
	$q=10.0734$	$q=31.035$	$q=31.0355$
	$C.F=0.2784$	$C.F=0.292$	$C.F=0.332$

همانگونه که در شکل (۴) و جدول (۲) نشان داده شده است، برای طراحی بهتر پارامترهای سیستم‌های آشوب از دو الگوریتم رقابت استعماری و الگوریتم ژنتیک استفاده شده است. با توجه به شکل (۴) الگوریتم رقابت استعماری در زمان کمتری به میزان نهایی خود می رسد و با توجه به جدول (۲) تابع هزینه کمتری نیز دارد. بنابراین در طراحی پارامترها از الگوریتم رقابت استعماری استفاده می گردد.

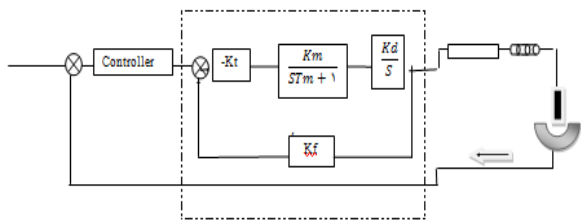
#### ۴- کنترل کوره قوس الکتریکی بر مبنای تئوری آشوب به منظور بهبود پارامترهای کیفیت توان

همانگونه که بیان گردید، به دلیل اینکه قوس الکتریکی تحت تاثیر حرکت الکترونها و جابجائی مواد مذاب قرار دارد، هنگامی که طول قوس هنگام ذوب تغییر می کند نوسانات شدید ولتاژی در مدار تغذیه مشاهده می گردد، و جریان قوس نیز مسیر نامنظمی خواهد داشت. جریانهای نامتعادل باعث اعوجاج و تغییرات زیادی در شبکه توان می شوند. برای کاهش این تغییرات که خود عاملی برای افزایش فلیکرها و هارمونیکها می باشد، لازم است که از یک سیستم کنترل به منظور کنترل موقعیت الکترونها و در نتیجه آن کنترل طول قوس و در نهایت کنترل جریان کوره قوس الکتریکی استفاده کرد. با توجه به آشوب گونه فرض کردن حرکت قوس الکتریکی، و مدلسازی آن بوسیله سیستم‌های آشوبی، به منظور طراحی کنترل کننده کوره قوس الکتریکی، این ایده دنبال می شود که برای سیستم آشوبی برازش شده به رفتار دینامیکی سیستم، یک کنترل کننده آشوبی طراحی شود که اعمال آن به سیستم منجر به کنترل طول قوس الکتریکی و در نتیجه موقعیت الکترونها گردد. به این ترتیب جریان کوره قوس الکتریکی که عامل حرکت الکترونها است، کنترل می گردد. در این راستا دو روش کنترل آشوبی در بخش بعد مورد استفاده قرار می گیرد. یکی از این روشها موسوم به روش کنترل فیدبک تاخیر از روشهای شناخته شده در کنترل آشوب می

#### ۳-۳- ارزیابی و تعیین اعتبار مدل‌های آشوبی ارائه شده

##### از دیدگاه اندازه گیری فلیکر

همانگونه که در مراحل قبل بیان گردید، به برازش مدلی با مدل واقعی کوره قوس الکتریکی پرداختیم، که شاخص برازش میزان هارمونیکهای ولتاژ و هارمونیکهای جریان بوده است. در ادامه به منظور بررسی عملکرد طرح پیشنهادی، به اندازه گیری میزان فلیکر ولتاژ، پرداخته و نتایج را با نتایج بدست آمده از مدل واقعی، مقایسه می نماییم. جدول (۳) مقادیر فلیکر ولتاژ لحظه ای (Pst) را در بین مدل واقعی کوره قوس الکتریکی فولاد مبارکه اصفهان و مدل‌های طراحی شده با استفاده از سیستم‌های آشوب را نشان می دهد.



شکل (۵): دیاگرام بلوکی سیستم کنترل الکترودهای کوره قوس الکتریکی اگر بلوک شکل (۵) را به صورت شکل (۶) در نظر بگیریم، می توان  $G(s)$  را به صورت رابطه (۸) در نظر گرفت.

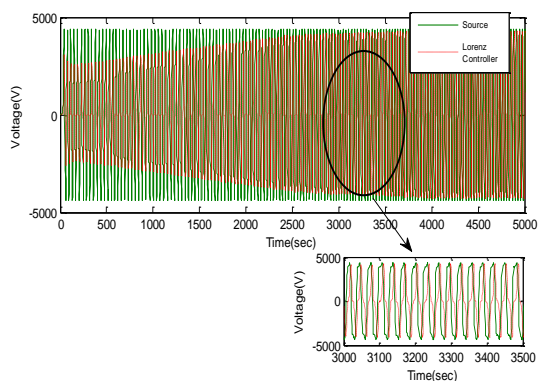


شکل (۶): دیاگرام بلوکی سیستم ساده شده کنترل الکترودهای کوره قوس الکتریکی

$$G(s) = \frac{L(s)}{U(s)} = \frac{-K_T K_m K_D}{T_m s^2 + (1 + K_T K_m K_f) s} \quad (۸)$$

در این رابطه  $K_t$  ضریب عملکرد در ترستور و  $T_m$  ثابت زمان و  $K_m$  ضریب عملکرد در موتور و  $K_d$  ضریب تناسب در سیستم مکانیکی و  $K_f$  ضریب فید بک سرعت در نظر گرفته می شود و با قراردادن مقادیر پارامترها به صورت رابطه (۹) خواهد شد:

در ادامه با در نظر گرفتن  $G(s)$  به صورت رابطه (۹) به اعمال کنترل کننده های طراحی شده به مدل کامل کوره قوس الکتریکی و مدل در نظر گرفته شده برای الکترودهای کوره قوس الکتریکی پرداخته، و به منظور بررسی عملکرد کنترل کننده طراحی شده، به اندازه گیری فلیکر ولتاژ لحظه ای (Pst) و هارمونیکهای ولتاژ پرداخته و نتایج را قبل و بعد از اعمال کنترل کننده بدست آورده و با هم مقایسه می نمایم



شکل (۷): منحنی جریان رفرنس جریان کوره قوس الکتریکی کنترل شده با کنترل تطبیقی همسان Lorenz

شکل (۷) منحنی جریان رفرنس، و جریان کوره قوس الکتریکی کنترل شده با کنترل تطبیقی را نشان می دهد که بعد از طی مدتی نوسانات جریان کاملاً منظم شده است.

باشد [۲۸، ۲۹]. روش دیگر نیز روشی است که توسط نویسنده نخست این مقاله برای کنترل تطبیقی سیستم آشوبی همسان لرزن- لو- چن در [۳۱]. ارائه گردیده و جهت مشاهده جزئیات می توان بدان مراجعه نمود. بنابراین با استفاده از این دو روش کنترل آشوبی به کنترل الکترودهای کوره قوس الکتریکی و کنترل طول قوس و در نهایت کنترل جریان شبکه توان پرداخته می شود. به این ترتیب، با کنترل جریان کوره قوس الکتریکی اثرات وجود هارمونیکها و فلیکر ولتاژهای اعمالی به شبکه توان کاهش می یابد.

#### ۴-۱- اعمال کنترل کننده به کوره قوس الکتریکی

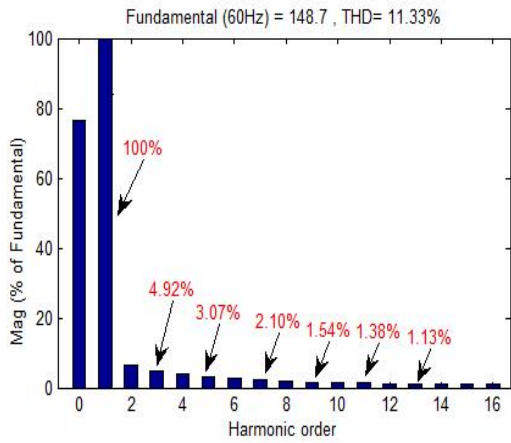
بعد از طراحی کنترل کننده ها، با توجه به این که هدف نهایی اعمال کنترل کننده به کوره قوس الکتریکی، کنترل جریان قوس الکتریکی است، و جریان کوره قوس الکتریکی یک رابطه غیر خطی با طول قوس الکتریکی دارد، برای مدلسازی قوس الکتریکی از مدل کامل آشوبی طراحی شده استفاده می گردد. سپس به منظور کنترل جریان خروجی کوره قوس الکتریکی رابطه غیر خطی بین طول قوس الکتریکی و جریان کوره قوس الکتریکی به صورت رابطه تکه ایی خطی طبق رابطه (7) در نظر گرفته می شود: [۲۴ و ۳۰].

$$I = f(I) \approx I_{m0} - k_m L \quad (۷)$$

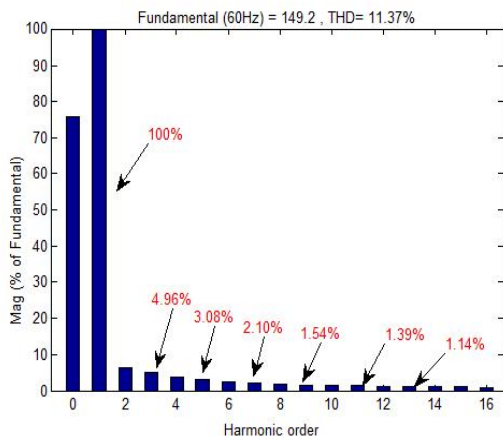
$$L_m < L < L_{m+1} \quad I_{m0} > 0, K_m > 0$$

در این رابطه  $I$  جریان قوس الکتریکی،  $I_{m0}$  ماکزیموم جریان قوس الکتریکی که در آستانه شروع ذوب اتفاق می افتد و برابر  $4KA$  در نظر گرفته می شود.  $L$  طول قوس،  $K_m$  پارامتر ثابت طول میباشد. در این قسمت لازم است اشاره مختصری به الکترودها و ملحقات آن گردد. ساختار الکترودها را بوسیله سه قسمت ترستور، موتور، چرخ دنده ها مدل می نمایم. همچنین از یک فیدبک سرعت برای اطمینان از پایداری سیستم طراحی شده، استفاده می نمایم [۲۵، ۲۶، ۲۷] برای کنترل کوره قوس الکتریکی، در ابتدا از یک ترانسفورمر جریان (CT) برای اندازه گیری جریان قوس استفاده می گردد. سپس این جریان را با جریان منبع<sup>۱</sup> مقایسه کرده و به یک کنترل کننده اعمال می نمایم. در نتیجه ولتاژ ترستور که باعث حرکت موتورها و چرخ دنده ها می گردد، کنترل می شود. شکل (۵) و (۶) دیاگرام بلوکی سیستم کنترل الکترودهای کوره قوس الکتریکی را نشان می دهد.

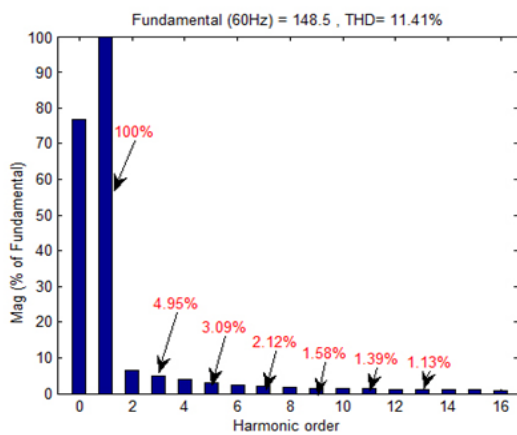
<sup>۱</sup>Set point



(ج)



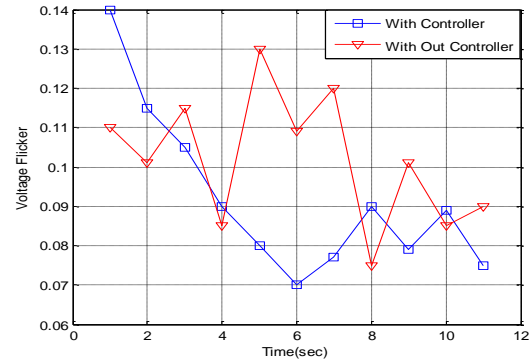
(د)



(ه)

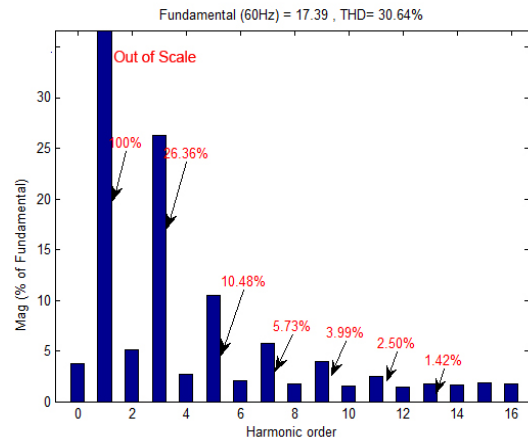
شکل (۹): هارمونیکهای جریان همراه با اعمال کنترل کننده و بدون اعمال کنترل کننده (الف) بدون اعمال کنترل کننده (ب) همراه با اعمال کنترل کننده تطبیقی همسان Lorenz، (ج) فیدبک تاخیر Lorenz، (د) فیدبک تاخیر chua، (ه) فیدبک تاخیر Rossler.

شکل (۸) منحنی فلیکرولتاژ، بدون اعمال کنترل کننده، همراه با اعمال کنترل کننده تطبیقی را نشان می دهد. در شکل (۹) هارمونیکهای

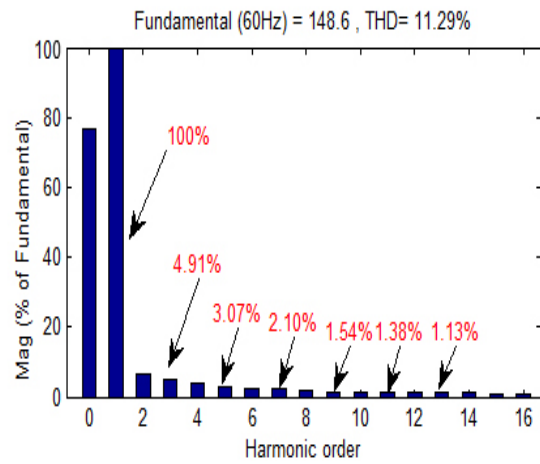


شکل (۸): منحنی فلیکرولتاژ، بدون اعمال کنترل کننده، و همراه با اعمال

کنترل کننده تطبیقی همسان Lorenz



(الف)



(ب)

- for steel industrial power systems", in: IEEE Porto Power Tech Conference, Porto,
- [5] G.C. Montanari, M. Logginil, A. Cavallinil, L. Pittil, D. Zaninelliz, "Arc-furnace model for the study of flicker compensation in electrical networks", IEEE Transactions on Power Delivery 9 (October (4)) (1994).
- [6] S. Varadan, E.B. Makram, A.A. Girgis, "A new time domain voltage source model for an arc furnace using EMTP", IEEE Transactions on Power Delivery 11 (July (3)) (1996).
- [7] E. O'Neill-Carrillo, G.T. Heydt, E.J. Kostelich, S.S. Venkata, A. Sundaram, "Nonlinear deterministic modeling of highly varying loads", IEEE Transactions on Power Delivery 14 (April (2)) 1999).
- [8] Anxo, P.O. Alonso, M. Perez, "An Improved Time Domain Arc Furnace Model for Harmonic Analysis", IEEE Trans., on Power Del., Vol.9, No.1, pp. 367-373, 2004.
- [9] R. Grunbaum, "SVC light: a powerful means for dynamic voltage and power quality control in industry and distribution", Power Electronics and Variable Speed Drives, 18-19 September 2000, Conference Publication No. 475 0 IEE 2000.
- [10] J. Doleial, A.G. Castillo, V. Valouch, "Topologies and control of active filters for flicker compensation", in: ISIE'2000, Cholula, Puebla, Mexico, 2000.
- [11] R. Hooshmand, M. Banejad, M. Torabian, "A New Time Domain Model for Electric Arc Furnace", Electrical Engineering, Journal, Vol. 59, No. 4, pp. 195-202, 2008.
- [12] M. a. Golkar, M. Tavakoli, S. Meschi, "A Novel Method of Electrical Arc Furnace modeling for Flicker Study", IEEE Trans. Power Del., 2007.
- [13] G. Carpinelli, F. Iacovone, A. Russo, P. Varilone, "Chaos-based modeling of DC arc furnaces for power quality issues", IEEE Transactions on Power Delivery 19 (October (4)) (2004).
- [14] W. Ting, Z. S-Yao, "A new frequency domain for the harmonic analysis ", IEEE Conference, APSCOM-97, Hong Kong, 552-555, 1997.
- [15] T. Alligood, D. Sauer, A. Yorke, Chaos: An introduction to Dynamical System, Thomas Springer, New York, Springer - verlag, 1996
- [16] D. Dutta, S. Chakraborty, "Bifurcation Diagrams in relation to Synchronization in Chaotic systems", Pramana, Journal, Vol. 74, No. 6, pp.919-929, June 2010
- [17] F. C. Hoppensteadt, Analysis and Simulation of Chaotic Systems, Second Edition. E. Marsden, L. Sirovich, Springer, Vol.94, 2000
- [18] E. Atashpaz, C. Lucas, "Imperialist Competitive Algorithm: An Algorithm for Optimization Inspired by Imperialistic Competition" IEEE Trans, 2007.
- [19] Helena Bahrami, Karim Faez, Marjan Abdechiri, "Imperialist Competitive Algorithm Using Chaos

جریان همراه با اعمال هر دو کنترل کننده و بدون اعمال کنترل کننده نشان داده شده است. همانطور که ملاحظه می گردد، THD بدون کنترل کننده ۳۰.۶۴٪ می باشد. در هنگام اعمال کنترل کننده فیدبک تاخیر زمان کمترین THD مربوط به مدل Lorenz است که برابر ۱۱.۳۳٪ می باشد. اما بهترین کنترل کننده، کنترل سیستم تطبیقی همسان Lorenz با THD برابر ۱۱.۲۹٪ است هرچند که نتایج حاصل از اعمال هر دو کنترل کننده در کاهش هارمونیکهای جریان قابل توجه است. لازم به ذکر است که در انجام شبیه سازیها، از داده های کوره قوس الکتریکی فولاد مبارکه اصفهان در طراحی و مدلسازی قوس الکتریکی و طراحی کنترل کننده، استفاده شده است [۳۲] و نتایج طراحی با مدل های موجود مقایسه شده است.

## ۵- نتیجه گیری

در این مقاله در ابتدا به طراحی حالت استاتیک قوس الکتریکی با استفاده از مدل هذلولی-نمایی پرداخته، و با مدوله کردن ولتاژ قوس الکتریکی با ولتاژ خروجی سیستم آشوبی به همراه انتخاب بهینه پارامترهای آن با استفاده از الگوریتم رقابت استعماری و الگوریتم ژنتیک به مدلسازی کوره قوس الکتریکی پرداخته شد. معیار انتخاب بهینه پارامترها بر اساس میزان تطابق شاخصهای کیفیت توان اندازه گیری شده از داده های واقعی در مقایسه با مدل ارائه شده بود. با توجه به لزوم اعمال کنترل کننده، به منظور کاهش اثرات هارمونیکها و فلیکر ولتاژهای ناشی از اعمال کوره قوس الکتریکی به روی شبکه های توزیع در ادامه ایده کنترل الکترودهای کوره قوس الکتریکی بوسیله کنترل کننده های آشوبی ارائه گردید. با اعمال دو کنترل کننده آشوبی، پارامترهای کیفیت توان قبل و بعد از اعمال کنترل کننده ها بررسی گردیدند که کاهش چشمگیری در میزان هارمونیکها و فلیکر ولتاژها مشاهده شد. بررسی نتایج مبین حصول بهترین نتایج با استفاده از مدل آشوبی بر اساس سیستم Lorenz همراه با کنترل کننده تطبیقی همسان Lorenz است که علت این موضوع از موضوعات تحقیقاتی آتی نویسندگان است.

## مراجع

- [1] O. Ozgun, A. Abur, "Flicker study using a novel arc furnace model", IEEE Transactions on Power Delivery 17 (4), pp. 1158-1163, (2002).
- [2] E. Acha, A. Semlyen, N. Rajaković, "A harmonic domain computational package for nonlinear problems and its application to electric arcs", IEEE Transactions on Power Delivery 5 (1990).
- [3] T. L. Ochs, A. D. Hartman, Chaotic Responses in Electric Arc Furnaces. Journal Applied Physics, vol. 76, no. 4, pp. 2059-2065, 1994.
- [4] C.S. Chen, H.J. Chung, C.T. Hsu, S.M. Tseng, "Stochastic voltage flicker analysis and its mitigation

[۳۲] کیومرثی، آ.، هوشمند، ر.، عطایی، م.، "مدلسازی احتمالی بار کوره قوس الکتریکی و روشهای کاهش ولتاژ ناشی از آن"، گزارش طرح پژوهشی، مجتمع فولاد مبارکه اصفهان، ۱۳۸۷.

### پیوست ۱:

معادلات حاکم بر سه سیستم آشوب به صورت روابط زیر می باشد

Rossler:

$$\dot{x} = -y - x$$

$$\dot{y} = x + a_1 y$$

$$\dot{z} = b_1 + (x - c)z$$

Chua:

$$\dot{x} = \begin{cases} \sigma(y - b_2 x - (b_2 - a_2)) & \text{if } x < -1 \\ \sigma(y - a_2 x) & \text{if } -1 < x < 1 \\ \sigma(y - b_2 x + (b_2 - a_2)) & \text{if } x > 1 \end{cases}$$

$$\dot{y} = x + z - y$$

$$\dot{z} = -\beta y$$

Lorenz:

$$\dot{x} = \alpha(y - x)$$

$$\dot{y} = rx - xz - y$$

$$\dot{z} = xy - b_3 z$$

در این روابط  $\alpha, r, b_3$  پارامترهای حقیقی مثبت مدل Lorenz و  $a_1, c, a_2, \beta, \sigma$  پارامترهای حقیقی مثبت مدل Rossler و  $b_2, a_2, \beta, \sigma$  پارامترهای حقیقی مثبت مدل Chua، همچنین  $x, y, z$  متغیرهای معادلات حالت می باشند.

Theory for Optimization (CICA)", UKSim-AMSS 12th International Conference on Computer Modeling and Simulation, 2010.

- [20] R. Rajabioun, F. Hashemzadeh, E. Atashpaz-Gargari, B. Mesgari, F. Rajaei Salmasi, "Identification of a MIMO evaporator and its decentralized PID controller tuning using Colonial Competitive Algorithm", In the proceeding of IFAC World Congress, Seoul, Korea, 2008.
- [21] E. Atashpaz-Gargari, F. Hashemzadeh, R. Rajabioun, C. Lucas, "Colonial competitive algorithm: A novel approach for PID controller design in MIMO distillation column process", International Journal of Intelligent Computing and Cybernetics. 2008.
- [22] H. Duan, C. Xu, S. Liu, and S. Shao, "Template matching using chaotic imperialist competitive algorithm", Pattern Recognition Letters, 2009
- [23] F. J. Sharifi, G. Jorjani, "An Adaptive System for Modeling and Simulation of Electrical Arc Furnaces", Control Engineering Practice 17, Journal, pp. 1202-1219, 2009.
- [24] L. Xiaohe, C. Duwu, L. Jie, W. Lijun, "Simulation on Adaptive Control of Electrode Regulator Systems of Arc Furnace", Proceedings of the International Conference on Ele, Vol.5, No. 1, 2001.
- [25] L. Xiaoyan, L. Xiuhe, D. Wang, "Arc Furnace Electrode Control System Design", International Conference on Computer, Mechatronics, Control And Electronic Engineering (CMCE), 2010.
- [26] A. parsapoor, M. Ataei, A. Kiyoumarsi, "Adaptive Control of the Electric Arc Furnace Electrodes Using Lyapunov Design", International Conference on Control, Automation and Systems, 17-20, October 2007.
- [27] G. C. Montanari, M. Loggini, A. Cavallini, L. pitti, D. Zaninelli, "Arc-Furnaces Model for the Study of Flicker Compensation in Electrical Networks", IEEE Trans. Power Del., Vol.9, No.4, October 1994.
- [28] X. Guan, C. Chen, H. Peng, Z. Fan, "Time -Delayed feedback Control of Time- Delay Chaotic Systems", Bifurcation and chaos, Journal, Vol. 13, No.1, pp.193-205, 2003.
- [29] M. Sun, L. Tian, J. Xu, "Time- delay Feedback Control of the Energy Resource Chaotic System", Nonlinear Science, Journal, Vol. 1, No. 3, pp. 172-177, March 2006.
- [30] F. Abdous, A. Ranjbar, S. H. Hosein Nia, A. Sheikhol Eslami, "Chaos Control of Voltage Fluctuation in DC Arc Furnaces Using Time - Delay Feedback Control", International Conference on Electrical Engineering, 25-26, .March 2008.

[۳۱] حقیقت دار، ف.، عطایی م. "کنترل تطبیقی سیستم آشوبی همسان لرنز- لو - چن"، کنترل، جلد ۲، شماره ۱، صفحه ۵۶-۶۴، ۱۳۸۷.





## طراحی بهینه‌ی چندهدفه‌ی ربات کابلی ۶-درجه آزادی با استفاده از معیارهای سینماتیکی

سیداحمد خلیل پور سیدی<sup>۱</sup>، حمیدرضا تقی‌راد<sup>۱</sup>، مهدی طالع ماسوله<sup>۲</sup>، مهدی علیاری شوره‌دلی<sup>۱</sup>  
<sup>۱</sup> گروه رباتیک ارس، قطب کنترل صنعتی، دانشکده مهندسی برق و کامپیوتر، دانشگاه صنعتی خواجه نصیرالدین طوسی

khalilpour@ee.kntu.ac.ir, taghirad@kntu.ac.ir, aliyari@eetd.kntu.ac.ir

<sup>۲</sup> آزمایشگاه تعامل انسان و ربات، دانشکده علوم و فنون نوین، دانشگاه تهران m.t.masouleh@ut.ac.ir

(تاریخ دریافت مقاله ۱۳۹۲/۳/۱۵، تاریخ پذیرش مقاله ۱۳۹۲/۵/۱۶)

**چکیده:** در این مقاله با استفاده از معیارهای متنوع سینماتیکی و بهره‌گیری از الگوریتم‌های بهینه‌سازی تکاملی، به طراحی بهینه چند هدفه ربات‌های کابلی با ۶ درجه آزادی پرداخته شده است. در همین راستا، تعیین فضای کاری ربات‌های کابلی به عنوان یکی از مهمترین چالش‌های طراحی ربات‌های کابلی فضایی در این مقاله مورد بحث و بررسی قرار گرفته و از میان تعریف‌های متعدد، فضای کاری کنترل پذیر به عنوان یکی از جامع‌ترین تعاریف فضای کاری ربات‌های کابلی انتخاب شده است. در این فضای کاری به ازای همه نیروها و گشتاورهای وارده بر مجری نهایی، کابل‌ها در حالت کششی باقی می‌مانند. به منظور سنجش مهارت ربات، از معیار عدد وضعیت عمومی به عنوان شاخصی مؤثر در بررسی میزان دوری از تکینگی استفاده شده است. همچنین بدترین حساسیت سینماتیکی به عنوان دقت قابل ارائه به کاربر در این مقاله معرفی شد. با بهره‌گیری از روش‌های بهینه‌سازی چند هدفه‌ای مانند الگوریتم ژنتیک، جبهه بهینگی پرتو به گونه‌ای برای پارامترهای طراحی ربات کابلی بدست می‌آید که تمامی توابع هدف طراحی ربات، به طور همزمان بهینه شوند.

**کلمات کلیدی:** ربات کابلی، طراحی بهینه چند هدفه، حساسیت سینماتیکی، عدد وضعیت، فضای کاری کنترل پذیر.

### Multi-Objective Optimization of 6-Degree-of-Freedom Cable-Driven Parallel Robot Using Kinematic Indices

Seyed Ahmad Khalilpour, Hamidreza Taghirad, Mahdi Tale Masouleh,  
Mahdi Aliyari Shoorehdeli

**Abstract:** This paper investigates the multi objective optimization of 6-degree of freedom cable-driven parallel robots by using the evolutionary optimization algorithm. In this regard, the determination of cable-driven parallel robots workspace is reviewed as the most important challenge in the design of space cable-driven parallel robots and among various definitions, controllable workspace is selected as a general definition of the cable-driven parallel robots workspace, in which the robot cables remain in tension for any applied forces and wrenches to the end-effector. In order to evaluate the dexterity of the under study robot, the condition number index is used as an effective criterion to measure the distance from singularity. Moreover, the worst kinematic sensitivity is introduced as a presentable accuracy index. Furthermore, by taking the advantages of multi-objective optimization methods such as the non-sorting genetic algorithm, the optimal pareto front for the design parameters of the robot is obtained such that simultaneously, all of the robot design's objectives are satisfied.

**Keywords:** Planar cable robot, Multi-objective optimization, Kinematic sensitivity, Condition number, Controllable workspace.

#### ۱- مقدمه

ممتازی نظیر سرعت و شتاب بالا، وسعت فضای کاری، هزینه کم ساخت، قابلیت حمل بار زیاد نسبت به وزن کم ربات و ...، کاربردهای فراوانی در حل مسائل گوناگون پیدا کرده اند و هر روز ایده‌های جدیدی از به کار گیری آنها در صنایع گوناگون منتشر می‌شود. طیف وسیع این کاربردها که از پاک کردن نمای شیشه‌ای برج‌های بزرگ [۲] تا عمل جراحی [۳] و یا باز

ربات‌های موازی کابلی که با نام سکوه‌های استوارت با پایه تاندونی<sup>۱</sup> نیز معروف هستند [۱]، از مجری نهایی<sup>۲</sup> تشکیل شده‌اند که توسط تعدادی کابل به چارچوب ثابت متصل می‌باشند. این ربات‌ها به علت دارا بودن ویژگی‌های

<sup>۲</sup> End-effector

<sup>۱</sup> Tendon-based Stewart Platforms

بخشی از طراحی یک ربات ایده آل به شمار می‌آید [۱۵]. تعیین نقاط تکین و کاهش آنها یکی از چالش‌های مهم طراحی ربات‌ها می‌باشد. در طراحی ربات‌های موازی، معمولاً از شاخص‌های سینماتیکی برای کاهش تکینگی‌ها و افزایش کارایی این مکانیزم‌ها استفاده می‌شود. معروف‌ترین این شاخص‌ها، معیار توانایی یوشیکاوا [۱۶] و معیار مهارت [۱۷] می‌باشند که کاربرد آنها دارای بعضی محدودیت‌ها به ویژه در ربات‌های موازی کابلی است. برای حل این مشکلات، اخیراً دو معیار مختلف که حساسیت سینماتیکی انتقالی و دورانی نام<sup>۲</sup> دارند، پیشنهاد شده است. این دو شاخص کران بالای خطای دورانی و انتقالی مکانیزم می‌باشند که از خطای با نرم واحد در فضای مفصلی منشاء گرفته اند [۱۸].

در زمینه بهینه سازی و طراحی ربات‌های کابلی می‌توان به مراجع [۱۶، ۱۰، ۱۹-۲۳] اشاره کرد. در این مراجع از شاخص‌هایی نظیر مساحت فضای کاری استاتیکی، عدد وضعیت عمومی<sup>۳</sup>، فضای کاری کنترل‌پذیر و جلوگیری از برخورد کابلها استفاده شده است تا ربات کابلی متناسب با نیاز طراحی گردد. در حالت کلی، این مراجع برای داشتن تخمینی از وضعیت فضای کاری، از شبکه بندی<sup>۴</sup> فضای کاری استفاده کرده و در هر نقطه از شبکه ایجاد شده، معیار محلی مورد نظر را بررسی می‌کند.

طراحی و بهینه سازی چندهدفه رباتها از جمله موضوعات مورد علاقه محققان به شمار می‌آید که در این حوزه می‌توان به مراجع [۲۰، ۲۱] اشاره کرد. در این مراجع، با استفاده از روشها و الگوریتم‌های تکاملی به بهینه سازی چندهدفه رباتهای موازی پرداخته شده است. اما مرجع [۲۲] با تکیه بر تحلیل بازه ای و با رویکرد در نظر گرفتن چندین شاخص، اقدام به بهینه سازی چندهدفه رباتها کرده است و به عنوان نمونه مکانیزمی موازی با ۶-درجه آزادی را طراحی و بهینه سازی نموده است.

با وجود ارائه پاسخی با صحت تضمین شده، حجم محاسبات بالا و سختی حل مسأله در فضای تحلیل بازه ای، از کارآمدی این رویکرد می‌کاهد. به طور خاص، بهینه‌سازی چند هدفه ربات‌های کابلی در [۲۳، ۱۰] مورد بررسی قرار گرفته است. در مرجع [۱۰] طراحی چند هدفه بر اساس روشی مبتنی بر بازرسی دیداری<sup>۵</sup> صورت گرفته است و در نهایت، یک طرح بهینه به عنوان خروجی ارائه شده است. مبنای این روش به کارگیری همزمان معیارهای جلوگیری از برخورد کابل، حجم فضای کاری و مهارت ربات در قالب یک مسأله بهینه‌سازی چند هدفه است. این مرجع به جای محاسبه جبهه پرتو<sup>۶</sup>، از یک تابع هزینه کلی استفاده کرده است. اما مشکلاتی نظیر وزن دهی و ارزش گذاری معیارهای مختلف نسبت به هم، از کارایی این روش می‌کاهد. لذا

توانبخشی معلولان [۴] را شامل می‌شود، علاقه پژوهشگران را به کار در زمینه ربات‌های کابلی بر می‌انگیزد. زمینه‌های مختلفی چون ابزار واسط لامسه‌ای [۵]، رباتهای نجات بخش [۶]، بازتوان بخش [۷]، آموزش‌های ورزشی [۸] و نقل و انتقال اجسام سنگین [۹] تنها بخشی از کاربردهای ربات‌های کابلی را به خود اختصاص داده‌اند.

با توجه به اینکه کابل‌ها در ربات‌های موازی کابلی فقط قادر به اعمال نیروی کششی هستند، روش کار با این گونه رباتها نسبت به ربات‌های موازی معمول متفاوت می‌کند. در واقع طراحی این ربات‌ها به گونه‌ای باید صورت گیرد که سیستم کنترل آن در هر لحظه، سیگنالی برای محرک‌ها ارائه دهد که نتیجه آن، اعمال نیروی کششی در کلیه کابل‌ها باشد. در واقع طراحی پیکربندی مکانیکی و سپس سیستم کنترل ربات باید به گونه‌ای باشد که ربات برای رسیدن به موقعیت و جهت مورد نیاز خود، فقط از نیروهای کششی در محرک‌ها استفاده کند. به همین سبب افزونگی در ربات‌های کابلی موازی یک امر اجتناب ناپذیر به شمار می‌آید. به عبارت دیگر، برای آن که ربات کابلی در یک موقعیت غیر تکین دارای  $n$  درجه آزادی باشد، حداقل به  $n + 1$  کابل نیاز است. از جمله دیگر چالش‌ها می‌توان به برخورد کابلها با هم و کابل‌ها با بدنه و اشیاء پیرامون ربات اشاره کرد که مشکلاتی را بر سر طراحی این ربات‌ها قرار داده است [۱۰]. مهارت کافی ربات و قدرت مانور در جهات مختلف، از جمله دیگر مواردی است که در طراحی همه مکانیزم‌ها مد نظر قرار می‌گیرد. برآورده کردن تمام موارد فوق نیازمند به کارگیری روش‌های بهینه‌سازی چند هدفه برای طراحی ربات است. چرا که بهینه‌سازی به منظور دستیابی به تنها یک هدف ممکن است به عدم دستیابی به اهداف دیگر منجر شود.

در ادبیات رباتهای موازی کابلی افزونه، فضای کاری از دیدگاه‌های مختلف مورد بررسی قرار گرفته و در مقالات علمی، انواع گوناگون فضای کاری برای این ربات‌ها تعریف شده است. به طور خلاصه فضای کاری ربات‌های کابلی به چهار دسته کلی تقسیم بندی می‌شوند: (۱) فضای کاری چرخش امکان پذیر [۱۱] (۲) فضای کاری دینامیکی [۱۲] (۳) فضای کاری استاتیکی [۱۳] و (۴) فضای کاری کنترل‌پذیر<sup>۱</sup> [۱۴]. در این مقاله فضای کاری کنترل‌پذیر ربات‌های کابلی مورد بررسی قرار می‌گیرد. فضای کاری کنترل‌پذیر شامل همه موقعیت‌هایی از مجری نهایی است که در آنها به ازای همه نیروها و گشتاورهای وارده بر مجری نهایی، کابل‌های ربات در حالت کششی قرار گیرند [۱۴]. بنابراین وسعت این فضای کاری می‌تواند به عنوان یکی از معیارهای طراحی بهینه چند هدفه مورد بررسی قرار گیرد.

از جمله قیودی که در هنگام طراحی هر ربات باید در نظر گرفت، دقت و مهارت آن ربات در انجام وظایف محوله است. تعیین فضای کاری که دقت ربات، حداقل‌های تعیین شده را رعایت می‌کند و سعی در افزایش این فضا،

<sup>۴</sup> Mesh

<sup>۵</sup> Visual Inspection

<sup>۶</sup> Pareto Front

<sup>۱</sup> Controllable WorkSpace ( CWS)

<sup>۲</sup> Point-displacement and Rotational Kinematic Sensitivity

<sup>۳</sup> Global Condition Number

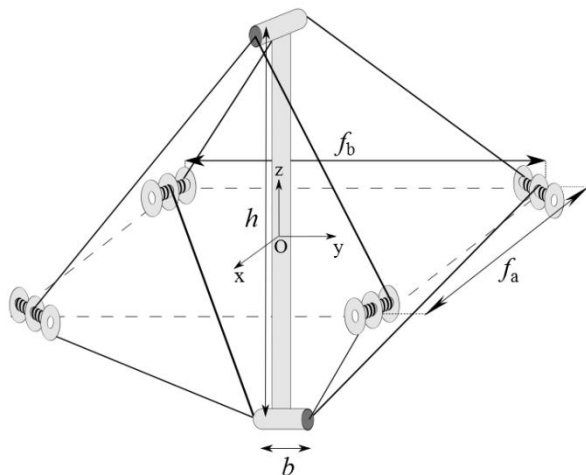
در [۱۰] برای برطرف کردن این مشکل، وزن دهی هر تابع هدف را با توجه به نمودارهای دیداری<sup>۱</sup> مربوطه پیشنهاد می‌کند. همچنین در مرجع [۲۳]، با استفاده از معیارهای کنترل‌پذیری، عدد وضعیت عمومی و حساسیت سینماتیکی، به طراحی بهینه چندهدفه ربات کابلی صفحه‌ای پرداخته شده است و از الگوریتم‌های بهینه‌سازی هوشمندی نظیر NSGA II<sup>۲</sup> و AWPSO<sup>۳</sup> استفاده شده تا جبهه پرتو بهینه پارامترهای طراحی ربات کابلی صفحه‌ای بدست آید. در این مقاله اشاره شده است که مقایسه عملکرد الگوریتم‌های بهینه‌سازی چند هدفه به کار رفته نشان می‌دهد که الگوریتم NSGA II نسبت به الگوریتم AWPSO کارایی بهتری داشته و جبهه پرتوی با پراکندگی مناسبتری را فراهم آورده است.

هدف این مقاله، بررسی معیارهای سینماتیکی مناسب برای طراحی ربات‌های کابلی فضایی و سپس، بهینه‌سازی چند هدفه بر اساس شاخص‌های مطرح شده می‌باشد. بر این اساس، معیارها به گونه‌ای انتخاب می‌شوند که بتوانند وسعت فضای کاری و دقت و مهارت ربات را تنظیم نمایند. علاوه بر این، قابلیت ساخت و کارایی مکانیزم به عنوان معیارهای مهم دیگر در طراحی ربات، مورد توجه قرار می‌گیرند. استفاده از الگوریتم‌های هوشمند ارائه شده در این مقاله، این فرصت را فراهم می‌آوردند تا دسته جوابی به عنوان بهترین پاسخ (جبهه پرتو) به کاربر نهایی یا سازنده ارائه گردد تا در نهایت با توجه به اهمیت معیارهای طراحی در شرایط گوناگون و نیاز کاربر، یکی از این نقاط بهینه در جبهه پرتو به منظور ساخت انتخاب گردد.

در این بخش، ربات کابلی با طرح عصایی به عنوان گونه‌ای متداول از ربات‌های فضایی معرفی می‌گردد. شکل خاص مجری نهایی این طرح که به صورت عصا می‌باشد، این طرح را به این نام مشهور ساخته است. طرح ربات کابلی عصایی که در شکل ۱ نمایش داده شده است.

## ۲-۱- ربات کابلی عصایی

در این بخش، ربات کابلی با طرح عصایی به عنوان گونه‌ای متداول از ربات‌های فضایی معرفی می‌گردد. شکل خاص مجری نهایی این طرح که به صورت عصا می‌باشد، این طرح را به این نام مشهور ساخته است. طرح ربات کابلی عصایی که در شکل ۱ نمایش داده شده است.



شکل ۱: شماتیک ربات کابلی فضایی با طرح عصایی.

در جمع‌بندی توضیحات فوق باید به این موضوع توجه کرد که هدف اصلی این مقاله نه بیان معیارهای جدید سینماتیکی در حوزه رباتیک است و نه ارائه روش‌های جدید بهینه‌سازی بلکه نوآوری اصلی این مقاله، بررسی معیارهای متنوع سینماتیکی در کنار هم و استفاده از آنها در الگوریتم‌های بهینه‌سازی چندهدفه هوشمند می‌باشد که در نهایت، منجر به ارائه جبهه پرتوی بهینه شده است. مقالات متنوعی از معیارهای سینماتیکی استفاده شده در این مقاله به منظور طراحی ربات کابلی بهره برده‌اند، اما هیچ کدام به بررسی این معیارها در کنار هم و در نهایت بهینه‌سازی چند هدفه با استفاده از الگوریتم‌های هوشمند نپرداخته‌اند. در ادامه این مقاله، ابتدا ربات کابلی فضایی مورد نظر معرفی می‌گردد. در بخش سوم معیارهای متداول سینماتیکی طراحی ربات کابلی که وسعت فضای کاری و دقت و مهارت ربات را ارزیابی می‌کنند، بیان می‌گردند. در بخش چهارم معیارهای بیان شده در قسمت قبل با توجه به پارامترهای طراحی، تحلیل می‌شوند. در نهایت با استفاده از الگوریتم‌های بهینه‌سازی چندهدفه تکاملی، بهینه‌سازی همزمانی برای اهداف در تضاد با هم انجام شده و جبهه پرتو بهینه محاسبه می‌گردد.

## ۲- معرفی ربات کابلی فضایی

<sup>۴</sup> Rod Design

<sup>۵</sup> Galaxy Design

<sup>۱</sup> Visual Inspection Graphs

<sup>۲</sup> Non-dominated Sorting Genetic Algorithm

<sup>۳</sup> Adaptive Weighted Particle Swarm Optimization

همگی تابعی از متغیر فضای کاری  $x$  می‌باشند. در رابطه فوق ماتریس  $A$  ماتریس ساختار<sup>۱</sup> نامیده می‌شود که برابر با ترانزاده ماتریس ژاکوبی ربات، ماتریس نگاهت سرعت فضای کاری به فضای مفصلی، می‌باشد [۲۳]. یکی از عمومی‌ترین تعاریف فضای کاری ربات‌های کابلی، فضای کاری کنترل پذیر می‌باشد که با نام‌های فضای کاری بستار چرخش<sup>۲</sup> و فضای کاری بستار نیرو<sup>۳</sup> نیز شناخته شده است. در این فضای کاری، مجری نهایی ربات می‌تواند در هر جهتی و در هر اندازه‌ای، نیرو وارد کند، در حالی که کابل‌ها همچنان کشیده باقی می‌مانند. بنابراین در تحلیل این فضای کاری، هیچ محدودیتی برای تنش کابل‌ها در نظر گرفته نمی‌شود. نکته حائز اهمیت در این بررسی این نوع فضای کاری، الزام وجود افزونگی در تعداد کابل‌ها است، به طوری که تعداد کابل‌ها از درجات آزادی ربات بیشتر باشد. از آنجایی که این نوع نگرش تنها به هندسه ربات وابسته می‌باشد، می‌تواند معیار خوبی را جهت طراحی بهینه ربات ارائه دهد. لذا این مقاله به طور خاص بر روی این نوع فضای کاری متمرکز شده است و در ادامه جزئیات و نحوه‌ی آن محاسبه ارائه می‌گردد.

### ۳-۱-۱- فضای کاری کنترل پذیر

فضای کاری کنترل پذیر مجموعه‌ای از موقعیت‌های ربات است که به ازای هر چرخش  $w$  در مجری نهایی، حداقل یک بردار نیروی کششی  $f \geq 0$  وجود داشته باشد به طوری که  $Af = w$  گردد.

یکی از مهمترین قضایای مطرح در تحلیل این نوع فضای کاری، بررسی فضای پوچی<sup>۴</sup> ماتریس ساختار است. بر مبنای خصوصیت فضای پوچی، موقعیت ربات در فضای کاری کنترل پذیر قرار می‌گیرد، اگر و تنها اگر ماتریس ساختار ربات مرتبه کامل بوده و فضای پوچی آن شامل برداری با عناصر مثبت (یا هم علامت و مخالف صفر) باشد. زیرا هنگامی که نیروهای اعمالی به مجری نهایی مشخص شد، می‌توان با استفاده از معادله  $Af = w$  نیروهای کابلی را مثبت بدست آورد.

با توجه به غیر مربع بودن ماتریس ساختار  $A$  باید از شبه معکوس  $A$  به منظور بدست آوردن نیروهای کابلی استفاده کرد. شبه معکوس ماتریس  $A$  به طریق زیر بدست می‌آید:

$$A^{\dagger} = (A^T A)^{-1} A^T \quad (2)$$

در این صورت کمترین مقدار نیروهای کابلی از رابطه زیر محاسبه می‌شود:

$$f_{min} = A^{\dagger} w \quad (3)$$

اما رابطه بالا نمی‌تواند همواره مثبت بودن کابل‌ها را ارضا نماید، از این رو برای حل این مسأله از روش تعمیم یافته حداقل مربعات استفاده می‌گردد:

$$f = f_{min} + cf^* \quad (4)$$

در رابطه فوق،  $f$  در فضای پوچی ماتریس  $A$  قرار دارد. در این صورت:

$$Af^* = 0 \quad (5)$$

این طرح در واقع توسعه یافته طرح ربات کابلی صفحه‌ای "V و ارونه V" محسوب می‌شود [۲۷] و انتظار می‌رود ویژگی‌هایی شبیه به این طرح داشته باشد.

مجری نهایی طویل و قرار گیری عملگرها در گروه‌های دو تایی از جمله ویژگی‌های مشترک این طرح‌ها محسوب می‌شوند. کنار هم قرار گرفتن عملگرها و شکل خاص مجری نهایی، احتمال برخورد کابل‌ها را در این طرح از بین برده است. اما ابعاد بزرگ مجری نهایی این طرح به علت جرم و وزن زیاد، از چابکی و سرعت عمل ربات می‌کاهد و از طرف دیگر، کاربر را مجبور می‌سازد تا فضایی بسیار بزرگ‌تر از فضای کاری کنترل پذیر ربات را خالی از هر گونه شیئی قرار دهد تا از برخورد مجری نهایی ربات به اجسام پیرامون جلوگیری کند.

## ۳- معیارهای طراحی

در این بخش، معیارهای طراحی ربات‌های کابلی معرفی می‌شوند. این معیارها که بیشتر، حجم فضای کاری و دقت و مهارت ربات را مورد بررسی قرار می‌دهند عبارتند از فضای کاری کنترل پذیر، معیارهای حساسیت سینماتیکی انتقالی و دورانی و عدد وضعیت عمومی ربات. شاخص‌های مطرح شده در این بخش، به منظور بهینه سازی طرح‌های ربات کابلی، در بخش آتی مورد استفاده قرار می‌گیرند.

### ۳-۱- وسعت فضای کاری

همانطور که در مقدمه ذکر شد، یکی از مهم‌ترین شرایط استفاده از ربات‌های کابلی، برقراری شرط کششی بودن کابل‌ها است. به عبارت دیگر، بدست آوردن فضایی که هنگام قرار گیری مجری نهایی در آن، امکان ایجاد تنش کششی در کابل‌ها وجود دارد، نقش کلیدی در تحلیل کارایی ربات‌های کابلی ایفا می‌کند. نحوه بدست آوردن این فضای کاری مبحثی است که در این بخش به آن پرداخته می‌شود. برای آنکه فضای کاری ربات طوری تعیین شود که همیشه همه کابل‌ها دارای تنش مثبت باشند، باید شرط ذیل برقرار باشد:

$$\{x | Af = w, f \geq 0\} \quad (1)$$

در رابطه (۱) نشان دهنده متغیرهای فضای کاری دکارتی می‌باشد. در واقع  $x$  معرف تمامی موقعیت‌هایی از مجری نهایی ربات است که در آن وضعیت، کابل‌ها تنش کششی داشته باشند. مجموعه موقعیت‌های مجری نهایی، فضای کاری ربات را تشکیل می‌دهند که از دیدگاه‌های مختلف، قابل بررسی هستند.

همچنین در رابطه (۱)،  $f$  بردار نیروهای اعمال شده به کابل‌ها از طرف کابل جمع‌کن‌ها و  $w$  بردار نیروهای اعمال شده به مجری نهایی می‌باشند که

<sup>۱</sup> Force Closure Workspace (FCW)

<sup>۲</sup> Null Space

<sup>۱</sup> Structure Matrix

<sup>۲</sup> Wrench Closure Workspace (WCW)

بنیادی، کمترین نیروی کششی کابل متناظر با آن بردار، در موقعیت مورد نظر از ربات، صفر می‌گردد. بنابراین، نیروی بنیادی بدترین نیرویی است که می‌تواند به مجری نهایی ربات وارد شود، زیرا در این حالت یک درجه افزونگی ربات از بین می‌رود. این مرجع در ادامه شرط قرار گیری ربات در فضای کاری کنترل پذیر را، شبه معین مثبت بودن و کامل بودن مرتبه ماتریس  $A$  در رابطه زیر بیان می‌کند.

$$A_{n \times (n+r)} T_{(n+r) \times (n+r)}^* = W_{F_{n \times (n+r)}} \quad (۷)$$

که در آن  $T^*$  ماتریسی است که از کنار هم قرار گرفتن بردارهای نیروهای کابلی به ازای مجموعه نیرو بنیادی  $W_F$  حاصل می‌شود. در رابطه فوق  $r$  بیانگر درجه افزونگی و  $n$  نشان دهنده درجه آزادی ربات است. در [۲۶] این روش برای دو نمونه ربات کابلی با یک درجه آزادی و دو درجه آزادی به طور کامل بیان شده است که در اینجا از همان روش استفاده شده است. در ادامه روش تحلیلی ارائه می‌گردد که بر مبنای جبر خطی، فضای کنترل پذیر را ابتدا در ربات‌های با یک درجه افزونگی و سپس در حالت کلی، جست و

جو می‌کند. در این حالت، معادله (۷) به معادله زیر تبدیل می‌شود:

$$A_{n \times (n+1)} T_{(n+1) \times (n+1)}^* = W_{F_{n \times (n+1)}} \quad (۸)$$

که برای هر نیروی بنیادی، معادله فوق به صورت زیر ساده می‌شود:

$$A_{n \times (n+1)} T_{i(n+1) \times 1}^* = W_{F_{i \times n+1}} \quad (۹)$$

با توجه به قضیه مطرح شده در [۲۶]،  $i$  امین نیروی کابل نرمالیزه شده به ازای  $i$  امین نیروی بنیادی، صفر خواهد شد.

$$[A_1 \dots A_{i-1} \ A_{i+1} \dots A_{n+1}] [\tau_{i1} \dots \tau_{i(i-1)} \ 0 \ \tau_{i1} \dots \tau_{i(i-1)}] \quad (۱۰)$$

در رابطه فوق  $\tau_{ij}$  بیانگر عناصر ماتریس  $T$  می‌باشد. به علت صفر شدن  $\tau_{ii}$  در رابطه فوق، می‌توان  $A_i$  را نیز حذف کرد و آن را به صورت زیر بازنویسی کرد.

$$A_{n \times n} [\tau_{i1} \dots \tau_{i(i-1)} \ \tau_{i(i+1)} \dots \tau_{i(i-1)}]^T = W_{F_i} \quad (۱۱)$$

معادله فوق یک دستگاه  $n$  معادله  $n$  مجهول است که به روش‌های مختلف، از جمله روش کرامر قابل حل است.

$$\tau_{i1} = \frac{\Delta_{ij}}{\Delta_i} = \frac{\det[A_1 \dots A_{i-1} \ w_i \ A_{i+1} \dots A_{n+1}]}{\det[A_1 \dots A_{i-1} \ A_{i+1} \dots A_{n+1}]} > 0 \quad (۱۲)$$

مرجع [۲۶] برای تعیین فضای کنترل پذیر مکانیزمی با  $n$  درجه آزادی و  $۲$  درجه افزونگی با استفاده از این روش، آن را به  $2 + n$  زیرربات با یک درجه افزونگی تقسیم کرده است، به طوری که در  $i$  امین زیرربات، کابل  $i$  ام وجود ندارد. حال اگر  $W_{F_{i+1}}$  از مجموعه نیروهای بنیادی به مجری نهایی اعمال شود، خواهیم داشت:

$$[A_1 \dots A_{i-1} \ A_{i+2} \dots A_{n+2}] [\tau_{i1} \dots \tau_{i(i-1)} \ 0 \ \tau_{i(i+2)} \dots \tau_{i(i+2)}]^T = W_{F_{i+1}} \quad (۱۳)$$

دستگاه معادله فوق یک دستگاه  $n$  معادله  $n$  مجهول است و مشابه قسمت قبل، مرزهای فضای کاری کنترل پذیر برای هر زیرربات قابل تعیین است.

با توجه به رابطه بالا، هر گاه  $f$  اکیداً مثبت باشد، می‌توان با انتخاب یک ضریب به اندازه کافی مثبت  $c$ ، عناصر منفی  $f_{min}$  را جبران نمود و به پاسخ  $0 \leq f$  دست یافت. در ربات‌های کابلی صفحه‌ای با ۴ کابل و ۳ درجه آزادی، به راحتی می‌توان با پیدا کردن بردار فضای پوچی و تعیین علامت عناصر آن، کنترل پذیری ربات را در موقعیت داده شده، مشخص کرد [۲۶]، اما در ربات‌های با درجات آزادی افزونه بیشتر، با وجود چند بردار پوچی، کار به مراتب دشوارتر می‌شود. به عنوان مثال ربات کابلی با ۵ کابل و ۳ درجه آزادی را فرض کنید. این ربات کابلی دارای ۲ درجه افزونگی می‌باشد و در موقعیت‌های غیر تکین، ماتریس ساختار ربات، دارای ۲ بردار پوچی مستقل است. حال برای آنکه نیروهای وارد بر هر ۵ کابل، کششی باشند و ربات در فضای کنترل پذیر قرار گیرد، باید پاسخ بدست آمده از ترکیب خطی دو بردار فضای پوچی، برداری کاملاً مثبت باشد، تا به ازای مقادیر مناسب  $c$  در معادله (۴)، تمامی عناصر بردار  $f$  را بزرگتر از صفر گرداند. یکی از ساده‌ترین روش‌های حل این مسأله، استفاده از دستور `fmincon` نرم افزار متلب<sup>۱</sup> می‌باشد. اما به علت آنکه این دستور صرفاً یک الگوریتم بهینه سازی با بهره گیری از روشهای تکرار است، بسیار وقت گیر می‌باشد. این موضوع در مسأله بهینه سازی و طراحی ربات بسیار با اهمیت است، زیرا در الگوریتم‌های بهینه سازی هوشمند، نیاز است که مکرراً کنترل پذیری ربات‌های گوناگون در موقعیت‌های مختلف فضای کاری بررسی گردد. لذا در مسأله طراحی ربات کابلی، استفاده از روش‌هایی بر پایه تعابیر فیزیکی مسأله کنترل پذیری که حل کوتاه‌تری دارند، پیشنهاد می‌شود. در [۲۶] روش دیگری برای تعیین کنترل پذیری ربات تحت عنوان نیروی بنیادی<sup>۲</sup> بیان گردیده است که مبتنی بر تعبیر فیزیکی مسأله کنترل پذیری بوده و در مسأله بهینه سازی چند هدفه ربات‌های کابلی به خصوص در ربات‌های کابلی فضایی با ۸ کابل، بسیار کار آمد می‌باشد. لذا در ادامه به صورت مختصر، مروری بر چگونگی انجام این روش ارائه می‌شود. آنچه به عنوان ایده در [۲۶] مطرح می‌شود، معرفی مجموعه نیروی بنیادی و استفاده از آن به جای فضای پوچی، در تحلیل فضای کاری کنترل پذیر ربات است. در واقع، مجموعه نیروهای بنیادی تفسیر فیزیکی از کمترین حل شدنی مثبت معادله (۴) ارائه می‌دهد، به طوری که هر گاه این مجموعه نیرو به مجری نهایی اعمال شود، آن موقعیت در فضای کنترل پذیر قرار می‌گیرد. بنابر تعریف بیان شده در [۲۶] مجموعه نیروی بنیادی به مجموعه‌ای شامل  $m$  بردار اطلاق می‌شود که هر بردار آن متناسب با یک بردار ستونی از ترانزاده ماتریس ژاکوبی،  $K^T$  می‌باشد.

$$W_F = \{w_i \mid w_i = \begin{bmatrix} \hat{S}_i \\ E_i \times \hat{S}_i \end{bmatrix}\} = K^T = -A, \quad (۶)$$

$$i = 1, \dots, m$$

که در معادله فوق  $m$  بیانگر تعداد کابل‌ها می‌باشد. با توجه به معادله فوق، مجموعه نیروهای بنیادی به حالت و موقعیت ربات وابسته هستند. مرجع [۲۶] اثبات می‌کند که در صورت اعمال هر یک از بردارهای مجموعه نیروی

<sup>۲</sup> Fundamental Wrench

<sup>۱</sup> Matlab

به کوچکترین مقدار ویژه ماتریس ژاکوبی نیز می‌باشد. از نقطه نظر فیزیکی هر چه این مقدار به سمت یک میل کند، مطلوب تر است. زیرا در این حالت، مهارت ربات در همه جهات یکسان می‌باشد و بیضوی مهارت به دایره تبدیل می‌شود. اما هر چه این مقدار به سمت بینهایت میل کند، ربات تنها در یک راستا مهارت خواهد داشت و مهارت انجام حرکت در سایر درجات آزادی خود را از دست می‌دهد و به عبارت دیگر ربات به سمت تکینگی نزدیک تر می‌شود [۲۹]. از سوی دیگر هر چه قدر بیضی بزرگتر باشد، خطای منتقل شده به مجری نهایی، بیشتر می‌شود. اما معیار عدد وضعیت هیچ بیانی از میزان بزرگی خطای انتقالی ندارد، زیرا که ممکن است شکل نگاهشده شده در فضای کاری، دایره‌ای با شعاع بزرگ باشد که این موضوع نشان دهنده خطای زیاد ربات است، در حالی که عدد وضعیت، مهارت ربات را ایده آل معرفی می‌کند. از طرف دیگر ممکن است شکل نگاهشده داده شده، بیضی بسیار کوچکی باشد که یک قطرش بسیار بزرگتر از قطر دیگر باشد که این موقعیت عدد وضعیت بسیار بزرگی به وجود می‌آورد، در حالی که خطای انتقالی بسیار کم می‌باشد. راه حل‌های زیادی برای حل مشکل مفهومی عدد وضعیت مطرح شده است. این گونه روش‌ها، زیر بنای معیارهای جدیدی از مهارت ربات را تشکیل می‌دهند که با نام حساسیت سینماتیکی معروف شده‌اند [۳۰]. به کارگیری این گونه از شاخص‌های سینماتیکی که بیانی از دقت ربات را ارائه می‌دهند، در کنار معیار عدد وضعیت که از مهارت ربات در درجات آزادی مختلف سخن می‌گوید، می‌تواند به خوبی بیضوی مهارت ربات را توصیف کند.

عدد وضعیت یک معیار محلی است و در هر موقعیت ربات تعریف می‌شود، یعنی با توجه به مختصات دکارتی ربات و میزان چرخش آن حول محورهای اویلر تعیین می‌گردد. برای ارزیابی عملکرد کلی ربات، یک معیار عمومی مهارت مطرح می‌شود که بیان گر مهارت کلی ربات است و به شرح زیر است [۱۹]:

$$GCI = \frac{\int_w \left( \frac{1}{CN(w)} \right) dw}{\int_w dw} \quad (18)$$

رابطه بالا یک میانگینی از عدد وضعیت‌های همه فضای کاری ربات را ارائه می‌دهد و به عنوان عدد وضعیت عمومی ربات<sup>۱</sup> شناخته می‌شود.

### ۳-۲-۲- حساسیت سینماتیکی

برای برطرف کردن مشکلات شاخص‌های سینماتیکی، دو شاخص متمایز با نام حساسیت سینماتیکی دورانی و حساسیت سینماتیکی انتقالی تعریف گردیده است. این دو شاخص، کران بالای خطای دورانی و انتقالی را با در نظر گرفتن خطای با نرم واحد در فضای مفصلی بدست می‌دهند [۳۱].

$$\sigma_{r,c,f} = \max_{\|\rho\|_c=1} \|\phi\|_f, \sigma_{p,c,f} = \max_{\|\rho\|_c=1} \|P\|_f \quad (19)$$

از آنجایی که این دو شاخص خطای درجات آزادی انتقالی و دورانی را به طور جدا گانه در نظر می‌گیرند، دیگر مشکلات مربوط به یکسان نبودن

هدف از بیان فضای کنترل پذیر در این مقاله تنها ارائه معیاری جهت طراحی بهینه ربات کابلی است. بنابراین محاسبه حجم و مساحت فضای کنترل پذیر ربات به عنوان معیارهای طراحی دارای اهمیت هستند. به همین جهت، برای بررسی کنترل پذیری ربات‌های فضایی، پس از شبکه بندی فضای کاری و تشکیل زیرربات‌ها و زیرربات‌های ترکیبی، تعلق هر نقطه از شبکه به فضای کنترل پذیر مجموعه زیرربات‌ها بررسی می‌شود و در صورتی که حداقل یکی از زیرربات‌ها یا زیرربات‌های ترکیبی در موقعیت داده شده کنترل پذیر باشند، ربات اصلی در آن موقعیت کنترل پذیر خواهد بود.

### ۳-۲-۲- معیارهای مهارت و دقت ربات

به طور معمول در طراحی‌ها رباتها برای کاهش موقعیت‌هایی که ربات در حالت تکینگی قرار می‌گیرد، از شاخص‌های سینماتیکی استفاده می‌شود. به این معنی که طراح سعی می‌کند با بهینه‌سازی این شاخص‌ها در فضای کاری مکانیزم، مقادیر هندسی و پارامترهای ربات را به گونه‌ای طراحی کند تا حجم و تعداد نواحی تکین در فضای کاری ربات در کمترین حالت ممکن باشد.

### ۳-۲-۱- عدد وضعیت

با استفاده از ژاکوبی مکانیزم می‌توان بین خطای مفصلی و خطای فضای کاری مکانیزم، رابطه‌ای خطی بدست آورد. به بیان دیگر، خطای مفاصل فعال ربات، توسط بازوانش از طریق نگاهشده غیرخطی ژاکوبی به مجری نهایی منتقل می‌شود. بنابراین رباتی بهتر خواهد بود که خطای کمتری را از مفاصل به مجری نهایی منتقل کند. در این حالت، خطای مفاصل محدود و به صورت ذیل فرض می‌شود:

$$\|\Delta\rho\|_2 \quad (14)$$

در رابطه فوق، بردار  $\rho$  بیان کننده متغیرهای مفصلی است. همچنین، محدوده خطای مفاصل طوری انتخاب می‌شود که نشان دهنده کوچکترین واحد حرکت قابل قبول مفاصل باشد. از آنجایی که ارتباط متغیرهای مفصلی و فضای کاری از طریق ماتریس ژاکوبی،  $K$  صورت می‌گیرد:

$$\Delta\rho = K\Delta x \quad (15)$$

خواهیم داشت:

$$\|\Delta\rho\|_\infty = \Delta\rho\Delta\rho = \Delta x^T K^T K \Delta x \quad (16)$$

این رابطه، نحوه نگاهشده شبه کره خطا در مفاصل به بیضوی خطا در فضای کاری را در حالت کلی بیان می‌کند. شکل و حجم این بیضوی در واقع مشخصه‌ای از مهارت مکانیزم است.

معیار عدد وضعیت به عنوان یکی از رایج‌ترین شاخص‌های سنجش مهارت ربات با توجه به بیضوی مهارت، به صورت زیر تعریف می‌شود [۲۸]:

$$CN = \frac{\sigma_{\max}}{\sigma_{\min}} \quad (17)$$

که برابر است با نسبت قطر بزرگ بیضوی نگاهشده به قطر کوچک آن. این عدد که دارای مقداری بین یک تا بینهایت می‌باشد، معرف نسبت بزرگترین

<sup>۱</sup> Global Condition Number Index (GCI)

#### ۴-۱- تحلیل ربات‌های کابلی فضایی

در صورتی که برای بررسی هر یک از معیارهای طراحی، همانند ربات صفحه‌ای [۲۳] از شبکه بندی و گسسته سازی فضای کاری استفاده کنیم، حجم محاسبات بسیار زیاد می‌شود. کاهش حجم محاسبات مستلزم افزایش گام‌های شبکه بندی و کاهش دقت طراحی است که عملاً ما را از رسیدن به طرح بهینه دور می‌کند. لذا باید تدبیری اندیشیده شود تا علاوه بر کاهش منطقی حجم محاسبات، دقت لازم حفظ شود. رویکردی که در این مقاله استفاده شده، عبارت است از بررسی فضای کاری کاربردی. این فضای کاری کاربردی، همان فضای ۳ بعدی خواهد بود که به عنوان فضای کاری ربات به خریدار و یا کاربر معرفی می‌گردد. این فضای ۳ بعدی باید یکی از اشکال منظم و شناخته شده هندسی باشد تا هم معرفی فضای کاری ربات را ساده‌تر سازد و هم کار با ربات را برای کاربر آسان گرداند. این امر سهولت طراحی مسیر و کنترل ربات را نیز به دنبال خواهد داشت. شکل هندسی پیشنهاد شده در این مقاله، متقارن‌ترین شکل هندسی، یعنی گره می‌باشد. مزیت گره بر سایر اشکال هندسی متداول، تقارن آن در تمام جهات مختصاتی است که فضای کاری همگنی را بدست می‌دهد. بررسی این گونه فضای کاری ربات، علاوه بر کاهش شدید حجم محاسبات و از بین بردن محاسبات غیر ضروری، امکان معرفی معیاری کاربردی و قابل استفاده در طرح‌های صنعتی را نیز فراهم می‌سازد. ابعاد بزرگ‌ترین گره محاطی درون فضای کاری کنترل‌پذیر ربات می‌تواند به عنوان معیاری برای مقایسه طرح‌های مختلف ربات کابلی به کار گرفته شود. توجه شود که در این مقاله به جای استفاده از انتگرال و محاسبه حجم فضای کاری کنترل‌پذیر (همانند آنچه در روش ارائه شده در مرجع [۲۳] استفاده شد) از شعاع فضای کاری کاربردی به عنوان معیار بهینه‌سازی استفاده می‌شود. همچنین بدترین حساسیت سینماتیکی انتقالی و دورانی درون این گره می‌تواند دقت ربات را درون فضای کاری کاربردی‌اش، مشخص سازد. اما محاسبه معیارهای فوق نیز در ابتدای امر، کار ساده‌ای نخواهد بود و برای رسیدن به نتیجه در کوتاه‌ترین زمان ممکن، به لم‌های خاصی نیاز است. در مقابل روش‌های گسسته‌سازی و شبکه‌بندی، راه‌حل‌های پایه تصادفی، علاوه بر داشتن دقت مناسب، از سرعت محاسباتی خوبی نیز برخوردار هستند. برای محاسبه بزرگ‌ترین گره محاطی در فضای کنترل‌پذیر، شبه کد جدول ۱ پیشنهاد می‌گردد. اساس این الگوریتم، جست و جوی تصادفی نقاط کنترل‌پذیر و تعیین شعاع گره فضای کاری کاربردی با توجه به موقعیت‌های کنترل‌ناپذیر است.

در شبه کد جدول ۱ پارامترهای  $\alpha$  و  $\beta$  و  $\gamma$  زوایای اویلر حول محورهای مختصات دکارتی می‌باشند که هر کدام دارای کران بالا و پایین تعریف شده‌ای هستند. همچنین پارامترهای  $\theta$ ،  $\varphi$  و  $\rho$  دستگاه مختصات کروی را تشکیل می‌دهند. به وسیله پارامترهای ذکر شده، موقعیت مکانی و جهت‌گیری معرّی نهایی تعیین می‌گردد. همچنین پارامتر R در هر تکرار به اندازه مقدار

واحد‌ها پیش نمی‌آید [۳۲]. در روابط بالا C و f به ترتیب نرم قید و نرم تابع هدف مسئله حساسیت سینماتیکی را نمایش می‌دهند. مزیت شاخص حساسیت سینماتیکی بر سایر معیارهای سنجش دقت ربات، تفکیک درجات آزادی دورانی و انتقالی از هم و ارائه مفهوم فیزیکی دقت ربات است. اما این شاخص تفسیری از میزان نزدیکی به تکنیکی ارائه نمی‌دهد. چنان که ممکن است در موقعیتی خاص، حساسیت سینماتیکی ربات بسیار مطلوب باشد، اما ربات به مرز تکنیکی نزدیک باشد. بنابراین استفاده از معیارهایی نظر عدد وضعیت که مهارت ربات را مورد بررسی قرار می‌دهند، در کنار استفاده از شاخص حساسیت سینماتیکی توصیه می‌شود.

با توجه به اینکه هم بر روی فضای مفصلی و هم در فضای کاری قید نرم وجود دارد، بنابراین چهار نوع حساسیت سینماتیکی خواهیم داشت. مرجع [۲۹] حساسیت سینماتیکی با نرم تابع هدف دو و نرم قید بینهایت را به عنوان معقول‌ترین حساسیت سینماتیکی مطرح می‌کند، چرا که به علت نرم بینهایت قیود حرکت مفاصل به یکدیگر وابسته نیست و از طرف دیگر به علت نرم دو تابع هدف با تغییر مرجع مختصات حساسیت متفاوت به وجود نمی‌آید.

حساسیت سینماتیکی نیز همانند معیار عدد وضعیت یک معیار محلی است و با توجه به موقعیت مجری نهایی ربات تغییر می‌کند. لذا برای آنکه یک معیار از وضعیت کلی ربات<sup>۱</sup> داشته باشیم می‌توان همانند فرآیندی که در مورد عدد وضعیت به کار گرفته شد، از میانگین حساسیت سینماتیکی ربات در موقعیت‌های مختلف ربات استفاده کرد. اما این معیار عمومی نمی‌تواند به خوبی معرف دقت کلی ربات باشد. به عنوان مثال، در صورتی که حساسیت سینماتیکی ربات در یک موقعیت بسیار خوب و در موقعیت دیگر بسیار نامطلوب باشد، میانگین گیری، متوسط دقت ربات را نشان می‌دهد. این موضوع مثل آن است که دقت ربات در همه موقعیت‌ها، یکسان و برابر با مقدار متوسط باشد. اما این مقدار متوسط نمی‌تواند تضمینی از دقت ربات را ارائه دهد و به عبارت دیگر نمی‌تواند کرانی برای دقت ربات مشخص کند. روشی که در اینجا به عنوان حساسیت سینماتیکی پیشینه مطرح می‌شود، محاسبه حساسیت سینماتیکی پیشینه (انتقالی یا دورانی) در فضای کاری کنترل‌پذیر ربات یا هر فضای کاری مدنظر می‌باشد. محاسبه این پارامتر زمانی اهمیت پیدا می‌کند که سازنده می‌خواهد مقداری را به عنوان حداکثر خطای ربات به کاربر بیان کند. محاسبه این معیار طراحی که یک مسأله بهینه‌سازی است، به طرق مختلف از جمله روش‌های بهینه‌سازی تکاملی، امکان‌پذیر می‌باشد.

#### ۴- طراحی بهینه ربات کابلی فضایی

در این بخش، ابتدا رویه بهینه سازی ربات کابلی فضایی به صورت کلی معرفی شده و سپس این روند، برای طرح خاص عصایی معرفی شده در [۲۴] پیاده سازی می‌شود. ربات مذکور دارای ۳ درجه انتقالی و ۳ درجه دورانی است که مجموعاً ۶ درجه آزادی را برای ربات فراهم می‌آورند.

<sup>۱</sup> Global Performance Index



```

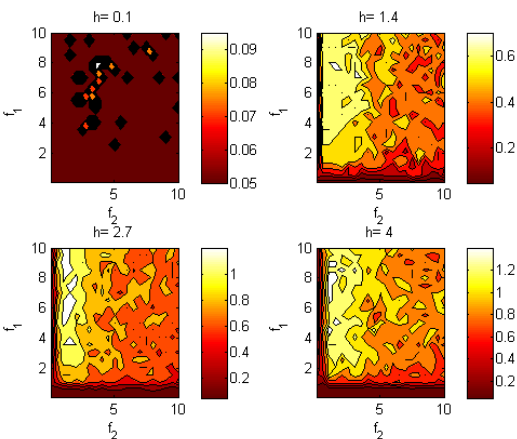
Function:W=Compute Worst Kinematic Sensitivity(.)
Inputs:  $\alpha_{min,max}, \beta_{min,max}, \gamma_{min,max}, R_{min}$ 
R=Compute Radius of Sphere ( Inputs )
if  $R > \epsilon$ 
     $\theta_{min} = 0, \theta_{max} = 2\pi$ 
     $\varphi_{min} = 0, \varphi_{max} = \pi$ 
     $R_{max} = c$ 
     $x_{min} = [R_{min}, \theta_{min}, \theta_{max}, \alpha_{min}, \beta_{min}, \gamma_{min}]$ 
     $x_{max} = [R_{max}, \theta_{max}, \theta_{min}, \alpha_{max}, \beta_{max}, \gamma_{max}]$ 
    W=Fast Optimization Algorithm (Kinematic ... Sensitivity(.),  $x_{min}, x_{max}$ )
end
    
```

۴-۲ تحلیل ربات کابلی عصایی

طرح عصایی از جمله طرح‌هایی است که با چرخش‌های محدود، پدیده برخورد کابل با کابل در آن دیده نمی‌شود. مرجع [۲۴] از این رو تنها عامل محدود کننده ابعاد فضای کاری این ربات را شاخص کنترل پذیری دانسته است. در این قسمت، برای بهینه سازی این طرح از معیارهای کنترل پذیری، حساسیت سینماتیکی دورانی و انتقالی و عدد وضعیت عمومی ربات استفاده شده است. پارامترهای طراحی نیز طول میله عصا، نسبت طول میله عصا به دسته عصا و نسبت ابعاد مستطیل چهارچوب ثابت ربات در نظر گرفته شده است که در شکل ۱ به ترتیب با  $h, \alpha, \beta$  نمایش داده شده‌اند. همچنین در این تحلیل، پارامتر  $f_a$  ثابت و برابر با  $10^m$  در نظر گرفته شده است. قیود حاکم بر پارامترهای  $f_1$  و  $f_2$  نیز بدین شرح است:  $0.1 \leq f_1, f_2 \leq 10$ . در ادامه به بررسی تغییرات معیارهای طراحی معرفی شده نسبت به پارامترهای طراحی در طرح عصایی می‌پردازیم.

شکل ۲ نحوه تغییرات شعاع بزرگ‌ترین کره محاطی در فضای کنترل پذیر ربات عصایی را نسبت به ۳ پارامتر طراحی  $h, f_1$  و  $f_2$  نشان می‌دهد. همان طور در شکل ۲ مشخص است، شعاع کره محاطی شدیداً به طول میله عصا وابسته است. همچنین از نظر این معیار طراحی، ربات بهینه زمانی حاصل می‌شود که پارامترهای  $f_1$  و  $f_2$  در محدوده زیر قرار داشته باشند و پارامتر  $h$  حداکثر مقدار خود را داشته باشد:

$$1 \leq f_1 \leq 10, \quad 1 \leq f_2 \leq 3 \quad (20)$$



شکل ۲: تغییرات شعاع فضای کاری کاربردی (AWS) نسبت به پارامترهای طراحی.

گام در نظر گرفته شده برای شعاع کره،  $\epsilon$  افزایش می‌یابد. به علت آنکه سطح رویه کره با افزایش شعاع کره، افزایش می‌یابد، تعداد نقاط بررسی شده در هر تکرار،  $N$ ، افزایش می‌یابد. محاسبه معیار بدترین حساسیت سینماتیکی ربات نیز نیازمند تدبیر خاصی است. چرا که حجم زیاد محاسبات گسسته سازی فضای کاری در ۶ بعد، محاسبه دقت ربات را با مشکل مواجه می‌کند. به خصوص که حجم محاسبه حساسیت سینماتیکی در یک موقعیت خاص از ربات فضایی نیز چندین برابر ربات صفحه‌ای است. این امر، مسأله بهینه سازی ربات فضایی را به مراتب با مشکلات بیشتری مواجه می‌کند. در این مقاله، برای محاسبه بدترین حساسیت سینماتیکی از الگوریتم‌های بهینه سازی پر به جای فرآیند گسسته سازی فضای کاری استفاده شده است. سرعتی مانند استراتژی تکاملی این الگوریتم‌های علاوه بر حجم محاسباتی کم، دارای دقت مناسبی نیز هستند. شبه کد جدول ۲ الگوریتم به کار رفته برای محاسبه بدترین حساسیت سینماتیکی درون کره فضای کاری را نشان می‌دهد. در این شبه کد، پس از محاسبه شعاع بزرگ‌ترین کره محاطی در فضای کاری کنترل پذیر ربات، کران بالا و پایین در نظر گرفته شده برای زوایای اوپلر  $\alpha, \beta$  و  $\gamma$  به همراه کران بدست آمده برای شعاع کره محاطی و کران پارامترهای مختصات فضای کاری  $\theta$  و  $\varphi$  به عنوان شرایط مرزی پاسخ‌ها به الگوریتم بهینه سازی خورنده می‌شود تا بیشینه تابع حساسیت سینماتیکی بدست آید.

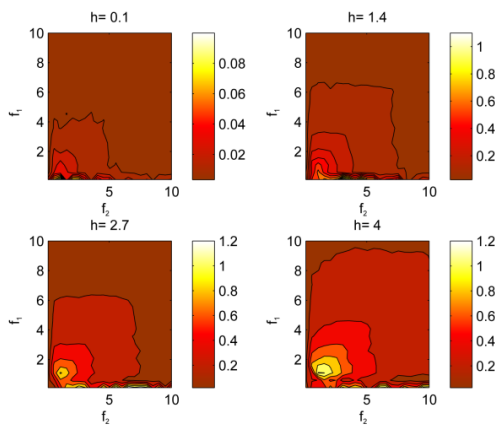
جدول ۱: شبه کد پیشنهادی برای محاسبه شعاع بزرگ‌ترین کره محاطی در کنترل پذیر ربات کابلی ۶ درجه آزادی.

```

Function:R= Compute Radius of Sphere(.)
Inputs:  $\alpha_{min,max}, \beta_{min,max}, \gamma_{min,max}, R_{min}$ 
 $d_\alpha = \alpha_{max} - \alpha_{min}, \quad d_\gamma = \gamma_{max} - \gamma_{min}$ 
 $c = 1, R = R_{min}$ 
while  $c$ 
    for  $i=1:N$ 
         $\theta = rand \times 2\pi$ 
         $\varphi = rand \times 2\pi$ 
         $\alpha = rand \times d_\alpha + \alpha_{min}$ 
         $\beta = rand \times d_\beta + \beta_{min}$ 
         $\gamma = rand \times d_\gamma + \gamma_{min}$ 
         $P = [\rho \times \cos \theta \times \sin \varphi, \rho \times \sin \theta \times \dots \sin \varphi, \rho \times \cos \varphi]$ 
         $R = [\alpha, \beta, \gamma]$ 
        If  $[P, R] \notin$  Controllable Workspace
             $c = 0$ 
            Break
        end
    end
     $R = R + \epsilon$ 
     $N = N \times (1 + \epsilon)^2$ 
end
 $R = R - \epsilon$ 
    
```

جدول ۲: شبه کد پیشنهادی برای محاسبه حساسیت سینماتیکی بیشینه در فضای کاری کاربردی.

چندان زیاد، حدود  $f_2 = 1$ ، دارد. شکل ۳ نشان می‌دهد که معیار حساسیت سینماتیکی انتقالی به پارامتر  $f_1$  وابستگی کمتری دارد. نحوه تغییرات معیار حساسیت سینماتیکی دورانی نسبت به پارامترهای طراحی به کلی متفاوت است. شکل ۴ به خوبی نشان می‌دهد که عکس معیار بدترین حساسیت سینماتیکی دورانی بر خلاف معیار فضای کاری کاربردی و معیار بدترین حساسیت سینماتیکی انتقالی، پس از پارامتر  $h$  بیشتر به پارامتر  $f_1$  وابسته است. در این حالت، بهترین دقت دورانی را رباتی با پارامترهای طراحی  $f_1 = 0.1$ ،  $f_2 = 9.38$  و  $h = 4$  دارد که تابع برازندگی آن برابر با  $1/64$  می‌باشد. در این حالت، دقت دورانی ربات برابر با  $\max \sigma_p = \frac{1}{1.64} = 0.61$  کاهش شدید پارامتر  $f_1$  در هنگامی که پارامتر  $h$  مقدار ثابت و برابر با  $h = 4$  دارد، از افزایش پارامتر  $b$  خیر می‌دهد. به عبارت دیگر، ربات بهینه از نظر حساسیت سینماتیکی دورانی هنگامی حاصل می‌شود که طول عصا و دسته عصا، حداکثر مقدار خود را داشته باشند. زیرا طول عصا چرخش حول محور  $x^-$  و  $y^-$  را فراهم می‌کند، در صورتی که دسته عصا چرخش حول محور  $z^-$  را در دستگاه مختصات دکارتی حاصل می‌کند.



شکل ۴: تغییرات معکوس بدترین حساسیت سینماتیکی دورانی  $(1 + \max \sigma_p)^{-1}$  نسبت به پارامترهای طراحی.

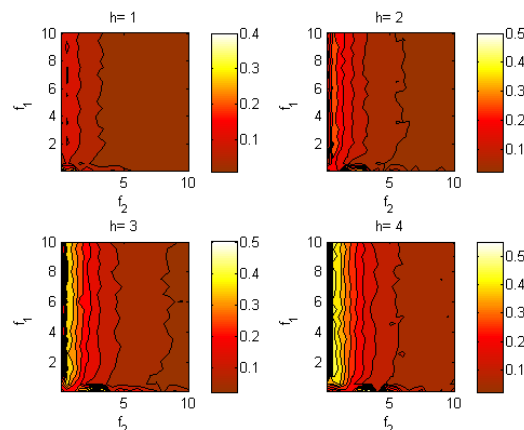
در نهایت، در این بخش تغییرات عدد وضعیت عمومی ربات عصبایی با توجه به پارامترهای طراحی معرفی شده در شکل ۱، مورد بررسی قرار گرفته است. شکل ۵ نشان می‌دهد که عدد وضعیت عمومی ربات طرح عصبایی، برخلاف ربات کابلی صفحه‌ای، با کاهش اندازه مجری نهایی بهبود نمی‌یابد [۳۳]. اما این بدین معنی نیست که افزایش بی‌رویه اندازه مجری نهایی، منجر به افزایش مقدار عدد وضعیت عمومی می‌شود. به عنوان مثال بهترین عدد وضعیت عمومی که با پارامتر  $h = 2.7$  بدست می‌آید، از بهترین عدد وضعیت عمومی که رباتی با پارامتر  $h = 4$  می‌تواند داشته باشد بیشتر است. همچنین، با توجه به شکل ۵ می‌توان نتیجه گرفت رباتی که در آن، پارامترهای طراحی  $f_1$  و  $f_2$ ، قیود زیر را برآورده سازد، از نظر عدد وضعیت عمومی مطلوب‌تر است:

$$0.1 \leq f_1 \leq 4, \quad 0.5 \leq f_2 \leq 3 \quad (21)$$

بهینه‌سازی تک‌ساز PSO نشان می‌دهد که بهترین ربات از نظر عدد وضعیت عمومی ربات، دارای پارامترهای طراحی  $f_1 = 1.68$ ،  $h = 2.7$  و  $f_2 = 0.87$  است که با نمودارهای شکل ۵ مطابقت دارد.

این موضوع نشان می‌دهد که از نظر معیار کنترل پذیری، اهمیت پارامتر  $f_2$  از پارامتر  $f_1$  بیشتر می‌باشد، چرا که محدوده بهینه پارامتر  $f_2$  شامل بازه کوچکتری است. شکل ۲ دارای وضوح ۱:۲۰ می‌باشد، بدین معنی که در هر یک از محورهای  $f_1$  و  $f_2$  تعداد ۲۰ نقطه مورد بررسی واقع شده است. بر اساس معیار معرفی شده و پارامترهای  $f_1$ ،  $f_2$  و  $h$ ، بهینه‌سازی تک‌هدفه PSO انجام شده است تا بهترین ربات از نظر حجم فضای کاربردی مشخص شود. همان‌طور که می‌توان حدس زد، نقطه بهینه دارای بیشترین  $h$  ممکن یعنی  $h = 4$  است. همچنین پارامتر  $f_2$  در این ربات مقدار کمی دارد و برابر با  $f_2 = 1.14$  می‌باشد. این الگوریتم طی ۶۰۰ تکرار، مقدار پارامتر  $f_1$  را نیز برابر با  $f_1 = 10$  بدست آورده است. مقدار این همگرایی برابر با  $1/8$  بدست آمده است، به عبارت دیگر، شعاع بزرگ‌ترین کره محاطی در فضای کاری کنترل پذیر برابر با  $1.8^m$  بدست آمده است. این اندازه شعاع، فضای کاری کاربردی با حجم  $24.43^m^3$  به بدست می‌دهد.

حساسیت سینماتیکی انتقالی و دورانی نیز مشابه فوق قابل محاسبه می‌باشند. اما به علت آنکه بهینه‌سازی نسبت به معیار بدترین حساسیت سینماتیکی یک کمینه‌سازی است، از عکس این معیار استفاده شده تا مشابه معیار کنترل پذیری، ربات بهینه مشخص گردد. توجه به این موضوع ضروری به نظر می‌رسد که در اینجا ما از دو الگوریتم بهینه‌سازی تو در تو استفاده می‌کنیم. در الگوریتم بهینه‌سازی دورانی مقدار بدترین حساسیت سینماتیکی هر طرح مشخص می‌شود. الگوریتم بهینه‌سازی بیرونی وظیفه دارد رباتی را پیدا کند که دارای بهترین دقت است و بدترین حساسیت سینماتیکی آن از طرح‌های دیگر کوچک‌تر است. از شکل ۳ چنین بر می‌آید که رفتار تابع حساسیت سینماتیکی انتقالی بسیار مشابه معیار کنترل پذیر است، با این تفاوت که حساسیت به مقدار پارامتر  $h$  در معیار حساسیت سینماتیکی کمتر می‌باشد.



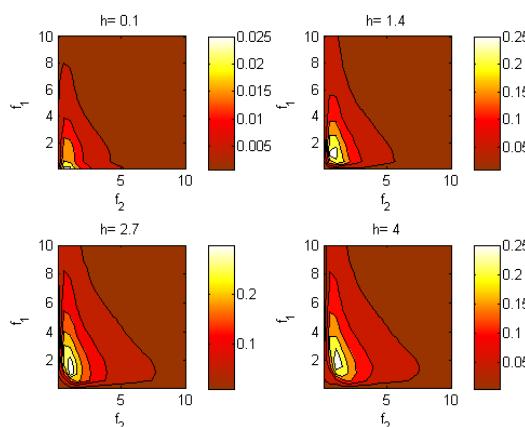
شکل ۵: تغییرات معکوس بدترین حساسیت سینماتیکی انتقالی  $(1 + \max \sigma_p)^{-1}$  نسبت به پارامترهای طراحی.

الگوریتم PSO در بهینه‌سازی معکوس حساسیت سینماتیکی انتقالی به برازندگی ۰/۵۵ همگرا شده است. این مقدار برازندگی، مؤید این است که ربات بهینه دارای دقت  $\max \sigma_p = \frac{1}{0.55} = 1.81$  در حرکات انتقالی است. پاسخ‌های بدست آمده برای پارامترهای طراحی بهینه نیز با شکل ۳ انطباق دارد. در این حالت، پارامتر  $h$  دارای بیشترین مقدار خود، یعنی  $h = 4$ ،  $f_1 = 7.32$  و پارامتر  $f_2$  مقداری نه

## ۵- بهینه سازی چند هدفه ربات کابلی فضایی

در بسیاری از مسائل کاربردی بهینه سازی، نظیر طراحی بهینه مکانیزم‌ها، چندین قید باید به طور همزمان در نظر گرفته شوند. بنابر این مسأله از کیمنه سازی یک معیار خاص پیچیده تر خواهد بود، چرا که ممکن است نقاط بهینه اهداف در تقابل و تضاد با یکدیگر قرار داشته باشند. به کارگیری الگوریتم‌های بهینه سازی تک هدفه در مسائل چند هدفه عموماً با جمع وزن‌دار اهداف امکان پذیر است. با این رویکرد، مسأله بهینه سازی چند هدفه به تک هدفه تبدیل شده و در نهایت یک جواب بهینه معرفی می‌گردد. نحوه انتخاب وزن‌ها از مشکلات به کارگیری این روش است. الگوریتم‌های بهینه سازی چند هدفه با در نظر گرفتن همزمان معیارها، تلاش می‌کنند دسته جواب‌های بهینه غالبی را پیدا کنند که هیچ جواب دیگری از نظر همه اهداف از پاسخ‌های یافت شده بهتر نباشند. پیدا کردن این دسته جواب که به جبهه پرتو معروف است، از مهمترین اهداف الگوریتم‌های بهینه سازی چند هدفه محسوب می‌شود. از این رو الگوریتم‌های تکاملی مانند الگوریتم ژنتیک، بدلیل داشتن ساختار جمعیتی برای بهینه سازی چند هدفه گزینه مناسبی محسوب می‌شوند.

با توجه به ویژگی‌های مثبت ارائه شده در ارتباط با طرح عصایی، در این بخش سعی می‌گردد، جبهه پرتو پارامترهای این طرح با توجه به معیارهای مطرح شده و با استفاده از الگوریتم بهینه سازی چند هدفه NSGA II محاسبه گردد. جزئیات این روش بهینه سازی چند هدفه به تفصیل در [۳۳] بیان شده است. در این مقاله، شرایط و پارامترهای این الگوریتم به شرح زیر انتخاب گردیده‌اند. جمعیت جواب اولیه برابر با ۱۵۰ در نظر گرفته شده و مقادیر پارامترهای جهش و برش به ترتیب برابر با ۰/۲ و ۰/۸ است.



شکل ۵: تغییرات عدد وضعیت عمومی (GCI) ربات نسبت به پارامترهای طراحی.

یک از مهمترین گامهای طرح یک مسئله بهینه سازی چند هدفه، انتخاب صحیح توابع هدف می‌باشد که در این بخش به آن پرداخته می‌شود. با توجه به شکلهای ۲، ۳، ۴ و ۵ می‌توان گفت که هیچ دو هدفی در بیان چهار شاخص طراحی وجود ندارد که روند تغییرات یکسانی نسبت به پارامترهای طراحی داشته باشند، همچنین نقاط بهینه در هیچ یک از موارد فوق یکسان نمی‌باشند. بنابراین حضور هر چهار هدف طراحی در این بهینه سازی چندهدفه ضروری

به نظر می‌رسد. به عنوان مثال، اهداف کنترل پذیری و حساسیت سینماتیکی دورانی در تضاد با هم قرار دارند و قطعاً نقطه بهینه یکسانی ندارند. همچنین، تابع هدف عدد وضعیت عمومی لزوماً با افزایش طول مجری نهایی بهبود نمی‌یابد. در حالی که این موضوع برای سایر اهداف طراحی صدق نمی‌کند. نقاط بهینه توابع هدف حساسیت سینماتیکی انتقالی و حجم فضای کاربردی نیز یکسان نمی‌باشند. بنابر این حضور چهار تابع هدف ضروری به نظر می‌رسد. از بین ۴ هدف بهینه‌سازی، بدترین حساسیت سینماتیکی انتقالی و دورانی، معیارهای کمیته سازی می‌باشند و معیارهای شعاع فضای کاربردی و عدد وضعیت عمومی، شاخص‌هایی هستند که باید تا جای ممکن بیشینه گردند. برای ساده‌تر شدن مسأله می‌توان همگی معیارها را به یک نوع مسأله بهینه‌سازی تبدیل کرد، به عنوان مثال، به جای استفاده از بدترین حساسیت سینماتیکی که یک تابع هدف کمیته سازی است، از تابع  $(1 + \max \sigma)^{-1}$  استفاده کرد تا به یک مسأله بیشینه سازی تبدیل شود و هماهنگی با سایر معیارها گردد. مسأله مهم دیگری که باید مورد توجه قرار گیرد، یکسان نبودن بُرد اهداف و دامنه تغییرات آنها است. به عنوان مثال برد تابع هدف درصد فضای کنترل‌پذیری در بازه  $[0, 1]$  قرار می‌گیرد، در حالی که بدترین حساسیت سینماتیکی می‌تواند هر عددی در بازه  $[0, \infty]$  را شامل باشد. این موضوع باعث می‌شود، تلاش الگوریتم بهینه‌سازی چند هدفه برای کاهش اهداف یکسان نباشد، بنابراین لازم است که برد اهداف یکه شود تا اهمیت تمامی توابع در نظر الگوریتم بهینه‌سازی چند هدفه، یکسان گردد. در راستای نایل شدن به این هدف، استفاده از تابع  $(1 + \max \sigma)^{-1}$  می‌تواند برد نامحدود حساسیت سینماتیکی را در بازه محدود  $[0, 1]$  قرار دهد.

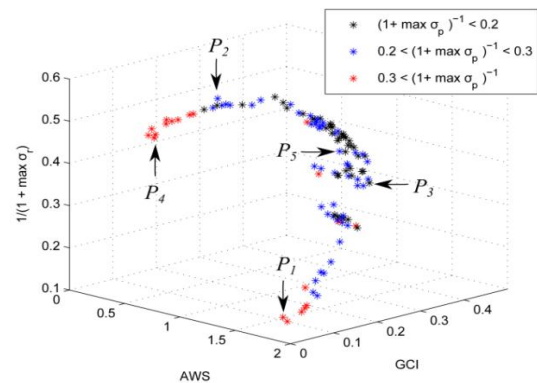
جبهه پرتو بدست آمده در شکل ۶ نمایش داده شده است. باید توجه داشت که در شکل ۶، شعاع فضای کاربردی ASW، عدد وضعیت عمومی GCI، بدترین حساسیت سینماتیکی انتقالی  $\max \sigma_p$  و بدترین حساسیت سینماتیکی دورانی  $\max \sigma_r$  به عنوان چهار هدف طراحی در نظر گرفته و با هم مقایسه شده‌اند. از آنجایی که نمایش بیش از ۳ بعد در دستگاه مختصات مقدور نیست، در شکل ۶ از تغییر رنگ به عنوان بعد چهارم استفاده شده است. باید توجه داشت، نویسندگان به منظور بررسی همگرایی جبهه پرتو، رفتار جبهه پرتو بدست آمده را در طول نسل‌ها بررسی کرده‌اند و با توجه به شباهت جبهه‌های پرتو بدست آمده در طول نسل‌های مختلف، همگرایی پاسخ‌ها را نتیجه گرفته‌اند.

مشخصات تعدادی از نقاط جبهه پرتو بدست آمده توسط الگوریتم NSGA II، در جدول ۳ آورده شده است. این نقاط که در شکل ۶ نیز علامت گذاری شده‌اند، در ادامه به تفصیل بررسی می‌شوند. از میان پاسخ‌های بدست آمده از جبهه پرتو تنها پاسخی مورد قبول هستند که در محدوده‌ی مطلوب زیر باشند:

معیارها، حداقل‌های همه شاخص‌ها را برآورده می‌سازند. به عبارت دیگر هیچ یک از نامساویهای معادله (۲۲) نقض نمی‌گردد. بنابراین پارامترهای طراحی این نقطه می‌توانند به عنوان پارامترهای طراحی ربات کابلی فضایی انتخاب شوند. در نهایت، مشخصات مطلوب بدست آمده در نقطه  $P_5$ ، محققان گروه ارس دانشگاه خواجه نصیرالدین طوسی را که نمونه صفحه‌ای ربات کابلی را در قالب پروژه نصیر ساخته‌اند، قانع کرد که در راستای ارتقای این پروژه، نمونه عملی ربات کابلی طرح عصبایی را با مشخصات بدست آمده در نقطه  $P_5$  پیاده سازی نمایند.

## ۶- نتیجه گیری

در این مقاله، به طراحی ربات‌های کابلی فضایی با شش درجه آزادی پرداخته شد. در راستای حفظ کشش کابل‌ها و جلوگیری از شل شدن آنها در فضای کاری مکانیزم از تعریف فضای کاری کنترل پذیر استفاده شد و به منظور دوری از محاسبات غیر ضرور، استفاده از فضای کاری کاربردی پیشنهاد گردید. همچنین برای سنجش مهارت ربات و میزان دوری از تکینگی، از معیار عدد وضعیت عمومی به عنوان شاخصی مؤثر در بررسی کارایی ربات کابلی استفاده شد. شاخصی که معیاری از یکسانی مهارت ربات در موقعیت‌ها و جهت‌گیری‌های مختلف فضای کاری، ارائه می‌دهد. در نهایت، حساسیت سینماتیکی به عنوان معیاری که معرف دقت ربات است، به تفصیل بررسی گردید و بدترین حساسیت سینماتیکی ربات در فضای کاری کاربردی به عنوان شاخصی قابل ارائه به کاربر و خریدار ربات معرفی شد. برای برآورده کردن تمام شاخص‌های ذکر شده، سعی شد با به کارگیری روش‌های بهینه‌سازی چند هدفه هوشمند، طرح‌های بهینه محاسبه شوند. به علت تقابل و تضاد اهداف، بهینه‌سازی تنها یک هدف در این مسئله به عدم دستیابی به اهداف دیگر منجر می‌شود. به همین منظور از الگوریتم‌های بهینه‌سازی هوشمند NSGA II استفاده شد تا جبهه پرتو بهینه مشخص گردد. تحلیل جواب‌های بدست آمده به عنوان یکی از مهمترین بخش‌های فرآیند بهینه‌سازی چند هدفه انجام شد و نهایتاً جواب‌های قابل قبول با توجه به اهمیت معیارهای طراحی انتخاب شده‌اند.



شکل ۶: جبهه پرتو بدست آمده از الگوریتم NSGA II.

$$(1 + \max \sigma_p)^{-1} > 0.25, AWS > 1 \quad (22)$$

$$(1 + \max \sigma_r)^{-1} > 0.4, GCI > 0.25$$

قیود فوق دلخواه بوده و می‌تواند با توجه به شرایط مسئله تغییر کند. همان‌طور که از جدول ۳ مشخص است، رباتی با پارامترهای طراحی نقطه  $P_1$  از نظر وسعت فضای کاری کاربردی وضعیت بسیار مطلوبی دارد. این مشخصه عالی فضای کاری به بهای از دست دادن سایر معیارها حاصل شده است. به طوری که مابقی معیارها مقدار نامطلوبی پیدا می‌کنند. بنابراین توضیحات فوق، نقطه  $P_1$  با وجود داشتن وسعت فضای کاری مناسب نمی‌تواند به عنوان پارامتر طراحی مناسب انتخاب شود. نقطه  $P_2$  در جدول ۳ از نظر حساسیت سینماتیکی دورانی وضعیت بسیار مطلوبی دارد. اما این نقطه نیز نمی‌تواند تمامی شرایط معادله (۲۲) را ارضا نماید. زیرا که شرایط معادله (۲۲) در ارتباط با معیار وسعت فضای کاری کاربردی و حساسیت سینماتیکی انتقالی نقض می‌گردند. کنترل‌پذیری و حساسیت سینماتیکی نامطلوب نقطه  $P_3$ ، این نقطه را با وجود عدد وضعیت عالی، انتخاب نامطلوبی جهت طراحی ربات کابلی معرفی می‌کند. نقطه  $P_4$  نیز با وجود شرایط بسیار عالی از نظر معیار حساسیت سینماتیکی انتقالی، از نظر حجم فضای کاری کاربردی وضعیت مناسبی ندارد. بنابراین در یک انتخاب چند جانبه نمی‌تواند به عنوان گزینه مناسب مطرح باشد. اما نقطه  $P_5$  از جبهه پرتو محاسبه شده در شکل ۶ ممکن است از دیدگاه یک معیار خاص شرایط بسیار عالی نداشته باشند، اما با در نظر گرفتن همزمان

جدول ۳: مشخصات نقاط تعیین شده در جبهه پرتو بدست آمده از الگوریتم NSGA II.

GCI	شاخص‌های بهینه‌سازی			پارامترهای طراحی			
	$\frac{1}{1 + \max \sigma_r}$	$\frac{1}{1 + \max \sigma_p}$	AWS	$h$ (m)	$f_2$	$f_1$	
۰/۱۳۸۶	۰/۱۵۸۹	۰/۲۱۸۲	۱/۷	۳/۷۲	۱/۴۵	۵/۸۹	نقطه $P_1$
۰/۲۹۳۱	۰/۵۱۷۷	۰/۲۳۱۷	۰/۸۵	۳/۲	۱/۰۷	۱/۱۱	نقطه $P_2$
۰/۴۳۴۹	۰/۳۰۶۷	۰/۲۳۳۲	۰/۹	۲/۰۶	۰/۸۷	۱/۶۹	نقطه $P_3$
۰/۱۶۹۰	۰/۴۲۵۹	۰/۳۷۹	۰/۰۵	۲/۹	۱/۰۲	۰/۶۴	نقطه $P_4$
۰/۳۵۷۷	۰/۴۰۸۵	۰/۲۵۹۸	۱/۲۵	۳/۲	۱/۰۸	۱/۵۵	نقطه $P_5$

### مراجع

- [1] R. Verhoeven. Phd proposal thesis: "Analysis of the Workspace of Tendon-based Stewart Platforms" 2004.
- [2] KHJ Voss, V. Wijk, and JL Herder. "Investigation of a Cable-driven Parallel Mechanism for Interaction with a Variety of Surfaces, Applied to the Cleaning of Free Form Buildings," *Latest Advances in Robot Kinematics*, pages 261–268, 2012.
- [3] S.A. Hamid and N. Simaan. "Design and Synthesis of Wire-actuated Universal-joint Wrists for Surgical Applications," In *Robotics and Automation, 2009. ICRA'09. IEEE International Conference on*, pages 1807–1813. IEEE, 2009.
- [4] G. Rosati, P. Gallina, and S. Masiero. "Design, Implementation and Clinical Tests of a Wire-based Robot for Neurorehabilitation," *Neural Systems and Rehabilitation Engineering, IEEE Transactions on*, 15(4):560–569, 2007.
- [5] L. Dominjon, J. Perret, and A. Lecuyer, "Novel Devices and Interaction Techniques for Humanscale Haptics," *The Visual Computer*, vol. 23, no. 4, pp. 257–266, 2007.
- [6] S. Tadokoro, R. Verhoeven, M. Hiller, and T. Takamori, "A Portable Parallel Manipulator for Search and Rescue at Large-scale Urban Earthquakes and an Identification Algorithm for the Installation in Unstructured Environments," in *Proceedings. of IEEE/RSJ IROS'99.*, Vol. 2. 1999, pp. 1222–1227.
- [7] G. Rosati, P. Gallina, and S. Masiero, "Design, Implementation and Clinical Tests of a Wirebased Robot for Neurorehabilitation," *IEEE Trans. on Neural Systems and Rehabilitation Engineering*, vol. 15, no. 4, pp. 560–569, 2007.
- [8] T. Morizono, K. Kurahashi, and S. Kawamura, "Realization of a Virtual Sports Training System with Parallel Wire Mechanism," in *Robotics and Automation, 1997. Proceedings. 1997 IEEE International Conference on*, vol. 4. IEEE, 1997, pp. 3025–3030.
- [9] T. Higuchi, A. Ming, and J. Jiang-Yu, "Application of Multi-dimensional Wire Cranes in Construction," in *Proceedings of the 5th International Symposium on Robotics in Construction*, 1988, pp. 661–668.
- [10] M. Aref, H. Taghirad, and S. Barissi, "Optimal Design of Dexterous Cable Driven Parallel Manipulators," *International Journal of Robotics*, vol. 1, no. 1, pp. 29–47, 2009.
- [11] P. Bosscher, A. Riechel, and I. Ebert-Uphoff, "Wrench-feasible Workspace Generation for Cable-driven Robots," *Robotics, IEEE Transactions on*, vol. 22, no. 5, pp. 890–902, 2006.
- [12] G. Barrette and C. Gosselin, "Determination of the Dynamic Workspace of Cable-driven Planar Parallel Mechanisms," *Journal of Mechanical Design*, vol. 127, p. 242, 2005.
- [13] H. Osumi, Y. Utsugi, and M. Koshikawa, "Development of a Manipulator Suspended by Parallel Wire Structure," in *Intelligent Robots and Systems, 2000.(IROS 2000). Proceedings. 2000 IEEE/RSJ International Conference on*, vol. 1. IEEE, 2000, pp. 498–503.
- [14] R. Verhoeven and M. Hiller, "Estimating the Controllable Workspace of Tendon-based Stewart Platforms," *Advances in Robot Kinematics*, pp. 277–284, 2000.
- [15] C. Gosselin, J. Angeles, "Singularity Analysis of Closed-loop Kinematic Chains," *Robotics and Automation, IEEE Transactions on*, vol. 6, no. 3, pp. 281–290, 1990.
- [16] T. Yoshikawa, "Analysis and Control of Robot Manipulators with Redundancy," in *The First International Symposium on Robotics Research*. Mit Press Cambridge, MA, 1984, pp. 735–747.
- [17] J. Salisbury and J. Craig, "Articulated Hands," *The International Journal of Robotics Research*, vol. 1, no. 1, pp. 4–17, 1982.
- [18] P. Cardou, S. Bouchard, and C. Gosselin, "Kinematic-sensitivity Indices for Dimensionally Nonhomogeneous Jacobian Matrices," *IEEE Transactions on Robotics*, vol. 26, no. 1, pp. 166–173, 2010.
- [19] A. Fattah and S. Agrawal, "On the Design of Cable-suspended Planar Parallel Robots," *Journal of Mechanical Design*, vol. 127, p. 1021, 2005.
- [20] Sabbavarapu Ramana Babu, Vegesina Ramachandra Raju and Koonam Ramji "Design for Optimal Performance of 3-RPS Parallel Manipulator using Evolutionary Algorithms," *Transactions of the Canadian Society for Mechanical Engineering*, vol. 37, no. 2, pp. 135, 2013.
- [21] F. A. Lara-Molina, J. M. Rosário and D. Dumur, "Multi-Objective Design of Parallel Manipulator Using Global Indices" *Open Mechanical Engineering Journal*, 2010.
- [22] F. Hao, J.-P. Merlet, "Multi-criteria optimal design of parallel manipulators based on interval analysis" *Mechanism and machine theory*, vol. 40, no. 2, pp. 157–171, 2005.
- [23] S. A. Khalilpour, H. D. Taghirad, M. Aliyari Shoorehdeli and M. Tale Masouleh "Applying Evolutionary Algorithms in Multi objective Optimization of Planar Cable-driven Parallel Robots", Submitted to *Modares Mechanical Engineering*, September 2013 (in Persian).
- [24] S. Tadokoro, S. Nishioka, T. Kimura, M. Hattori, T. Takamori, and K. Maeda. "On fundamental design of cable configurations of cable-driven parallel manipulators with redundancy," *Transactions of the Japan Society of Mechanical Engineers. C*, 66(647):2247–2254, 2000.
- [25] R. Verhoeven. "Analysis of the Workspace of Tendon-Based Stewart Platforms" PhD thesis, University atsbibliothek Duisburg, 2004.
- [26] A. Zarif Loloie and H. D. Taghirad. "Controllable Workspace of Cable Driven Redundant Parallel Manipulators by Fundamental Wrench Analysis", vol. 36, no.3 p. 297-313, 2012.
- [27] S. Khalilpour, A. Zarif Loloie, M. Tale Masouleh, and H. Taghirad, "Kinematic Performance Indices Analyzed on Four Planar Cable Robots via Interval Analysis," in *Robotics and Mechatronics (ICRoM), 2013 First RSJ/ISM International Conference on*. IEEE, 2013, pp. 313–318.

- [28] J. Merlet, "Jacobian, Manipulability, Condition Number, and Accuracy of Parallel Robots," *Journal of Mechanical Design*, vol. 128, p. 199, 2006.
- [29] M. Saadatzi, M. Tale Masouleh, H. Taghirad, C. Gosselin, and M. Teshnehlab, "Multi-objective Scale Independent Optimization of 3-RPR Parallel Mechanisms," *Proceedings of the IFToMM*, 2011.
- [30] S. Bouchard and C. M. Gosselin, "Kinematic Sensitivity of a Very Large Cable-driven Parallel Mechanism," in *Proceedings of ASME International Design Engineering Technical Conferences & Computers and Information in Engineering Conference*, 2006.
- [31] M. Saadatzi, M. Masouleh, H. Taghirad, C. Gosselin, and P. Cardou, "Geometric Analysis of the Kinematic Sensitivity of Planar Parallel Mechanisms," *Transactions of the Canadian Society for Mechanical Engineering*, vol. 35, no. 4, p. 477, 2011.
- [32] W. A. Khan and J. Angeles, "The Kinetostatic Optimization of Robotic Manipulators: the Inverse and the Direct Problems," *Journal of mechanical design*, vol. 128, p. 168, 2006.
- [33] D. Kalyanmoy, *Multi Objective Optimization Using Evolutionary Algorithms*. John Wiley and Sons, 2001.



## سنکرون سازی دو شمول دیفرانسیلی لور با وجود پارامترهای نامعلوم و غیرخطی ساز شعاعی در مسیر ورودی‌های کنترلی

علی ابویی<sup>۱</sup>، محمد حائری<sup>۲</sup>

<sup>۱</sup> دانشجوی دکتری مهندسی برق، گروه کنترل، دانشگاه صنعتی شریف، Aliabooe@ee.sharif.edu

<sup>۲</sup> استاد، دانشکده مهندسی برق، گروه کنترل، دانشگاه صنعتی شریف، Haeri@sina.sharif.edu

(تاریخ دریافت مقاله ۱۳۹۲/۳/۲۱، تاریخ پذیرش مقاله ۱۳۹۲/۵/۳۰)

**چکیده:** در این مقاله، مسئله سنکرون سازی دو شمول دیفرانسیلی لور با در نظر گرفتن سه فرض عملی مهم مورد بررسی قرار می گیرد. در این راستا، از تئوری پایداری لیاپانوف برای طراحی ورودی‌های کنترلی به منظور سنکرون سازی شمول‌های لور پیرو و مرجع استفاده می شود. به عنوان فرض اول، بخش معادله دیفرانسیلی شمول‌های لور به صورت یک مجموعه‌ی محدب در نظر گرفته می شود که این نکته می تواند بخشی از عدم قطعیت‌های سیستم دینامیکی توصیف شده با شمول لور را پوشش دهد. ناشناخته بودن پارامترهای شمول دیفرانسیلی لور، فرض دوم این مقاله را تشکیل می دهد. با توجه به فرض سوم، عملگرهای غیرخطی ساز شعاعی در مسیر اعمال ورودی‌های کنترلی به شمول‌های لور در نظر گرفته می شوند. در واقع این فرض آخر، تا حدودی محدودیت‌های پیاده سازی عملی را به علت وجود عملگرها نشان می دهد و چنانچه این موضوع در حین فرآیند طراحی، نادیده انگاشته شود، مشکلاتی را به وجود خواهد آورد. برای ارزیابی کارایی و موثر بودن ورودی‌های کنترلی پیشنهادی، دو شبیه سازی کامپیوتری شامل سنکرون سازی دو شمول دیفرانسیلی لور و یک مثال عملی آن ارائه شده است.

**کلمات کلیدی:** شمول دیفرانسیلی لور، غیرخطی ساز شعاعی، شمول‌های لور مرجع و پیرو، سنکرون سازی.

### Synchronization of Two Lur'e Differential Inclusions with Sector Input Nonlinearity and Unknown Parameters

Ali Abooe, Mohammad Haeri

**Abstract:** This paper deals with the synchronization of two Lur'e differential inclusions containing sector nonlinearity. Lyapunov stability theorem is employed to design the control inputs. The controllers are designed considering three important practical features in physical systems. First, differential equation part of the Lur'e differential inclusion is assumed to be convex. Second, it is presumed that parameters of the Lur'e differential inclusion are not completely known. Third, sector nonlinearities are considered on control inputs applied to the Lur'e differential inclusions. To assess performance and effectiveness of the proposed controllers a numerical example and a rotor dynamic system are simulated.

**Keywords:** Lur'e differential inclusion, Sector nonlinearity, Master and slave Lur'e systems, Synchronization.

مدل سازی دقیق و جامع سیستم‌های عملی و پدیده‌های فیزیکی دارند. در این راستا می توان به کاربرد شمول دیفرانسیلی در مدل سازی سیستم‌های مکانیکی با محدودیت‌های یک طرفه و اصطکاک [۱-۳]، مدارهای الکتریکی دارای المان‌های غیرخطی و سوئیچ شونده [۴ و ۵]، سیستم‌های

#### ۱- مقدمه

امروزه، شمول‌های دیفرانسیلی<sup>۱</sup> کاربردهای گسترده‌ای در

<sup>۱</sup> Differential inclusions



ورودی های کنترلی طراحی شده به صورت مستقیم به سیستم اعمال می شوند و هیچ عملگر یا عنصر غیرخطی ساز در مسیر اعمال ورودی های کنترلی به سیستم وجود ندارد [۲۰-۲۸]. اما همانطوری که می دانیم در پیاده سازی عملی، به علت محدودیت های فیزیکی عملگرها از جمله اشباع<sup>۴</sup> [۲۸]، ناحیه مرده<sup>۵</sup> [۲۹ و ۳۰]، لقی<sup>۶</sup>، هیستریزیس<sup>۷</sup> و ...، همواره توابعی غیرخطی از ورودی های کنترلی به سیستم اعمال می شوند [۲۸-۳۶]. چنانچه در حین فرآیند طراحی سیگنال های کنترلی به این عناصر غیرخطی ساز توجه نشود و نادیده انگاشته شوند، هنگام پیاده سازی عملی با مشکلات عدیده ای از جمله کاهش کارایی، کاهش سرعت پاسخ سیستم و در مواقعی حتی ناپایداری سیستم حلقه بسته روبرو خواهیم شد [۲۹، ۳۱ و ۳۳-۳۶]. با توجه به اهمیت نکته ی ذکر شده، در این مقاله، مسئله ی سنکرون سازی شمول های دیفرانسیلی لور با فرض وجود غیرخطی سازهای شعاعی<sup>۸</sup> در مسیر ورودی های کنترلی مورد بررسی و تحلیل قرار می گیرد و ورودی های کنترلی با استفاده ی مستقیم از تئوری پایداری لیاپانوف طراحی می شوند. نوآوری های مقاله ی حاضر به صورت زیر قابل بیان می باشد.

- ۱- ارائه و معرفی یک نمایش جامع و کامل از شمول دیفرانسیلی لور که در واقع دسته ی وسیع تری از سیستم های عملی را همراه با عدم قطعیت های شان پوشش می دهد. در نمایش جدید، شمول دیفرانسیلی لور به صورت ترکیب یک شمول دیفرانسیلی محدب و یک نگاشت غیرخطی یکنوا در نظر گرفته می شود.
- ۲- تعریف مسئله سنکرون سازی دو شمول دیفرانسیلی لور که در برخی مسائل عملی دارای کاربرد است و یکی از شبیه سازی های این مقاله به کاربرد عملی این موضوع پرداخته است.
- ۳- طراحی ورودی های کنترلی سنکرون ساز با فرض نامعلوم بودن پارامترهای سیستم شمول لور و همچنین فرض وجود غیرخطی ساز شعاعی در مسیر اعمال ورودی ها به سیستم که این فرض ها تا حدود زیادی با محدودیت های سیستم های عملی تطابق دارند.
- ۴- ارائه دو دسته ی جداگانه ورودی های کنترلی سنکرون ساز که ورودی های کنترلی متعلق به دسته ی اول به علت استفاده از تابع ناپیوسته علامت<sup>۹</sup>، دارای سوئیچینگ های فرکانس بالای شدیدی هستند که مشکلاتی از جمله پدیده وزوز (پدیده چترینگ)<sup>۱۰</sup> و کاهش عمر مفید عملگرها را به همراه خواهند داشت. برای ورودی های کنترلی دسته دوم، با جایگزینی تابع ناپیوسته علامت با یک تابع جدید پیشنهادی، این عیب تا حدود زیادی برطرف شده است و سیگنال های کنترلی صاف و هموار هستند. لازم به ذکر است که برای هر دو دسته ی ورودی های کنترلی

متغیر با زمان یا دارای عدم قطعیت متغیر با زمان [۶-۸]، سیستم های هایبرید و سیستم های سوئیچ شونده [۹-۱۳]، سیستم های ناپیوسته و ناهموار [۱۴ و ۱۵] و ... اشاره کرد. تحلیل و فرمول بندی مسائل کنترل بهینه [۱۶ و ۱۷] و همچنین توصیف سیستم های تصادفی [۱۸ و ۱۹]، دو کاربرد مهم و عمده ی دیگر از شمول های دیفرانسیلی می باشند. شمول های دیفرانسیلی، دارای دسته بندی های گوناگونی هستند که شمول دیفرانسیلی لور یکی از انواع پر کاربرد و مهم آن ها می باشد و از ترکیب یک معادله ی دیفرانسیلی و یک نگاشت غیرخطی یکنوا<sup>۱</sup> تشکیل شده است [۱، ۱۴ و ۲۰-۲۷]. همین ساختار ویژه ی شمول لور باعث شده است تا معادلات دینامیکی بسیاری از سیستم های عملی در قالب ساختار این نوع شمول قرار گیرند [۱-۳ و ۲۷-۲۰].

با توجه به نکات و مطالب ذکر شده، امروزه مطالعات و پژوهش های فراوانی بر روی شمول های دیفرانسیلی لور در زمینه های مختلف علوم مهندسی از جمله مهندسی کنترل انجام شده اند که تمرکز اغلب این تحقیقات و پژوهش ها [۲۰-۲۸] بر روی دو موضوع می باشد. موضوع اول، تحلیل پایداری و پایداری سازی شمول های دیفرانسیلی لور با طراحی مناسب ورودی های کنترلی است [۱، ۲۰، ۲۲ و ۲۸]. موضوع دوم، طراحی رویتگر برای شمول های لور می باشد که اهمیت بسزایی در سیستم های مکانیکی با وجود اصطکاک دارد [۲۱ و ۲۳-۲۷]. در برخی از کاربردهای عملی لازم است که دو سیستم مکانیکی یا الکتریکی که معادلاتشان با شمول دیفرانسیلی لور توصیف می شوند، به صورت هماهنگ و سنکرون با هم کار کنند [۱-۴]. با توجه به این نکته، مسئله سنکرون سازی<sup>۲</sup> دو سیستم شمول لور اهمیت پیدا می کند که این موضوع در مقاله ی حاضر مورد بررسی قرار خواهد گرفت. در اغلب تحقیقات و مطالعاتی که در ارتباط با شمول لور انجام شده است [۱ و ۲۰-۲۸]، سه فرض محدودکننده ی غیرعملی و غیرواقعی وجود دارند. در فرض اول، شمول دیفرانسیلی لور به صورت ترکیب یک معادله ی دیفرانسیلی و یک نگاشت غیرخطی یکنوا نمایش داده می شود [۱، ۲۰ و ۲۳-۲۶]، اما در این مقاله، ترکیب یک شمول دیفرانسیلی محدب<sup>۳</sup> و یک نگاشت غیرخطی یکنوا به عنوان نمایش شمول دیفرانسیلی لور ارائه می گردد که حالت جامع تر و کلی تری نسبت به نمایش قبلی دارد و محدوده ی وسیع تری از سیستم های عملی و عدم قطعیت های آن ها را پوشش خواهد داد. فرض دوم، معلوم و مشخص بودن پارامترهای شمول دیفرانسیلی لور می باشد که با توجه به محدودیت های جهان واقعی، فرضی غیرمعقول است. بنابراین در این مقاله، پارامترهای شمول دیفرانسیلی لور را نامعلوم و ناشناخته در نظر می گیریم تا این فرض محدودکننده را حذف کرده باشیم و مدل شمول دیفرانسیلی لور را به واقعیت سیستم های جهان عملی نزدیک سازیم. به عنوان فرض سوم، اکثر مراجع فرض می کنند که

<sup>۴</sup> Saturation

<sup>۵</sup> Dead-zone

<sup>۶</sup> Backlash

<sup>۷</sup> Hysteresis

<sup>۸</sup> Sector input nonlinearities

<sup>۹</sup> Sign function

<sup>۱۰</sup> Chattering phenomenon

<sup>۱</sup> Monotonic set-valued mapping

<sup>۲</sup> Synchronization

<sup>۳</sup> Convex differential inclusion

دارد.  $\mathbb{R}^m \rightarrow \mathbb{R}^m : \rho$ ، یک نگاشت غیرخطی یکنوا با ویژگی های خاص و منحصر به فردی (این ویژگی ها در ادامه بیان خواهد شد) است که  $\omega_x \in \mathbb{R}^m$  نشان دهنده ی خروجی این نگاشت می باشد.  $u_x \in \mathbb{R}^n$  بیانگر بردار ورودی های کنترلی است و  $\mathbb{R}^n \rightarrow \mathbb{R}^n : \phi_x$  به عنوان بردار توابع غیرخطی ساز شعاعی از این ورودی های کنترلی در نظر گرفته می شود که در ادامه به صورت کامل معرفی خواهد شد.

**تعریف ۱:** نگاشت غیرخطی  $\rho(\cdot)$  را در نظر بگیرید، گراف این نگاشت غیرخطی  $\rho(\cdot)$  به صورت Graph( $\rho$ ) نشان داده می شود که به صورت رابطه (۲)، قابل بیان است [۲۱ و ۲۳-۲۷].

$$\text{Graph}(\rho) = \{(x, x^*) | x^* \in \rho(x)\} \quad (2)$$

**تعریف ۲:** نگاشت غیرخطی  $\rho(\cdot)$  یکنوا نامیده می شود اگر گراف آن یعنی Graph( $\rho$ ) یکنوا باشد. این بدان معنی است که برای همی  $x, y \in \mathbb{R}^n$ ،  $x^* \in \rho(x)$  و  $y^* \in \rho(y)$  همواره نامساوی  $(x^* - y^*)^T (x - y) \geq 0$  برقرار است [۲۳-۲۵ و ۲۷].

**فرض ۱:** پارامترهای سیستم شمول دیفرانسیلی لور ثابت، نامعلوم و کراندار در نظر گرفته می شوند. در واقع نامساوی  $\|\theta\| \leq \gamma$  همواره برقرار می باشد که در این رابطه،  $\theta$  بردار پارامترهای شمول لور و  $\gamma$  به عنوان کران بالای این بردار، ثابت و نامعلوم است.

**فرض ۲:** شرط لیب شیتز<sup>۷</sup> برای توابع ماتریسی  $F_j(x)$  برقرار می باشد که این شرط به صورت رابطه (۳)، قابل بیان است. باید توجه داشت که در رابطه (۳)،  $\delta_j$  ثابت های مثبت و معلوم هستند [۲۱ و ۲۳-۲۶].

$$\|F_j(x) - F_j(y)\| \leq \delta_j \|x - y\| \quad (3)$$

$$F_j(0) = 0, j = 1, \dots, M, \sum_{j=1}^M \delta_j = \delta_i$$

**فرض ۳:** نگاشت غیرخطی  $\rho(\cdot)$  یکنوا، محدب، بسته<sup>۸</sup>، کراندار، غیرتهی<sup>۹</sup> و نیمه پیوسته از بالا<sup>۱۰</sup> می باشد [۲۱].

**فرض ۴:** درایه های متعلق به بردار غیرخطی ساز شعاعی  $\mathbb{R}^n \rightarrow \mathbb{R}^n : \phi_x$ ، شرایط غیرخطی ساز شعاعی را برآورده می سازند که رابطه (۴)، این شرایط را به صورت نامساوی نشان می دهد. لازم به ذکر است که ضرایب  $\alpha_{k_x}$  و  $\beta_{k_x}$  ثابت و معلوم هستند [۲۳ و ۲۴].

$$\phi_x(u_x) = [\phi_{x_1}(u_{x_1}) \dots \phi_{x_n}(u_{x_n})]^T \quad (4)$$

$$\alpha_{k_x} u_{k_x}^2 \leq \phi_{k_x}(u_{k_x}) u_{k_x} \leq \beta_{k_x} u_{k_x}^2, \alpha_{k_x}, \beta_{k_x} \geq 0, k = 1, \dots, n$$

**لم ۱ (وجود جواب برای شمول دیفرانسیلی لور):** شمول دیفرانسیلی لور رابطه ی (۱) را با نگاشت غیرخطی  $\rho(\cdot)$  که فرض ۳ را برآورده می سازد، در نظر بگیرید. برای هر  $x_0 \in \mathbb{R}^n$ ، تابع پیوسته ی مطلق<sup>۱۱</sup>  $x(t) \in \mathbb{R}^n$  وجود دارد که یک جواب از شمول دیفرانسیلی لور رابطه ی (۱) با فرض شرایط اولیه  $x(0) = x_0$  است. لازم به ذکر است

پیشنهادی در این مقاله، پایداری سیستم خطای سنکرون سازی شمول های لور با استفاده از تئوری پایداری لیاپانوف به صورت تحلیلی به اثبات رسیده است.

ساختار کلی مقاله بدین صورت است که در بخش دوم، معادلات شمول های دیفرانسیلی لور مرجع و پیرو<sup>۱</sup> ارائه و معرفی می شوند. همچنین تعریف مسئله سنکرون سازی و بیان فرض های انجام شده در همین بخش گنجانده می شوند. طراحی دو دسته ی ورودی های کنترلی سنکرون ساز و اثبات پایداری سیستم دینامیک خطای سنکرون سازی با وجود هر دسته از این ورودی های کنترلی، بخش سوم مقاله را تشکیل خواهد داد. بخش چهارم به ارائه و بیان نتایج شبیه سازی اختصاص یافته و در این بخش دو شبیه سازی جداگانه آورده می شوند که شبیه سازی اول مربوط به سنکرون سازی دو شمول لور عددی است و شبیه سازی دوم در ارتباط با سنکرون سازی دو سیستم دینامیکی drill string است که معادلات دینامیکی هر کدام با شمول دیفرانسیلی لور بیان می شود. نتایج حاصل از این مقاله به صورت خلاصه و جمع بندی شده در بخش پنجم بیان می شود.

**معرفی علائم و اختصارات:** در این مقاله،  $|A|$  بیانگر قدرمطلق ماتریس  $A$  است به طوری که هر درایه آن قدرمطلق درایه ی متناظر در ماتریس  $A$  می باشد.  $\|x(t)\|$  نشان دهنده ی نرم اقلیدسی<sup>۲</sup> بردار  $x(t)$  در لحظه ی  $t$  است.  $L_2$  و  $L_\infty$  به ترتیب بیانگر فضا های توابع انتگرالی مربعی<sup>۳</sup> و توابع کراندار<sup>۴</sup> هستند.

## ۲- توصیف معادلات شمول دیفرانسیلی لور و تعریف مسئله ی سنکرون سازی

سیستم شمول دیفرانسیلی لور با فرض پارامترهای نامعلوم و وجود غیرخطی سازهای شعاعی به صورت رابطه (۱) بیان می شود که در ادامه، این شمول به عنوان شمول لور پیرو در نظر گرفته می شود.

$$\dot{x}(t) \in \text{co}\{A_i x(t)\} + \text{co}\{F_j(x(t))\theta\} + G\omega_x(t) + \phi_x(u_x(t)) \quad (1)$$

$$\omega_x(t) \in -\rho(Hx(t)), i=1, \dots, N, j=1, \dots, M$$

در رابطه (۱)،  $\text{co}$  بیانگر مجموعه محدب<sup>۵</sup>،  $x \in \mathbb{R}^n$  بردار متغیرهای حالت،  $G \in \mathbb{R}^{n \times m}$  و  $H \in \mathbb{R}^{m \times n}$  ماتریس های ثابت و معلوم می باشند. ماتریس های ثابت و معلوم  $A_i \in \mathbb{R}^{n \times n}$  رئوس<sup>۶</sup> فضای ماتریسی محدبی هستند که ماتریس نامعلوم  $A$  به آن فضا تعلق دارد.  $\theta \in \mathbb{R}^l$  بردار پارامترهای کراندار ناشناخته و  $F_j: \mathbb{R}^n \rightarrow \mathbb{R}^{n \times l}$  توابع ماتریسی هموار و معلومی هستند که به عنوان رئوس فضای توابع ماتریسی محدبی در نظر گرفته می شوند که تابع ماتریسی نامعلوم  $F(x)$  در این فضا قرار

<sup>۱</sup> Master and slave Lur'e differential inclusions

<sup>۲</sup> Euclidean norm

<sup>۳</sup> Space of square integral functions

<sup>۴</sup> Bounded functions

<sup>۵</sup> Convex hull

<sup>۶</sup> Vertices

<sup>۷</sup> Lipschitz

<sup>۸</sup> Closed

<sup>۹</sup> Non-empty

<sup>۱۰</sup> Upper semi-continuous

<sup>۱۱</sup> Absolutely continuous

متغیرهای حالت شمول لور پیرو، پاسخ های زمانی متغیرهای حالت متناظر در شمول لور مرجع را به خوبی دنبال و ردیابی کنند یا به عبارت دیگر رابطه  $\lim_{t \rightarrow \infty} |x_i - y_i| = 0$  برقرار شود. بدین منظور، بردار خطای سنکرون سازی را به صورت  $e = x - y, e \in \mathbb{R}^n$  تعریف می کنیم. با در نظر گرفتن این بردار خطا، دینامیک خطای سنکرون سازی میان دو شمول لور مرجع و پیرو به صورت رابطه زیر در می آید.

$$\begin{aligned} \dot{e}(t) = & \sum_{i=1}^N v_i A_i e(t) + \sum_{i=1}^N (\lambda_i - v_i) A_i x(t) \\ & + G(\omega_x(t) - \omega_y(t)) - \Psi_y(u_y(t)) + \phi_x(u_x(t)) \\ & + \sum_{j=1}^M \xi_j (F_j(x) - F_j(y))\theta + \sum_{j=1}^M (\eta_j - \xi_j) F_j(x(t))\theta \end{aligned} \quad (8)$$

با تعریف بردار خطای سنکرون سازی به صورت بالا، مسئلهی سنکرون سازی دو شمول دیفرانسیلی لور به مسئلهی پایدارسازی دینامیک خطای سنکرون سازی رابطه (8) تبدیل می شود. در واقع می توان گفت ورودی های کنترلی اعمالی به شمول لور پیرو، باید به گونه ای طراحی شوند که دینامیک خطای توصیف شده توسط رابطه (8) پایدار شود و خطای سنکرون سازی با گذشت زمان به صفر همگرا گردد یا به عبارتی دیگر رابطه  $\lim_{t \rightarrow \infty} \|e\| = 0$  برای بردار خطای سنکرون سازی برقرار شود. بدین منظور تئوری 1، ورودی های کنترلی  $u_x \in \mathbb{R}^n$  و دو قانون به روزرسانی مرتبط با تخمین دو ثابت نامعلوم  $\gamma$  و  $\kappa$  را پیشنهاد می دهد تا سنکرون سازی میان دو شمول دیفرانسیلی لور (1) و (6) حاصل شود. لازم به ذکر است که ورودی های کنترلی اعمالی به شمول لور پیرو، تحت غیرخطی سازهای شعاعی قرار می گیرند.

**تئوری 1:** دینامیک خطای سنکرون سازی رابطه (8) را همراه با فرض های 1 الی 4 در نظر بگیرید. چنانچه ماتریس مثبت معین متقارن<sup>2</sup>  $P$  وجود داشته باشد که تساوی ماتریسی  $G^T P = H$  را برقرار سازد، آنگاه خطای سنکرون سازی رابطه (8) با در نظر گرفتن بردار ورودی های کنترلی  $u_x \in \mathbb{R}^n$  و دو قانون به روزرسانی که به ترتیب در رابطه های (9) و (10) آورده شده اند، به سمت صفر همگرا می شود و سنکرون سازی میان دو شمول دیفرانسیلی لور (1) و (6) حاصل می شود.

$$\begin{aligned} u_{k_x} = & -\frac{1}{\alpha_{k_x}} \varepsilon_k \mu_k \operatorname{sgn}(\Omega_k), \quad \varepsilon_k > 1 \\ \mu_k = & \left( \sum_{i=1}^N |A_i e| \right)_k + \left( \sum_{i=1}^N |A_i x| \right)_k + \hat{\gamma} \delta_i (\|x\| + \|e\|) + \hat{\kappa} \\ & \text{for } k = 1, \dots, n \\ \hat{\gamma}(0) = & \frac{1}{\delta_i \lambda_{\min}(P) \min(\varepsilon_k - 1)} > 0, \quad \hat{\kappa}(0) \geq 0 \end{aligned} \quad (9)$$

در رابطه (9)،  $(\sum_{i=1}^N |A_i x|)_k$  و  $(\sum_{i=1}^N |A_i e|)_k$ ، به ترتیب درایه های  $k$  ام از بردارهای  $\sum_{i=1}^N |A_i x|$  و  $\sum_{i=1}^N |A_i e|$  هستند.  $\varepsilon_k$  ضریب (ثابت) دلخواه بزرگتر از یک و  $\lambda_{\min}(P)$  کوچکترین مقدار ویژه ماتریس  $P$  می باشد.

که تابع پیوسته ی مطلق  $x(t) \in \mathbb{R}^n$  بر روی بازه ی  $[0, \infty)$  تعریف شده است [27-23].

با توجه به تئوری آنالیز مجموعه های محدب [37-39]، شمول دیفرانسیلی لور (1) می تواند به صورت یک سیستم دارای عدم قطعیت، بازنویسی و معادل شود. سیستم دارای عدم قطعیت معادل با شمول دیفرانسیلی لور رابطه (1)، به صورت رابطه (5) نشان داده شده است.

$$\begin{aligned} \dot{x}(t) = & \sum_{i=1}^N \lambda_i A_i x(t) + G \omega_x(t) + \sum_{j=1}^M \eta_j F_j(x(t))\theta + \phi_x(u_x(t)) \\ \omega_x(t) \in & -\rho(Hx(t)), \end{aligned} \quad (5)$$

در رابطه (5)،  $\lambda_i$  و  $\eta_j$  ثابت های نامعلومی هستند که دارای ویژگی می باشند.

$$0 \leq \lambda_i \leq 1, \quad \sum_{i=1}^N \lambda_i = 1, \quad 0 \leq \eta_j \leq 1, \quad \sum_{j=1}^M \eta_j = 1$$

در حالت کلی، برای مسئلهی سنکرون سازی به دو سیستم مرجع و پیرو نیاز است. در این مقاله برای تعریف مسئلهی سنکرون سازی، شمول دیفرانسیلی لور رابطه (5) به عنوان سیستم پیرو و سیستم شمول دیفرانسیلی لور رابطه (6) به عنوان سیستم مرجع در نظر گرفته می شوند.

$$\begin{aligned} \dot{y}(t) \in & \operatorname{co}\{A_i y(t)\} + \operatorname{co}\{F_j(y(t))\theta\} + G \omega_y(t) + \Psi_y(u_y(t)) \\ \omega_y(t) \in & -\rho(Hy(t)) \end{aligned} \quad (6)$$

در رابطه (6)، بردار متغیرهای حالت شمول دیفرانسیلی لور مرجع می باشد.  $u_y \in \mathbb{R}^n$  بیانگر بردار ورودی های کنترلی و نشان دهنده ی بردار توابع غیرخطی از ورودی های کنترلی است که به سیستم لور مرجع اعمال می شوند. از آنجایی که رابطه (6) سیستم شمول لور مرجع را توصیف می کند، منطقی و معقول است که فرض کنیم بردار  $\Psi_y(u_y)$  ناشناخته و کراندار است به طوری که نامساوی  $\|\Psi_y\| \leq \kappa$  همواره برآورده می شود و  $\kappa$  ثابتی نامعلوم است. مشابه با نکته ذکر شده در بالا، شمول لور رابطه (6)، معادل با سیستم دارای عدم قطعیت رابطه (7) می باشد.

$$\begin{aligned} \dot{y}(t) = & \sum_{i=1}^N v_i A_i y(t) + G \omega_y(t) + \sum_{j=1}^M \xi_j F_j(y(t))\theta + \Psi_y(u_y(t)) \\ \omega_y(t) \in & -\rho(Hy(t)) \end{aligned} \quad (7)$$

در رابطه (7)،  $v_i$  و  $\xi_j$  ثابت های نامعلومی هستند که دارای ویژگی می باشند.

$$0 \leq v_i \leq 1, \quad \sum_{i=1}^N v_i = 1, \quad 0 \leq \xi_j \leq 1, \quad \sum_{j=1}^M \xi_j = 1$$

### 3- طراحی ورودی های کنترلی سنکرون سازی

در این بخش، ورودی های کنترلی  $u_x \in \mathbb{R}^n$  (که به سیستم شمول لور پیرو اعمال می شوند) و همچنین دو قانون به روزرسانی<sup>1</sup> برای دو کران بالای نامعلوم  $\gamma$  و  $\kappa$  به گونه ای طراحی می شوند که پاسخ های زمانی

<sup>2</sup> Symmetric positive definite matrix

<sup>1</sup> Adaptation law

$$\begin{aligned}
 & e^T P \left( \sum_{j=1}^M \xi_j (F_j(x) - F_j(y)) + \sum_{j=1}^M (\eta_j - \xi_j) F_j(x) \right) \theta \\
 & \leq \|e^T P\| \left( \sum_{j=1}^M \|F_j(x) - F_j(y)\| + \sum_{j=1}^M \|F_j(x)\| \right) \|\theta\| \\
 & \leq \|e^T P\| \|\theta\| (\|e\| + \|x\|) \delta_i \leq \|e^T P\| (\|e\| + \|x\|) \gamma \delta_i \\
 & \leq \gamma \delta_i \sum_{k=1}^n |\Omega_k| (\|e\| + \|x\|)
 \end{aligned} \tag{۱۵}$$

با در نظر گرفتن تعریف  $\Omega_k$ ، دو عبارت  $e^T P \phi_x(u_x)$  و  $e^T P \Psi_y(u_y)$  به صورت زیر بازنویسی می شوند.

$$e^T P \phi_x(u_x) = \sum_{k=1}^n \phi_{k_x}(u_{k_x}) \Omega_k \tag{۱۶}$$

$$e^T P \Psi_y(u_y) \leq \|e^T P\| \|\Psi_y(u_y)\| \leq \kappa \|\Omega\|$$

با جایگذاری ورودی های کنترلی پیشنهادی رابطه (۹) در نامساوی غیرخطی ساز شعاعی مرتبط با فرض ۴، رابطه (۱۷) به راحتی نتیجه می شود.

$$\varepsilon_k \mu_k \operatorname{sgn}^2(\Omega_k) \leq -\phi_{k_x}(u_{k_x}) \operatorname{sgn}(\Omega_k) \tag{۱۷}$$

در این رابطه،  $\operatorname{sgn}(\cdot)$  بیانگر تابع علامت می باشد. چنانچه طرفین نامساوی رابطه (۱۷) را در عبارت  $\Omega_k^2$  ضرب کرده و  $|\Omega_k| \operatorname{sgn}(\Omega_k) = |\Omega_k|$  را در نظر بگیریم، با جایگذاری نامساوی حاصله در رابطه (۱۶)، نامساوی رابطه (۱۸) برای عبارت  $e^T P \phi_x(u_x)$  استخراج می شود.

$$e^T P \phi_x(u_x) = \sum_{k=1}^n \phi_{k_x}(u_{k_x}) \Omega_k \leq -\sum_{k=1}^n \varepsilon_k \mu_k |\Omega_k| \tag{۱۸}$$

با جایگذاری (۱۰)، نامساوی های (۱۳) الی (۱۶) و نامساوی (۱۸) در طرف دوم (۱۲)، نامساوی زیر حاصل می گردد.

$$\begin{aligned}
 \dot{V} \leq & \sum_{k=1}^n \left( |\Omega_k| (\mu_k - \hat{\gamma} \delta_i (\|x\| + \|e\|) - \hat{\kappa}) \right) - \sum_{k=1}^n \varepsilon_k \mu_k |\Omega_k| \\
 & + \gamma \delta_i \sum_{k=1}^n |\Omega_k| (\|x\| + \|e\|) + \tilde{\gamma} \delta_i \sum_{k=1}^n |\Omega_k| (\|x\| + \|e\|) \\
 & + \kappa \|\Omega\| + \tilde{\kappa} \|\Omega\|
 \end{aligned} \tag{۱۹}$$

با توجه به نامساوی  $-\sum_{k=1}^n |\Omega_k| \leq -\|\Omega\|$  و تعاریف  $\tilde{\kappa} = \hat{\kappa} - \kappa$  و  $\tilde{\gamma} = \hat{\gamma} - \gamma$  نامساوی رابطه (۱۹) به صورت نامساوی رابطه (۲۰) ساده و بازنویسی می شود.

$$\dot{V} \leq -\sum_{k=1}^n \mu_k |\Omega_k| (\varepsilon_k - 1) \leq 0 \tag{۲۰}$$

نامساوی  $\mu_k \geq \delta_i \|e\| \hat{\gamma}(0)$  به راحتی از روی تعریف  $\mu_k$  در رابطه (۹) قابل دستیابی است. با جایگذاری این نامساوی در رابطه (۲۰)، نامساوی رابطه زیر استخراج می شود.

$$\begin{aligned}
 \dot{V} \leq & -\sum_{k=1}^n \mu_k |\Omega_k| (\varepsilon_k - 1) \leq -\delta_i \hat{\gamma}(0) \|e\| \sum_{k=1}^n |\Omega_k| \min(\varepsilon_k - 1) \\
 & \leq -\delta_i \hat{\gamma}(0) \|e\| \|\Omega\| \min(\varepsilon_k - 1) \\
 & \leq -\delta_i \hat{\gamma}(0) \|e^T P e\| \min(\varepsilon_k - 1) \\
 & \leq -\delta_i \hat{\gamma}(0) \lambda_{\min}(P) \|e\|^2 \min(\varepsilon_k - 1) \leq -\|e\|^2
 \end{aligned} \tag{۲۱}$$

با انتگرال گیری از طرفین نامساوی رابطه (۲۱) از لحظه ی صفر تا لحظه ی

$$\dot{\hat{\gamma}} = \delta_i \sum_{k=1}^n |\Omega_k| (\|x\| + \|e\|) \text{ and } \dot{\hat{\kappa}} = \|\Omega\|, \tag{۱۰}$$

$$\Omega = [\Omega_1 \dots \Omega_n], \Omega_k = \sum_{d=1}^n e_d P_{dk}$$

در رابطه (۱۰)،  $P_{dk}$  درایه ی سطر  $d$  ام و ستون  $k$  ام از ماتریس  $P$  و  $e_d$  درایه ی  $d$  ام از بردار  $e$  می باشد.

**اثبات:** در اینجا، از تئوری پایداری لیاپانوف برای اثبات پایداری دینامیک خطای سنکرون سازی رابطه (۸) با وجود ورودی های کنترلی رابطه (۹) و قوانین به روزرسانی رابطه (۱۰)، استفاده خواهد شد. تابع کاندید لیاپانوف به صورت رابطه (۱۱) در نظر گرفته می شود.

$$V = \frac{1}{2} (e^T P e + \tilde{\gamma}^2 + \tilde{\kappa}^2) \tag{۱۱}$$

در این رابطه،  $\tilde{\gamma} = \hat{\gamma} - \gamma$  و  $\tilde{\kappa} = \hat{\kappa} - \kappa$  به عنوان خطاهای تخمین دو کران ثابت  $\gamma$  و  $\kappa$  تعریف شده اند. در ادامه با مشتق گیری از تابع کاندید لیاپانوف تعریف شده، رابطه (۱۲) نتیجه می شود.

$$\begin{aligned}
 \dot{V} = & e^T P \dot{e} + \tilde{\gamma} \dot{\tilde{\gamma}} + \tilde{\kappa} \dot{\tilde{\kappa}} = e^T P \left( \sum_{i=1}^N v_i A_i e + \sum_{i=1}^N (\lambda_i - v_i) A_i x \right) \\
 & + e^T P \left( \sum_{j=1}^M \xi_j (F_j(x) - F_j(y)) + \sum_{j=1}^M (\eta_j - \xi_j) F_j(x) \right) \theta \\
 & + e^T P \phi_x(u_x) - e^T P \Psi_y(u_y) + \tilde{\gamma} \dot{\tilde{\gamma}} + \tilde{\kappa} \dot{\tilde{\kappa}} + e^T P G (\omega_x - \omega_y)
 \end{aligned} \tag{۱۲}$$

با توجه به فرض  $G^T P = H$ ، تساوی  $e^T P G (\omega_x - \omega_y) = e^T H^T (\omega_x - \omega_y)$  به راحتی حاصل می شود. همچنین از آنجایی که  $\omega_x \in -\rho(Hx)$ ،  $\omega_y \in -\rho(Hy)$  و نگاشت  $\rho(\cdot)$  یکنواست، می توان نامساوی رابطه (۱۳) را نتیجه گرفت.

$$e^T P G (\omega_x - \omega_y) = e^T H^T (\omega_x - \omega_y) = -(Hx - Hy) \cdot (-\omega_x - (-\omega_y)) \leq 0 \tag{۱۳}$$

با توجه به تعریف بردار  $\Omega$  در رابطه (۱۰) و در نظر گرفتن شرایط مرتبط با ثابت های نامعلوم  $\lambda_i$  و  $v_i$ ، عبارت  $e^T P (\sum_{i=1}^N v_i A_i e + \sum_{i=1}^N (\lambda_i - v_i) A_i x)$  که در سمت راست معادله ی (۱۲) وجود دارد، می تواند به صورت رابطه (۱۴) بازنویسی و در ادامه جایگزین شود.

$$\begin{aligned}
 & e^T P \left( \sum_{i=1}^N v_i A_i e + \sum_{i=1}^N (\lambda_i - v_i) A_i x \right) \\
 & \leq \sum_{k=1}^n \left( |\Omega_k| \left( \left( \sum_{i=1}^N |A_i e| \right)_k + \left( \sum_{i=1}^N |A_i x| \right)_k \right) \right) \\
 & = \sum_{k=1}^n \left( |\Omega_k| (\mu_k - \hat{\gamma} \delta_i (\|x\| + \|e\|) - \hat{\kappa}) \right)
 \end{aligned} \tag{۱۴}$$

حال در ادامه با توجه به فرض ۲، نامساوی رابطه (۱۵) برای عبارت  $e^T P (\sum_{j=1}^M \xi_j (F_j(x) - F_j(y)) + \sum_{j=1}^M (\eta_j - \xi_j) F_j(x)) \theta$  حاصل می شود.

$t$  به رابطه (۲۲) خواهیم رسید.

$$V(t) + \int_0^t \|e(\tau)\|^2 d\tau \leq V(0) < \infty \quad (22)$$

از رابطه (۲۲)، دو نامساوی با اهمیت  $V(t) < \infty$  و  $\int_0^\infty \|e(\tau)\|^2 d\tau < \infty$  حاصل می شود. حال با توجه به تعریف تابع کاندید لیاپانوف در رابطه (۱۱) و در نظر گرفتن نامساوی  $V(t) < \infty$  می توان به این نتیجه رسید که  $e(t) \in L_\infty$  است یا به عبارتی دیگر بردار خطای سنکرون سازی کراندار می باشد. نامساوی  $\int_0^\infty \|e(\tau)\|^2 d\tau < \infty$  بیانگر این نکته می باشد که بردار خطای سنکرون سازی همچنین متعلق به فضای توابع انتگرالی مربعی یا به تعبیر ریاضی  $e(t) \in L_2$  است. با در نظر گرفتن  $e(t) \in L_\infty$ ، دینامیک خطای سنکرون سازی رابطه (۸) نشان می دهد که  $\dot{e}(t)$  نیز کراندار بوده و یا به تعبیر ریاضی  $\dot{e}(t) \in L_\infty$  است. حال با توجه به لم باربالت، از آنجایی که  $e(t) \in L_\infty \cap L_2$  و  $\dot{e}(t) \in L_\infty$  می باشد می توان نتیجه گرفت که  $\lim_{t \rightarrow \infty} \|e\| = 0$  برقرار است و بدین ترتیب اثبات تئوری ۱ پایان می پذیرد. ■

**یادآوری ۱:** برای ورودی های کنترلی رابطه (۹)، ضرایب دلخواه (اختیاری)  $\varepsilon_k, k=1, \dots, n$  توسط طراح و همواره بزرگتر از یک انتخاب می شوند که می تواند به عنوان یک درجه آزادی در طراحی منظور شود. اما باید به این نکته توجه داشت که این ضرایب دلخواه بر روی دامنه و انرژی سیگنال های کنترلی و همچنین سرعت همگرایی خطاهای سنکرون سازی تاثیر بسزایی دارند. در واقع بزرگ انتخاب کردن این ضرایب اختیاری، پیشینه دامنه های سیگنال های کنترلی را افزایش داده که از نظر پیاده سازی عملی مطلوب نبوده اما در عوض سرعت همگرایی خطاهای سنکرون سازی به سمت صفر را افزایش می دهد که مطلوب می باشد. بنابراین طراح در هنگام انتخاب ضرایب دلخواه  $\varepsilon_k, k=1, \dots, n$  باید مصالحه ای میان دو معیار ذکر شده یعنی پیشینه دامنه سیگنال کنترلی و سرعت همگرایی خطاهای سنکرون سازی به سمت صفر، انجام دهد.

**یادآوری ۲:** با توجه به ورودی های کنترلی تعریف شده در رابطه (۹)، ماتریس مثبت معین متقارن  $P$  نیز توسط طراح انتخاب می شود و باید همواره تساوی ماتریسی  $G^T P = H$  برقرار باشد. در واقع طراح می تواند با انتخاب مناسب درایه های ماتریس  $P$ ، پیشینه دامنه های سیگنال های کنترلی را کاهش داده و همچنین سرعت همگرایی خطاهای سنکرون سازی به سمت صفر را افزایش دهد.

**یادآوری ۳:** با توجه به اینکه  $\dot{e}(t)$  پیوسته نمی باشد،  $\hat{\gamma}$  و  $\hat{\kappa}$  (که در واقع تخمین دو ثابت نامعلوم  $\gamma$  و  $\kappa$  هستند) به مقادیر واقعی و اسمی دو پارامتر  $\gamma$  و  $\kappa$  همگرا نخواهند شد.

**یادآوری ۴:** از آنجایی که در ساختن ورودی های کنترلی رابطه (۹)، تابع علامت که تابعی ناپیوسته می باشد استفاده شده است، سوئیچینگ های فرکانس بالایی در سیگنال های کنترلی مشاهده خواهد شد. در واقع این سوئیچینگ های فرکانس بالا باعث به وجود آمدن

پدیده نامطلوب وزوز (چترینگ) می شوند که در گذر زمان کاهش عمر مفید عملگرها و رله ها را در پی خواهد شد. برای حذف این سوئیچینگ های فرکانس بالا، ورودی های کنترلی جدیدی به صورت رابطه (۲۳) پیشنهاد می شوند که در این ورودی ها، تابع علامت با یک تابع پیوسته جایگزین شده است.

$$u_{k_x} = -\frac{1}{\alpha_{k_x}} \varepsilon_k u_k^2 \frac{\Omega_k}{|\Omega_k| u_k + \chi_k(t)}, \quad \varepsilon_k > 1$$

$$u_k = \left( \sum_{i=1}^N |A_i e| \right)_k + \left( \sum_{i=1}^N |A_i x| \right)_k + \delta_i (\|x\| + \|e\|) \hat{\gamma} + \hat{\kappa} + |\Omega_k| \quad (23)$$

$$k=1, \dots, n, \quad \hat{\gamma}(0) > 0, \quad \hat{\kappa}(0) > 0$$

در این رابطه،  $\chi_k(t), k=1, \dots, n$  توابعی همواره مثبت با ویژگی  $\int_0^\infty \chi_k(t) dt < \infty$  هستند. در ادامه، تئوری ۲ نشان می دهد که ورودی های کنترلی پیشنهادی رابطه (۲۳) می توانند دو شمول دیفرانسیلی لور رابطه های (۱) و (۶) را با هم سنکرون سازند.

**تئوری ۲:** دینامیک خطای سنکرون سازی رابطه (۸) را همراه با فرض های ۱ الی ۴ در نظر بگیرید. چنانچه ماتریس مثبت معین متقارن  $P$  وجود داشته باشد که تساوی ماتریسی  $G^T P = H$  برقرار گردد، آنگاه ورودی های کنترلی پیشنهادی رابطه (۲۳) همراه با قانون های به روزرسانی رابطه (۱۰)، خطاهای سنکرون سازی سیستم رابطه (۸) را به سمت صفر همگرا می سازند و در واقع سنکرون سازی میان دو شمول لور رابطه های (۱) و (۶) حاصل می شود.

**اثبات:** کاملاً مشابه با اثبات تئوری ۱، رابطه (۲۴) نتیجه می شود.

$$\dot{V} \leq \sum_{k=1}^n (|\Omega_k| (u_k - \hat{\gamma} \delta_i (\|x\| + \|e\|)) - |\Omega_k| - \hat{\kappa}) + \gamma \delta_i \sum_{k=1}^n |\Omega_k| (\|x\| + \|e\|) + e^T P \phi_x(u_x) + \|e^T P\| \kappa + \tilde{\gamma} \delta_i \sum_{k=1}^n |\Omega_k| (\|x\| + \|e\|) + \tilde{\kappa} \|\Omega\| \quad (24)$$

با در نظر گرفتن فرض ۴ و جایگذاری ورودی های کنترلی پیشنهادی رابطه (۲۳) در عبارت  $e^T P \phi_x(u_x) = \sum_{k=1}^n \Omega_k \phi_{k_x}(u_{k_x})$ ، نامساوی رابطه (۲۵) نتیجه می شود. اثبات نامساوی ارائه شده در رابطه (۲۵) همراه با جزئیات بیشتر در پیوست ۱ مقاله آورده شده است.

$$e^T P \phi_x(u_x) = \sum_{k=1}^n \Omega_k \phi_{k_x}(u_{k_x}) \leq -\sum_{k=1}^n \frac{\varepsilon_k u_k^2 \Omega_k^2}{|\Omega_k| u_k + \chi_k(t)} \quad (25)$$

با جایگذاری رابطه (۲۵) در رابطه (۲۴)، به نامساوی رابطه (۲۶) می رسیم.

$$\dot{V} \leq \sum_{k=1}^n (|\Omega_k| (u_k - \hat{\gamma} \delta_i (\|x\| + \|e\|)) - |\Omega_k| - \hat{\kappa}) - \sum_{k=1}^n \frac{\varepsilon_k u_k^2 \Omega_k^2}{|\Omega_k| u_k + \chi_k(t)} + \gamma \delta_i \sum_{k=1}^n |\Omega_k| (\|x\| + \|e\|) + \tilde{\gamma} \delta_i \sum_{k=1}^n |\Omega_k| (\|x\| + \|e\|) + \|\Omega\| \kappa + \tilde{\kappa} \|\Omega\| \quad (26)$$

با توجه به دو تعریف  $\tilde{\gamma} = \hat{\gamma} - \gamma$  و  $\tilde{\kappa} = \hat{\kappa} - \kappa$  و همچنین با در نظر گرفتن  $-\|\Omega\| \leq -\sum_{k=1}^n |\Omega_k|$ ، نامساوی رابطه (۲۶) به صورت نامساوی رابطه (۲۷) ساده و بازنویسی می شود.

$$\dot{V} \leq -\sum_{k=1}^n |\Omega_k|^2 - \sum_{k=1}^n \frac{(\varepsilon_k - 1) u_k^2 \Omega_k^2}{|\Omega_k| u_k + \chi_k(t)} + \sum_{k=1}^n \frac{|\Omega_k| u_k \chi_k(t)}{|\Omega_k| u_k + \chi_k(t)} \quad (27)$$

از آنجایی که تمامی ضرایب ثابت دلخواه  $\varepsilon_k, k=1, \dots, n$  همواره

ثابت های  $\lambda_i, v_i, \eta_j$  و  $\xi_j$  و بردار ورودی های کنترلی  $\Psi_y(u_y)$  به صورت زیر در نظر گرفته شده اند.

$$A_1 = \begin{bmatrix} -1 & 0 & 2 \\ 0 & -5 & 0 \\ 0 & 2 & -1 \end{bmatrix}, A_2 = \begin{bmatrix} -5 & -1 & 0 \\ 0 & -8 & 2 \\ 2 & 0 & -5 \end{bmatrix}, A_3 = \begin{bmatrix} 10 & 0 & 0 \\ 0 & 4 & 0 \\ 0 & 0 & -1 \end{bmatrix}$$

$$H = [6 \ 4 \ -2], F_1(x) = \begin{bmatrix} 0 \\ 1.5\sin(x_1) \\ 0 \end{bmatrix}, F_1(y) = \begin{bmatrix} 0 \\ 1.5\sin(y_1) \\ 0 \end{bmatrix},$$

$$F_2(x) = \begin{bmatrix} 2\sin(x_3) \\ 0 \\ 0 \end{bmatrix}, F_2(y) = \begin{bmatrix} 2\sin(y_3) \\ 0 \\ 0 \end{bmatrix}, G = \begin{bmatrix} 2 \\ 1 \\ -1 \end{bmatrix}, \lambda = \begin{bmatrix} 0.2 \\ 0.3 \\ 0.5 \end{bmatrix},$$

$$v = \begin{bmatrix} 0.95 \\ 0.02 \\ 0.03 \end{bmatrix}, \eta = \begin{bmatrix} 0.8 \\ 0.2 \end{bmatrix}, \xi = \begin{bmatrix} 0.95 \\ 0.05 \end{bmatrix}, \Psi_y(u_y) = \begin{bmatrix} 0.5\sin(t) \\ 0.25 \\ 0.25\sin(2t) \end{bmatrix}.$$

با توجه به دو تابع برداری  $F_1$  و  $F_2$  که در بالا تعریف شده اند و شرط لیب شیتز فرض ۲، ثابت های  $\delta_1, \delta_2$  و  $\delta_3$  به صورت  $\delta_1 = 1.5, \delta_2 = 2$  و  $\delta_3 = 3.5$  نتیجه می شود. پارامتر ناشناخته  $\theta$ ، بردار توابع غیرخطی ساز شعاعی  $\phi_x(u_x)$  مرتبط با سیستم لور پیرو و نگاشت غیرخطی یکنوا  $\rho(\cdot)$  به صورت زیر فرض شده اند.

$$\theta = 1.5, \phi_x(u_x) = \begin{bmatrix} (0.9 - 0.4\sin u_{1x})u_{1x} \\ (0.4 + 0.2\cos u_{2x})u_{2x} \\ (0.8 + 0.4\sin u_{3x})u_{3x} \end{bmatrix},$$

$$\rho(\tau) = \begin{cases} \text{sgn}(\tau)(|\tau| + 2) & \text{if } \tau \neq 0 \\ [-2, 2] & \text{if } \tau = 0 \end{cases}$$

با توجه به بردار توابع غیرخطی ساز در نظر گرفته شده  $\phi_x(u_x)$  ضرایب ثابت  $\alpha_{1x} = 0.5, \alpha_{2x} = 0, \alpha_{3x} = 0, \beta_{1x} = 1.3$  و  $\beta_{2x} = 0.6$  و  $\beta_{3x} = 0.5$  نتیجه می شوند. ماتریس مثبت معین مقارن  $P$ ، به صورت  $P = \text{diag}(3, 4, 2)$  اختیار شده است که تساوی ماتریسی  $H^T P = P H$  نیز همواره برقرار می باشد. بردار ورودی های کنترلی اعمالی به شمول دیفرانسیلی لور پیرو و قوانین به روزرسانی مرتبط با دو پارامتر ثابت ناشناخته  $\gamma$  و  $\kappa$  به صورت رابطه (۳۱) حاصل می شوند. لازم به ذکر است که بردار ورودی های رابطه (۳۱) با استناد به ورودی های کنترلی پیشنهادی رابطه (۹)، نوشته شده اند. بنابراین انتظار خواهیم داشت که سوئیچینگ های فرانکس بالایی در سیگنال کنترلی رخ دهد.

$$\dot{\hat{x}} = 3.5(\|x\| + \|e\|)(3|e_1| + 4|e_2| + 2|e_3|), \hat{x}(0) = 0.5$$

$$\dot{\hat{\kappa}} = \sqrt{9e_1^2 + 16e_2^2 + 4e_3^2}, \hat{\kappa}(0) = 0.25$$

$$\mu_k = \left( \sum_{i=1}^3 |A_i e| \right)_k + \left( \sum_{i=1}^3 |A_i x| \right)_k \quad (31)$$

$$+ 3.5(\|x\| + \|e\|)\hat{\gamma} + \hat{\kappa}, \text{ for } k=1, 2, 3$$

$$u_x = \begin{bmatrix} -2\varepsilon_1 \mu_1 \text{sgn}(e_1) \\ -5\varepsilon_2 \mu_2 \text{sgn}(e_2) \\ -2.5\varepsilon_3 \mu_3 \text{sgn}(e_3) \end{bmatrix}, \varepsilon_1 = \varepsilon_2 = \varepsilon_3 = 1.1$$

شکل های ۱ تا ۴ نتایج شبیه سازی مرتبط با سنکرون سازی میان دو شمول دیفرانسیلی لور رابطه ۳۰ را با اعمال ورودی های کنترلی رابطه ۳۱ نشان می دهند. شکل ۱ پاسخ های زمانی متغیرهای حالت را با در نظر گرفتن شرایط اولیه  $y(0) = [-2 \ -1.5 \ -1]^T$  و  $x(0) = [1 \ 1 \ -3]^T$  نشان می دهد. نمودار خطای سنکرون سازی در شکل ۲ به تصویر کشیده شده

بزرگتر از یک انتخاب می شوند بنابراین عبارت دوم از طرف راست نامساوی (۲۷) همواره منفی است. از طرف دیگر می دانیم که برای هر دو مقدار مثبت حقیقی  $a$  و  $b$ ، نامساوی  $0 \leq ab / (a+b) \leq b$  همواره برقرار است. بنابراین با در نظر گرفتن نکات ذکر شده، نامساوی رابطه (۲۷) به آسانی به نامساوی رابطه (۲۸) تبدیل می گردد.

$$\dot{V} \leq -\|\Omega\|^2 + \sum_{k=1}^n \chi_k(t) \quad (28)$$

با انتگرال گیری از رابطه (۲۸) از لحظه ی صفر تا لحظه ی  $t$ ، و در نظر گرفتن ویژگی  $\int_0^\infty \chi_k(t) dt < \infty$ ، نامساوی رابطه (۲۹) حاصل می شود.

$$V(t) + \int_0^t \|\Omega(\tau)\|^2 d\tau \leq V(0) + \sum_{k=1}^n \int_0^t \chi_k(\tau) d\tau < \infty \quad (29)$$

دو نامساوی مهم  $V(t) < \infty$  و  $\int_0^\infty \|\Omega(\tau)\|^2 d\tau < \infty$  از رابطه (۲۹) نتیجه می شوند. با توجه به تعریف تابع کاندید لیاپانوف  $V(t)$  و نامساوی  $V(t) < \infty$  می توان نتیجه گرفت که بردار خطاهای سنکرون سازی کراندار بوده و به تعبیر ریاضی  $e(t) \in L_\infty$  است. با توجه به تعریف بردار  $\Omega$ ، نامساوی  $\int_0^\infty \|\Omega(\tau)\|^2 d\tau < \infty$  نشان می دهد که  $e(t) \in L_2$  است. با در نظر گرفتن  $e(t) \in L_\infty$ ، دینامیک خطای سنکرون سازی رابطه (۸) نشان می دهد که  $\dot{e}(t)$  نیز کراندار بوده و به تعبیر ریاضی  $\dot{e}(t) \in L_\infty$  است. حال با توجه به لم باربالت، از آنجایی که  $\dot{e}(t) \in L_\infty$  و  $e(t) \in L_\infty \cap L_2$  می باشند می توان نتیجه گرفت که  $\lim_{t \rightarrow \infty} \|e\| = 0$  برقرار است و بدین ترتیب اثبات تئوری ۲ پایان می پذیرد. ■

#### ۴- نتایج شبیه سازی کامپیوتری

در این بخش، ورودی های کنترلی طراحی شده بر روی دو مثال مورد شبیه سازی قرار خواهند گرفت تا عملکرد و کارایی آنها نشان داده شود. در زیربخش (۴-۱)، هر دو دسته ی ورودی های کنترلی رابطه های (۹) و (۲۳) برای سنکرون سازی دو شمول دیفرانسیلی لور مورد شبیه سازی قرار می گیرند. در زیربخش (۴-۲)، معادلات دینامیکی دو سیستم drill string معرفی می شوند که معادلات هر کدام از این دو سیستم در قالب شمول دیفرانسیلی لور قابل بیان است. در شبیه سازی مرتبط با این زیربخش نیز هر دو دسته ی ورودی های کنترلی مورد استفاده قرار می گیرند.

#### ۴-۱ شبیه سازی مرتبط با سنکرون سازی دو شمول دیفرانسیلی لور

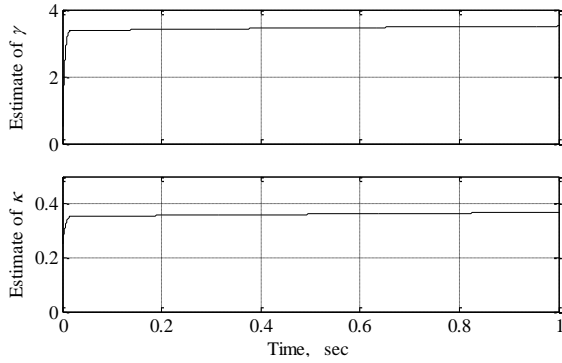
دو شمول دیفرانسیلی لور پیرو و مرجع را به صورت رابطه (۳۰) در نظر بگیریم.

$$\text{Master: } \begin{cases} \dot{y} = \sum_{i=1}^3 v_i A_i y + G \omega_y + \sum_{j=1}^2 \xi_j F_j(y) \theta + \Psi_y(u_y) \\ \omega_y \in -\rho(Hy) \end{cases} \quad (30)$$

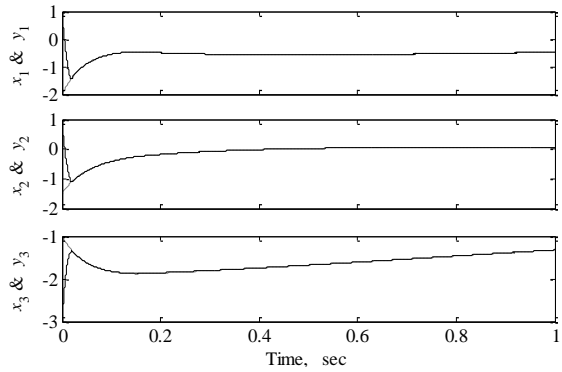
$$\text{Slave: } \begin{cases} \dot{x} = \sum_{i=1}^3 \lambda_i A_i x + G \omega_x + \sum_{j=1}^2 \eta_j F_j(x) \theta + \phi_x(u_x) \\ \omega_x \in -\rho(Hx) \end{cases}$$

ماتریس های  $A_i, G$  و  $H$ ، توابع برداری هموار  $F_j(y)$  و  $F_j(x)$

لور پیرو

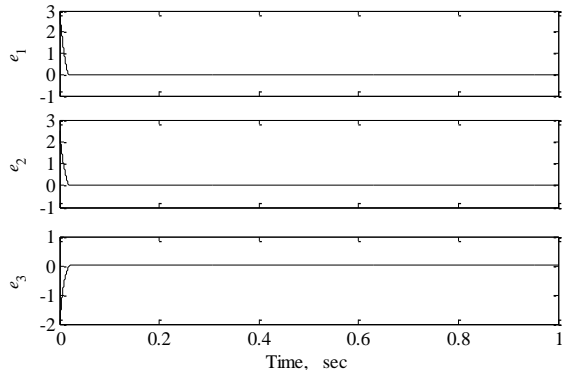


شکل ۴: پاسخ های زمانی  $\hat{\gamma}$  و  $\hat{\kappa}$  با وجود ورودی های کنترلی (۳۱)



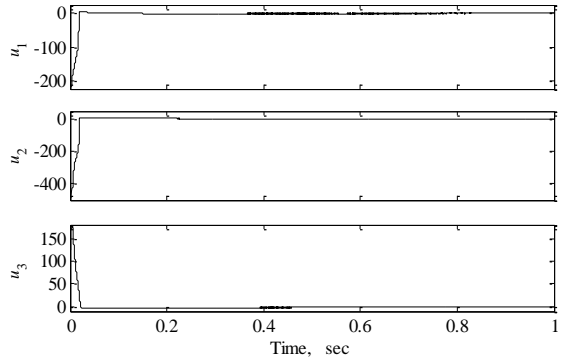
شکل ۵: پاسخ زمانی های متغیرهای حالت دو شمول دیفرانسیلی لور مرجع و پیرو

رابطه (۳۰) با اعمال ورودی های کنترلی (۳۲)



شکل ۶: پاسخ های زمانی خطاهای سنکرون سازی دو شمول دیفرانسیلی لور مرجع

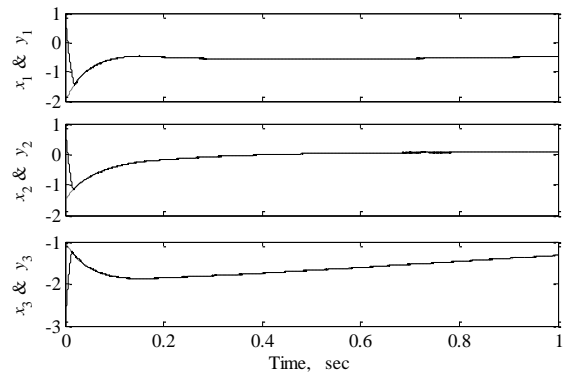
و پیرو رابطه (۳۰) با اعمال ورودی های کنترلی (۳۲)



شکل ۷: ورودی های کنترلی  $u_x$  رابطه ی (۳۲) اعمال شده به شمول دیفرانسیلی

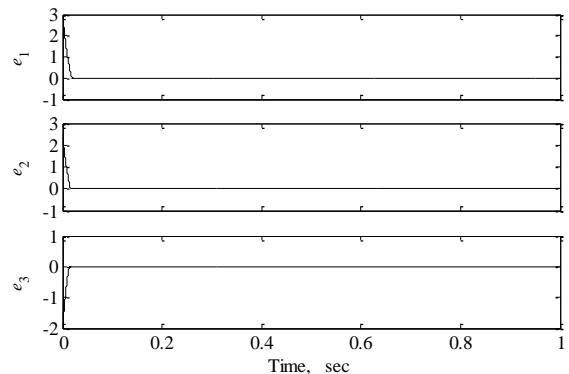
لور پیرو

است. با دقت در شکل ۲ می توان دید که همه ی خطاهای سنکرون سازی تقریباً بعد از گذشت ۰.۰۲ ثانیه به صفر همگرا شده اند. شکل ۳ ورودی های کنترلی  $u_x$  را که به سیستم لور پیرو اعمال شده اند، نشان می دهد. همانطوری که از قبل نیز پیش بینی شده بود، سوئیچینگ های فرکانس بالا در سیگنال های کنترلی دیده می شود. شکل ۴ پاسخ های زمانی مرتبط با  $\hat{\gamma}$  و  $\hat{\kappa}$  را نشان می دهد که در واقع تخمین دو پارامتر ثابت ناشناخته ی  $\gamma$  و  $\kappa$  هستند. با دقت در شکل ۴ مشخص می شود که مقادیر تخمین پارامترهای  $\gamma$  و  $\kappa$  به ۳.۶ و ۰.۳۸ همگرا شده اند که با مقادیر اصلی این پارامترهای ثابت ناشناخته  $\gamma = 1.5$  و  $\kappa = 0.3124$  متفاوت هستند که این موضوع در واقع تاییدی بر یادآوری ۳ می باشد.



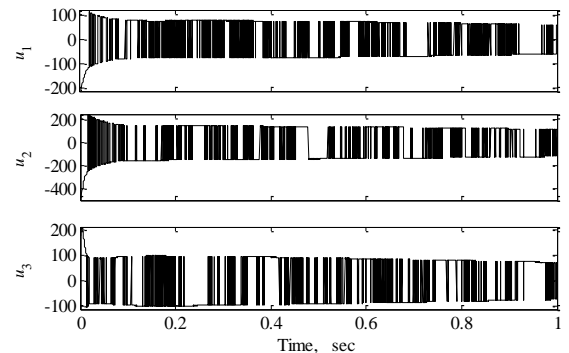
شکل ۱: پاسخ زمانی های متغیرهای حالت دو شمول دیفرانسیلی لور مرجع و پیرو

رابطه (۳۰) با اعمال ورودی های کنترلی رابطه (۳۱)



شکل ۲: پاسخ های زمانی خطاهای سنکرون سازی دو شمول دیفرانسیلی لور مرجع

و پیرو رابطه (۳۰) با اعمال ورودی های کنترلی رابطه (۳۱)



شکل ۳: ورودی های کنترلی  $u_x$  رابطه ی (۳۱) اعمال شده به شمول دیفرانسیلی

متصل کرده است که هر دو دیسک می توانند حول مرکزهای هندسی خود به راحتی بچرخند. وضعیت های زاویه ایی مرتبط با هر یک از دو دیسک با استفاده از دو انکودر افزایشی<sup>۲</sup> جداگانه اندازه گیری می شوند. معادلات دینامیکی توصیف کننده این سیستم در رابطه (۳۳) آورده شده است [۱ و ۱۴].

$$\begin{aligned} J_u \ddot{\theta}_u + k_\theta(\theta_u - \theta_l) + T_{fu}(\dot{\theta}_u) - k_m u &= 0 \\ J_L \ddot{\theta}_L - k_\theta(\theta_u - \theta_l) + T_{fl}(\dot{\theta}_l) &= 0 \end{aligned} \quad (33)$$

در این رابطه،  $u$  بیانگر ورودی کنترلی (همان ولتاژ ورودی به موتور DC است که مقدار آن به بازه  $[-5V, 5V]$  محدود می باشد)،  $\theta_u$  و  $\theta_l$  نیز به ترتیب بیانگر وضعیت زاویه ایی دیسک بالایی و پایینی می باشند.  $J_u$ ،  $J_L$ ،  $k_\theta$ ،  $k_m$  و ضرایب ثابتی هستند که مقادیرشان در جدول ۱ آورده شده است.  $T_{fu}$  بیانگر گشتاور اصطکاکی است که بر روی دیسک بالایی وارد شده و این گشتاور با استفاده از رابطه (۳۴) بیان می شود [۱ و ۱۴].

$$T_{fu}(\dot{\theta}_u) = \begin{cases} T_{cu}(\dot{\theta}_u) \operatorname{sgn}(\dot{\theta}_u) - (b_u - \Delta b_u) \dot{\theta}_u & \text{for } \dot{\theta}_u = 0 \\ [-T_{su} + \Delta T_{su}, T_{su} + \Delta T_{su}] & \text{for } \dot{\theta}_u \neq 0 \end{cases} \quad (34)$$

$$T_{cu}(\dot{\theta}_u) = T_{su} + \Delta T_{su} \operatorname{sgn}(\dot{\theta}_u) + b_u |\dot{\theta}_u| + \Delta b_u \dot{\theta}_u$$

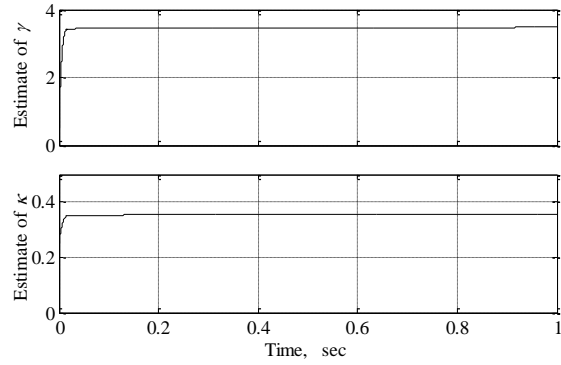
در این رابطه،  $b_u$ ،  $T_{su}$ ،  $\Delta T_{su}$ ،  $\Delta b_u$  ضرایب ثابتی هستند که مقادیرشان در جدول (۱) آورده شده است.  $T_{fl}$  نیز به طور مشابه بیانگر گشتاور اصطکاکی است که بر روی دیسک پایینی وارد شده و با رابطه (۳۵) توصیف می شود.

$$T_{fl}(\dot{\theta}_l) = \begin{cases} T_{cl}(\dot{\theta}_l) \operatorname{sgn}(\dot{\theta}_l) + 0.1 \dot{\theta}_l & \text{for } \dot{\theta}_l \neq 0 \\ [-T_{sl}, T_{sl}] & \text{for } \dot{\theta}_l = 0 \end{cases} \quad (35)$$

در رابطه (۳۵)،  $T_{cl}$ ،  $T_{sl}$ ،  $\delta_{sl}$ ،  $b_l$  ضرایب ثابتی هستند که مقادیرشان در جدول ۱ آورده شده است.

جدول ۱: مقادیر ضرایب ثابت مدل دینامیکی سیستم Drill-string [۱ و ۱۴]

پارامتر	مقدار	واحد
$k_m$	4.3228	[N.m/v]
$J_u$	0.4765	[kg.m <sup>2</sup> ]
$T_{su}$	0.37975	[N.m]
$\Delta T_{su}$	-0.00575	[N.m]
$b_u$	2.4245	[kg.m <sup>2</sup> /rad.sec]
$\Delta b_u$	-0.0084	[kg.m <sup>2</sup> /rad.sec]
$k_\theta$	0.075	[N.m/rad]
$J_L$	0.035	[kg.m <sup>2</sup> ]
$T_{sl}$	0.26	[N.m]
$T_{cl}$	0.05	[N.m]
$\omega_{sl}$	2.2	[rad/sec]
$\delta_{sl}$	1.5	[-]
$b_l$	0.009	[kg.m <sup>2</sup> /rad.sec]



شکل ۸: پاسخ های زمانی  $\hat{\gamma}$  و  $\hat{\kappa}$  با وجود ورودی های کنترلی (۳۲)

شبه سازی های مرتبط با همین زیربخش را با اعمال ورودی های کنترلی رابطه (۳۲) تکرار می کنیم تا سوئیچینگ های فرکانس بالا کاهش یافته و سیگنال های کنترلی اعمالی به شمول لور پیرو تا حدود زیادی صاف و هموار شوند. ورودی های کنترلی رابطه (۳۲) با استناد به ورودی های کنترلی پیشنهادی رابطه (۲۳) نوشته شده اند.

شکل های ۵ الی ۸ نتایج شبه سازی مرتبط با سنکرون سازی دو شمول لور مرجع و پیرو رابطه (۳۰) را با وجود ورودی های کنترلی رابطه (۳۲) نشان می دهند. پاسخ های زمانی دو شمول لور مرجع و پیرو و همچنین خطاهای سنکرون سازی به ترتیب در شکل های ۵ و ۶ آورده شده اند. شکل ۷ ورودی های کنترلی رابطه (۳۲) را به تصویر می کشد که با دقت در این شکل می توان تشخیص داد که سوئیچینگ های فرکانس بالا حذف شده اند. شکل ۸ نیز پاسخ های زمانی مرتبط با  $\hat{\gamma}$  و  $\hat{\kappa}$  را نشان می دهد.

$$u_x = \begin{bmatrix} -2\varepsilon_1 v_1^2 \frac{3e_1}{|3e_1 v_1 + \chi_1(t)|} \\ -5\varepsilon_2 v_2^2 \frac{4e_2}{|4e_2 v_2 + \chi_2(t)|} \\ -2.5\varepsilon_3 v_3^2 \frac{2e_3}{|2e_3 v_3 + \chi_3(t)|} \end{bmatrix}, \varepsilon_1 = \varepsilon_2 = \varepsilon_3 = 1.1 \quad (32)$$

$$u_k = \left( \sum_{i=1}^3 |A_i e^i| \right)_k + \left( \sum_{i=1}^3 |A_i x^i| \right)_k + 3.5(|x| + \|e\|) \hat{\gamma} + \hat{\kappa} + \Omega_k, \text{ for } k = 1, 2, 3$$

$$\Omega = [3e_1 \quad 4e_2 \quad 2e_3], \chi_k(t) = 5e^{-0.001t}$$

$$\dot{\gamma} = 3.5(|x| + \|e\|)(3e_1 + 4e_2 + 2e_3), \gamma(0) = 0.5$$

$$\dot{\kappa} = \sqrt{9e_1^2 + 16e_2^2 + 4e_3^2}, \kappa(0) = 0.25$$

### ۲-۴ شبه سازی مرتبط با سنکرون سازی دو سیستم Drill String

در این زیربخش، ابتدا سیستم drill string [۱ و ۱۴] و اجزای تشکیل دهنده آن به طور مختصر معرفی می شوند. همچنین در ادامه، معادلات دینامیکی این سیستم همراه با پارامترهای موجود در آن معرفی خواهند شد. این دستگاه شامل تقویت کننده توان، موتور DC، دو دیسک چرخشی (یک دیسک چرخشی بالایی و یک دیسک چرخشی پایینی) و میله با سختی کم<sup>۱</sup> می باشد. موتور DC از طریق یک گیربکس به دیسک بالایی متصل بوده و ولتاژ ورودی موتور DC از طریق کامپیوتر به آن داده می شود. میله با سختی کم به گونه ایی دو دیسک بالایی و پایینی را به هم

<sup>۲</sup> Incremental encoder

<sup>۱</sup> Low-stiffness string

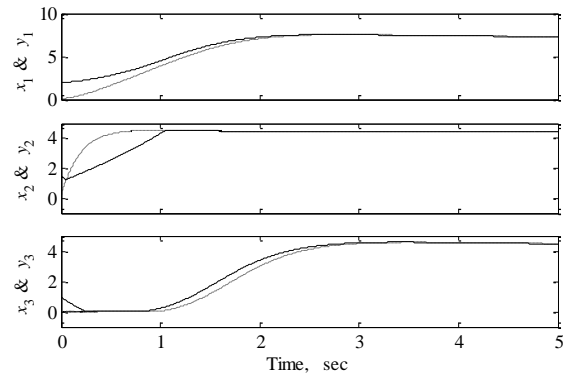


به صورت  $\alpha_{2_x} = k_m / J_u$  نتیجه می شود. ماتریس مثبت معین متقارن  $P$  نیز به صورت  $P = \text{diag}(0.5, J_u, J_l)$  انتخاب شده است که برای این مثال شرط تساوی ماتریسی  $G^T P = H$  را برآورده می سازد. بردار ورودی های کنترلی اعمالی به سیستم drill string پیرو به صورت رابطه (۳۸) حاصل می شود.

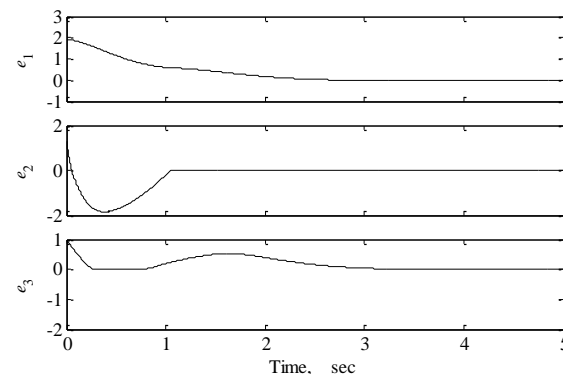
$$\begin{aligned} \dot{\hat{K}} &= \sqrt{0.25e_1^2 + J_u^2 e_2^2 + J_l^2 e_3^2}, \hat{K}(0) = 1 \\ \mu_1 &= \mu_3 = 0, \mu_2 = (\sum_{i=1}^2 |A_i e|)_2 + (\sum_{i=1}^2 |A_i x|)_2 + \hat{K} \end{aligned} \quad (38)$$

$$u_x = \begin{bmatrix} 0 \\ -\frac{J_u}{k_m} \varepsilon_2 \mu_2 \text{sgn}(e_2) \\ 0 \end{bmatrix}, \varepsilon_2 = 1.1$$

شکل های ۹ الی ۱۲ نتایج مرتبط با سنکرون سازی دو سیستم drill string رابطه های (۳۶) و (۳۷) را با وجود ورودی های کنترلی رابطه (۳۸)، نشان می دهند. پاسخ های زمانی متغیرهای حالت دو سیستم مرجع و پیرو در شکل ۹ آورده شده است و شرایط اولیه برای این دو سیستم به صورت  $x(0) = [2 \ 1.5^T]$  و  $y(0) = [0.1 \ 0.2 \ 0.1]^T$  است. شکل ۱۰ پاسخ زمانی خطاهای سنکرون سازی مرتبط با دو سیستم رابطه های (۳۶) و (۳۷) را به تصویر می کشد که تقریباً بعد از گذشت ۳ ثانیه، متغیرهای متناظر با هم سنکرون شده و تمامی خطاهای سنکرون سازی به صفر همگرا شده اند.



شکل ۹: پاسخ های زمانی متغیرهای حالت دو سیستم drill string مرجع و پیرو با اعمال ورودی های کنترلی (۳۸)



شکل ۱۰: پاسخ های زمانی خطاهای سنکرون سازی دو سیستم drill string با اعمال ورودی های کنترلی (۳۸)

با انتخاب بردار متغیرهای حالت به صورت  $y = [y_1 \ y_2 \ y_3]^T = [\theta_u - \theta_l \ \dot{\theta}_u \ \dot{\theta}_l]^T$  سیستم drill-string مرجع در قالب معادلات سیستم شمول لور به صورت رابطه (۳۶) نتیجه می گردد.

$$\dot{y} = Ay + G\omega_y + \Psi_y(u_y), \omega_y \in -\rho(Hy) \quad (36)$$

در این رابطه، ماتریس های  $H \in \mathbb{R}^{2 \times 3}$  و  $G \in \mathbb{R}^{3 \times 2}$ ،  $A \in \mathbb{R}^{3 \times 3}$  نگاشت غیرخطی یکنوای  $\rho(Hy) \in \mathbb{R}^2$  و بردار ورودی های کنترلی  $\Psi_y(u_y) \in \mathbb{R}^3$  به صورت زیر قابل بیان هستند.

$$A = \begin{bmatrix} 0 & 1 & -1 \\ -k_\theta/J_u & 0 & 0 \\ k_\theta/J_l & 0 & 0 \end{bmatrix}, G = \begin{bmatrix} 0 & 0 \\ 1/J_u & 0 \\ 0 & 1/J_l \end{bmatrix}, H = \begin{bmatrix} 0 & 1 & 0 \\ 0 & 0 & 1 \end{bmatrix}$$

$$\rho \begin{bmatrix} y_2 \\ y_3 \end{bmatrix} = \begin{bmatrix} T_{fu}(y_2) \\ T_{fl}(y_3) \end{bmatrix}, \Psi_y(u_y) = \begin{bmatrix} 0 \\ \frac{k_m}{J_u} u_2 \\ 0 \end{bmatrix}$$

همانطوری که در بالا نیز ذکر شد باید توجه داشت که  $u_2$  در واقع ولتاژ ورودی به بخش درایو بوده که همواره مقدار این ولتاژ باید در محدوده  $[-5V, 5V]$  قرار داشته باشد تا آسیبی به اجزای الکتریکی سیستم وارد نشود. در این مثال، فرض کرده ایم که ولتاژ ورودی به سیستم drill string مرجع، مقدار ثابت  $u_2 = 2.7$  است. ماتریس  $A$  نیز به صورت ترکیب خطی محدب دو ماتریس معلوم  $A_1$  و  $A_2$  نوشته می شود که در زیر این ترکیب خطی نشان داده شده است. باید توجه داشت که در ادامه در طراحی ورودی های کنترلی برای سیستم drill string پیرو، فرض می شود که دو ضریب ثابت  $U_1$  و  $U_2$  نامعلوم هستند و در اختیار طراح قرار ندارند.

$$A_1 = \begin{bmatrix} 0 & 2 & -2 \\ -3k_\theta/J_u & 0 & 0 \\ 9k_\theta^u/J_l & 0 & 0 \end{bmatrix}, A_2 = \begin{bmatrix} 0 & 8 & -8 \\ -7k_\theta & 0 & 0 \\ k_\theta^u & 0 & 0 \end{bmatrix}, v = \begin{bmatrix} U_1 \\ U_2 \end{bmatrix} = \begin{bmatrix} 0.1 \\ 0.9 \end{bmatrix}$$

$A = U_1 A_1 + U_2 A_2$   
معادلات دینامیکی سیستم drill string پیرو نیز به صورت رابطه (۳۷) در نظر گرفته می شوند.

$$\dot{x} = \sum_{i=1}^2 \lambda_i A_i x + G\omega_x + \phi_x(u_x), \omega_x \in -\rho(Hx), \quad (37)$$

$$\lambda = \begin{bmatrix} \lambda_1 \\ \lambda_2 \end{bmatrix} = \begin{bmatrix} 0.1 \\ 0.9 \end{bmatrix}, \phi_x(u_x) = \begin{bmatrix} 0 \\ \frac{k_m}{J_u} u_{2_x} \\ 0 \end{bmatrix}$$

در ادامه فرض می کنیم که دو ضریب ثابت  $\lambda_1$  و  $\lambda_2$  نامعلوم هستند و در اختیار طراح قرار ندارند. برای سنکرون سازی دو سیستم drill string مرجع و پیرو، بردار ورودی های کنترلی  $u_x = [0 \ u_{2_x} \ 0]^T$  باید چنان طراحی شود که متغیرهای حالت سیستم drill string پیرو متغیرهای حالت متناظر سیستم مرجع را به خوبی دنبال کنند و خطاهای میان متغیرهای حالت متناظر به سمت صفر همگرا شوند. با توجه به بردار غیرخطی ساز  $\phi_x(u_x)$  که در رابطه (۳۷) در نظر گرفته شده است، ضریب ثابت  $\alpha_{2_x}$

$$u_x = \begin{bmatrix} 0 \\ -\frac{J_u e_2}{k_m \varepsilon_2 v_2^2} \frac{J_u e_2}{|J_u e_2| v_2 + \chi_2(t)} \\ 0 \end{bmatrix}, \quad (39)$$

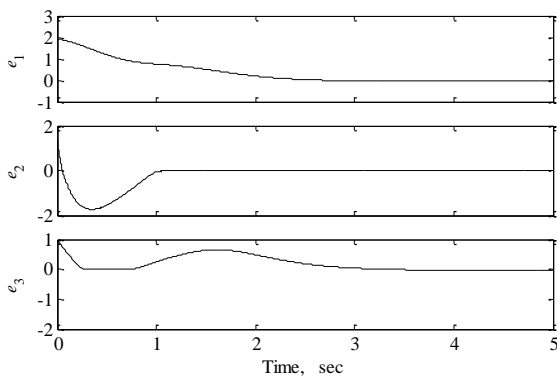
$$\varepsilon_2 = 1.1, \chi_2(t) = 0.15e^{-0.005t}, v_1 = v_3 = 0,$$

$$\hat{\kappa} = \sqrt{0.25e_1^2 + J_u^2 e_2^2 + J_l^2 e_3^2}, \hat{\kappa}(0) = 1,$$

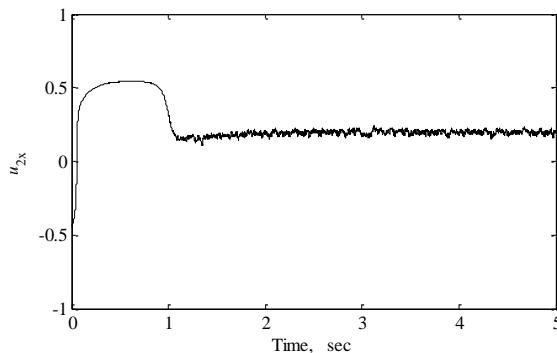
$$v_2 = \left( \sum_{i=1}^2 |A_i e_i| \right)_2 + \left( \sum_{i=1}^2 |A_i x_i| \right)_2 + \hat{\kappa} + |J_u e_2|,$$

شکل های ۱۳ الی ۱۶ نتایج شبیه سازی مرتبط با سنکرون سازی دو سیستم رابطه های (۳۶) و (۳۷) را با وجود اعمال ورودی کنترلی رابطه (۳۹) به سیستم drill string پیرو نشان می دهند. لازم به ذکر است که تمامی شرایط اولیه به طور مشابه و یکسان با شبیه سازی قبل انتخاب شده اند و در واقع فقط ورودی کنترلی رابطه (۳۹) جایگزین ورودی کنترلی رابطه (۳۸) شده است. شکل های ۱۳ و ۱۴ به ترتیب پاسخ های زمانی متغیرهای حالت دو سیستم drill string مرجع و پیرو و خطاهای سنکرون سازی را با اعمال ورودی کنترلی رابطه (۳۹) نشان می دهند.

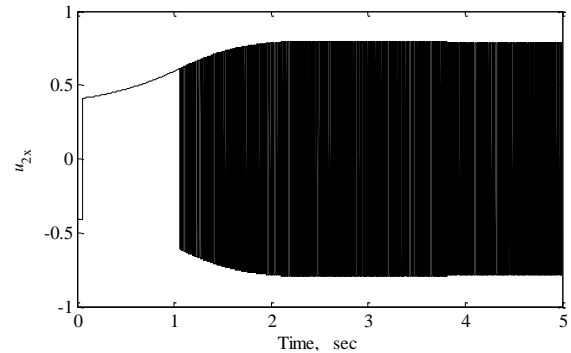
شکل ۱۵ ورودی کنترلی  $u_{2x}$  را به تصویر می کشد که به سیستم drill string پیرو اعمال شده است. مقایسه میان دو شکل ۱۵ و ۱۱ نشان می دهد که سوئیچینگ های فرکانس بالا تا حد بسیار زیادی در این حالت کاهش یافته است و ورودی کنترلی شکل ۱۵ در پیاده سازی عملی قابل اعمال به سیستم پیرو می باشد. شکل ۱۶ نیز پاسخ زمانی  $\hat{\kappa}$  را با وجود ورودی کنترلی رابطه (۳۹) نشان می دهد که در این حالت نیز مقدار نهایی  $\hat{\kappa}$  به مقدار واقعی و نامی پارامتر  $\kappa$  همگرا نشده است.



شکل ۱۴: پاسخ های زمانی خطاهای سنکرون سازی دو سیستم drill string با اعمال ورودی های کنترلی (۳۹)

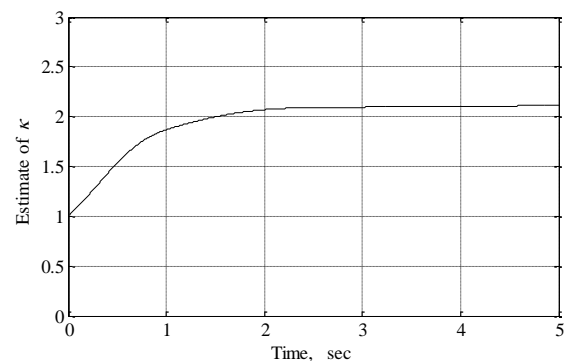


شکل ۱۵: پاسخ زمانی ورودی کنترلی  $u_{2x}$  رابطه (۳۹) اعمال شده به سیستم drill string پیرو رابطه (۳۷)

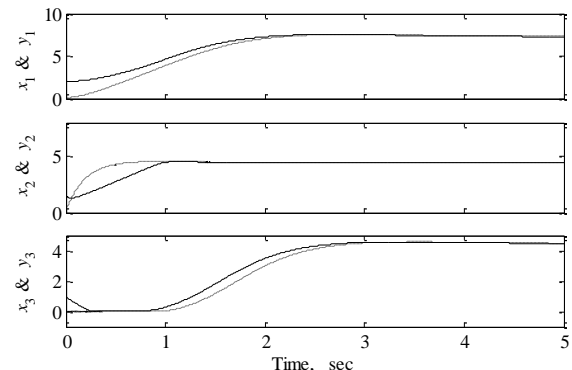


شکل ۱۱: پاسخ زمانی ورودی کنترلی  $u_{2x}$  رابطه (۳۸) اعمال شده به سیستم drill string پیرو رابطه (۳۷)

شکل ۱۱ ورودی کنترلی  $u_{2x}$  را نشان می دهد که به سیستم drill string پیرو اعمال شده است. این شکل به خوبی نشان می دهد که ورودی کنترلی  $u_{2x}$  دارای سوئیچینگ فرکانس های بالای شدیدی است که مطلوب نبوده و تقریباً اعمال این ورودی کنترلی را در پیاده سازی عملی غیرممکن می سازد. پاسخ زمانی  $\hat{\kappa}$  نیز در شکل ۱۲ آورده شده است. با دقت در شکل ۱۲ مشخص می شود که مقدار نهایی  $\hat{\kappa}$  به حدود ۲.۲ رسیده است و با مقدار واقعی پارامتر  $\kappa$  که برابر با  $|(k_m / J_u) u_2| = 24.5$  است، متفاوت می باشد.



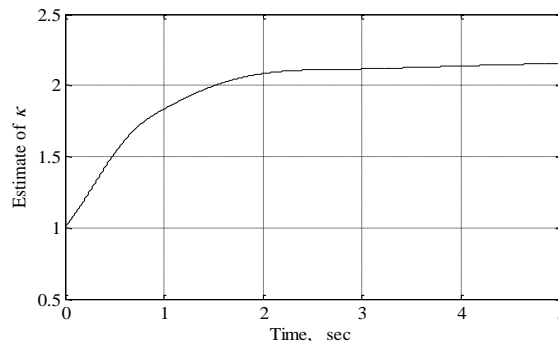
شکل ۱۲: پاسخ زمانی  $\hat{\kappa}$  با اعمال ورودی کنترلی (۳۸)



شکل ۱۳: پاسخ های زمانی متغیرهای حالت دو سیستم drill string مرجع و پیرو با اعمال ورودی های کنترلی (۳۹)

در ادامه، شبیه سازی های مرتبط با همین زیربخش را با اعمال ورودی های کنترلی رابطه (۳۹) تکرار می کنیم تا سوئیچینگ های فرکانس بالای ورودی کنترلی را تا حد زیادی کاهش دهیم.

- Panagiotopoulos for the mathematical formulation of non-regular circuits in electronics,” *Nonlinear Analysis: Hybrid Systems*, vol. 1, no. 1, pp. 30-43, 2007.
- [5] C. Glocker, “Models of non-smooth switches in electrical systems,” *International Journal of Circuit Theory and Applications*, vol. 33, no. 3, pp. 205-234, 2005.
- [6] E. S. Pyatnitskiy and L.B. Rapoport, “Criteria of asymptotic stability of differential inclusions and periodic motions of time-varying nonlinear control system,” *IEEE Transactions on Circuits and Systems I: Fundamental Theory and Applications*, vol. 43, no. 3, pp. 219-229, 1996.
- [7] J.W. Chen, J.F. Huang, and L.Y. Lo, “Viable control for uncertain nonlinear dynamical systems described by differential inclusions,” *Journal of Mathematical Analysis and Applications*, vol. 315, no. 1, pp. 41-53, 2006.
- [8] M.F. Miranda and V.J.S. Leite, “Robust stabilization of polytopic discrete-time systems with time-varying state delay: A convex approach,” *Journal of The Franklin Institute*, vol. 348, no. 4, pp. 568-588, 2011.
- [9] J.P. Aubin, J. Lygeros, M. Quincampoix, S. Sastry, and N. Seub, “Impulse differential inclusions: A viability approach to hybrid systems,” *IEEE Transactions on Automatic Control*, vol. 47, no. 1, pp. 2-20, 2002.
- [10] A. Schaft and J. Schumacher, “Complementarity modelling of hybrid systems,” *IEEE Transactions on Automatic Control*, vol. 43, no. 4, pp. 483-490, 1998.
- [11] A.A. Zevin and M.A. Pinsky, “General solution of stability problem for plane linear switched systems and differential inclusions,” *IEEE Transactions on Automatic Control*, vol. 53, no. 9, pp. 2149-2153, 2008.
- [12] S. Balochian and A.K. Sedigh, “Sufficient condition for stabilization of linear time invariant fractional order switched systems and variable structure control stabilizers,” *ISA Transaction*, vol. 51, no. 1, pp. 65-73, 2012.
- [13] Z. Sun and S.S. Ge, “Analysis and synthesis of switched control systems,” *Automatica*, vol. 41, no. 2, pp. 181-195, 2005.
- [14] A. Doris, A.L. Juloski, N. Mihajlovic, W.P.M.H. Heemels, N. Wouw and H. Nijmeijer, “Observer designs for experimental non-smooth and discontinuous systems,” *IEEE Transactions on Control Systems Technology*, vol. 16, no. 6, pp. 1323-1332, 2008.
- [15] W.P.M.H. Heemels and S. Weiland, “Input-to-state stability and interconnections of discontinuous dynamical systems,” *Automatica*, vol. 44, no. 12, pp. 3079-3086, 2008.
- [16] V. Azhmyakov, “On the set-valued approach to optimal control of sliding mode processes,” *Journal of The Franklin Institute*, vol. 349, no. 4, pp. 1323-1336, 2012.
- [17] E.N. Mahmudov, “On duality in problems of optimal control described by convex inclusions of Goursat-Darboux type,” *Journal of Mathematical Analysis and Applications*, vol. 307, no. 2, pp. 628-640, 2005.



شکل ۱۶: پاسخ زمانی ورودی کنترلی  $u_{2c}$  رابطه (۳۹) اعمال شده به سیستم drill string پیرو رابطه (۳۷)

## ۵- نتیجه گیری

در این مقاله، در ابتدا مدل جامع و کامل تری از شمول دیفرانسیلی لور نسبت به مدل های دیگر ارائه شد و در ادامه مسئله سنکرون سازی دو شمول دیفرانسیلی لور با فرض ناشناخته بودن پارامترهای شمول لور و همچنین فرض وجود غیرخطی سازه های شعاعی در مسیر ورودی های کنترلی، مورد بررسی قرار گرفت. در این راستا، دو دسته ورودی های کنترلی سنکرون ساز با استفاده مستقیم از تئوری پایداری لیاپانوف طراحی گردیدند. دسته اول از ورودی های کنترلی به علت استفاده از تابع علامت دارای سوئیچینگ های فرکانس بالایی بودند که در دسته دوم ورودی های کنترلی پیشنهادی، این مشکل برطرف شد. پایداری دینامیک خطاهای سنکرون سازی و همگرا شدن این خطاها به صفر با وجود هر کدام از دو دسته ورودی های کنترلی با استفاده از تئوری پایداری لیاپانوف به اثبات رسیدند. برای نشان دادن عملکرد و کارایی بالای ورودی های کنترلی طراحی شده، دو شبیه سازی کامپیوتری در ادامه مقاله آورده شدند که یکی از مثال های شبیه سازی مرتبط با یک کاربرد عملی بود و در واقع مسئله سنکرون سازی دو سیستم drill string را مورد شبیه سازی قرار داد. نتایج شبیه سازی های کامپیوتری نیز کارایی ورودی های کنترلی را در پایداری سازه های دینامیک خطاهای سنکرون سازی با وجود غیرخطی سازه های شعاعی به خوبی نشان داد.

## مراجع

- [1] J.C.A Bruin, A. Doris, N. Wouw, W.P.M.H. Heemels, and H. Nijmeijer, “Control of mechanical motion systems with non-collocation of actuation and friction: A Popov criterion approach for input-to-state stability and set-valued nonlinearities,” *Automatica*, vol. 45, no. 2, pp. 405-415, 2009.
- [2] B. Brogliato, “Some perspectives on the analysis and control of complementarity systems,” *IEEE Transactions on Automatic Control*, vol. 48, no. 6, pp. 918-935, 2003.
- [3] R. Ma, “Second order periodic problems in the presence of dry friction,” *Nonlinear Analysis: Real World Applications*, vol. 12, no. 6, pp. 3306-3314, 2011.
- [4] K. Addi, S. Adly, B. Brogliat, and D. Goeleven, “A method using the approach of Moreau and

vol. 40, no. 3, pp.401-413, 2004.

[32] J.M. Gomes da Silva Jr., E.B. Castelan, J. Corso, and D. Eckhard, "Dynamic output feedback stabilization for systems with sector-bounded nonlinearities and saturating actuators," *Journal of the Franklin Institute*, vol. 350, no. 3, pp. 464-484, 2013.

[33] S.M. Lee, J.H. Park, and O.M. Kwon, "Improved asymptotic stability analysis for Lur'e systems with sector and slope restricted nonlinearities," *Physics Letters A*, vol. 362, no. 5, pp. 348-351, 2007.

[34] B. Zhou, W. X. Zheng, and G. R. Duan, "An improved treatment of saturation nonlinearity with its application to control of systems subject to nested saturation," *Automatica*, vol. 47, no. 2, pp. 306-315, 2011.

[35] D. Karimipour, S. Pourdehi, and P. Karimaghaee, "Adaptive unstable periodic orbit stabilization of uncertain time-delayed chaotic systems subjected to input nonlinearity," *System and Control Letters*, vol. 61, no. 12, pp. 1168-1174, 2012.

[36] E. Rocha-Cózatl and J.A. Moreno, "Dissipative design of unknown input observers for systems with sector nonlinearities," *International Journal of Robust and Nonlinear Control*, vol. 21, no. 14, pp. 1623-1644, 2011.

[37] G. Smirnov, *Introduction to the Theory of Differential Inclusions*. SIAM: Philadelphia, 2002.

[38] J. Aubin and A. Cellina, *Differential Inclusions: Set-valued Maps and Viability Theory*, Springer Verlag: Berlin, 1984.

[39] S. Boyd, E.L. Ghaoui, E. Feron and V. Balakrishnan, *Linear Matrix Inequalities in Systems and Control Theory*, Society for Industrial and Applied Mathematics: Philadelphia, 1994.

[18] Y. Ren, L. Hu, and R. Sakthivel, "Controllability of impulsive neutral stochastic functional differential inclusions with infinite delay," *Journal of Computational and Applied Mathematics*, vol. 235, no. 8, pp. 2603-2614, 2011.

[19] J. Huang, Z. Han, X. Cai, and L. Liu, "Control of time-delayed linear differential inclusions with stochastic disturbance," *Journal of The Franklin Institute*, vol. 347, no. 10, pp. 1895-1906, 2010.

[20] X. Liu, J. Wang, Z. Duan, and L. Huang, "New absolute stability criteria for time-delay Lur'e systems with sector-bounded nonlinearity," *International Journal of Robust and Nonlinear Control*, vol. 20, no. 6, pp. 659-672, 2010.

[21] J. Huang, Z. Han, X. Cai, and L. Liu, "Adaptive full-order and reduced order observers for the Lur'e differential inclusion system," *Communications in Nonlinear Science and Numerical Simulation*, vol. 16, no. 7, pp. 2869-2879, 2011.

[22] C. Yang, Q. Zhang, and L. Zhou, "Lur'e Lyapunov functions and absolute stability criteria for Lur'e systems with multiple nonlinearities," *International Journal of Robust and Nonlinear Control*, vol. 17, no. 9, pp. 829-841, 2007.

[23] B. Brogliato and W. P. M. H Heemles, "Observer design for Lur'e systems with multivalued mappings: A passivity approach," *IEEE Transactions on Automatic Control*, vol. 54, no. 8, pp. 1996-2001, 2009.

[24] J. Huang, Z. Han, and X. Cai, "Note on observer for Lur'e differential inclusion systems," *IET Control Theory and Applications*, vol. 5, no. 17, pp. 1939-1944, 2011.

[25] D. Chen, G. Yang, and Z. Han, "Impulsive observer for input-to-state stability based synchronization of Lur'e differential inclusion system," *Communications in Nonlinear Science and Numerical Simulation*, vol. 17, no. 7, pp. 2990-2996, 2012.

[26] J. Huang and Z. Han, "Adaptive non-fragile observer design for the uncertain Lur'e differential inclusion system," *Applied Mathematical Modelling*, vol. 37, no. 1, pp. 72-81, 2013.

[27] J. Huang, P. Wang, Z. Han, and X. Cai, "Observer design for the Lur'e differential inclusion system with Markovian jumping parameters," *International Journal of System Science*, vol. 44, no. 12, pp. 2338-2348, 2013.

[28] X. Cai, J. Huang, and L. Liu, "Stability analysis of linear time-delay differential inclusion systems subject to input saturation," *IET Control Theory and Applications*, vol. 4, no. 11, pp. 2592-2602, 2010.

[29] Y. Zheng, C. Wen, and Z. Li, "Robust adaptive asymptotic tracking control of uncertain nonlinear systems subject to nonsmooth actuator nonlinearities," *International Journal of Adaptive Control and Signal Processing*, vol. 27, no. 1, pp. 108-121, 2013.

[30] J. Na, "Adaptive prescribed performance control of nonlinear systems with unknown dead zone," *International Journal of Adaptive Control and Signal Processing*, vol. 27, no. 5, pp. 426-446, 2013.

[31] X.S. Wang, C.Y. Su, and H. Hong, "Robust adaptive control of a class of nonlinear systems," *Automatica*,

### پیوست ۱

با توجه به تعریف  $\Omega_k = \sum_{d=1}^n e_d P_{dk}$  از رابطه (۱۰)، می توان رابطه (۱-۱) را نتیجه گرفت.

$$e^T P \phi(u_x) = \sum_{k=1}^n \Omega_k \phi_k(u_{k_x}) \quad (1-1)$$

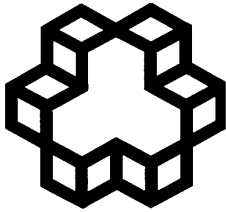
با جایگذاری ورودی های کنترلی رابطه (۲۳) در فرض ۴ مرتبط با غیرخطی ساز شعاعی یعنی، نامساوی رابطه (۱-۲) حاصل می شود.

$$\alpha_{k_x} \left(\frac{1}{\alpha_{k_x}}\right)^2 \varepsilon_k^2 u_k^4 \frac{\Omega_k^2}{(|\Omega_k| u_k + \chi_k(t))^2} \leq -\frac{1}{\alpha_{k_x}} \varepsilon_k u_k^2 \frac{\Omega_k}{|\Omega_k| u_k + \chi_k(t)} \phi_k(u_{k_x}) \quad (2-1)$$

از آنجایی که  $\varepsilon_k$ ،  $u_k$  و  $\chi_k(t)$  همواره مثبت هستند، نامساوی رابطه (۱-۲) به صورت نامساوی رابطه (۱-۳) ساده و باز نویسی می شود.

$$\Omega_k \phi_k(u_{k_x}) \leq -\varepsilon_k u_k^2 \frac{\Omega_k^2}{|\Omega_k| u_k + \chi_k(t)} \quad (3-1)$$

بسیار واضح است که نامساوی  $\sum_{k=1}^n \Omega_k \phi_k(u_{k_x}) \leq -\sum_{k=1}^n \frac{\varepsilon_k u_k^2 \Omega_k^2}{|\Omega_k| u_k + \chi_k(t)}$  بنا براین نامساوی رابطه (۲۵) اثبات شد.



Industrial Control Center of Excellence  
K.N. Toosi University of Technology

## Journal of Control (ISSN 2008-8345)



A Joint Publication of the Iranian Society of Instrument and Control Engineers and the Industrial Control Center of Excellence of K.N. Toosi University of Technology, Vol. 7, No. 2, Summer 2013.

Publisher: **Iranian Society of Instrumentation and Control Engineers**

Managing Director: Prof. Iraj Goodarznia

Editor-in-Chief: Prof. Ali Khaki-Sedigh

Tel: 84062317

Email: sedigh@kntu.ac.ir

Assistant Editor: Prof. Hamid Khaloozadeh, Dr. Mahdi Aliyari Shoorehdeli

Executive Director: Dr. Mahdi Aliyari Shoorehdeli, Tel: 84062403, Email: aliyari@kntu.ac.ir

### **Editorial Board:**

Prof. A. Khaki-Sedigh, Prof. I. Goodarznia, Prof. H. Khaloozadeh, Prof. P. Jabedar-Maralani, Prof. A. Ghafari, Dr. H.R. Momeni (Associate Prof), Prof. S.K. Nikravesh, Prof. M. Shafiee, Prof. B. Moshiri.

### **Advisory Board:**

Dr. H.R. Momeni, Prof. B. Moshiri, Prof. M. Shafiee, Prof. A. Khaki-Sedigh, Prof. P. Jabedar-Maralani, Prof. A. Ghaffari, Prof. H. Khaloozadeh, Prof. H.R. Taghirad, Dr. K. Masroori, Dr. M.T. Bathaei, Dr. M.T. Hamidi-Beheshti, Dr. F. Jafarkazemi, Dr. R. Amjadifard, Prof. S.A. Moosavian, Prof. M. Teshnelab, Prof. M. Haeri, Prof. S.A. Safavi, Dr. A. Fatehi, Prof. M.R. Akbarzadeh-Toutounchi, Prof. M. Golkar, Prof. N. Pariz, Dr. M. Javadi, Dr. J. Heirani-Nobari, Prof. F. Hossein-Babaei, Dr. B. Moaveni, Dr. M. Aliari-Shoorehdeli, Dr. M. Arvan, Prof. M. Tavakoli-Bina, Dr. M. Ahmadih-Khanehsar, Dr. F. Farivar, Dr. M. Ayati.

### **The ISICE Board of Director:**

Prof. Masoud Shafiee., Dr. Mohammad Reza Jahed Motlagh, Prof. Iraj Goodarznia, Prof. Behzad Moshiri, Prof. Ali Akbar Safavi, Dr. Mehrdad Javadi, Dr. Iman Mohammadzaman, Dr. Ali Ashrafmodarres, Ali Kiani.

**P.O. Box 15815-3595, Tehran – IRAN**

**Tel : (+9821) 81032231**

**Fax: (+9821) 81032200**

[www.joc-isice.ir](http://www.joc-isice.ir)

[control@isice.ir](mailto:control@isice.ir)



**A Joint Publication of the Iranian Society of Instrument and Control Engineers and  
the Industrial Control Center of Excellence of K.N. Toosi University of Technology**

**Vol. 7, No. 2, Summer 2013**

## **Contents**

- Non-Model-Based Control Law for a Wheeled Robot Towing a Trailer** **1**  
Ali Keymasi, Seyed Ali Akbar Moosavian
- Stabilization of Switched Homogeneous Systems using Common Lyapunov Function** **11**  
Khatereh Sokhanvar Mahani, Ali Karimpour, Naser Pariz
- Identification of Sensor Runout in Active Magnetic Bearing System** **21**  
Seyed Mahdi Darbandi, Mehdi Behzad, Hamid Mehdigholi, Hassan Salarieh
- Modeling of the Electric Arc Furnaces using Chaos Theory and Control of Power Quality Parameters** **33**  
Mohammad Ataei, Hajar Ghotb, Ghazanfar Shahgholian, Arash Kiyoumars
- Multi-Objective Optimization of 6-Degree-of-Freedom Cable-Driven Parallel Robot Using Kinematic Indices** **43**  
Seyed Ahmad Khalilpour, Hamidreza Taghirad, Mahdi Tale Masouleh, Mahdi Aliyari Shoorehdeli
- Synchronization of Two Lur'e Differential Inclusions with Sector Input Nonlinearity and Unknown Parameters** **57**  
Ali Abooe, Mohammad Haeri